

FIG. 1

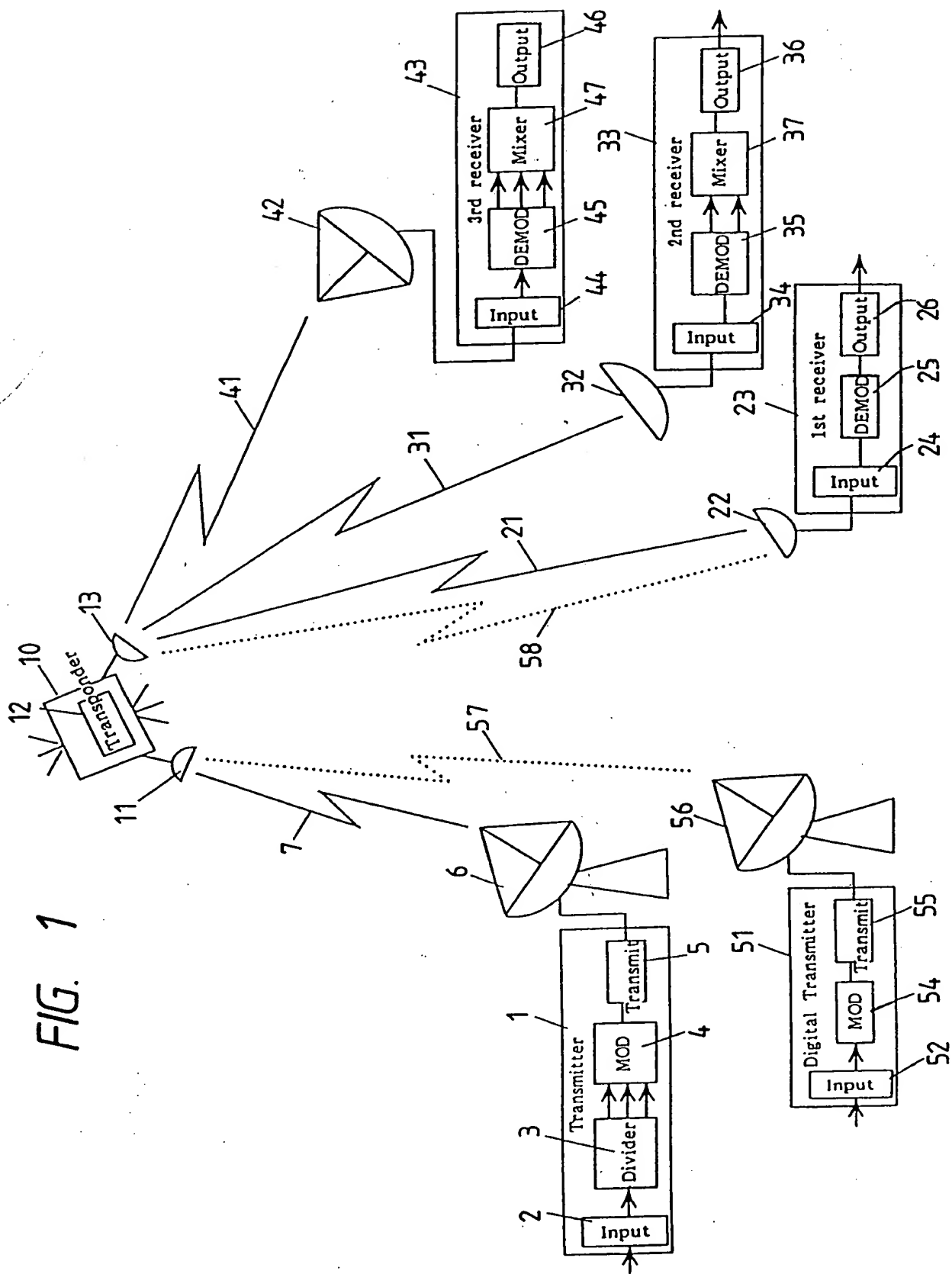
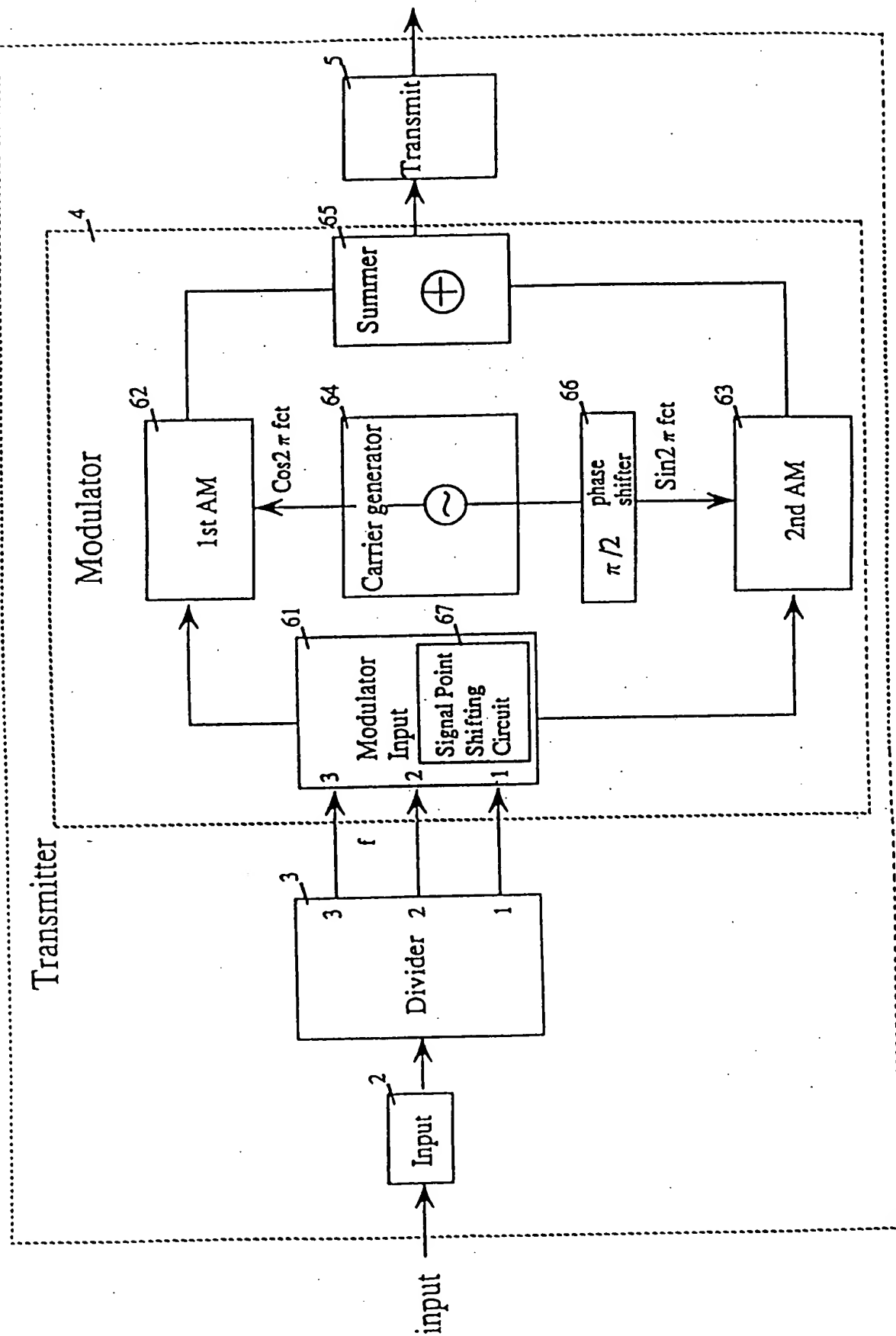


FIG. 2



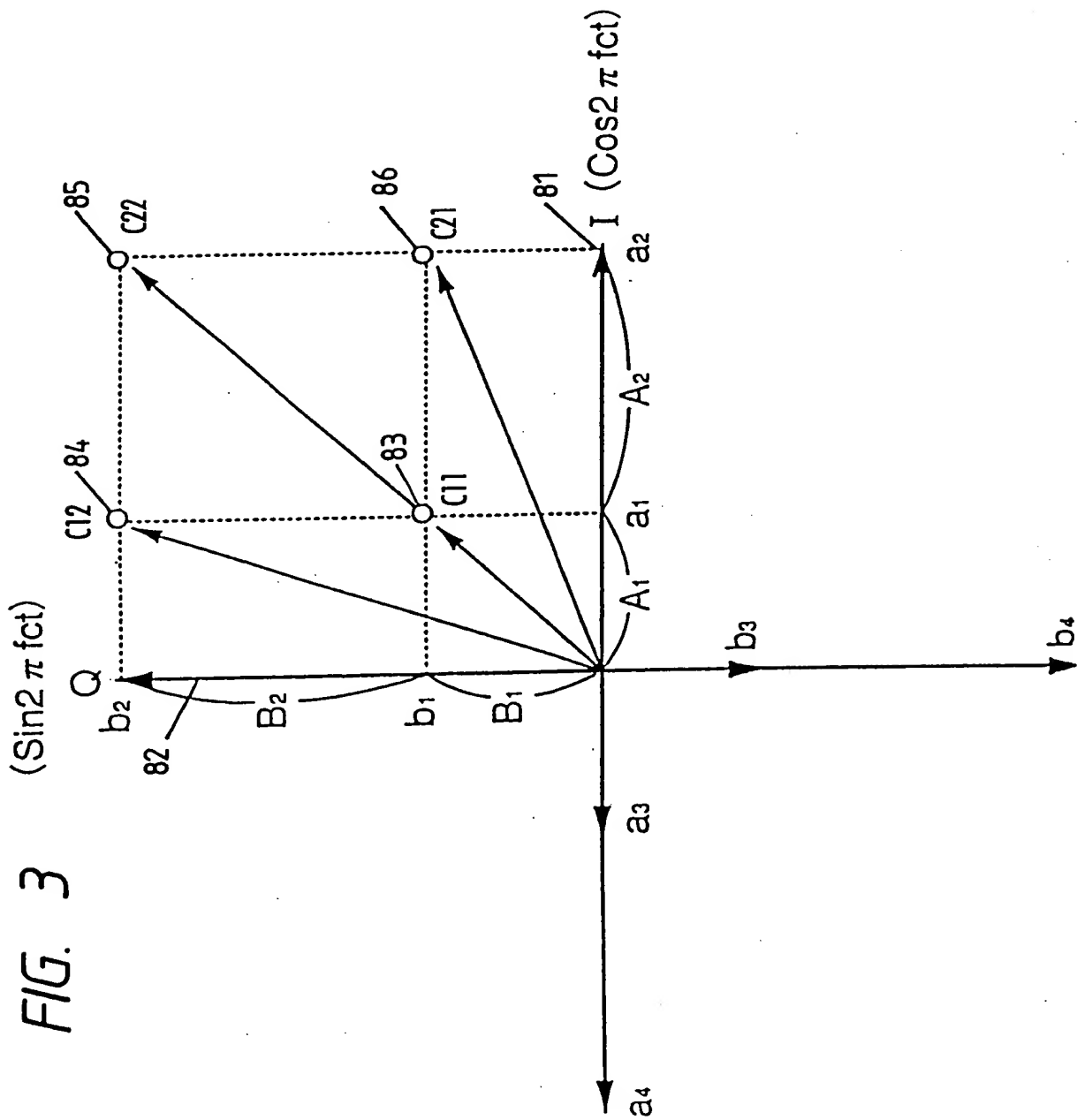


FIG. 4

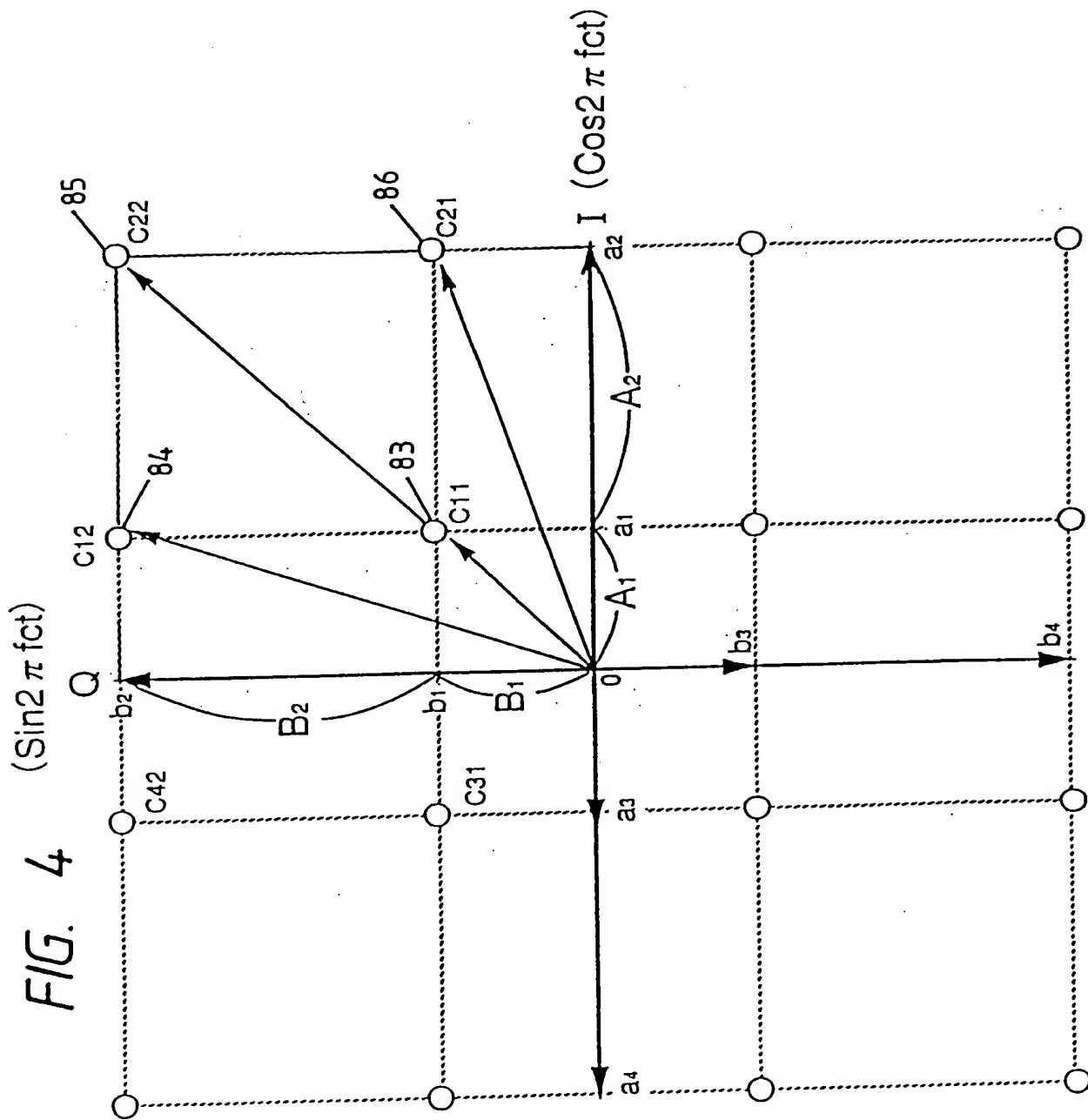


FIG. 5 ($\sin 2\pi \text{ fct}$)

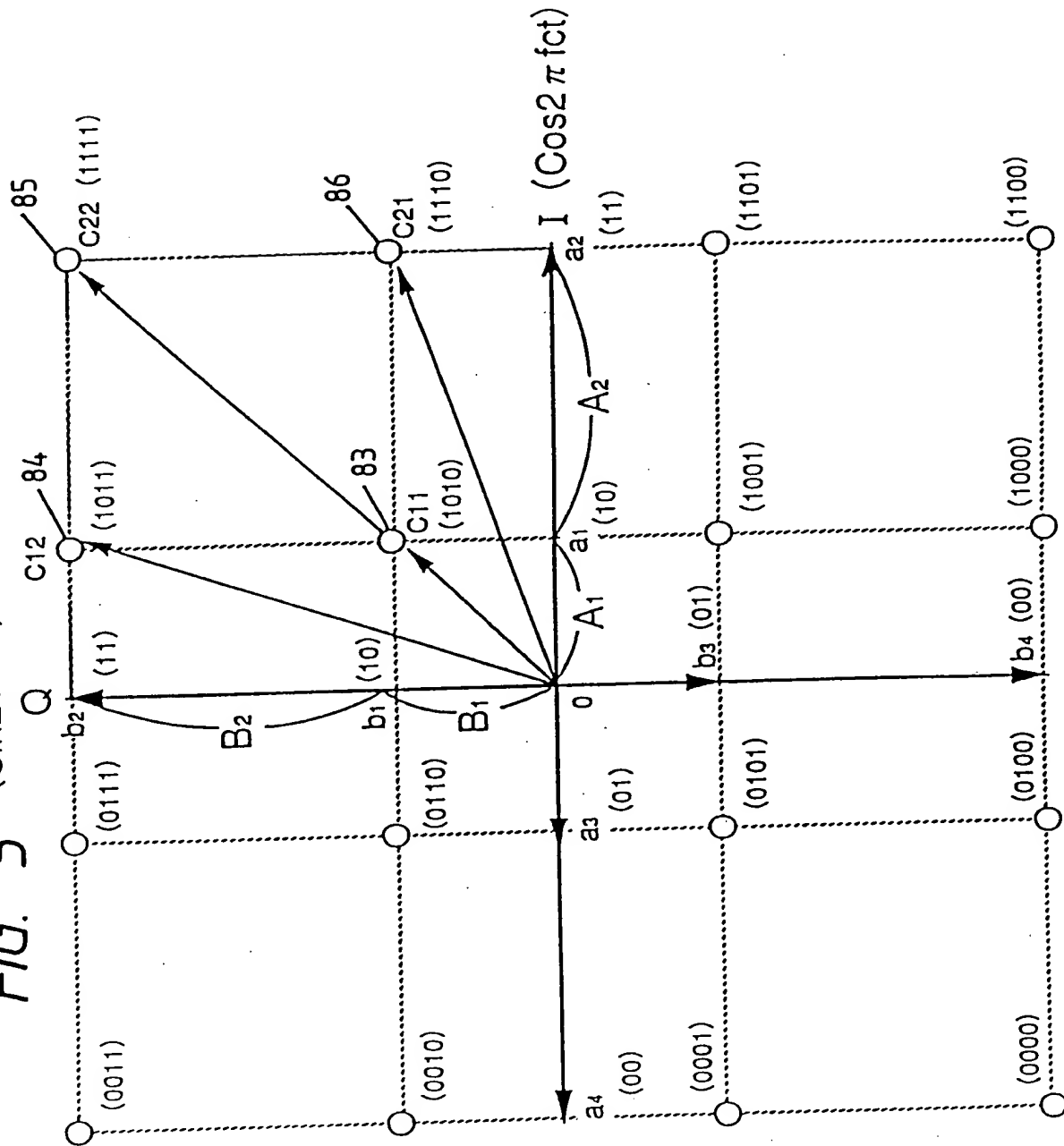


FIG. 6

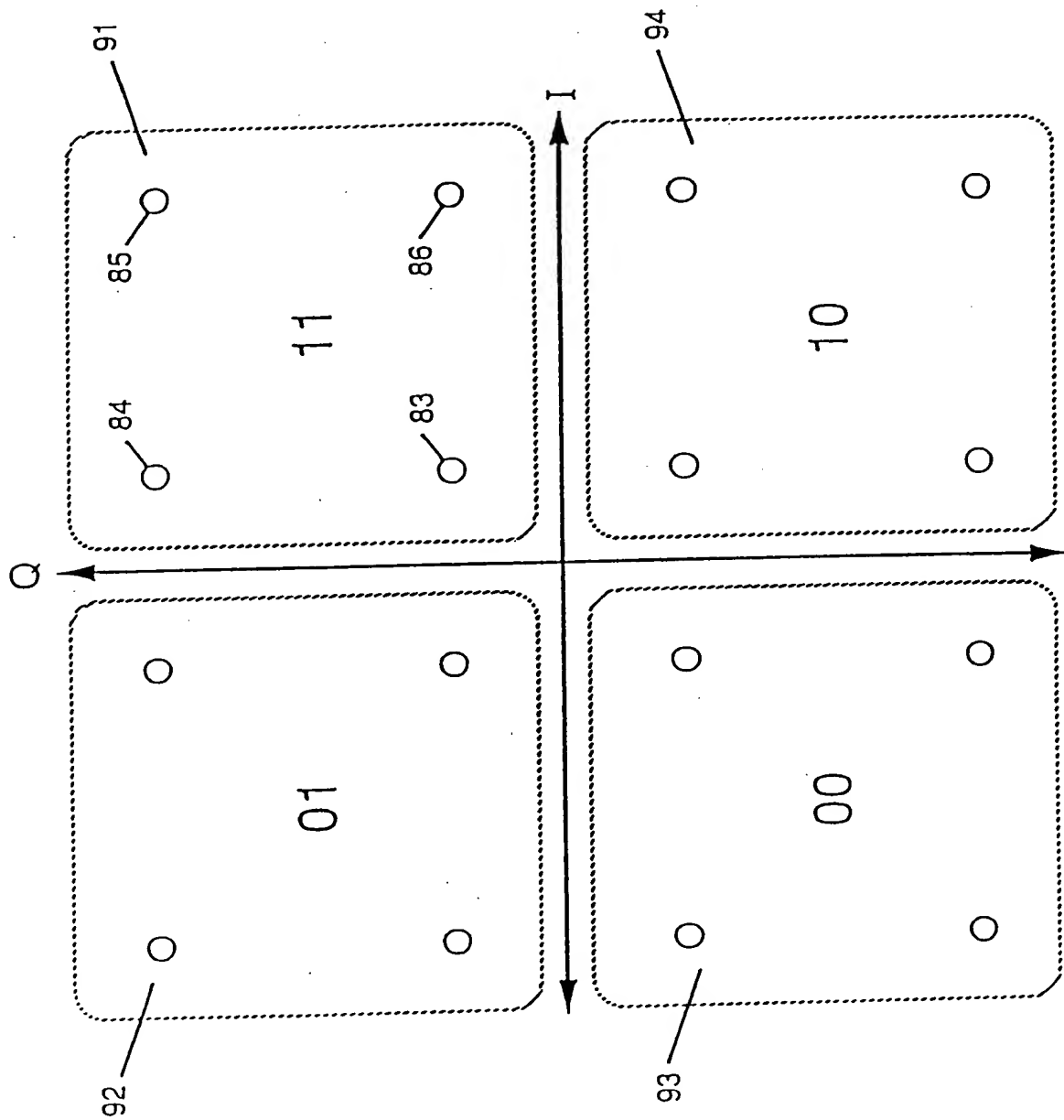


FIG. 7

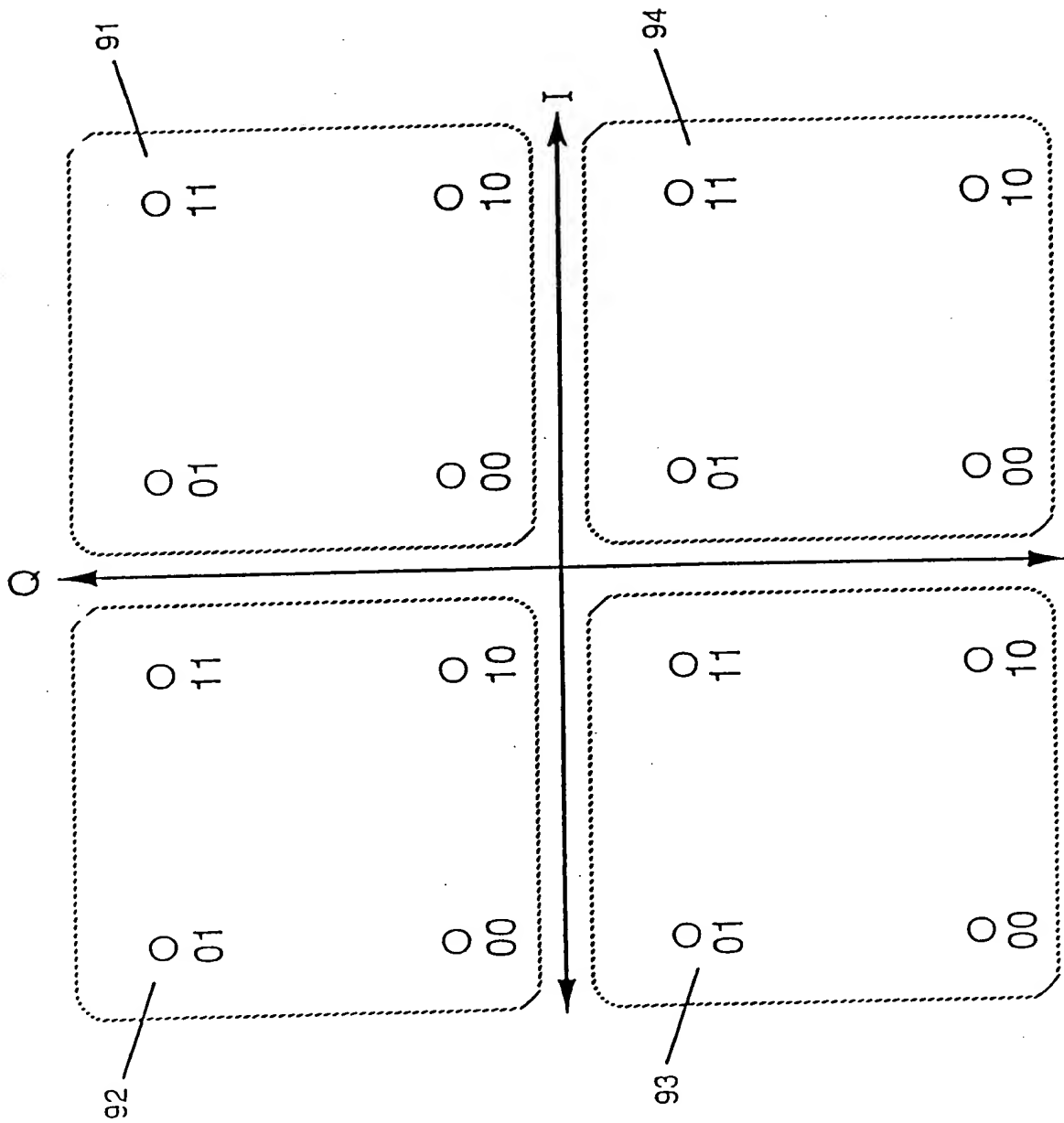


FIG. 8

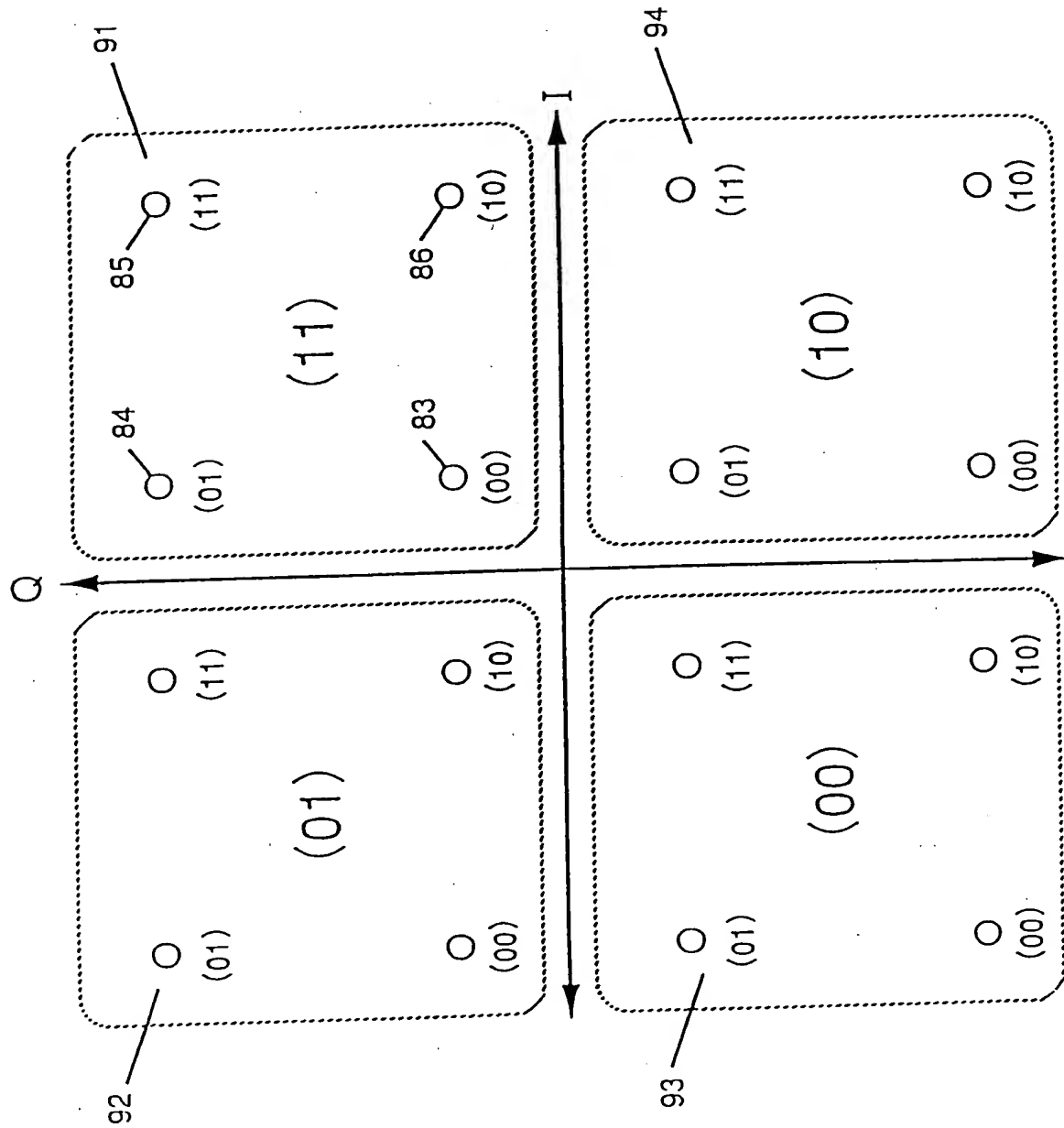


FIG. 9

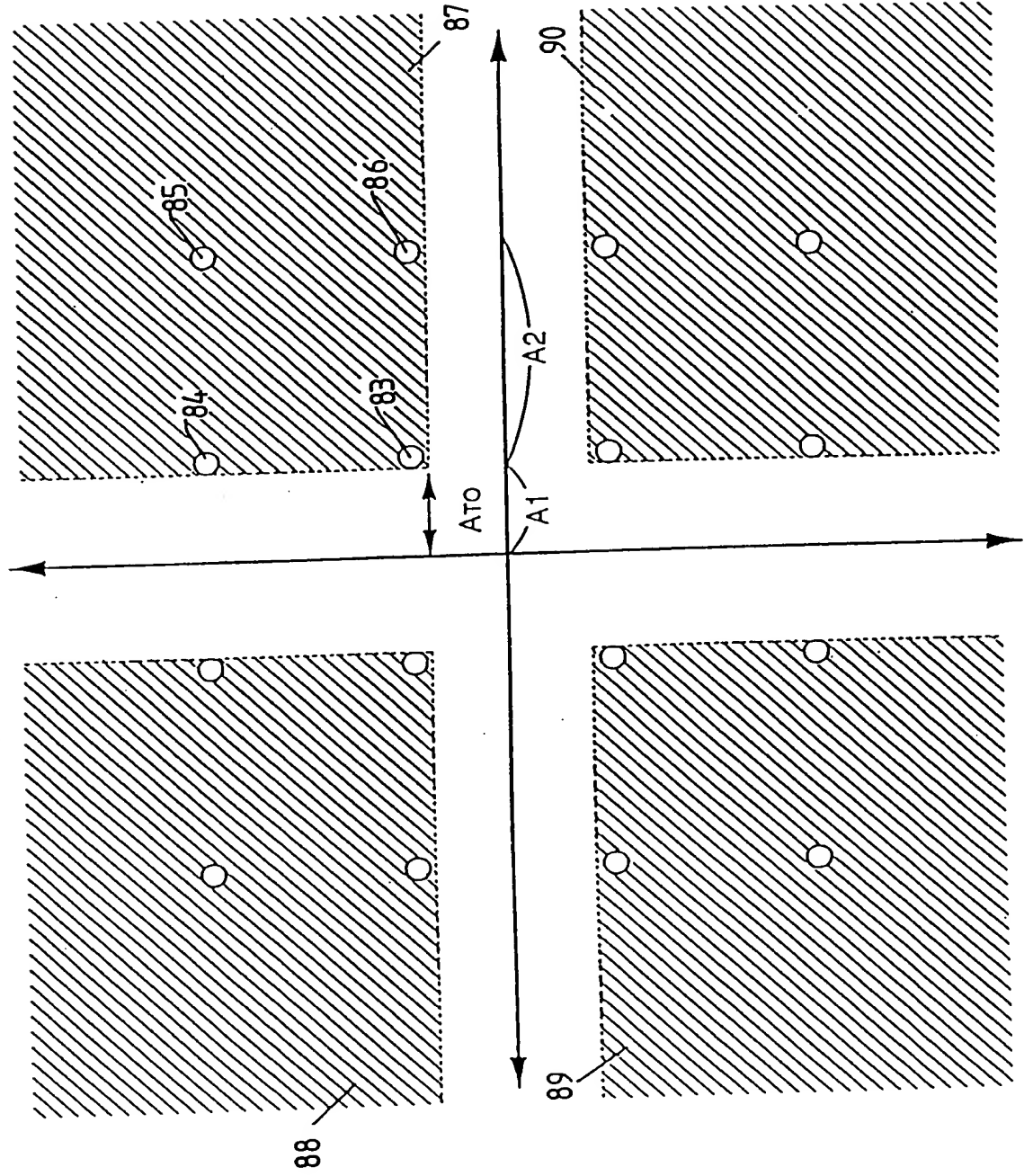


FIG. 10

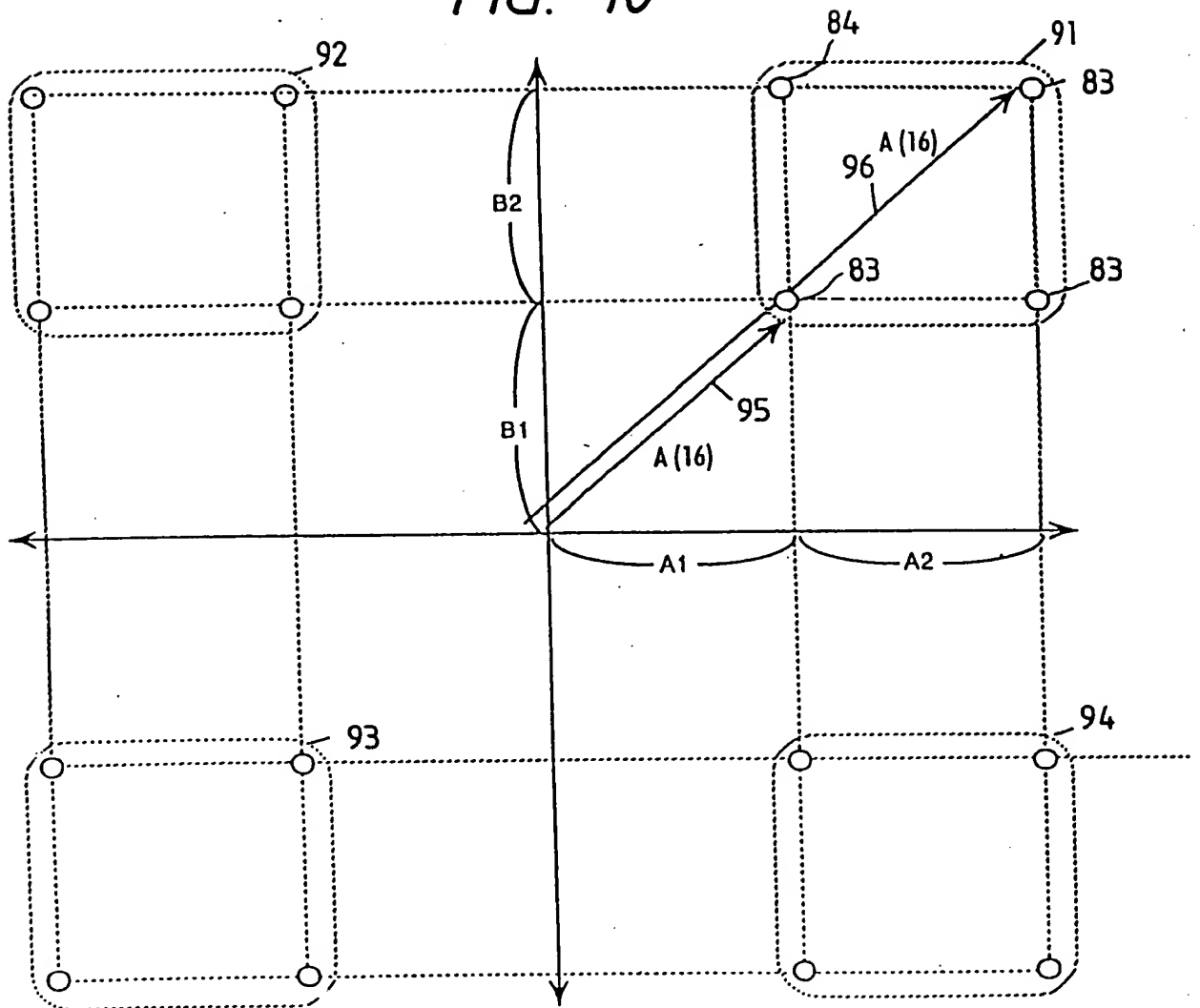


FIG. 11

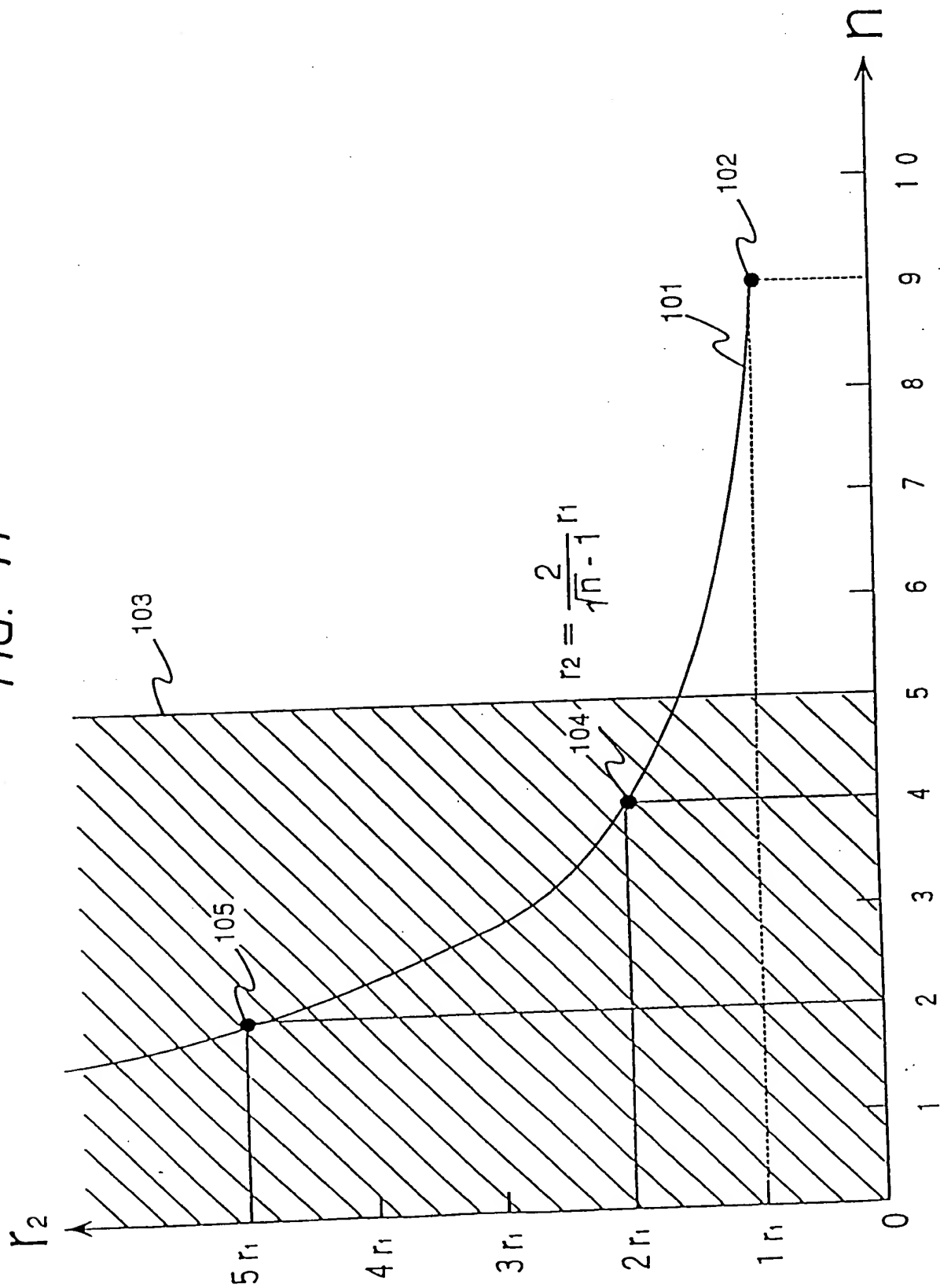


FIG. 12

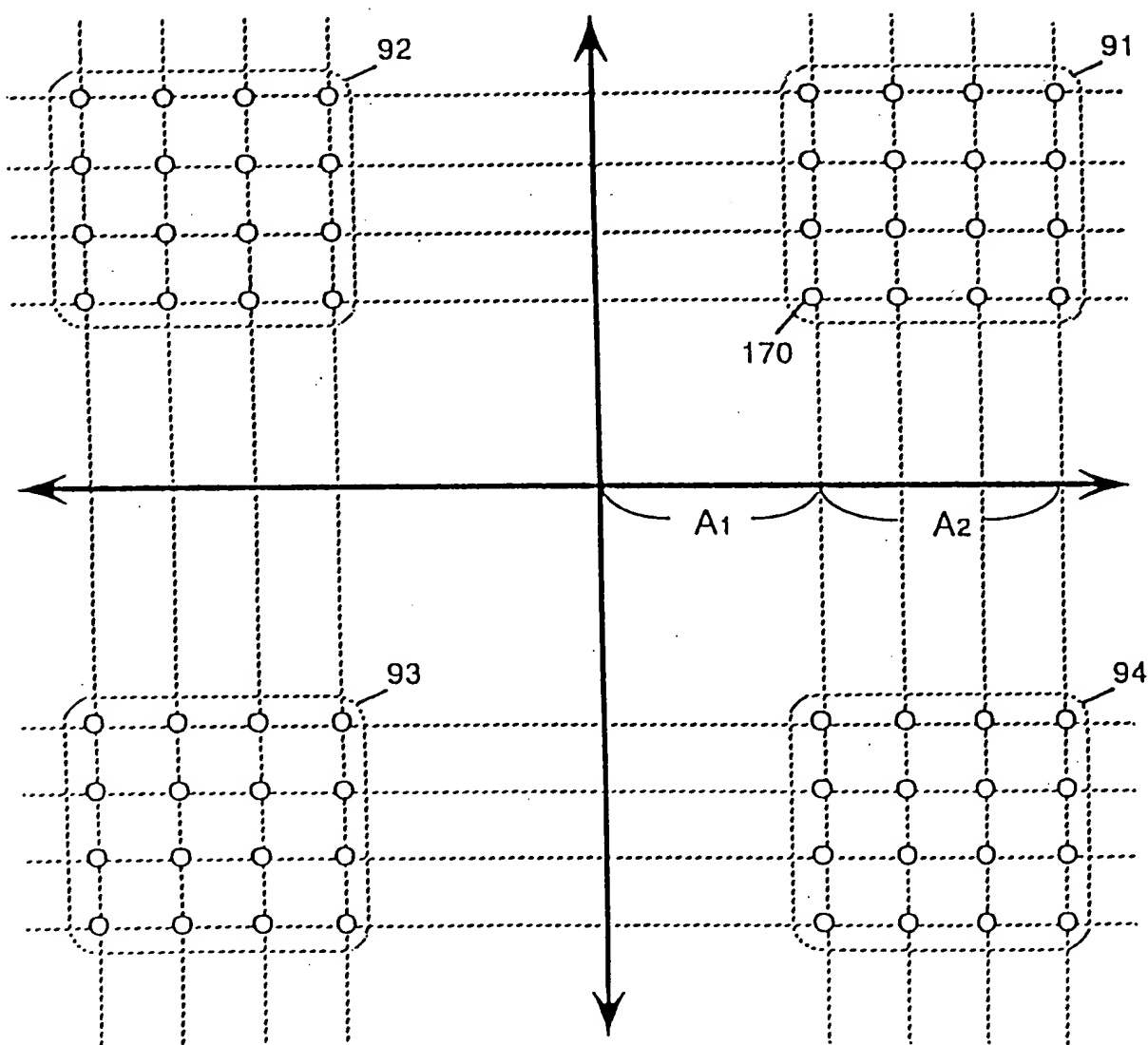


FIG. 13

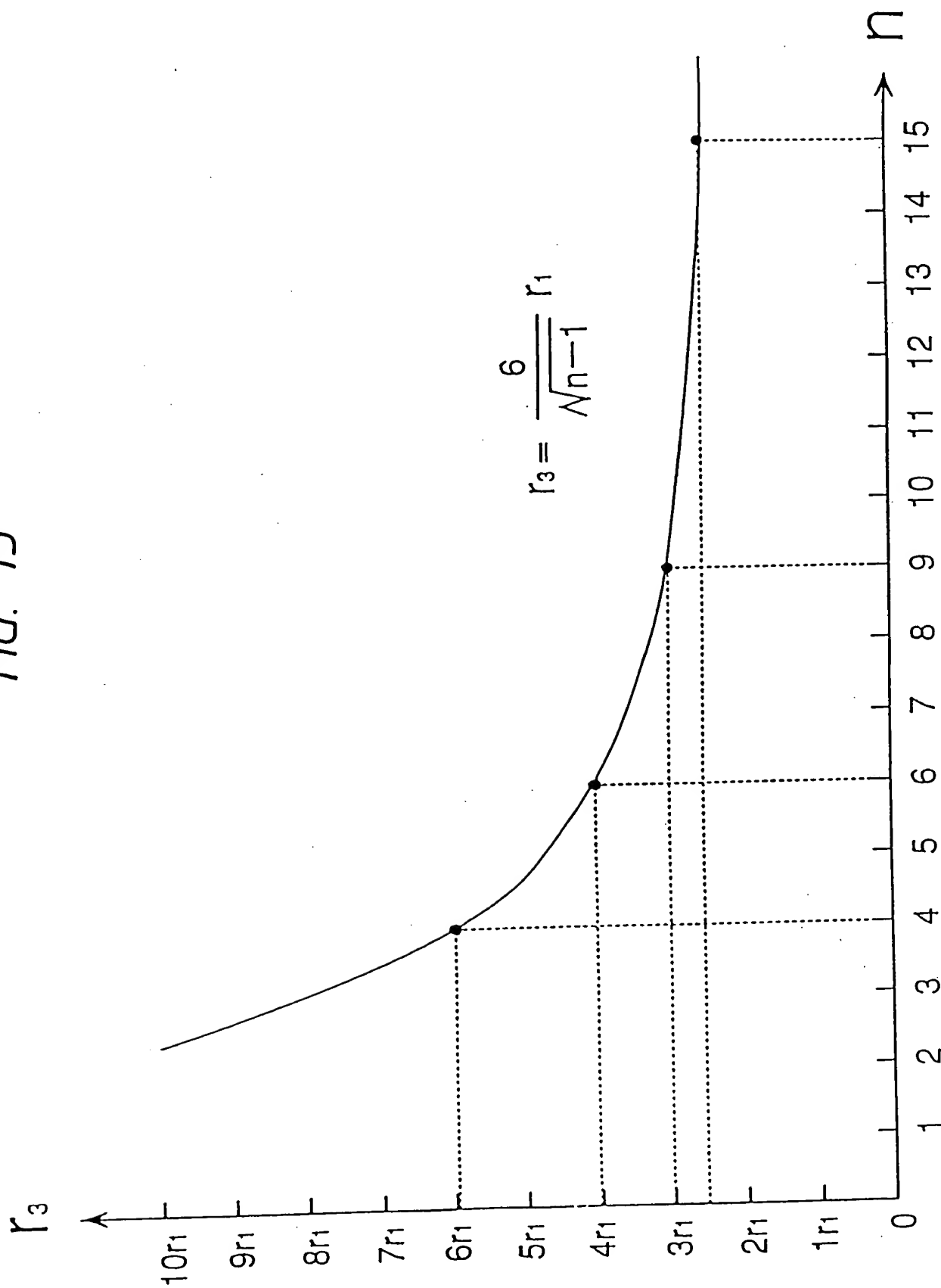


FIG. 14

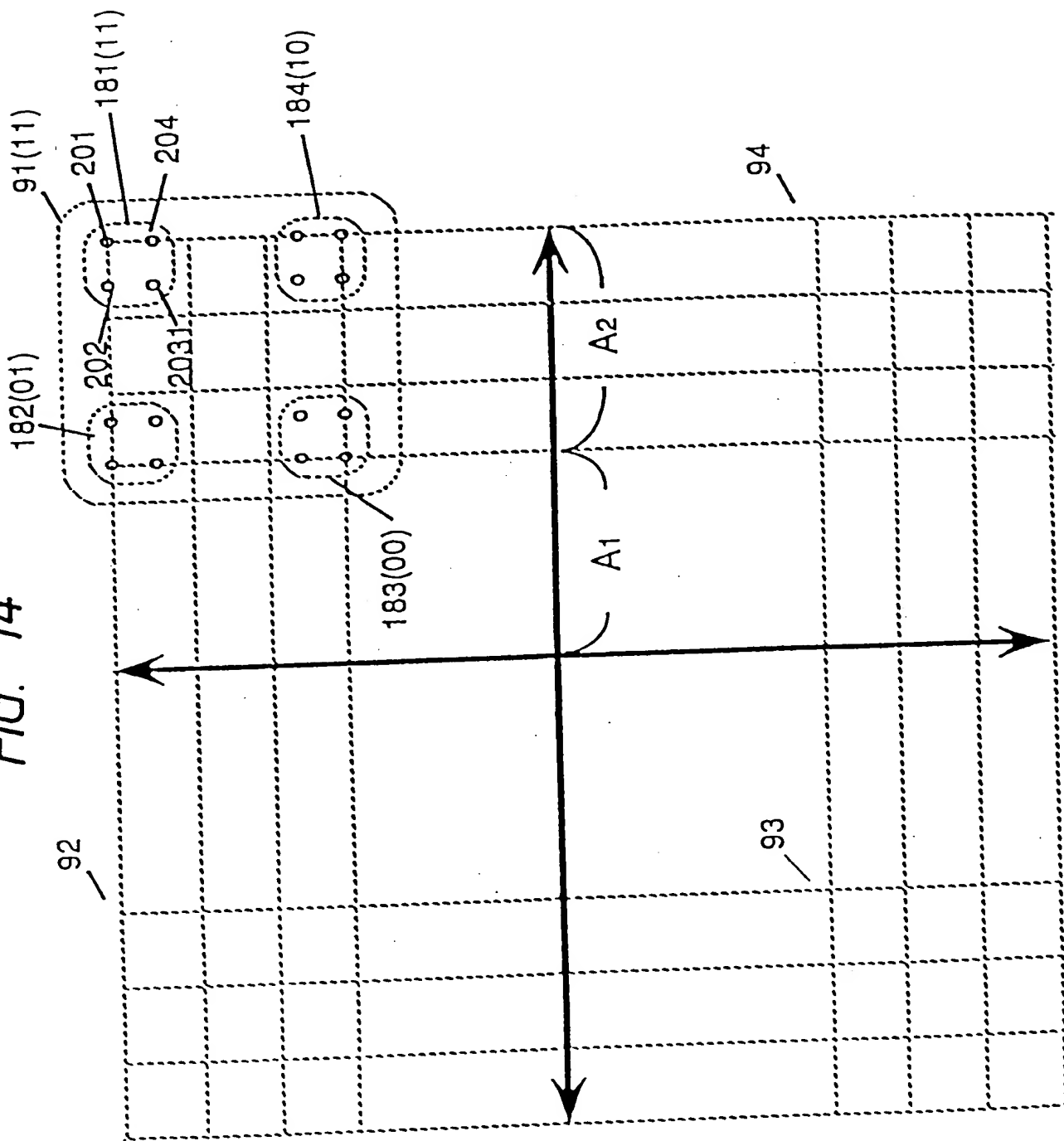


FIG. 15

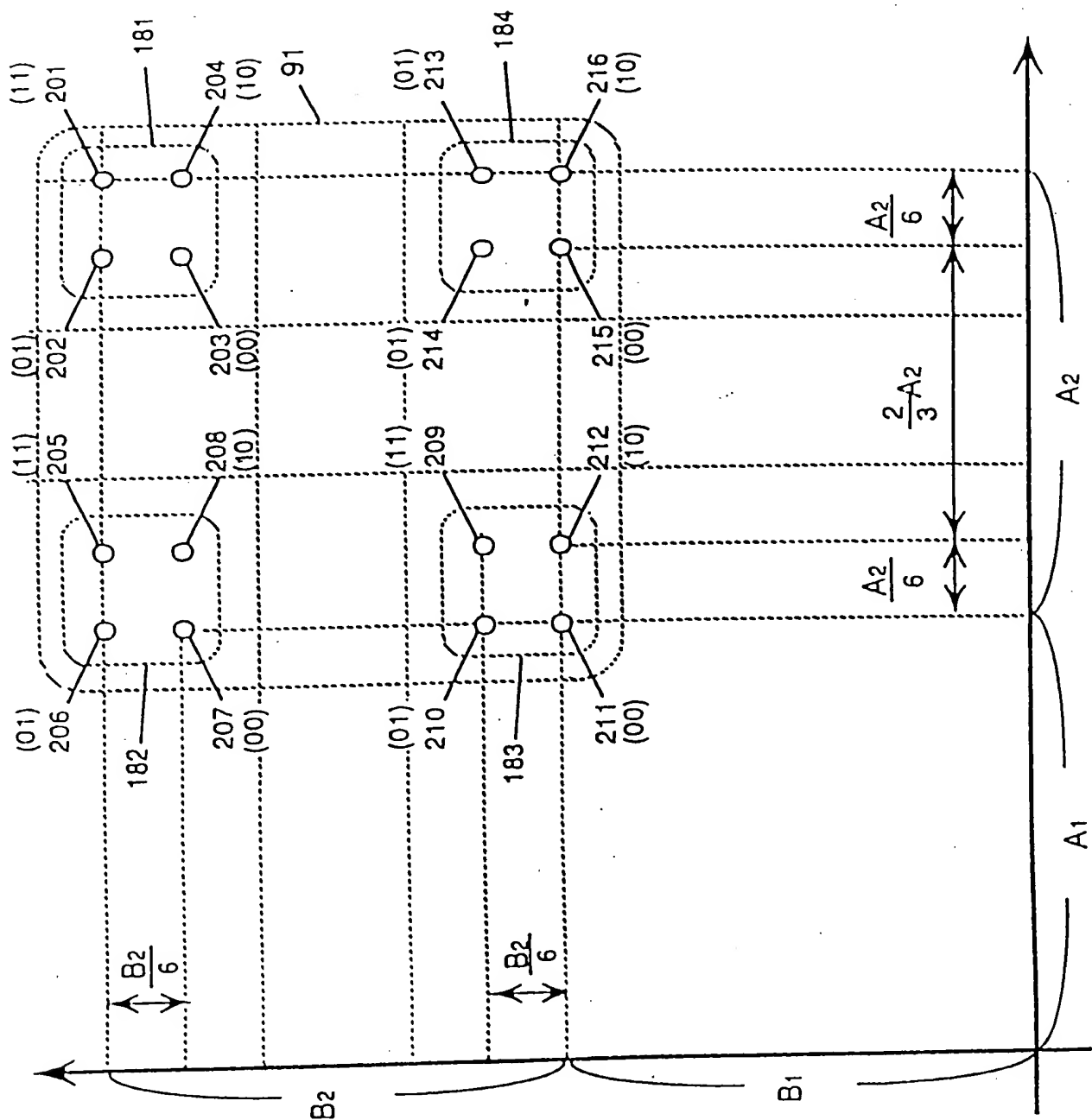


FIG. 16

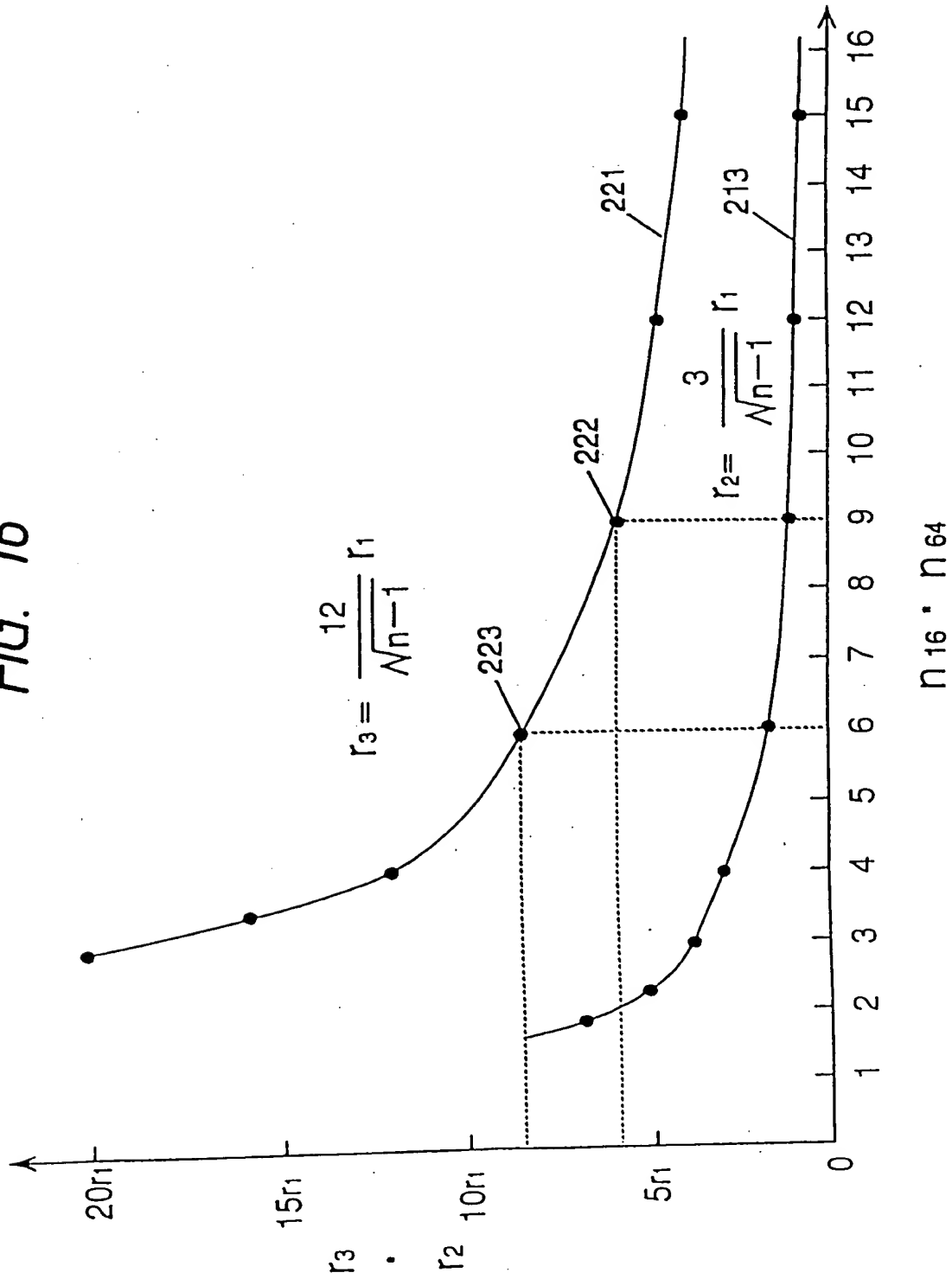


FIG. 17

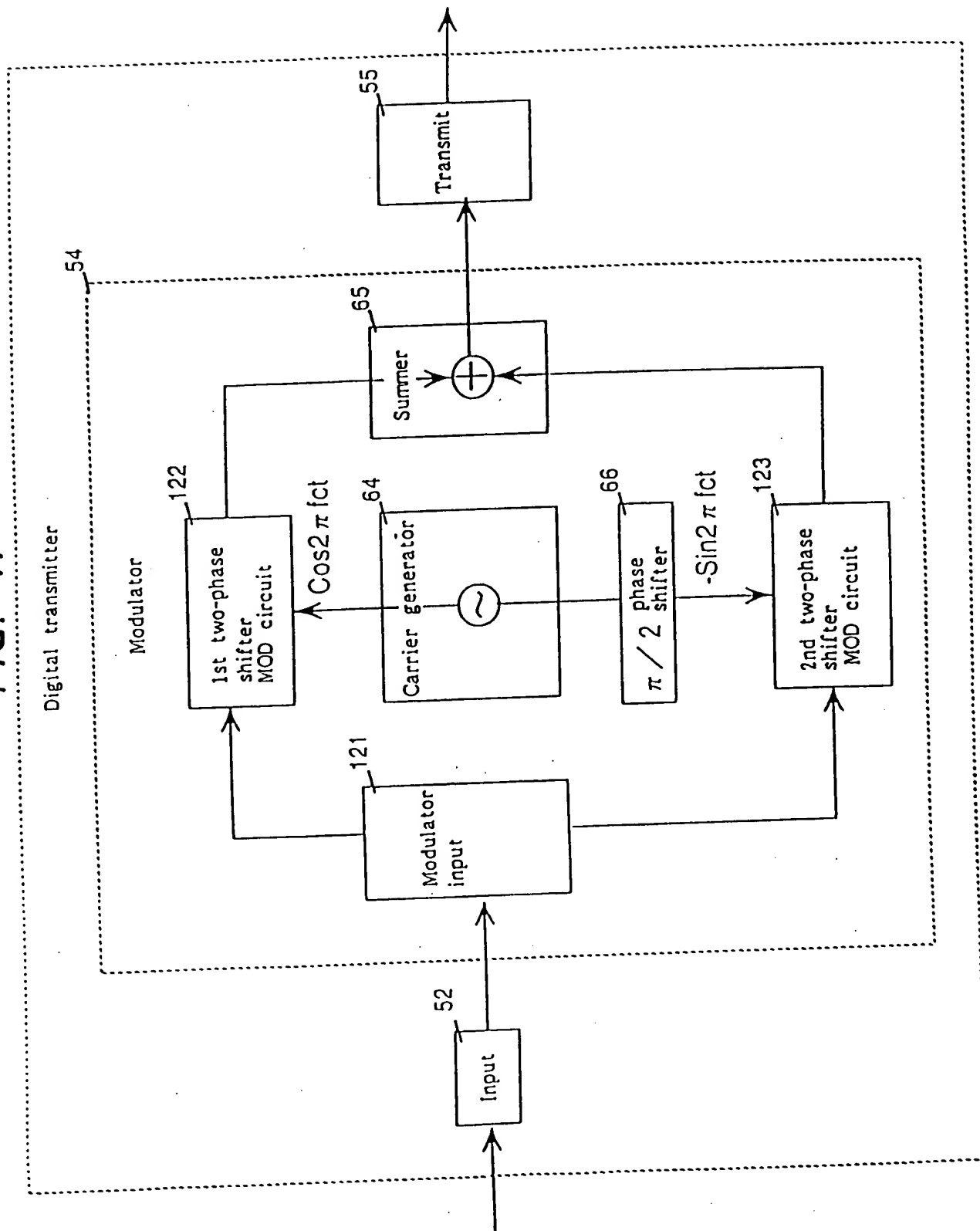


FIG. 18

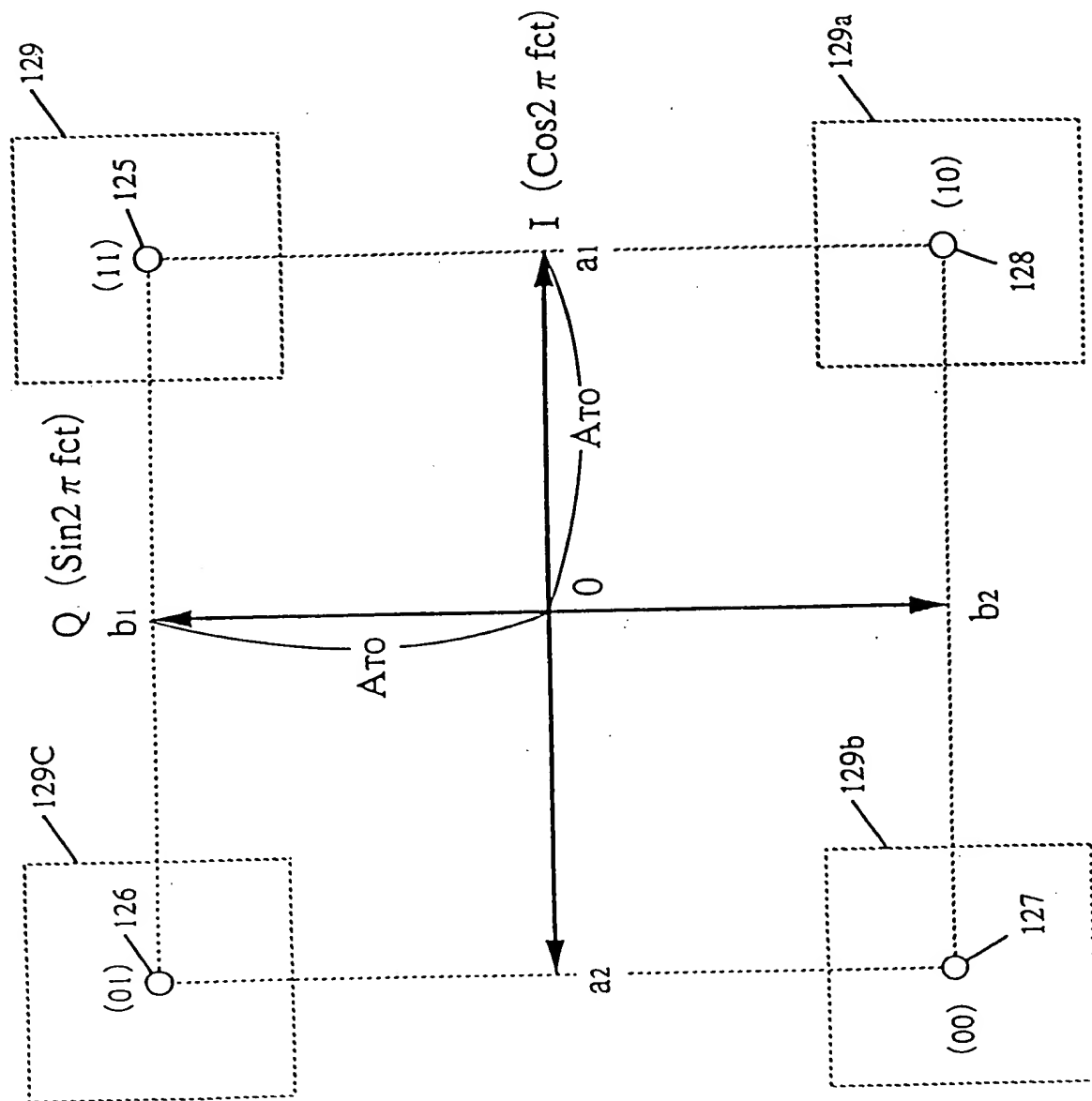


FIG. 19

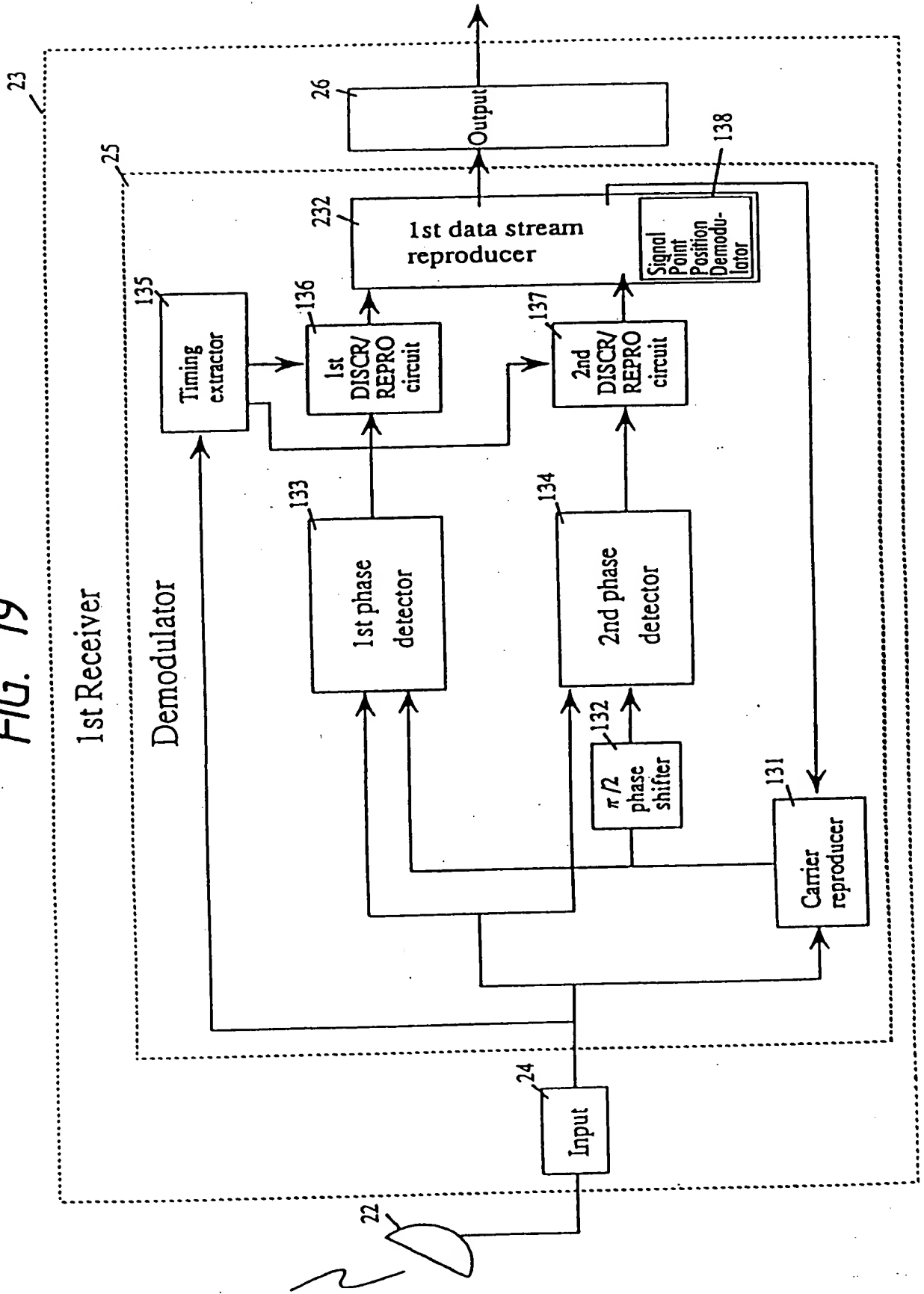


FIG. 20

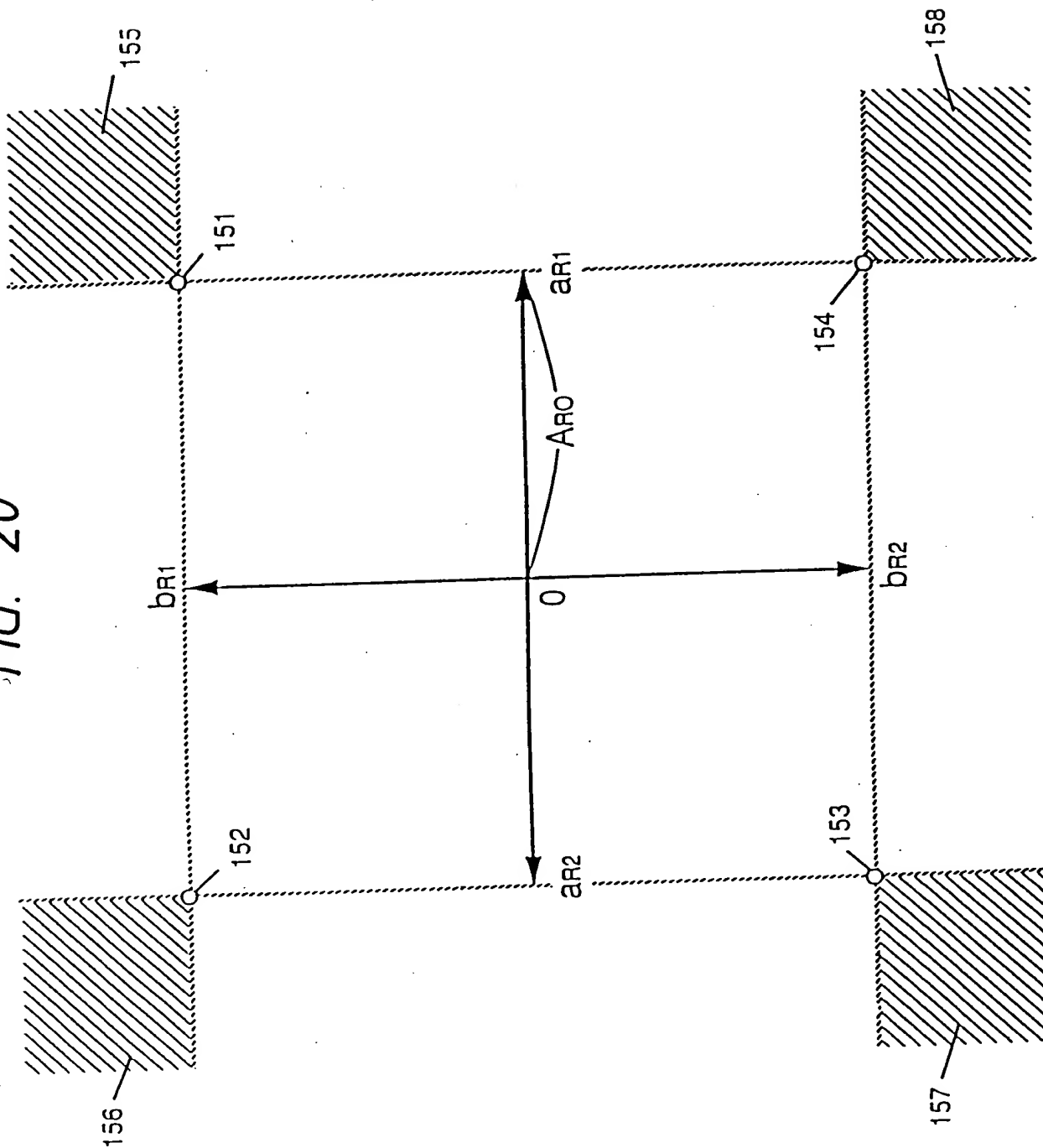


FIG. 21

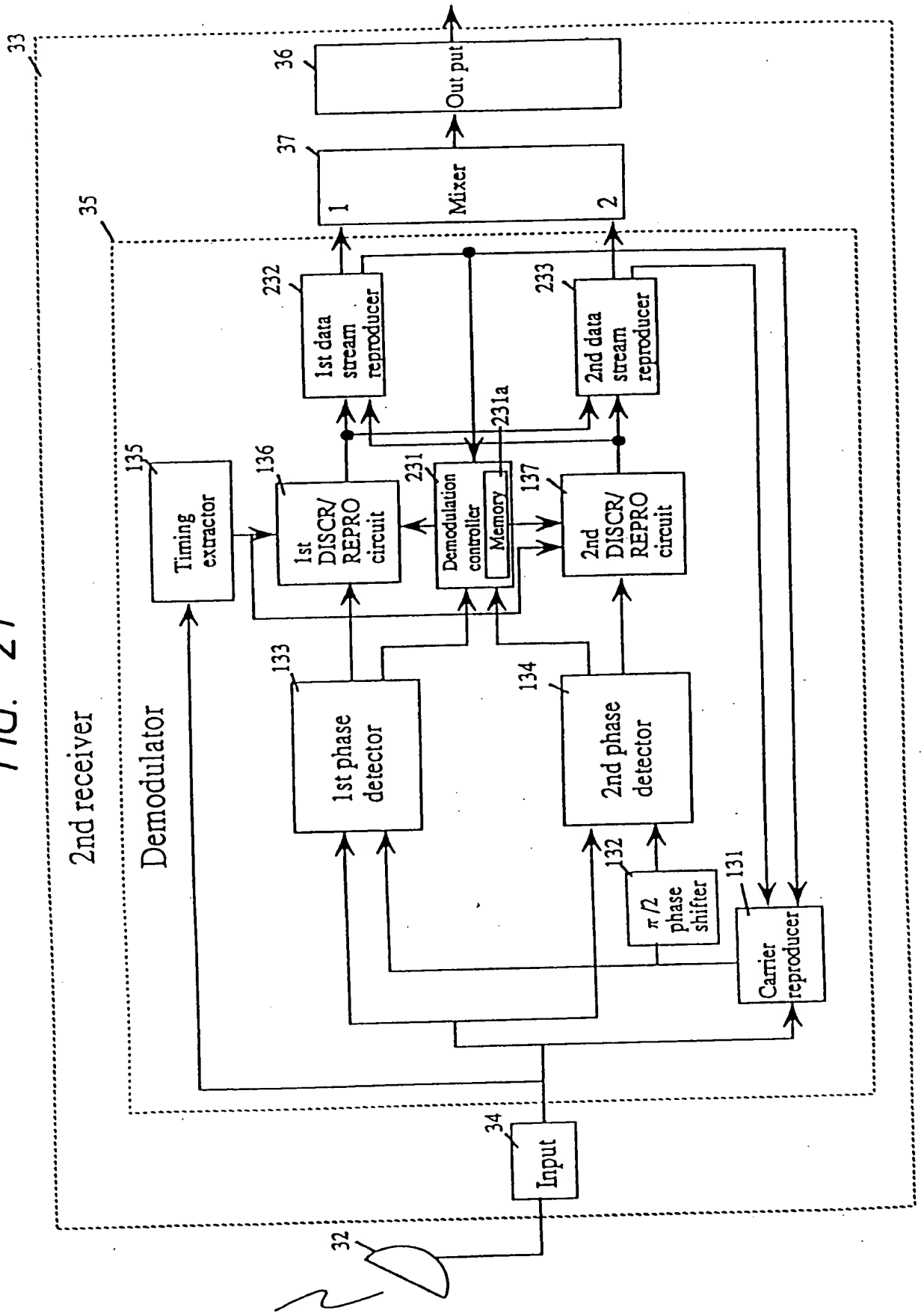


FIG. 22

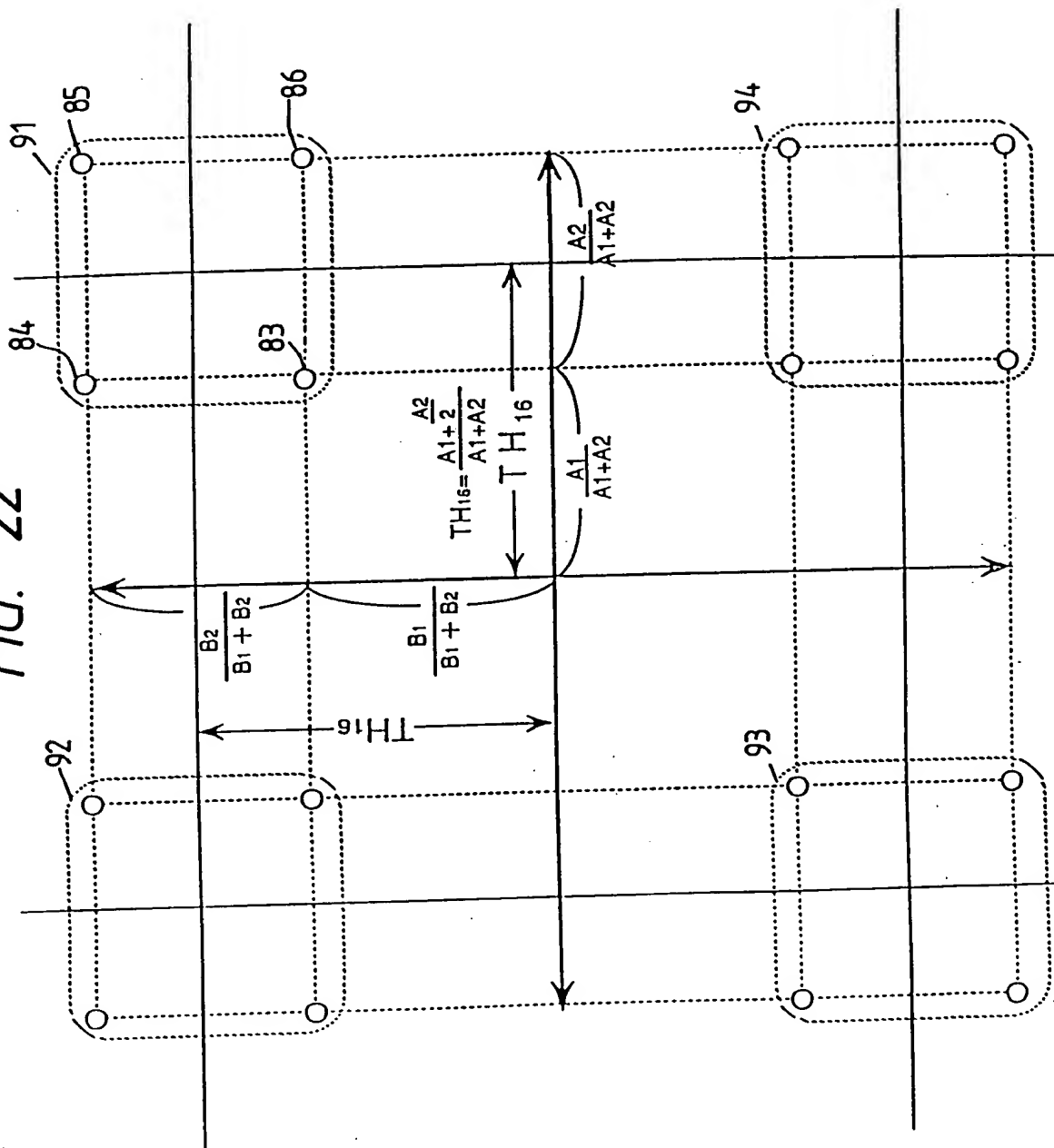


FIG. 23

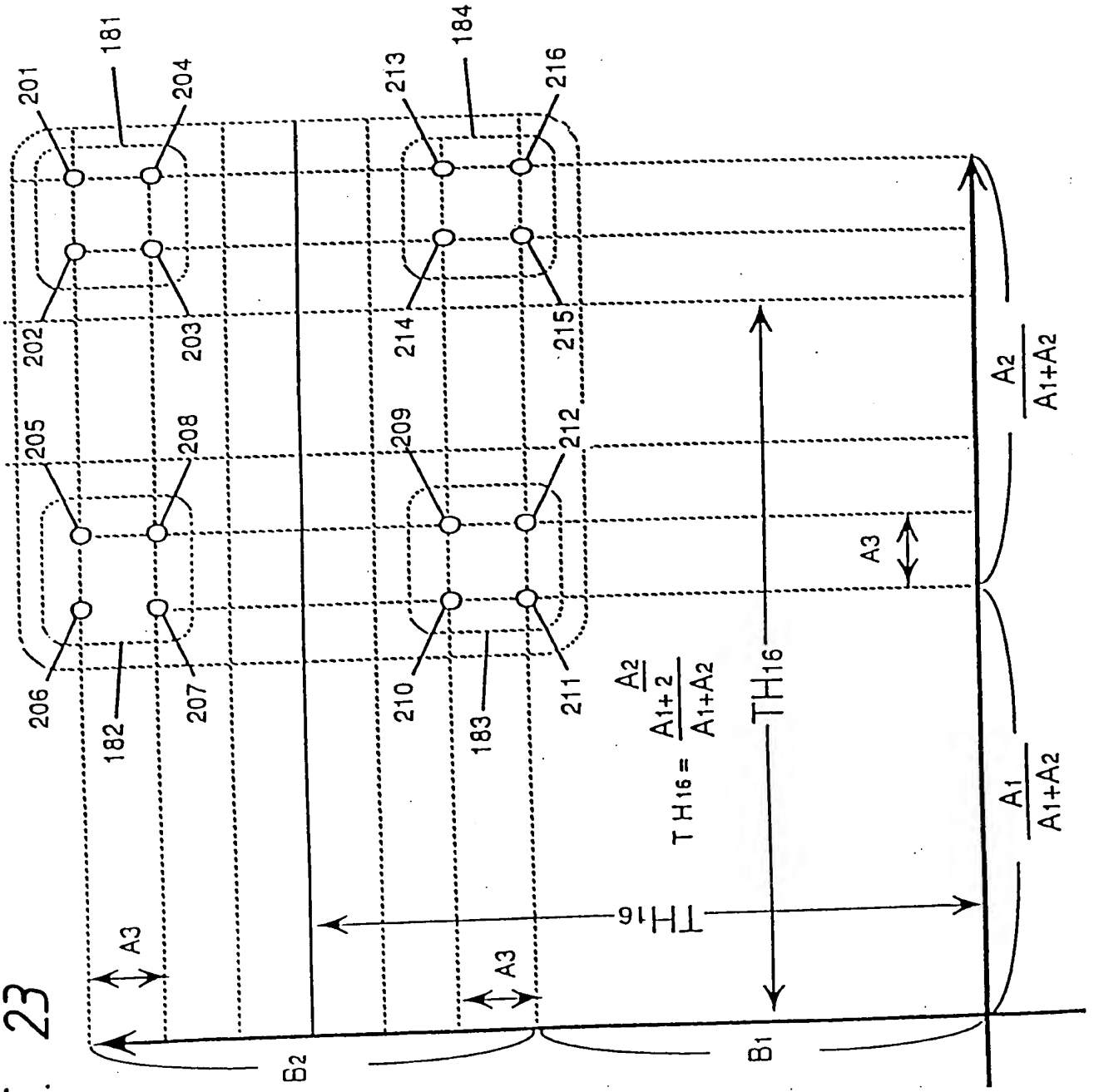
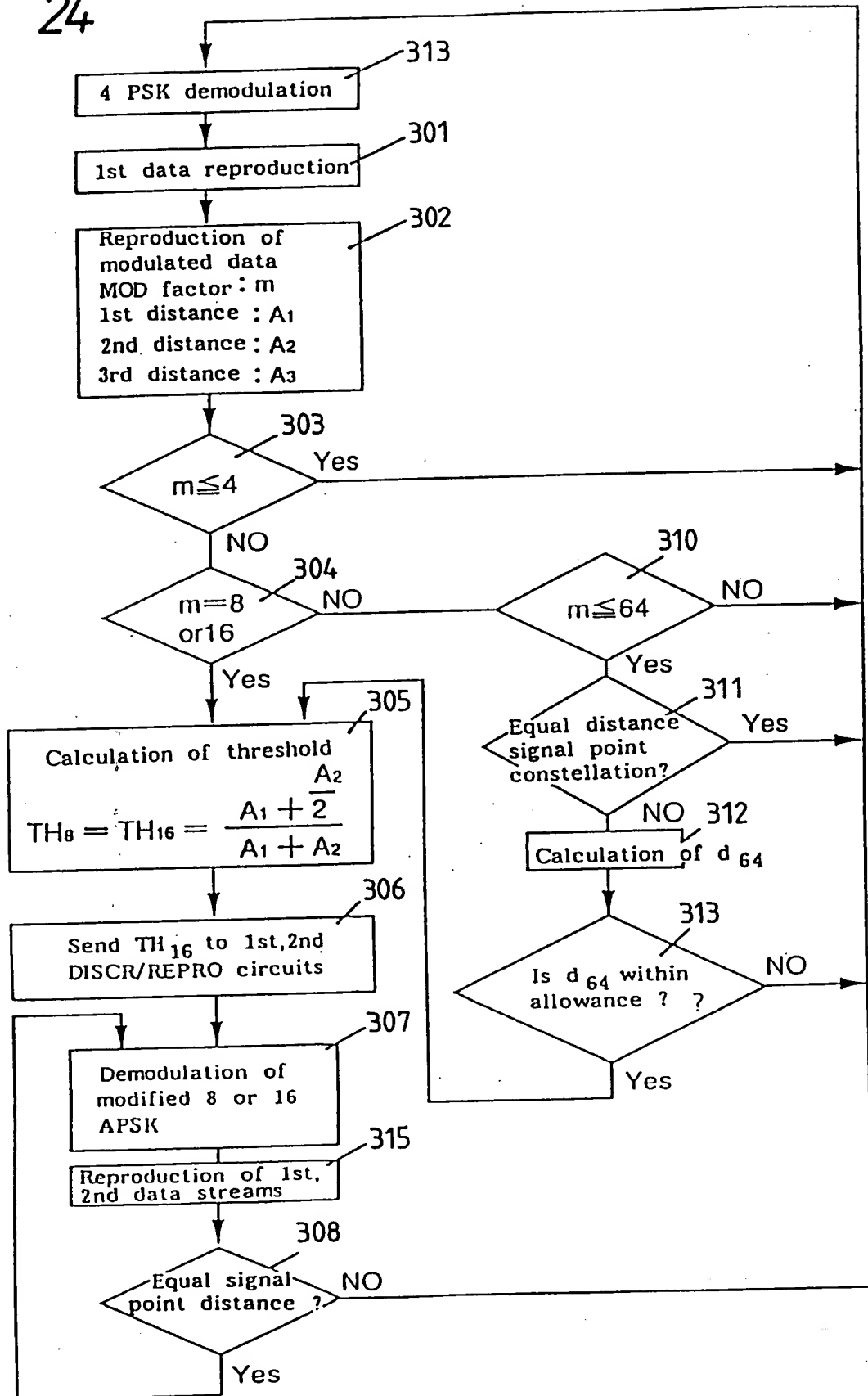


FIG. 24



09705776-10600

FIG. 25(a)

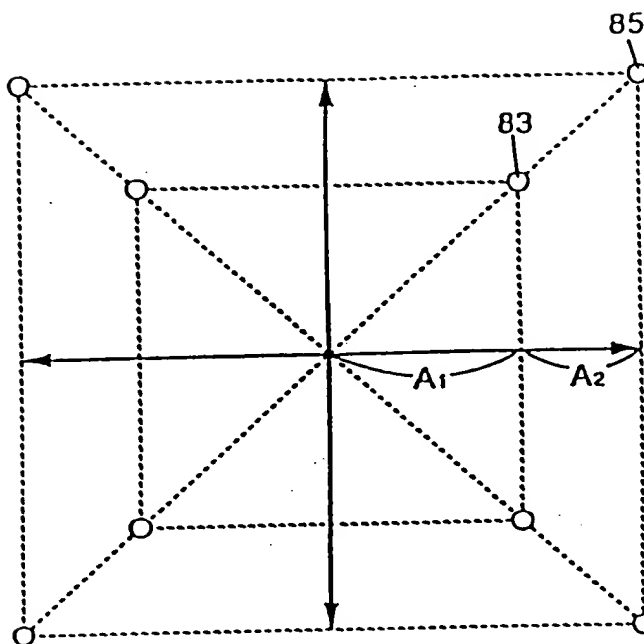


FIG. 25(b)

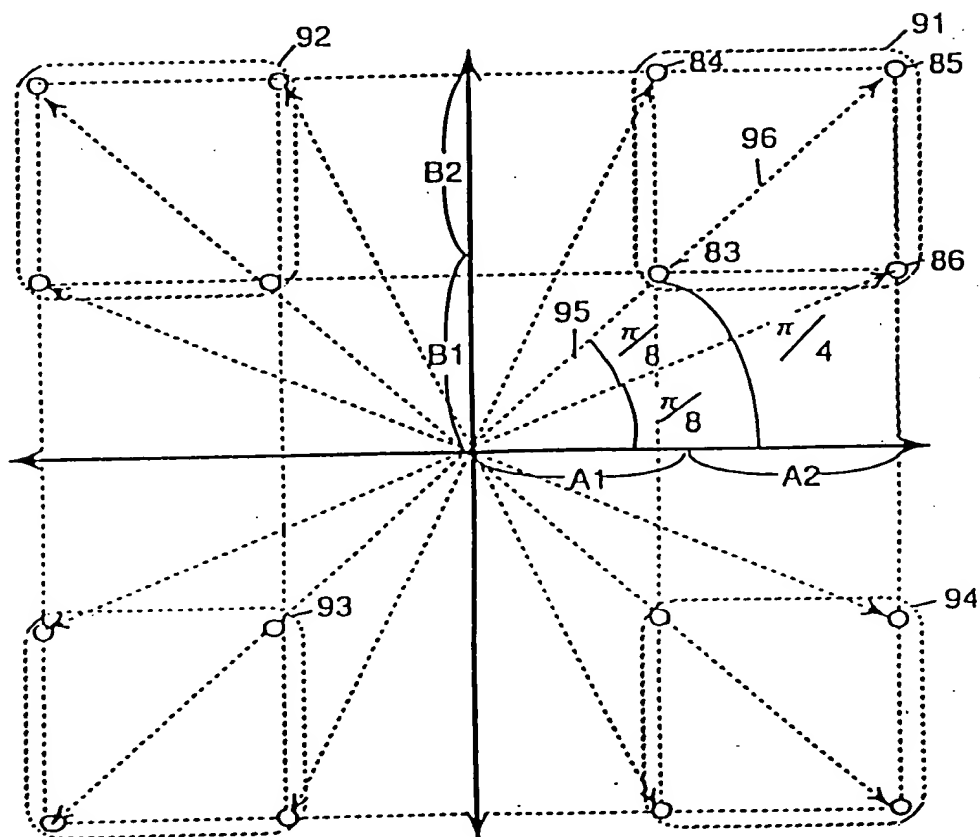


FIG. 26

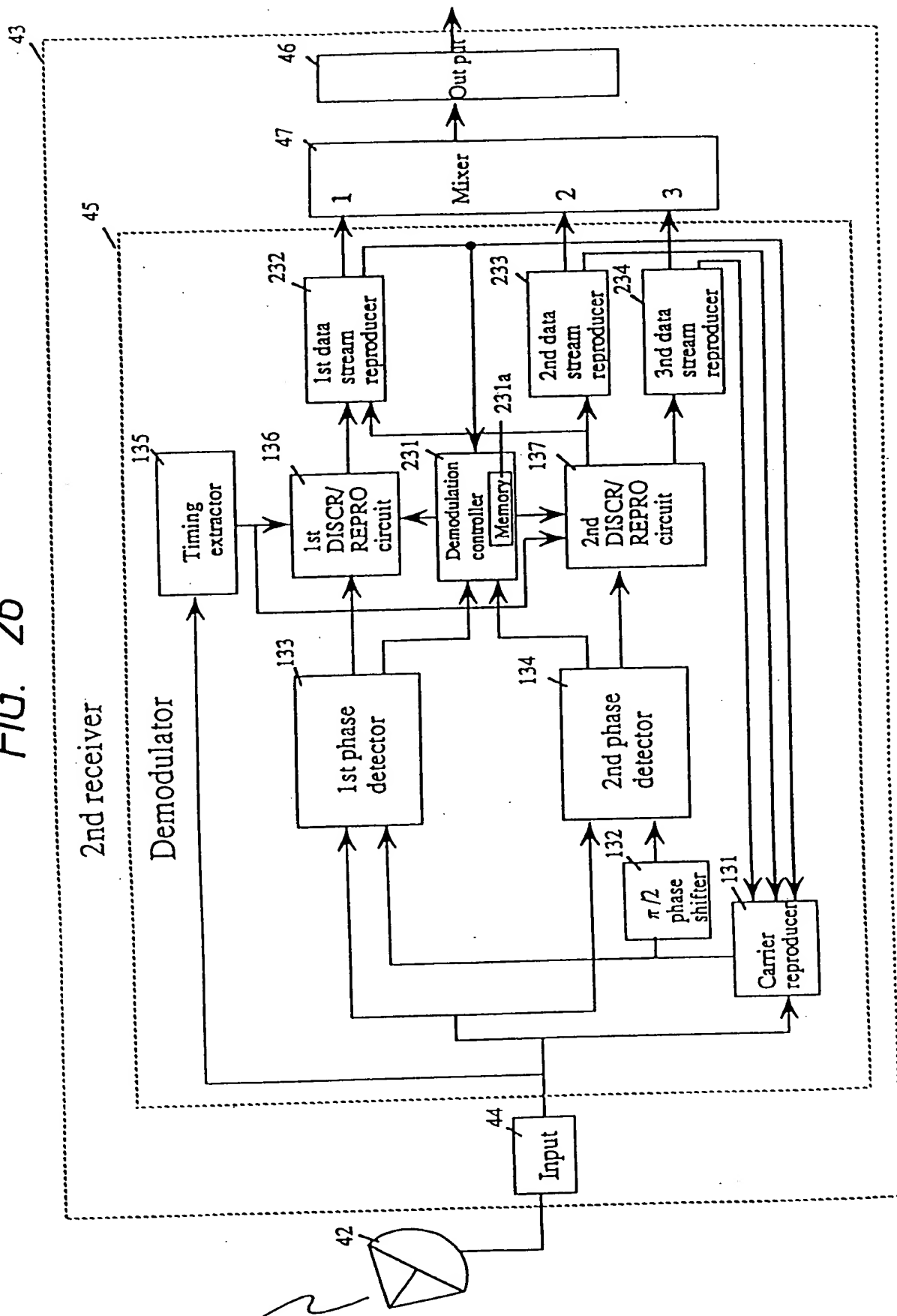
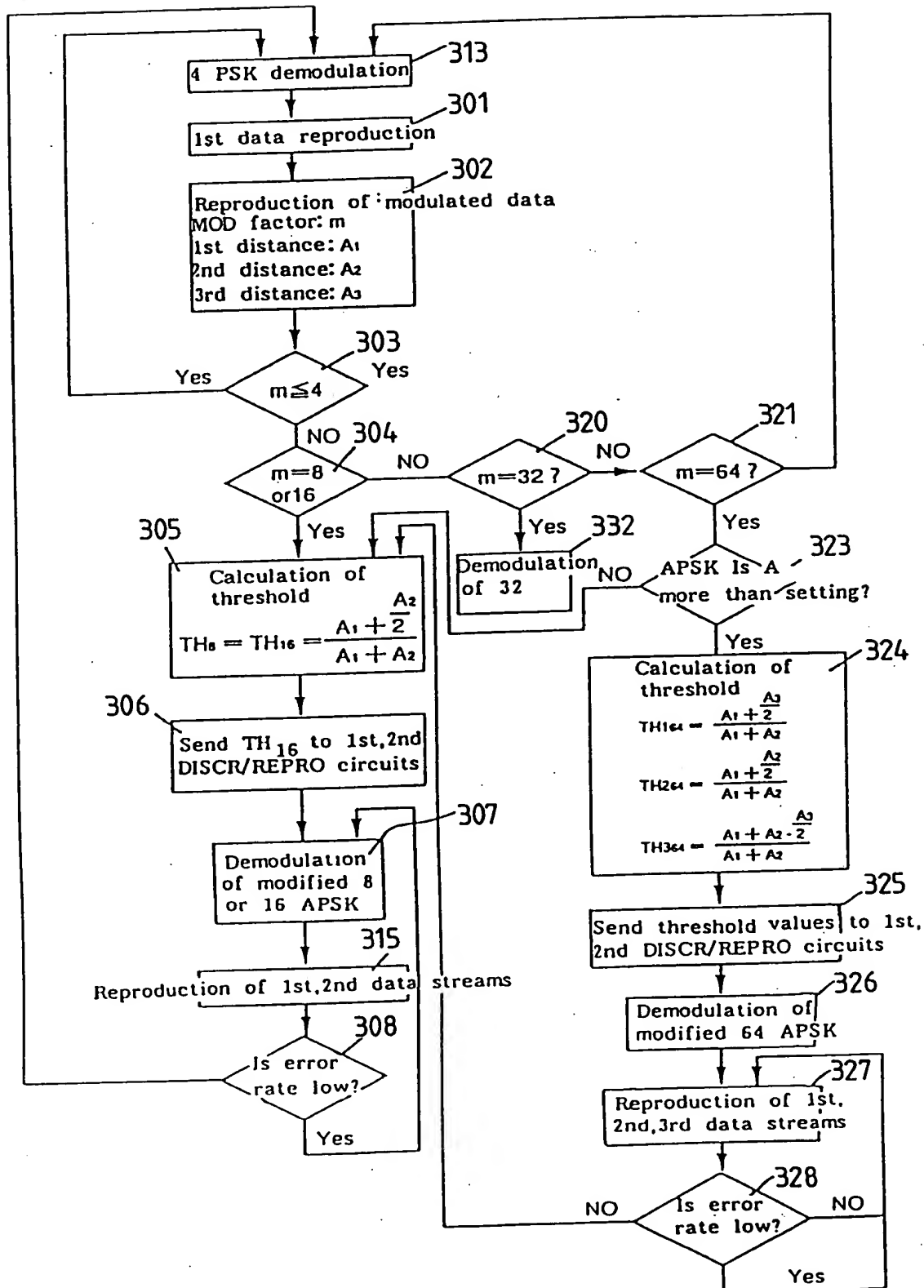


FIG. 28



09705776, 110600

FIG. 29

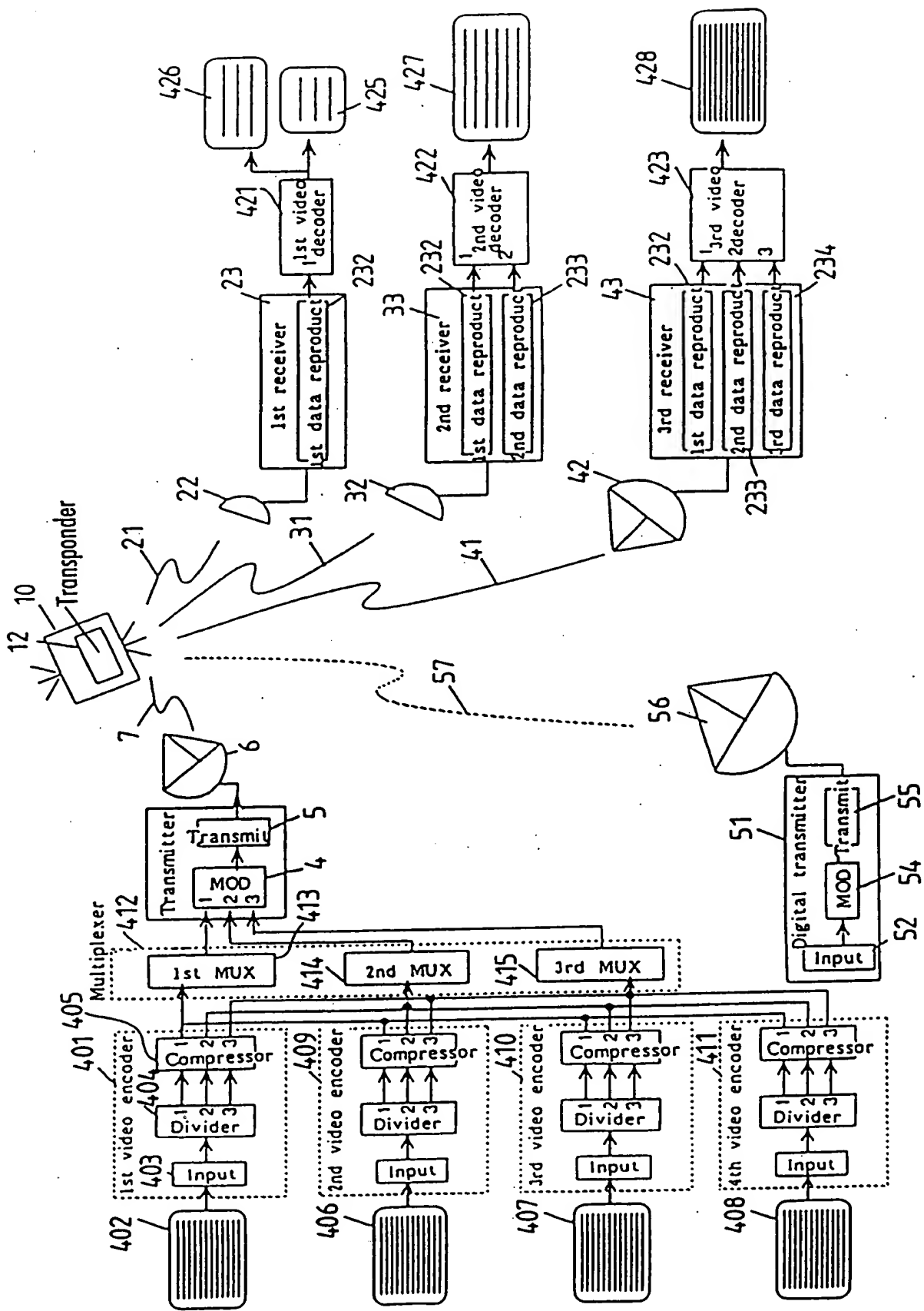


FIG. 30

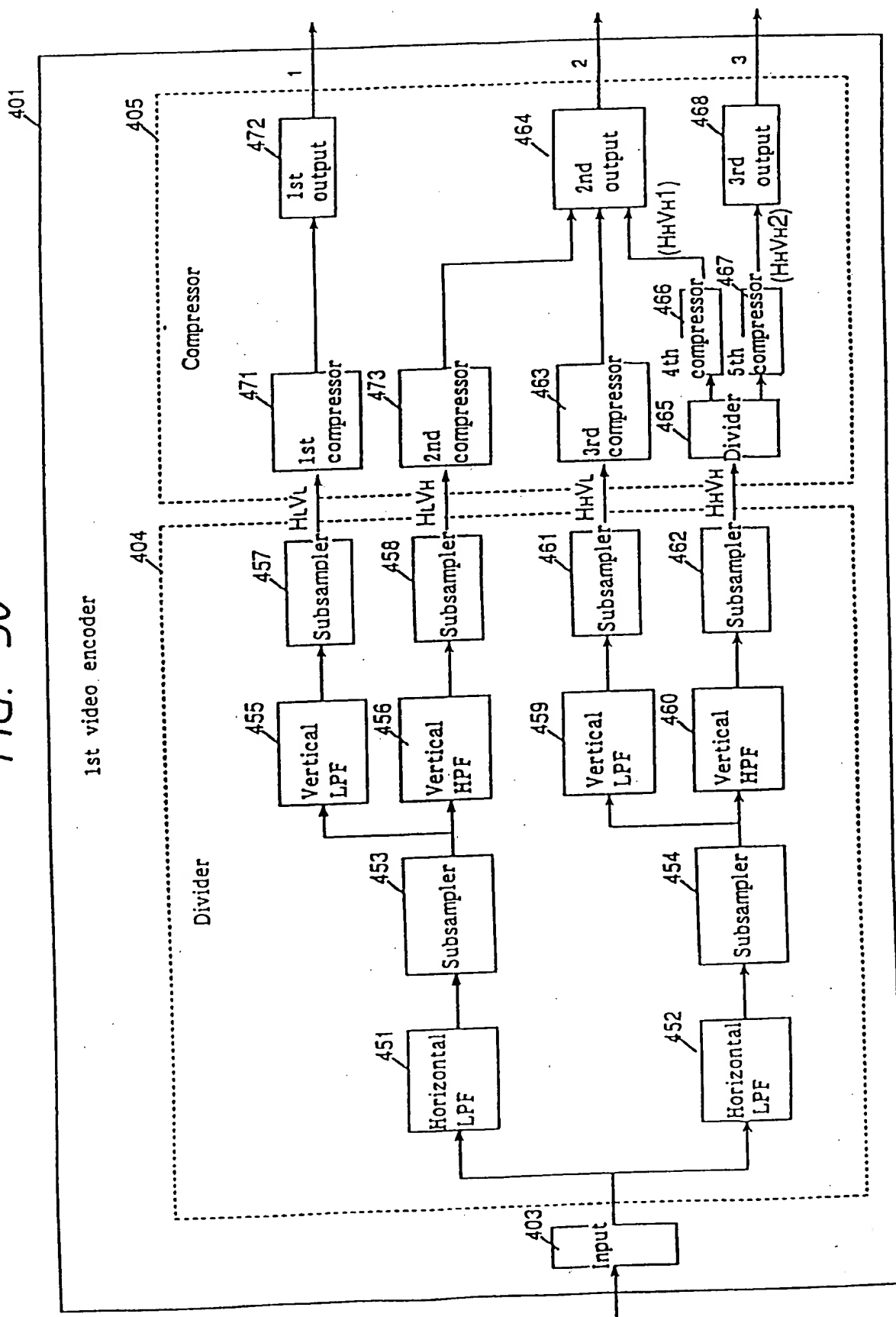


FIG. 31

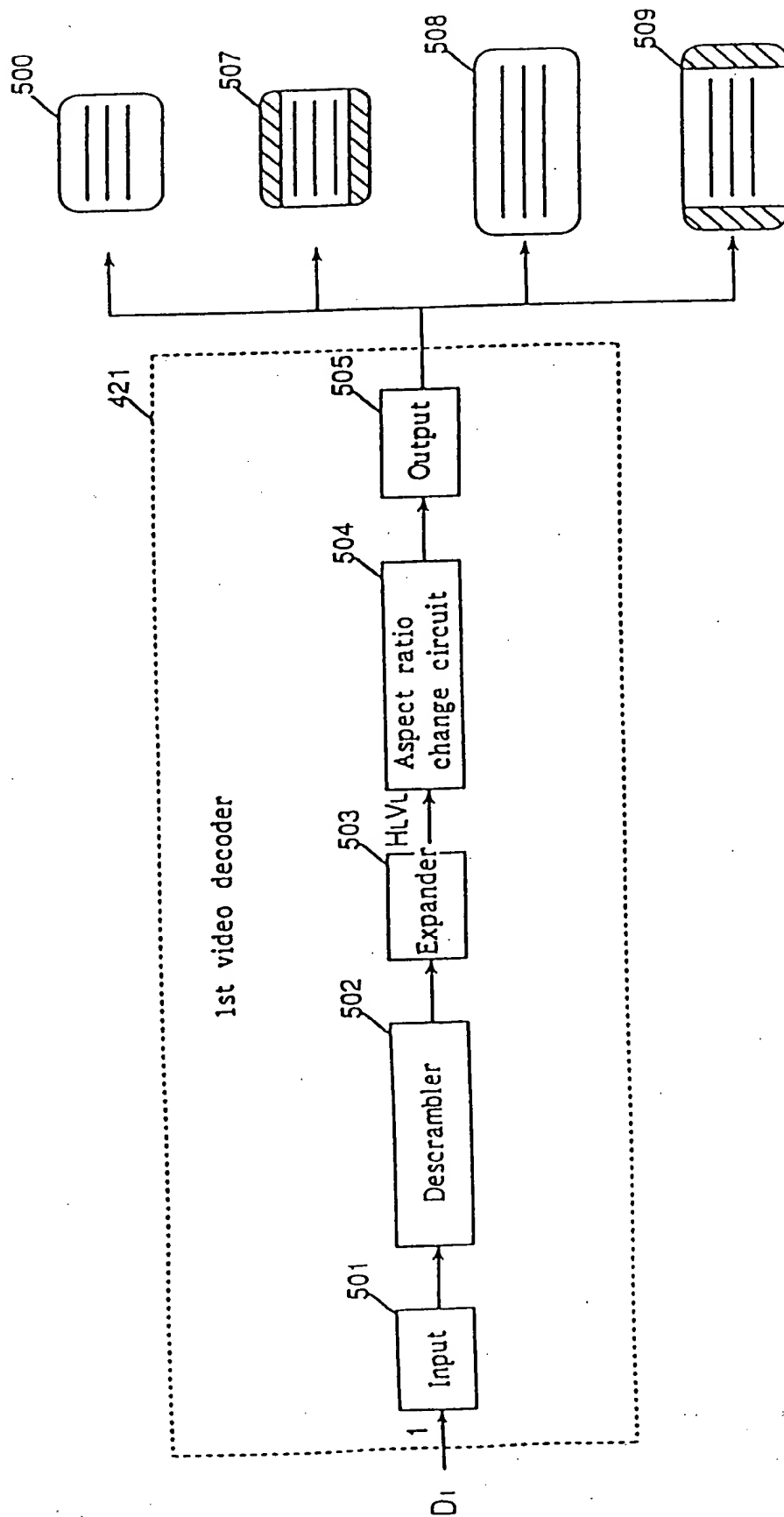


FIG. 32

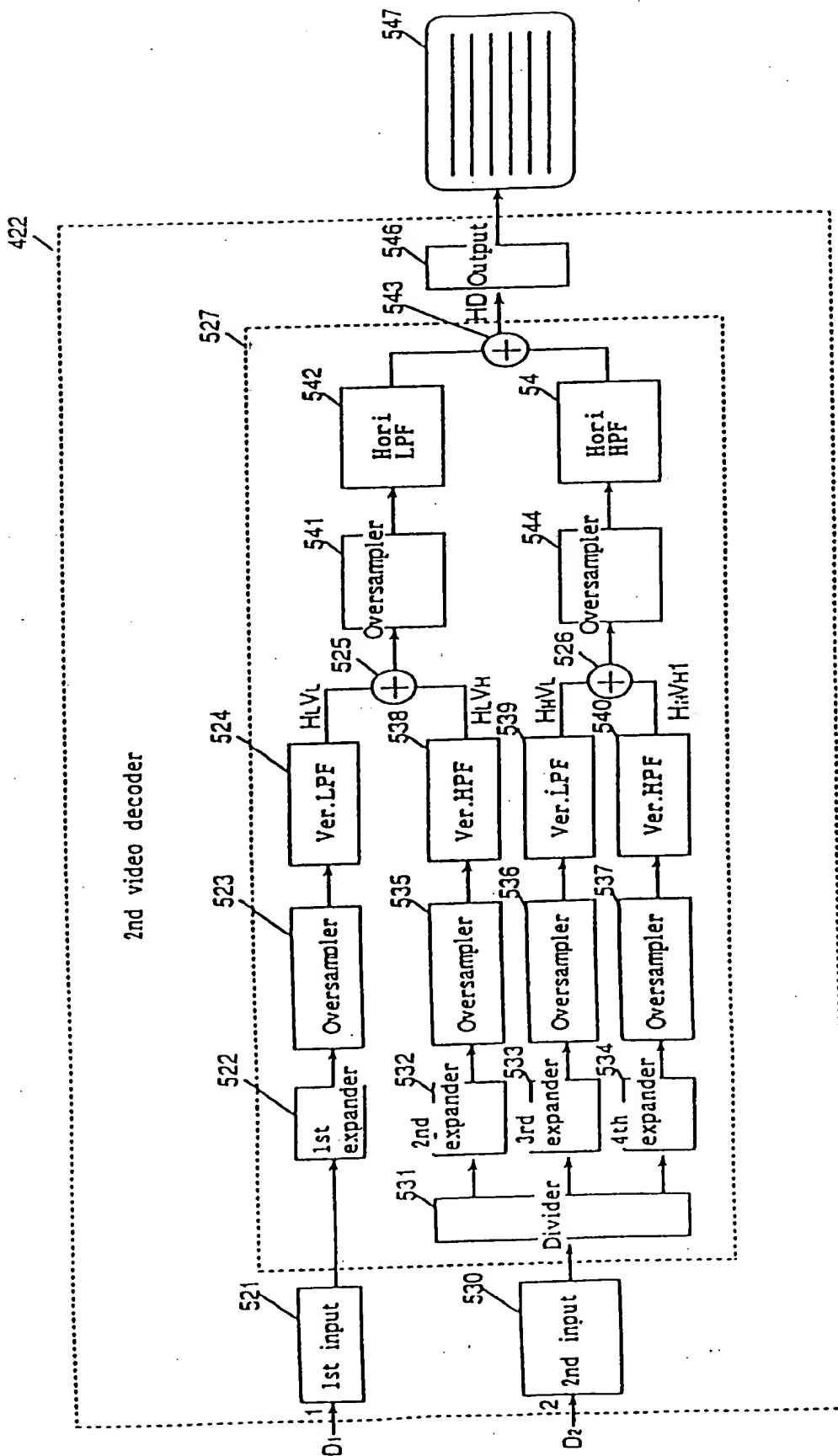


FIG. 33

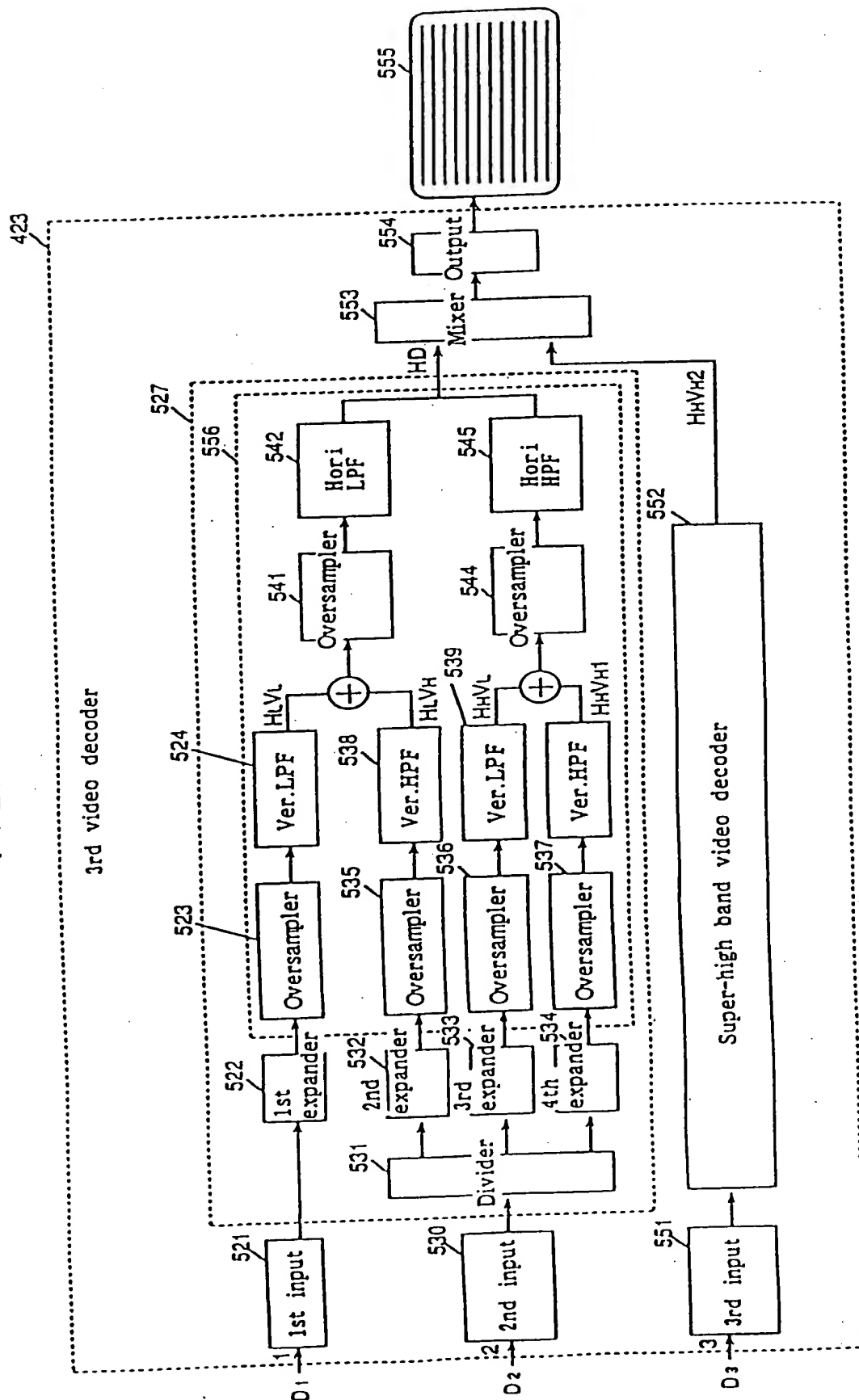


FIG. 34

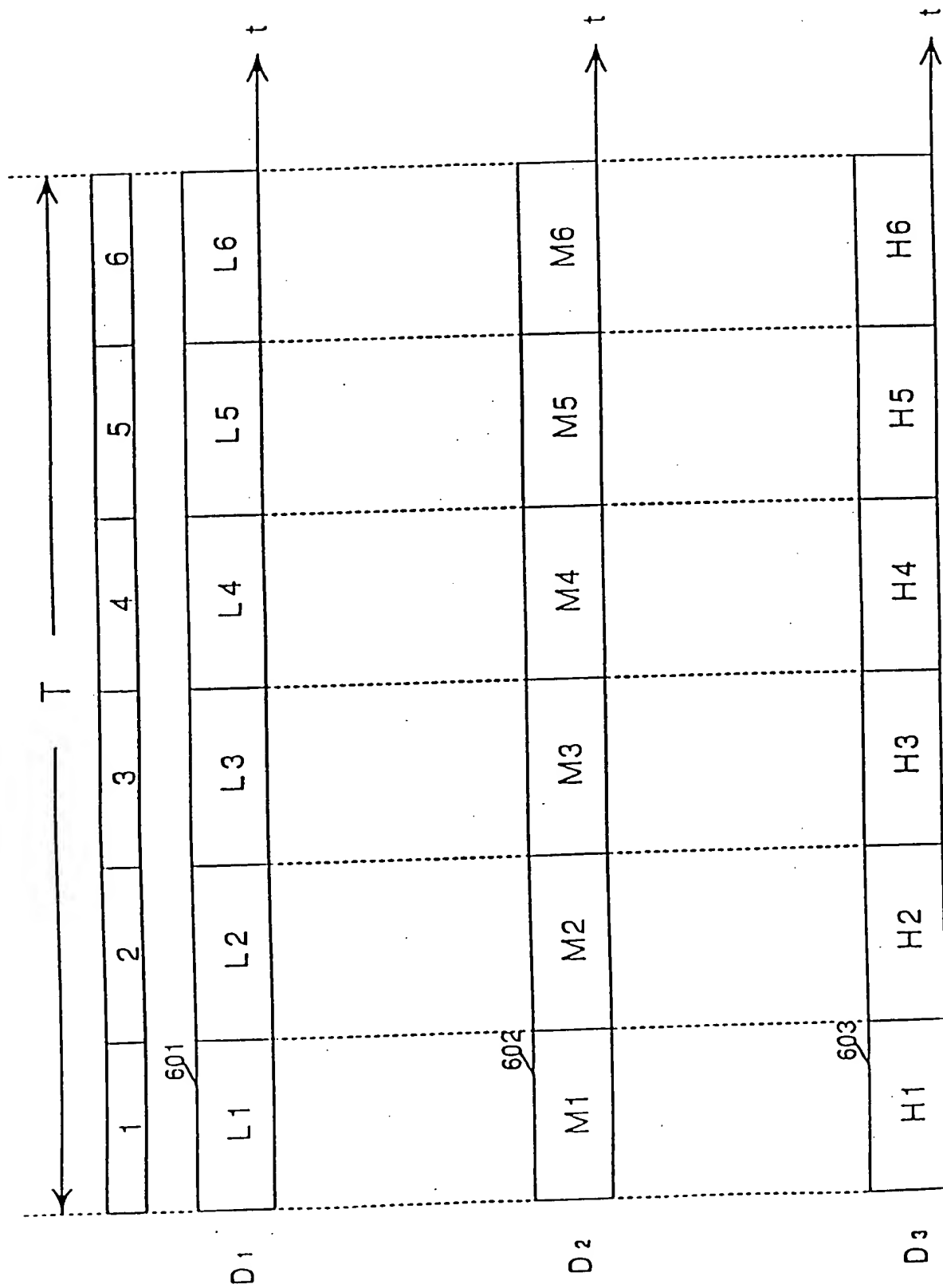


FIG. 35

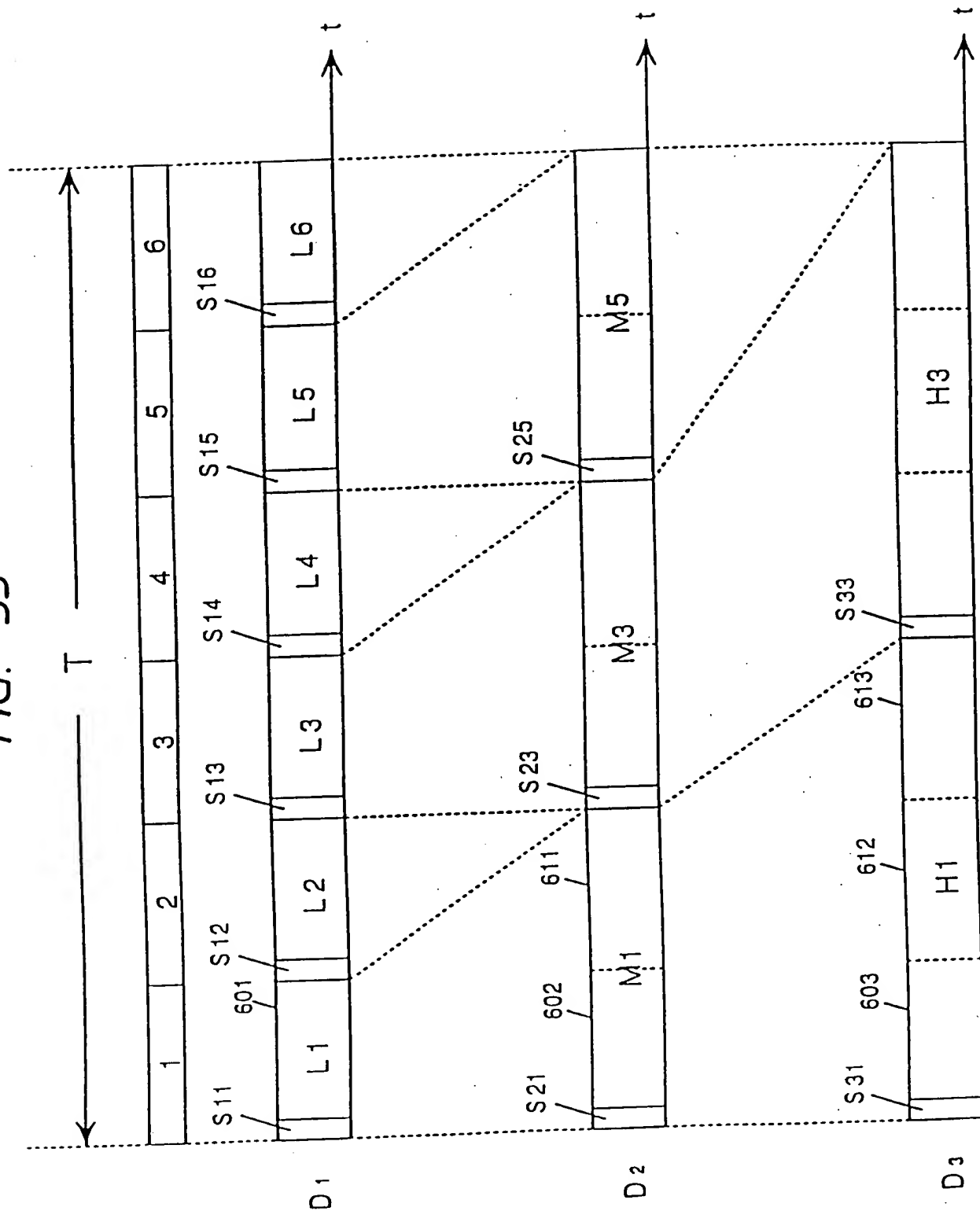


FIG. 36

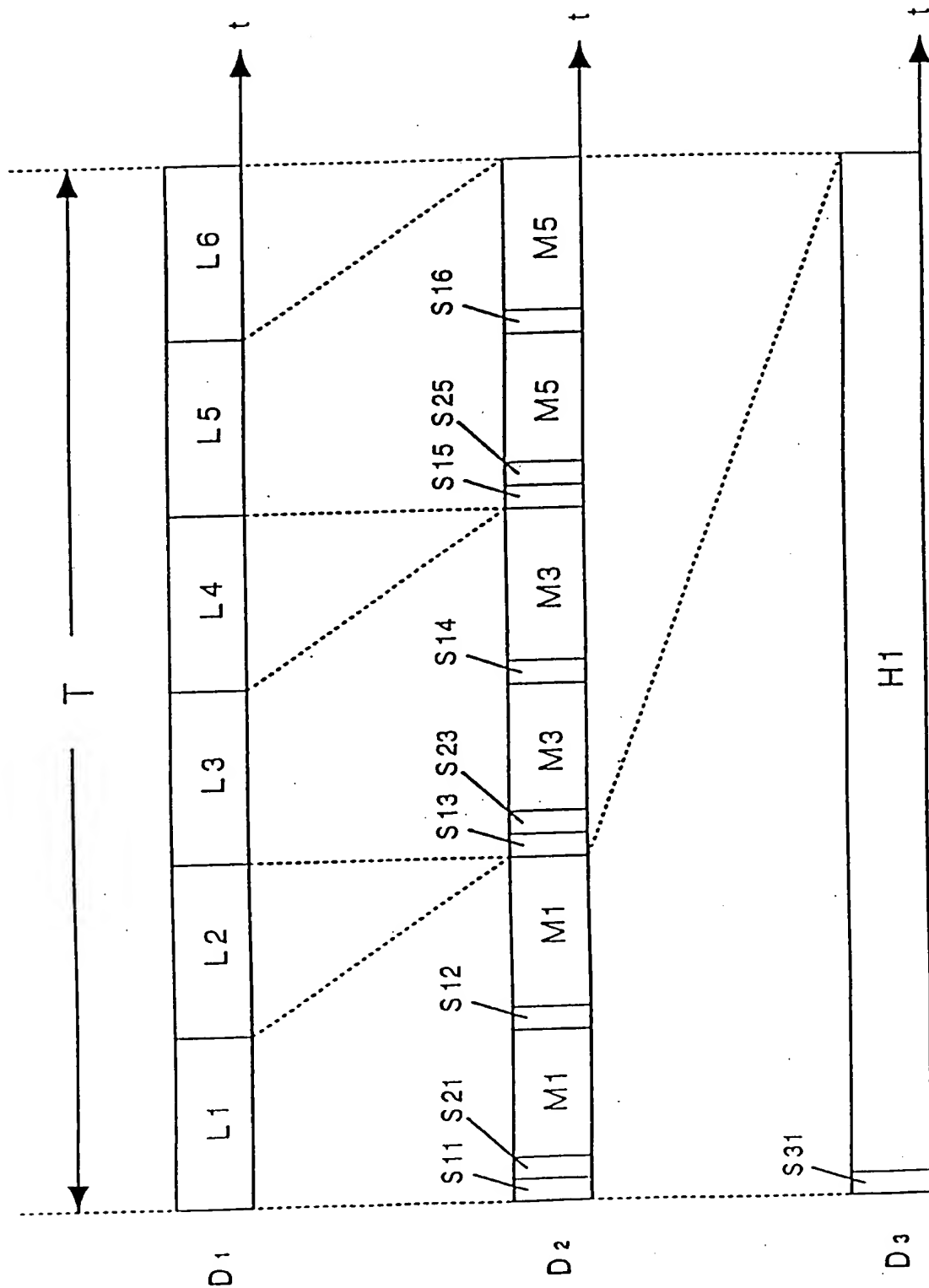
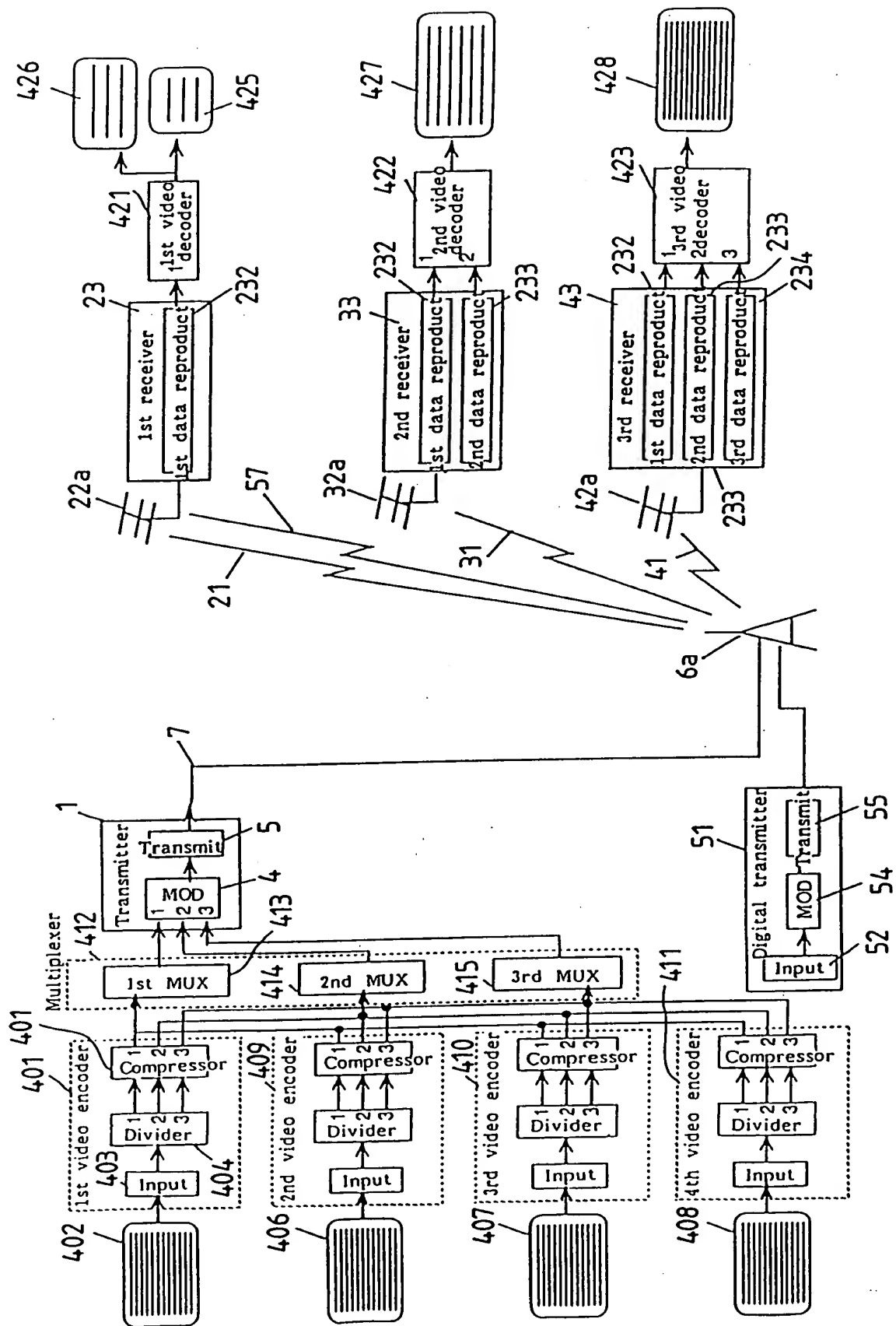


FIG. 37



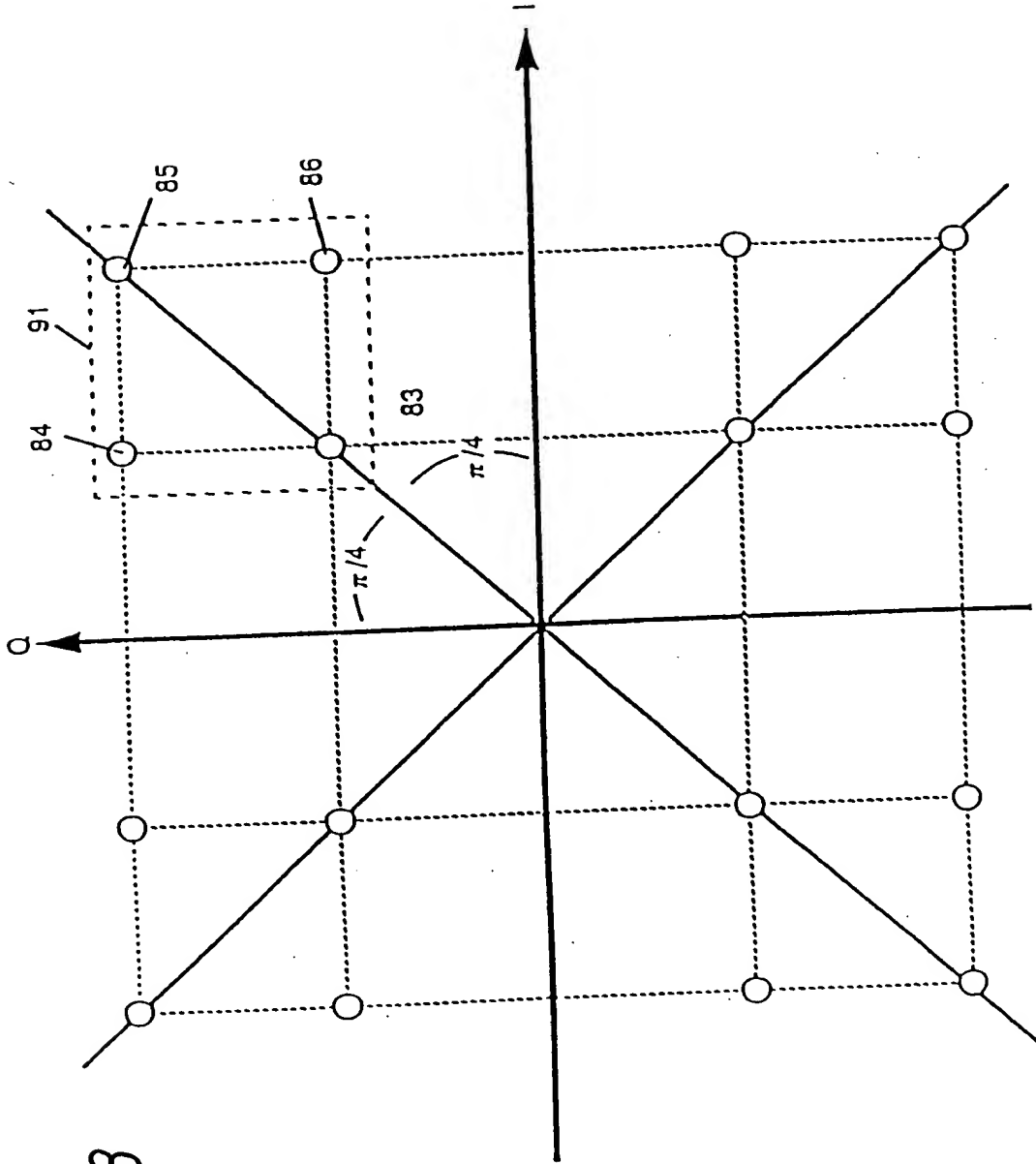
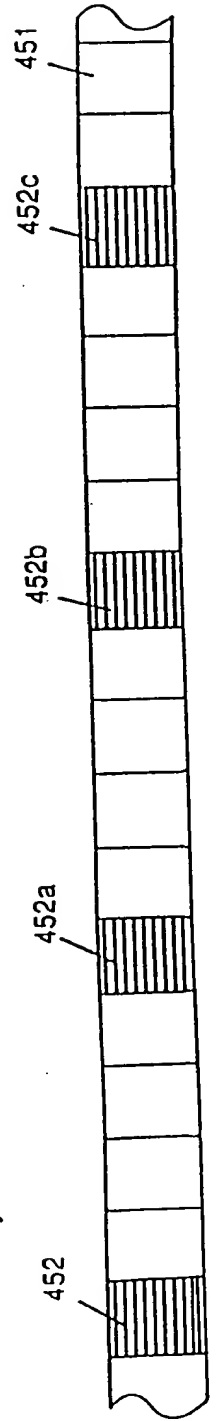
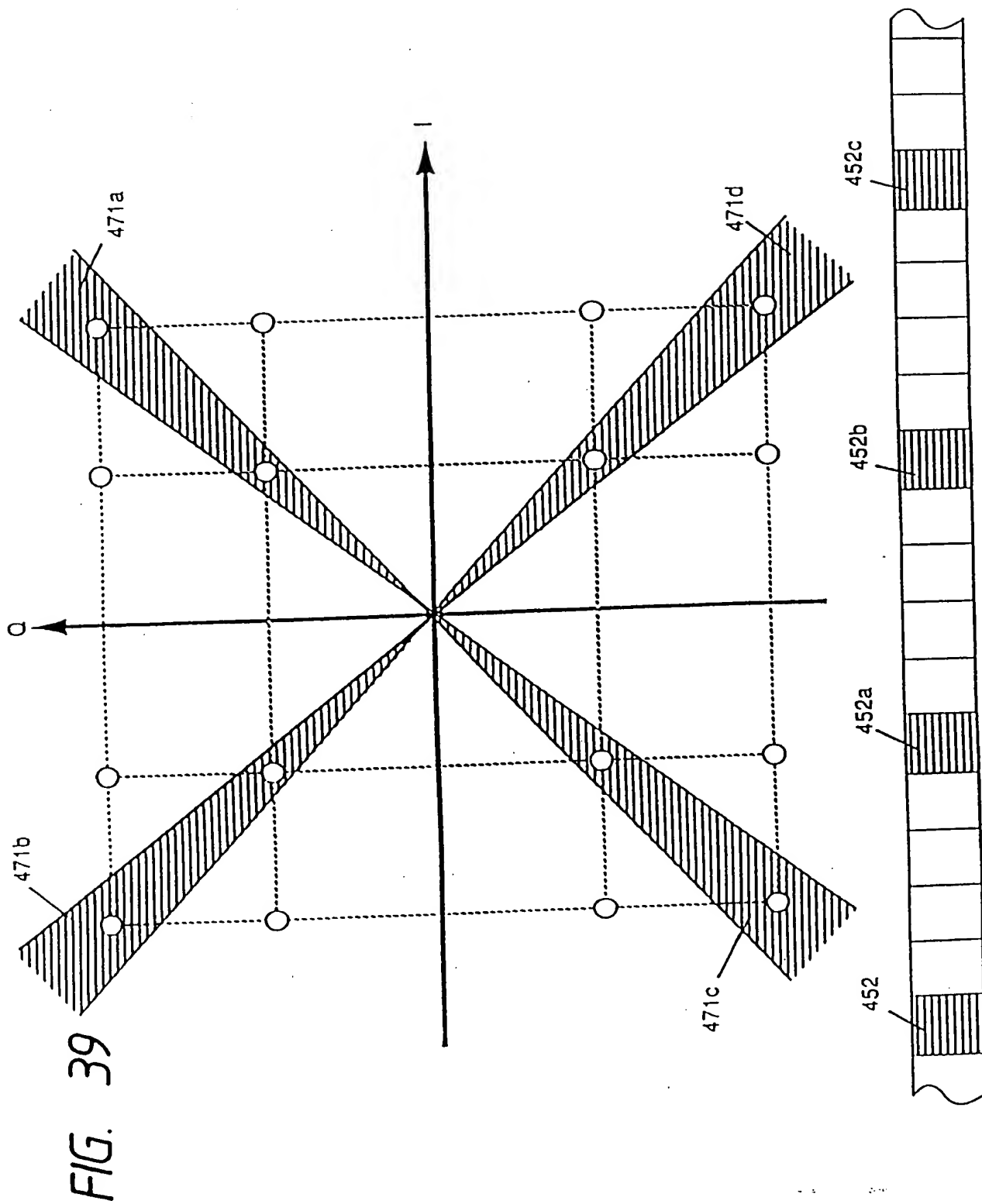


FIG. 38





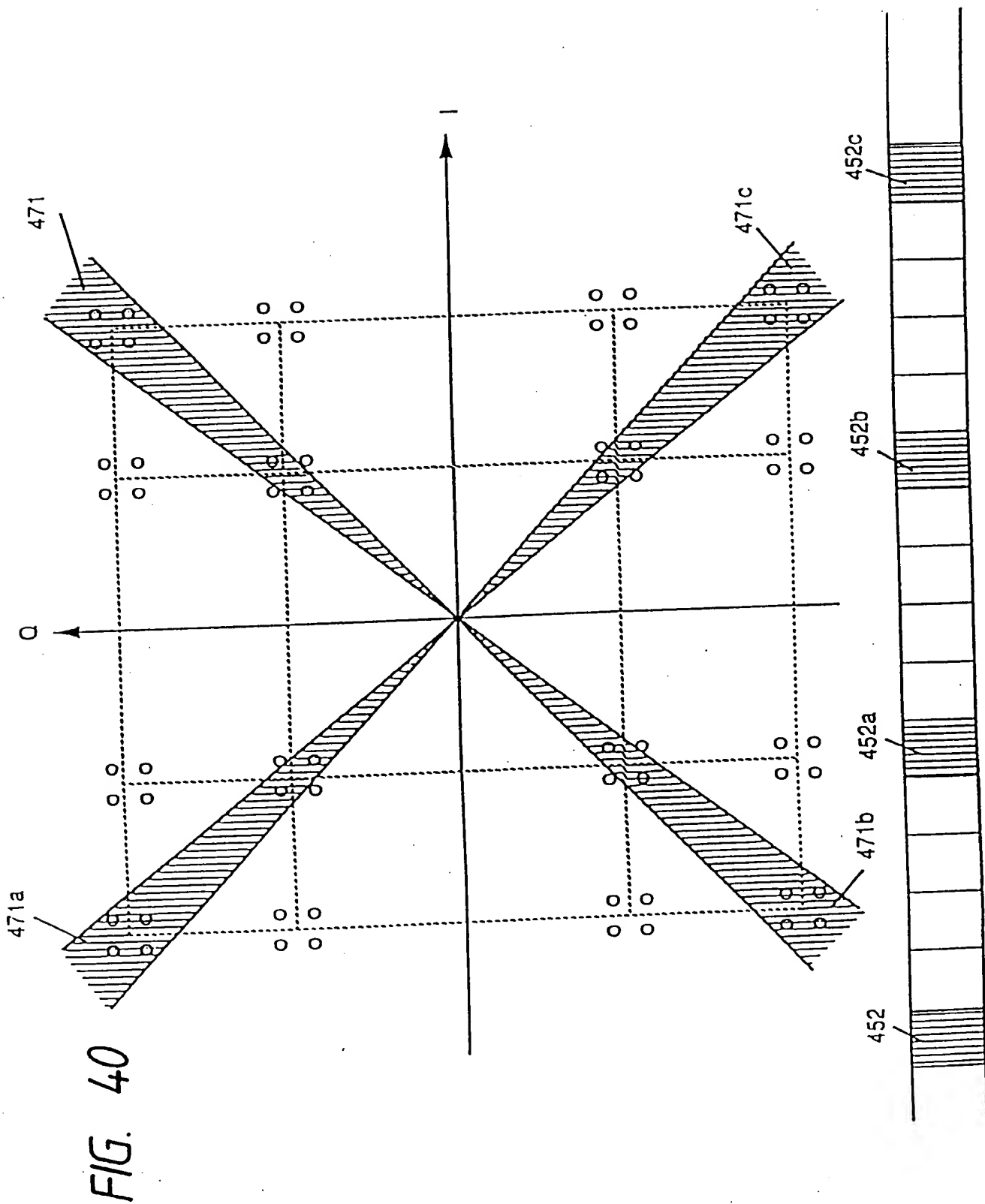


FIG. 41

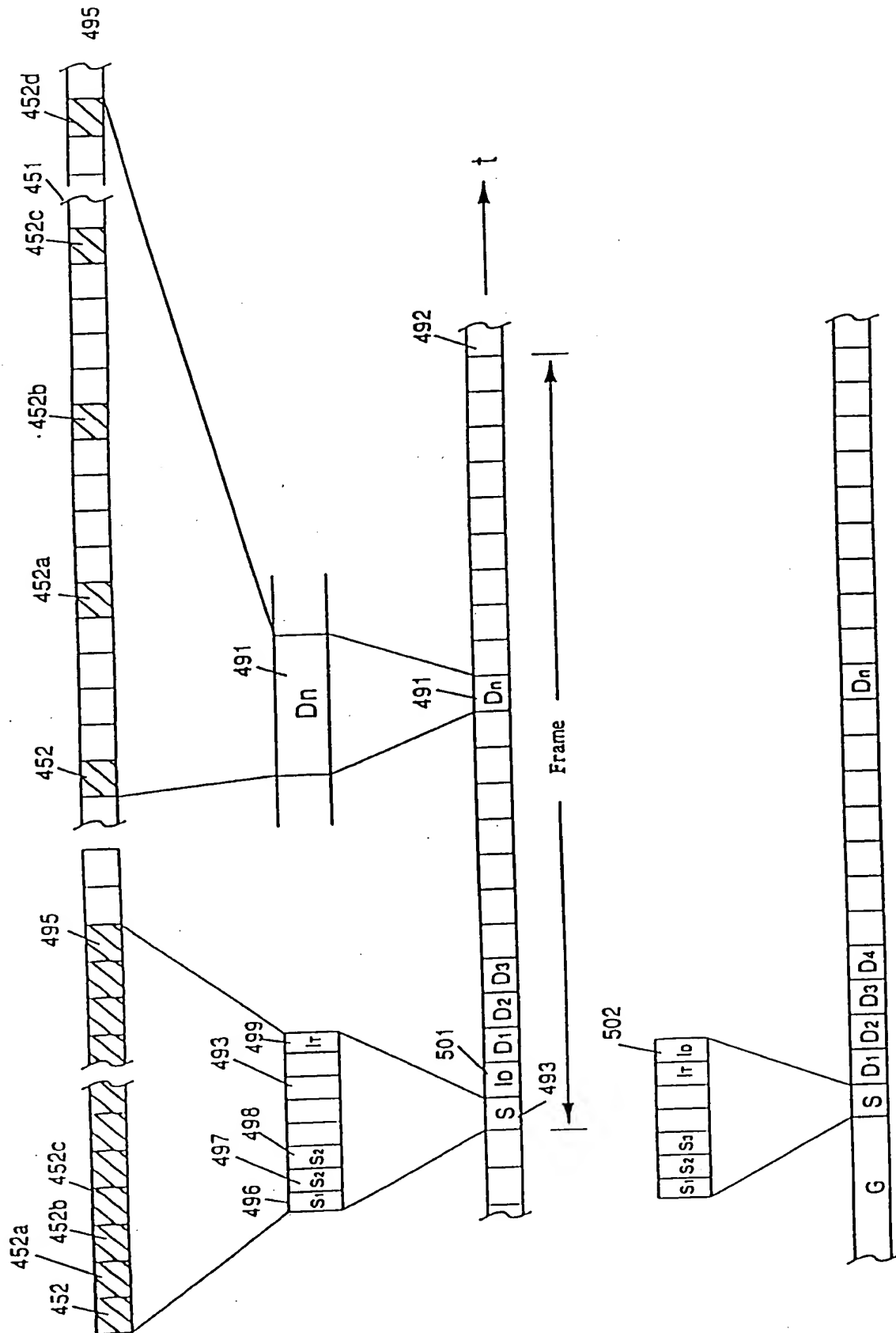


FIG. 42

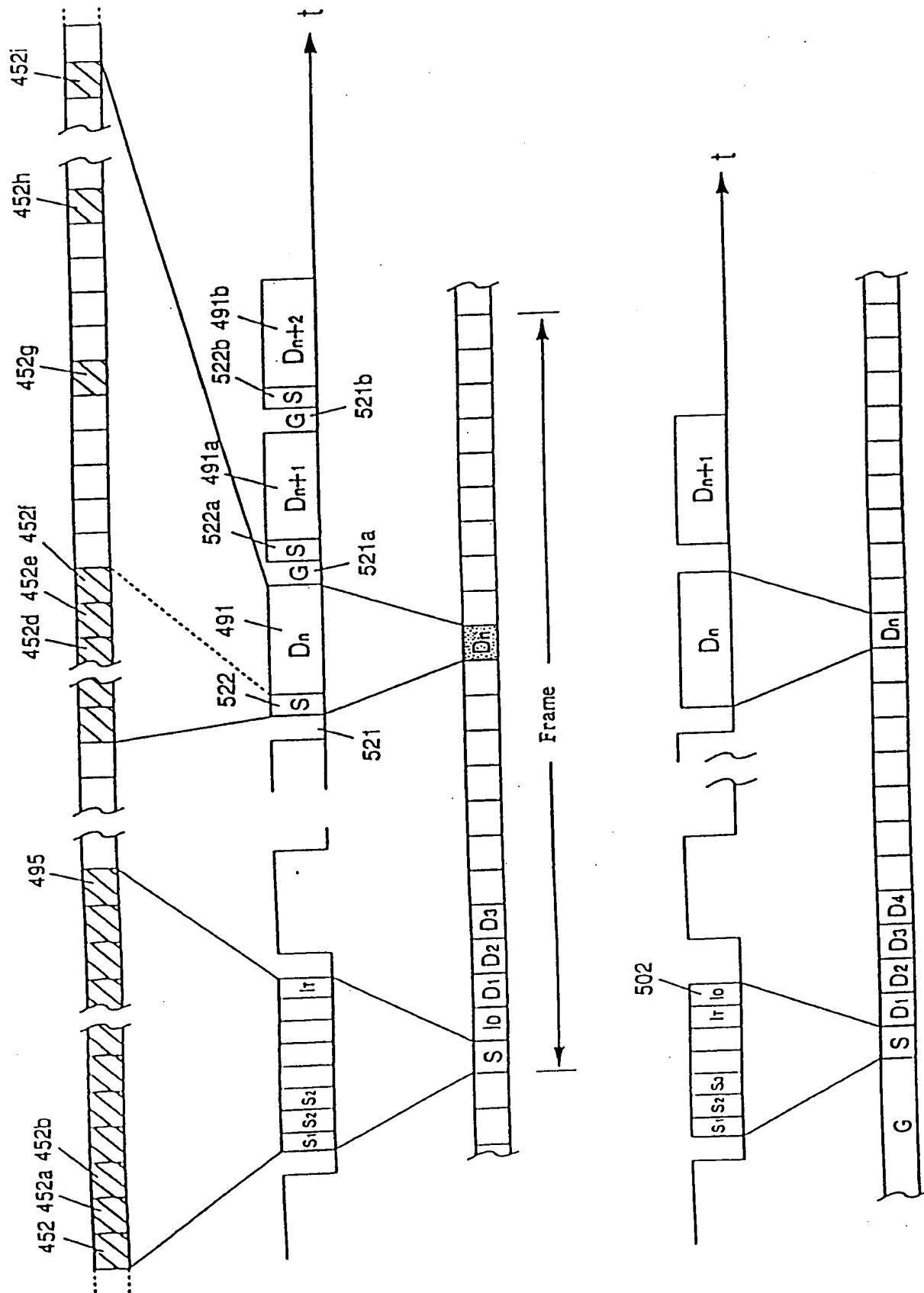


FIG. 43

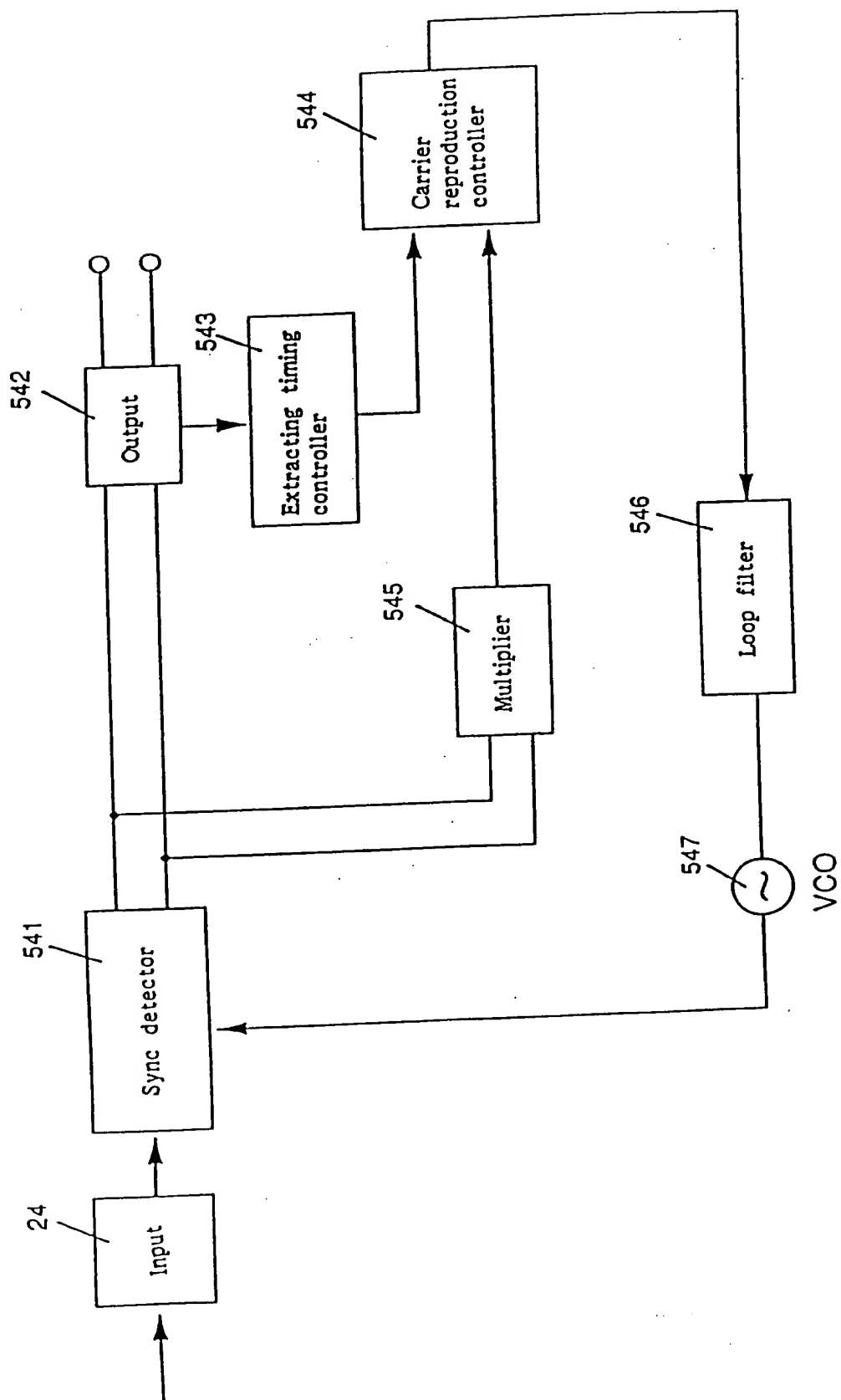


FIG. 44

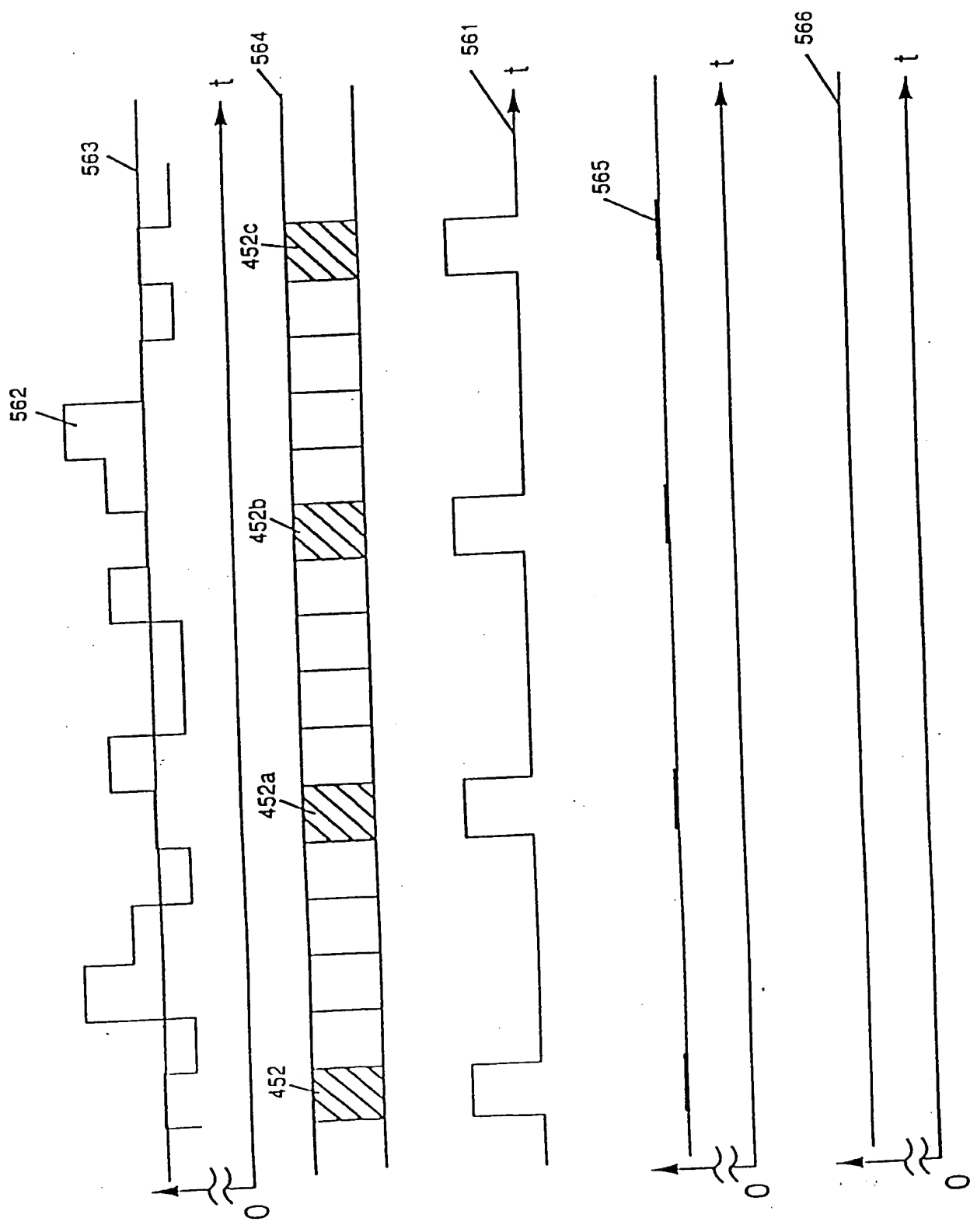


FIG. 45

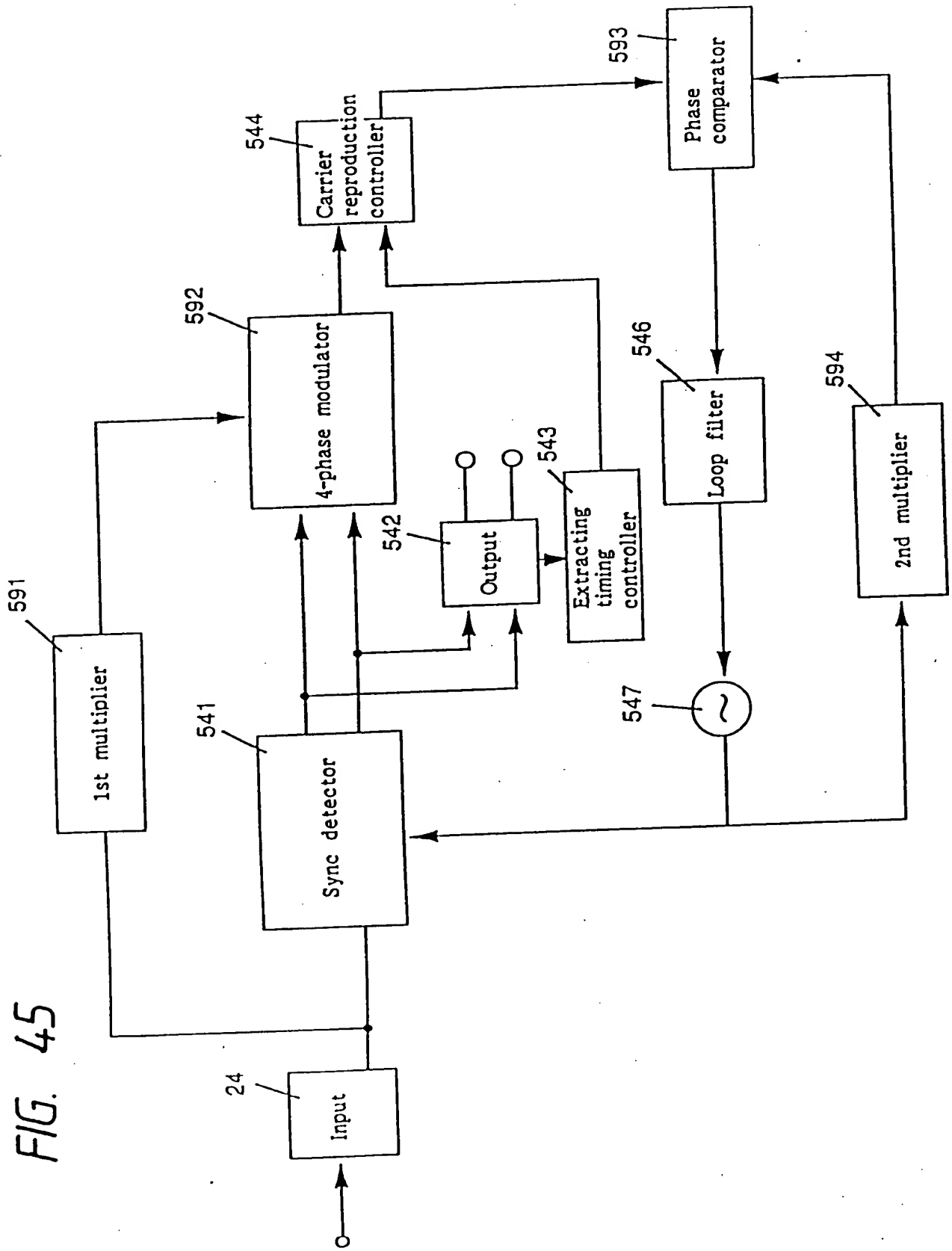


FIG. 46

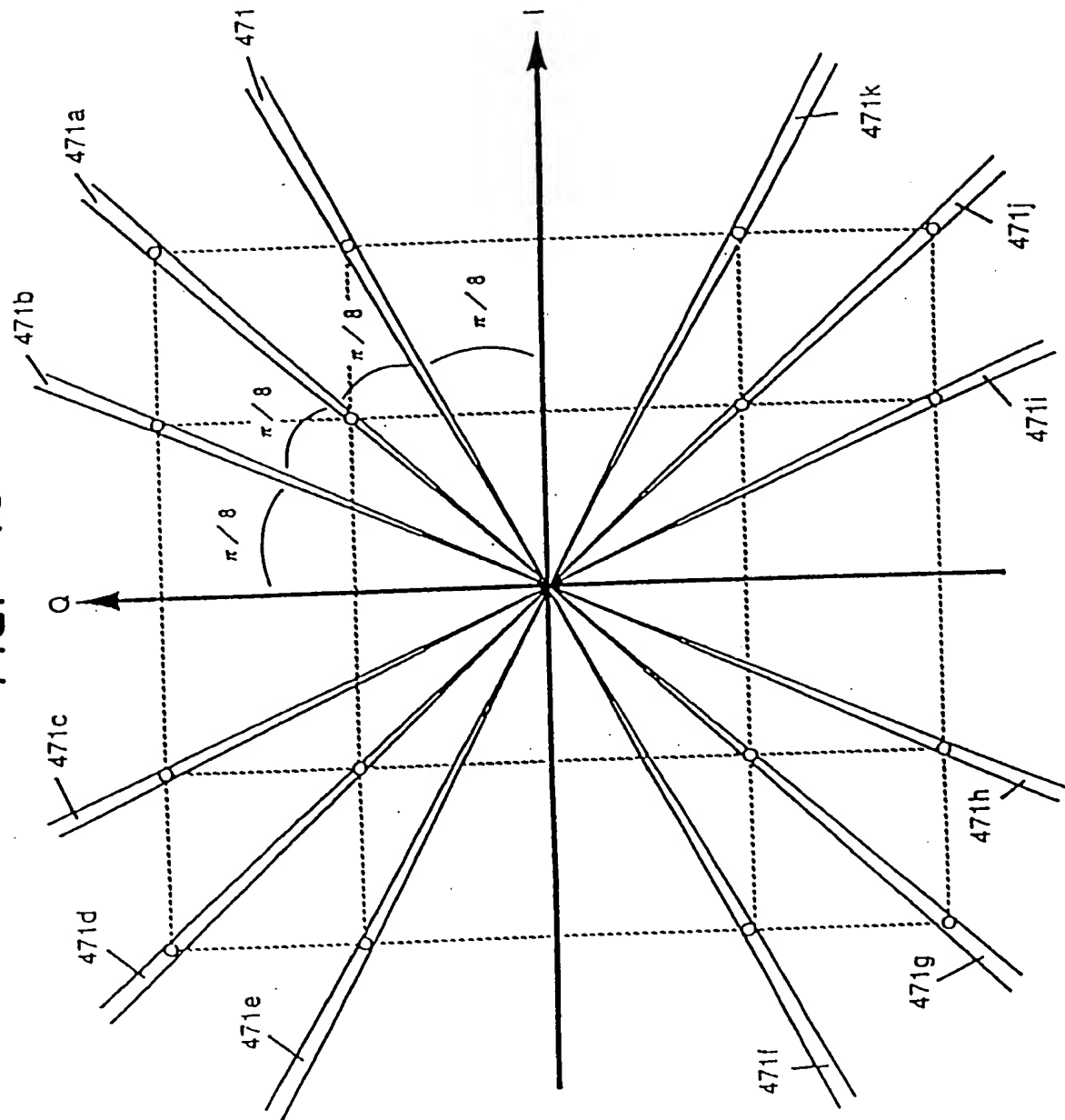


FIG. 47

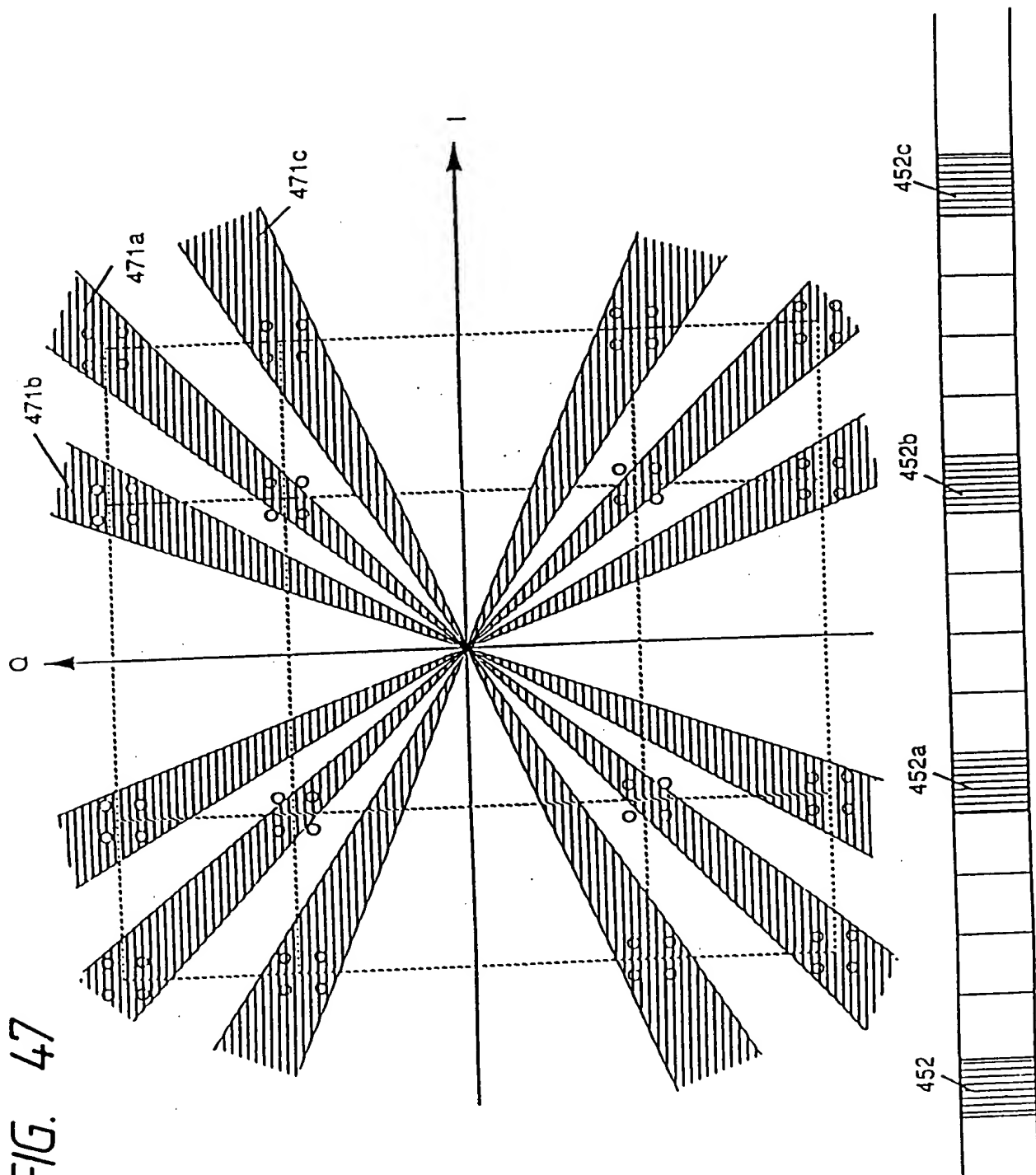


FIG. 48

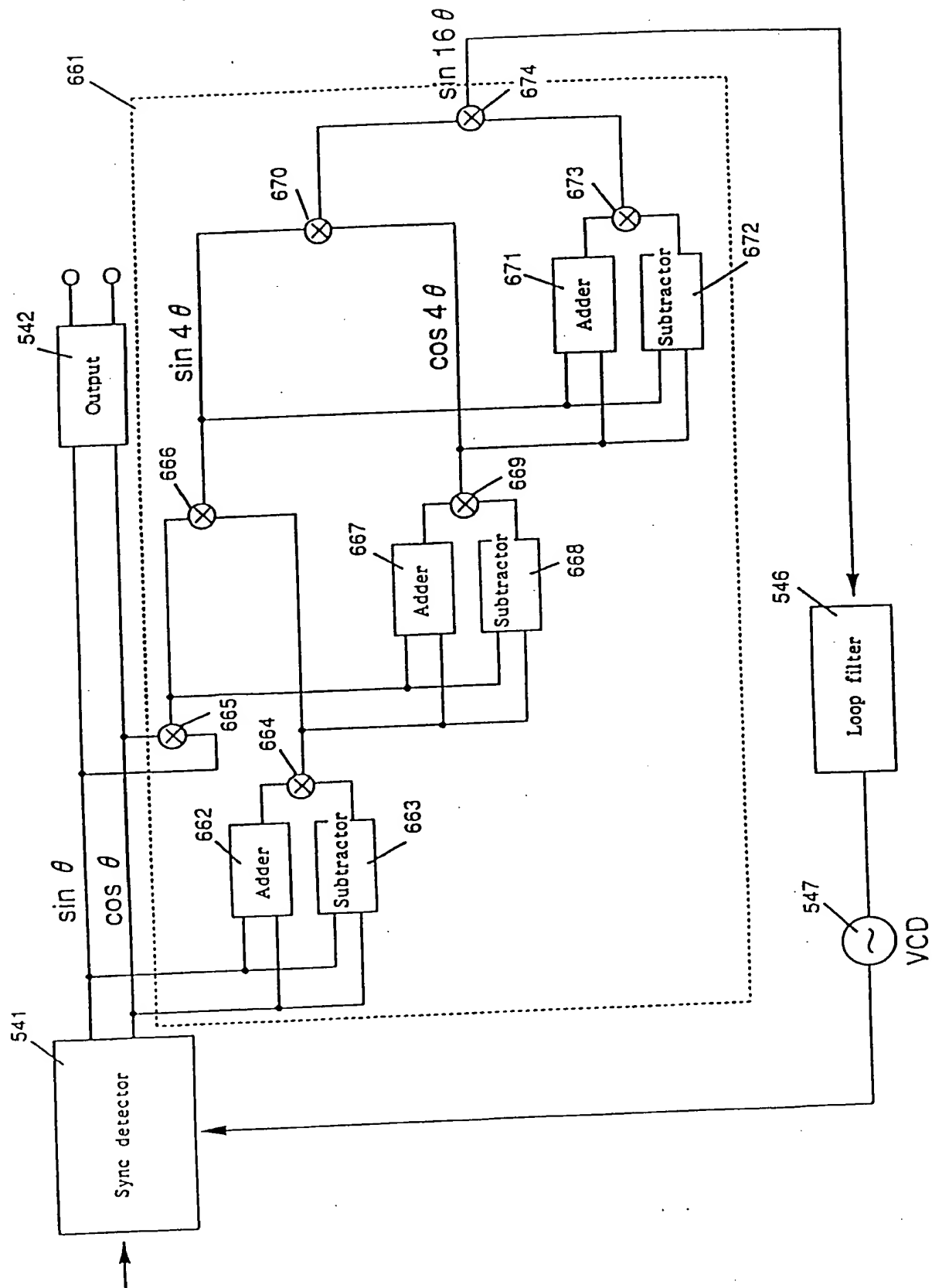


FIG. 49

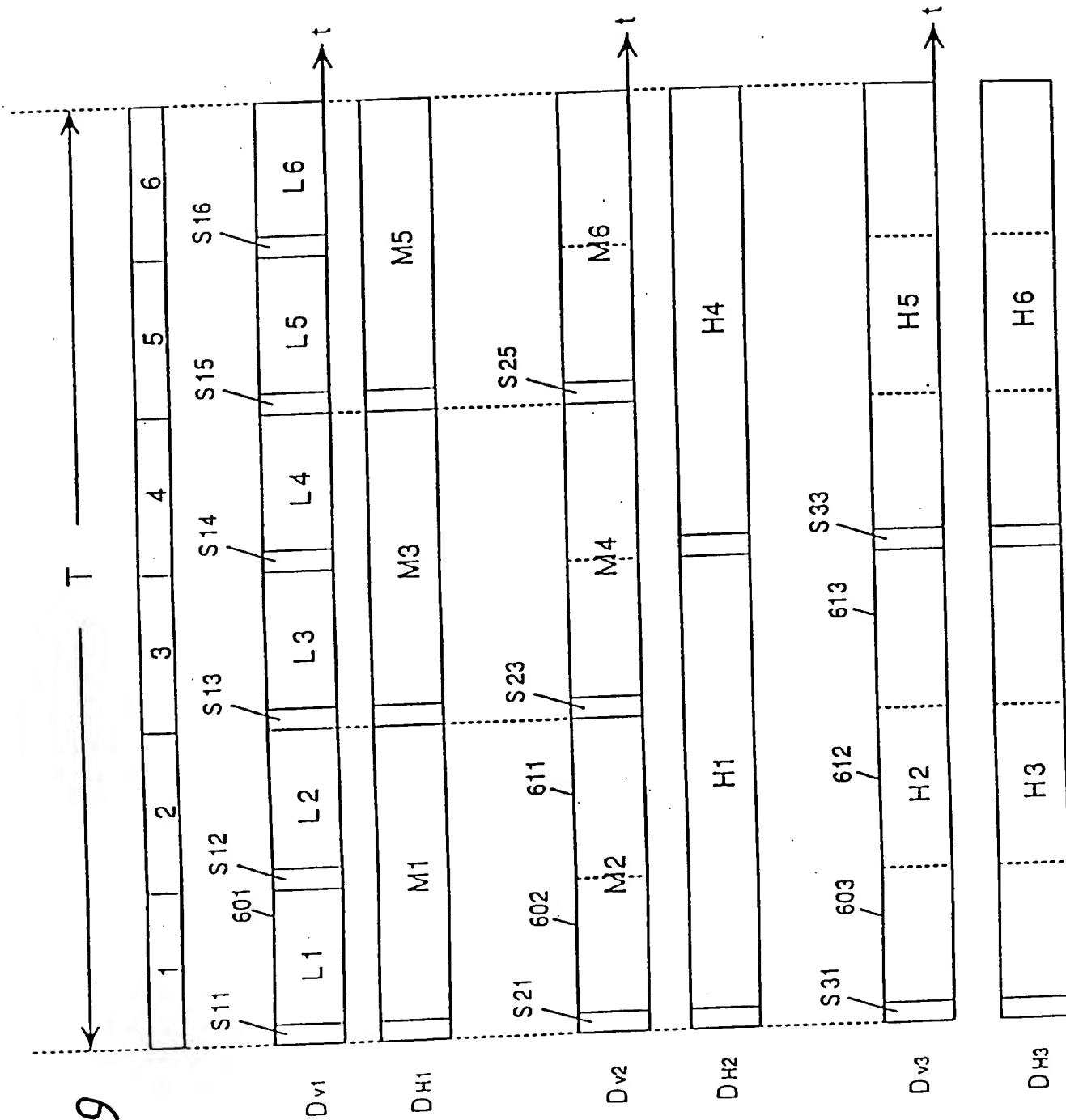


FIG. 50

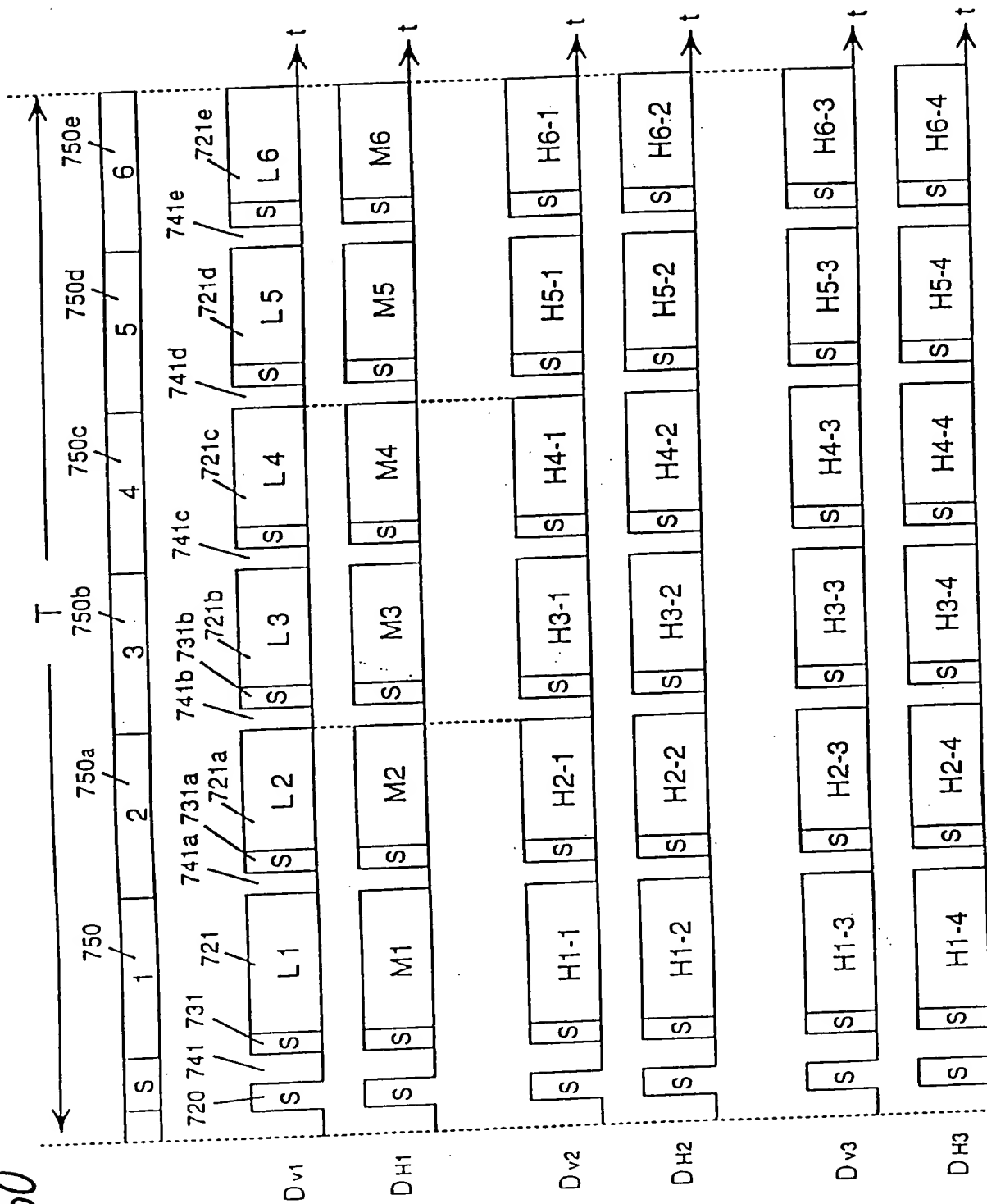


FIG. 51

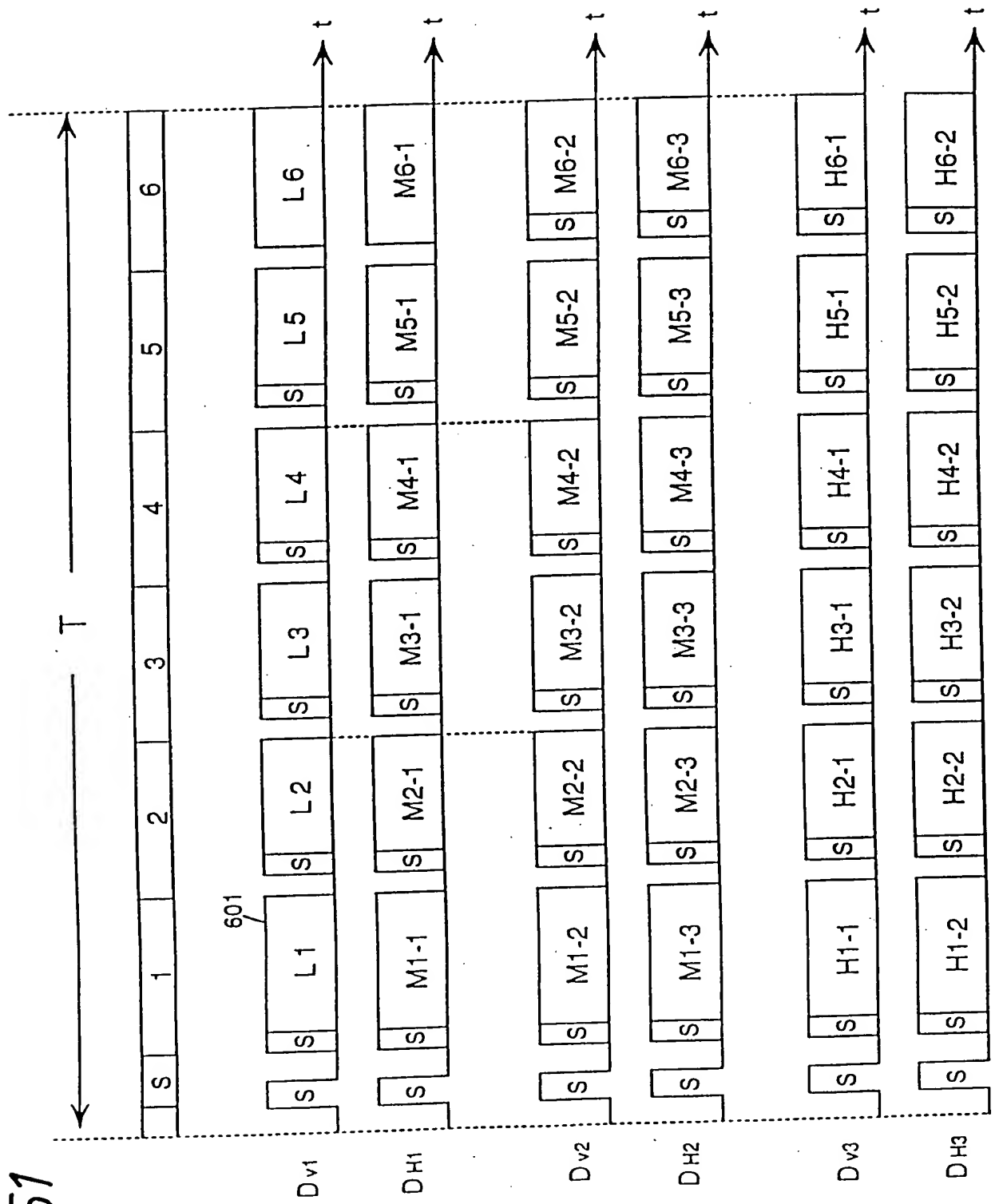


FIG. 52

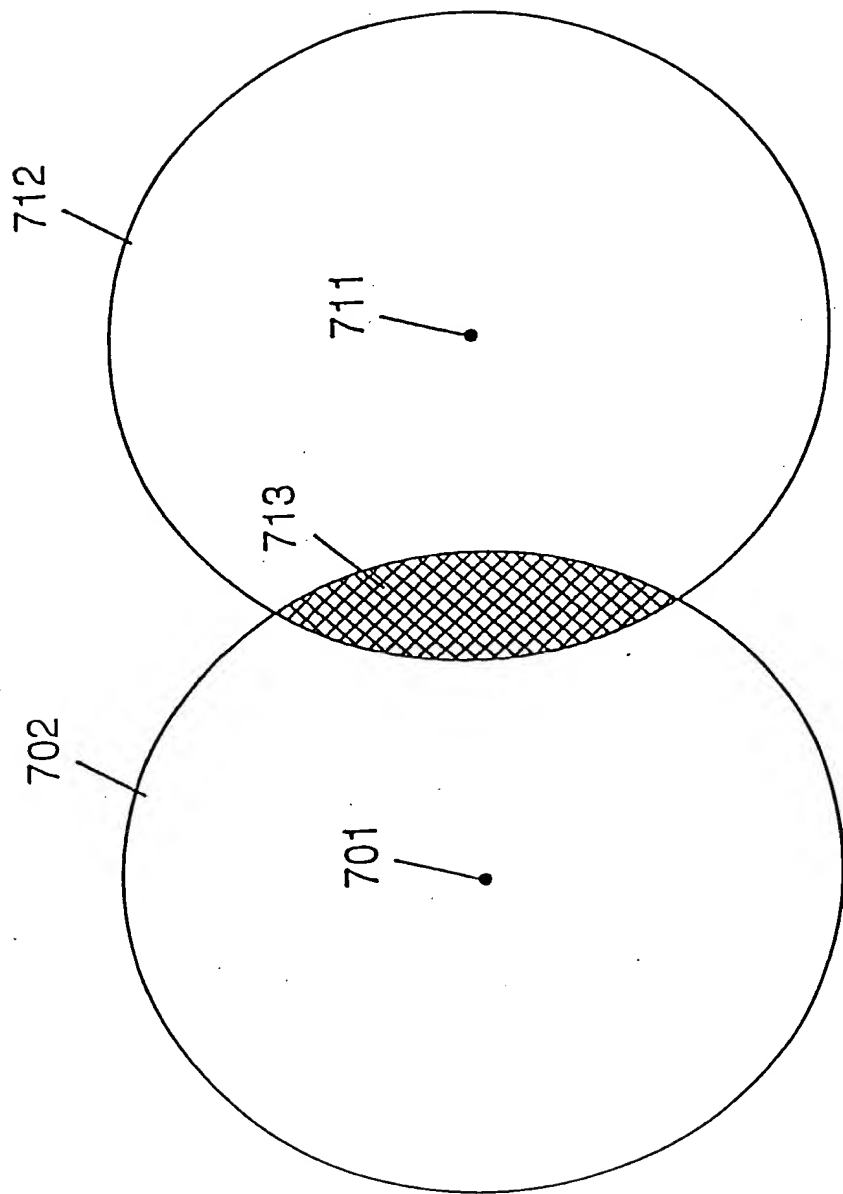


FIG. 53

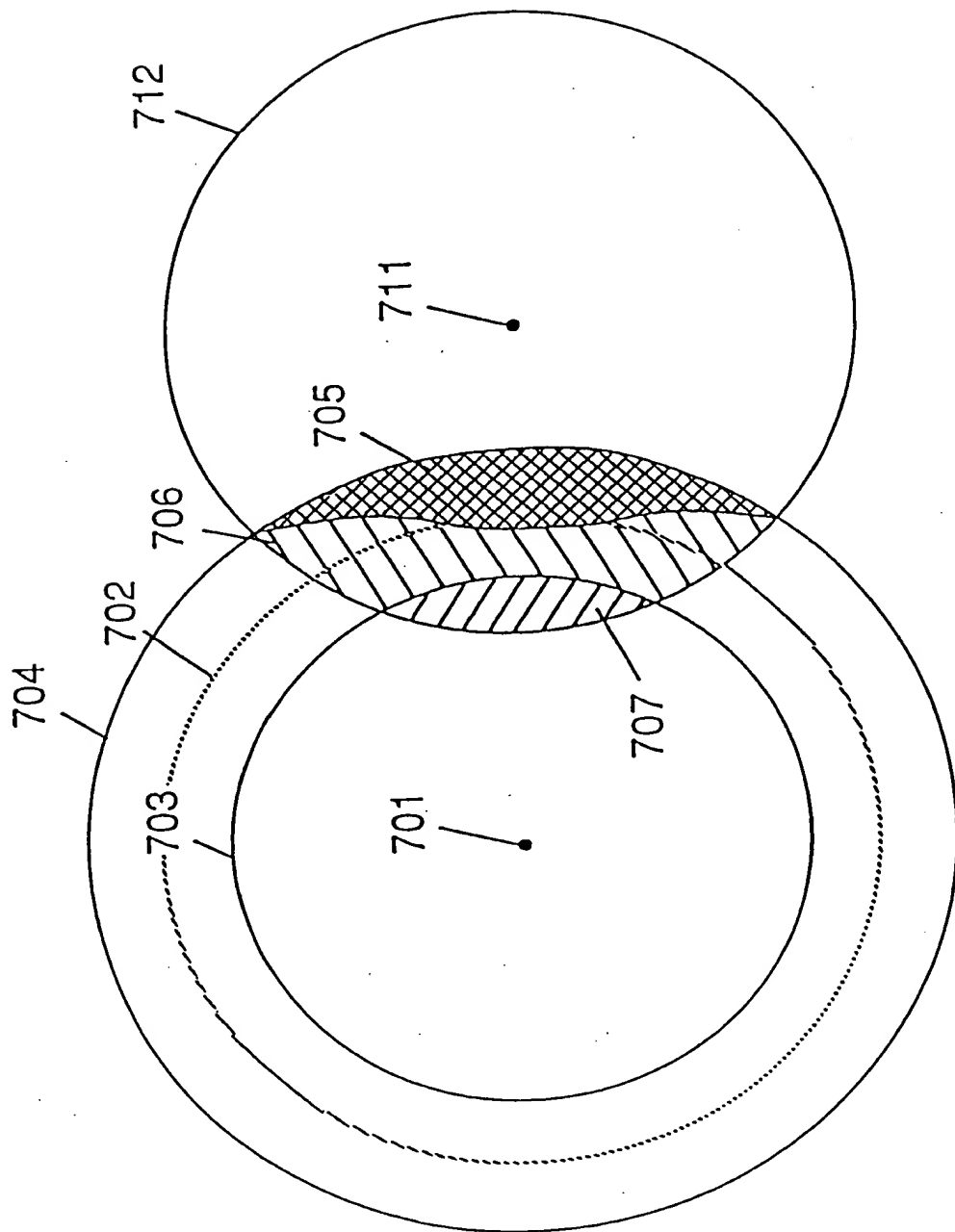


FIG. 54

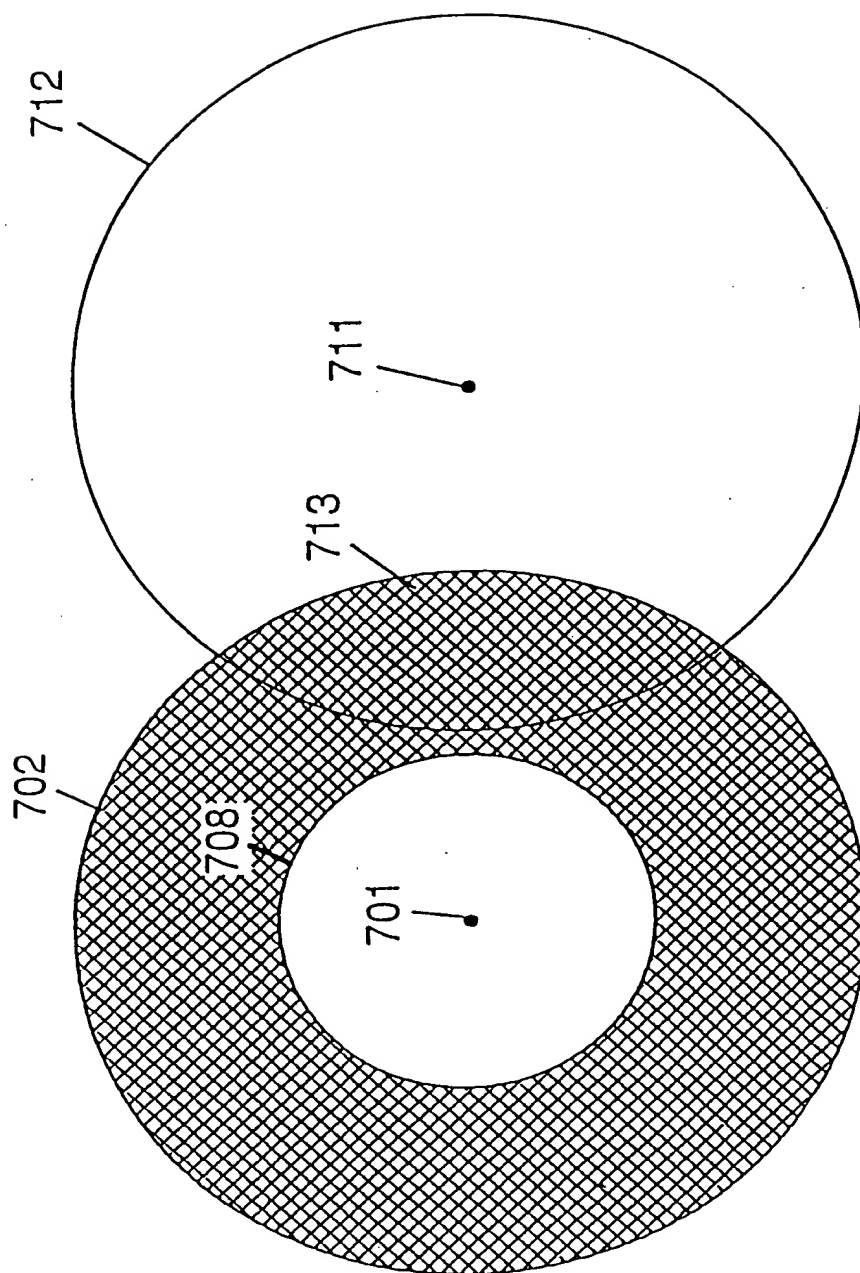


FIG. 55

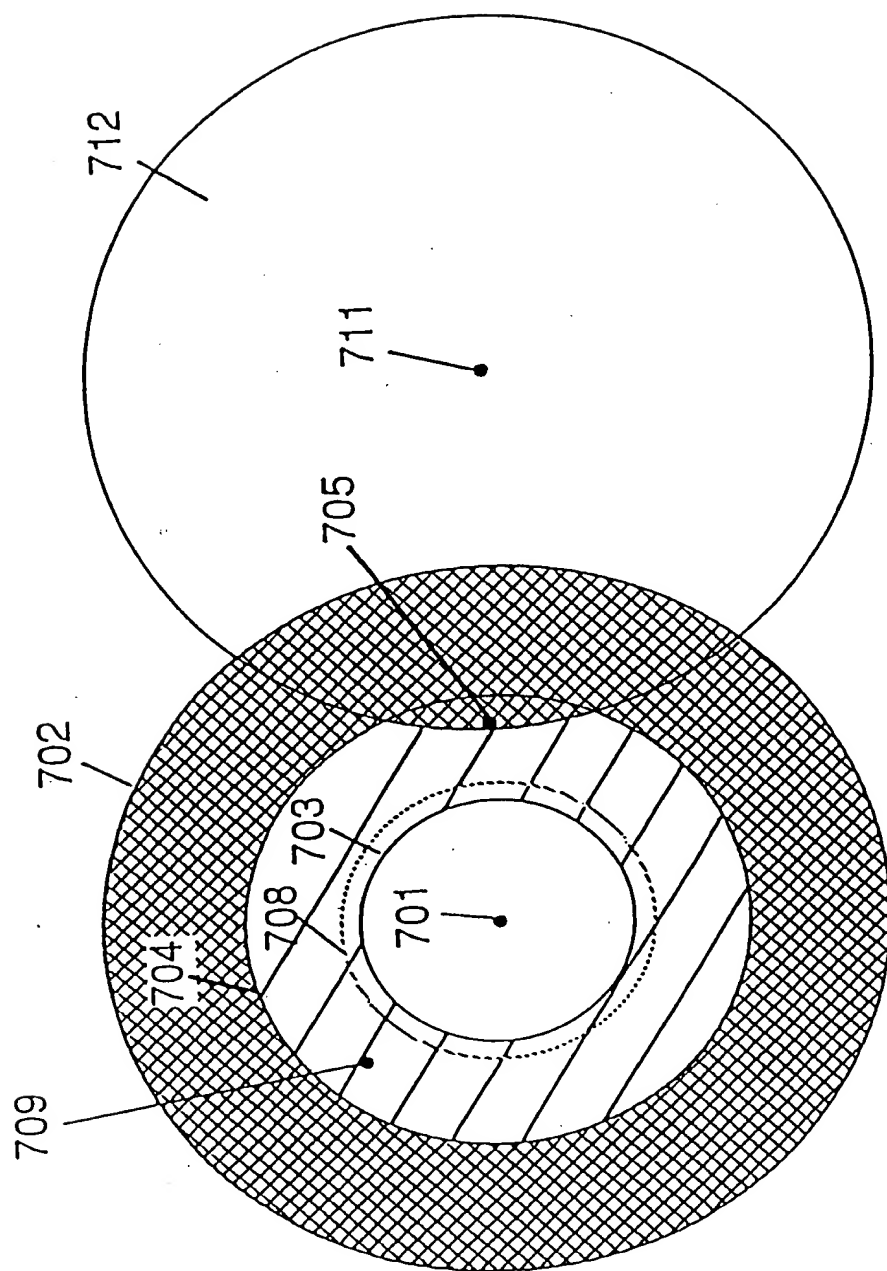


FIG. 56

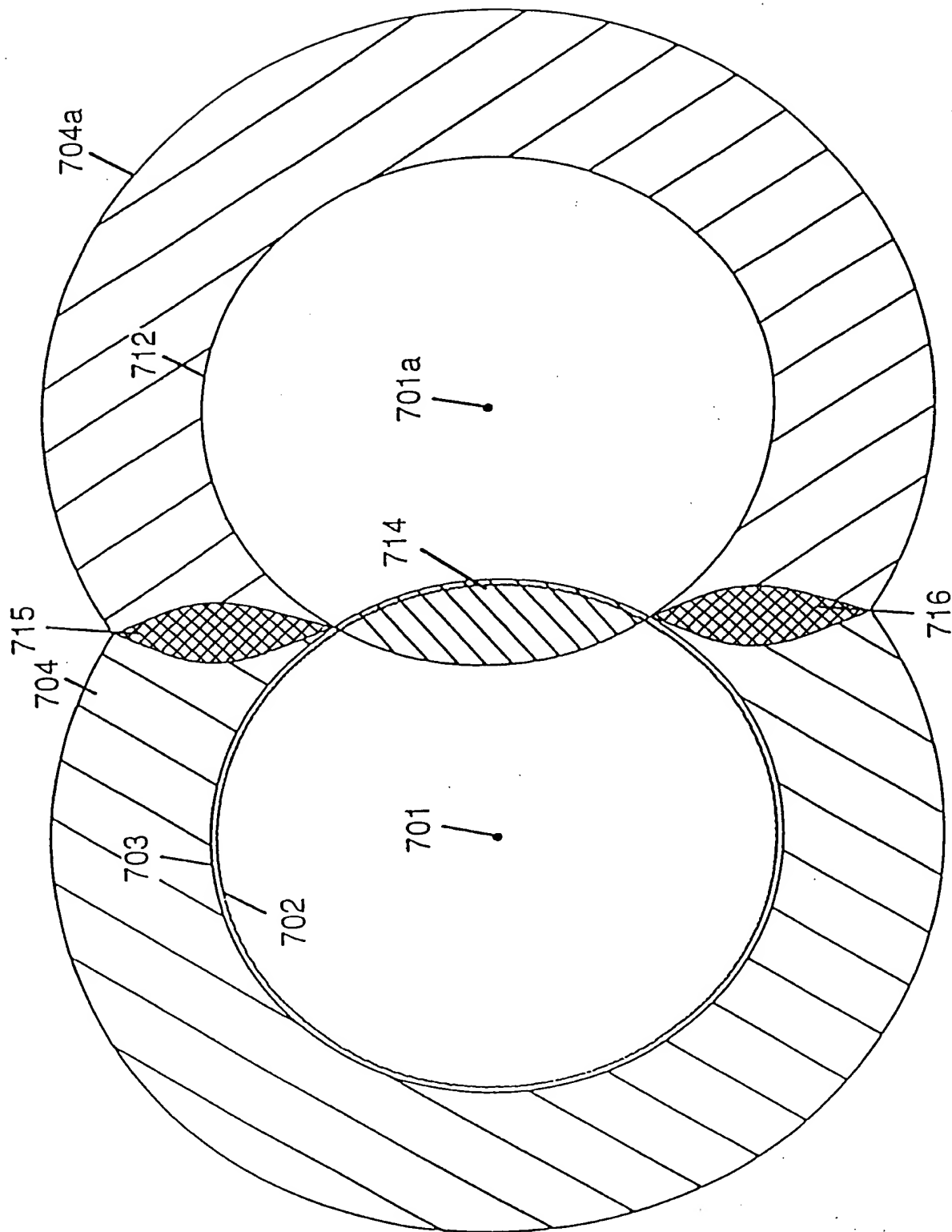


FIG. 57

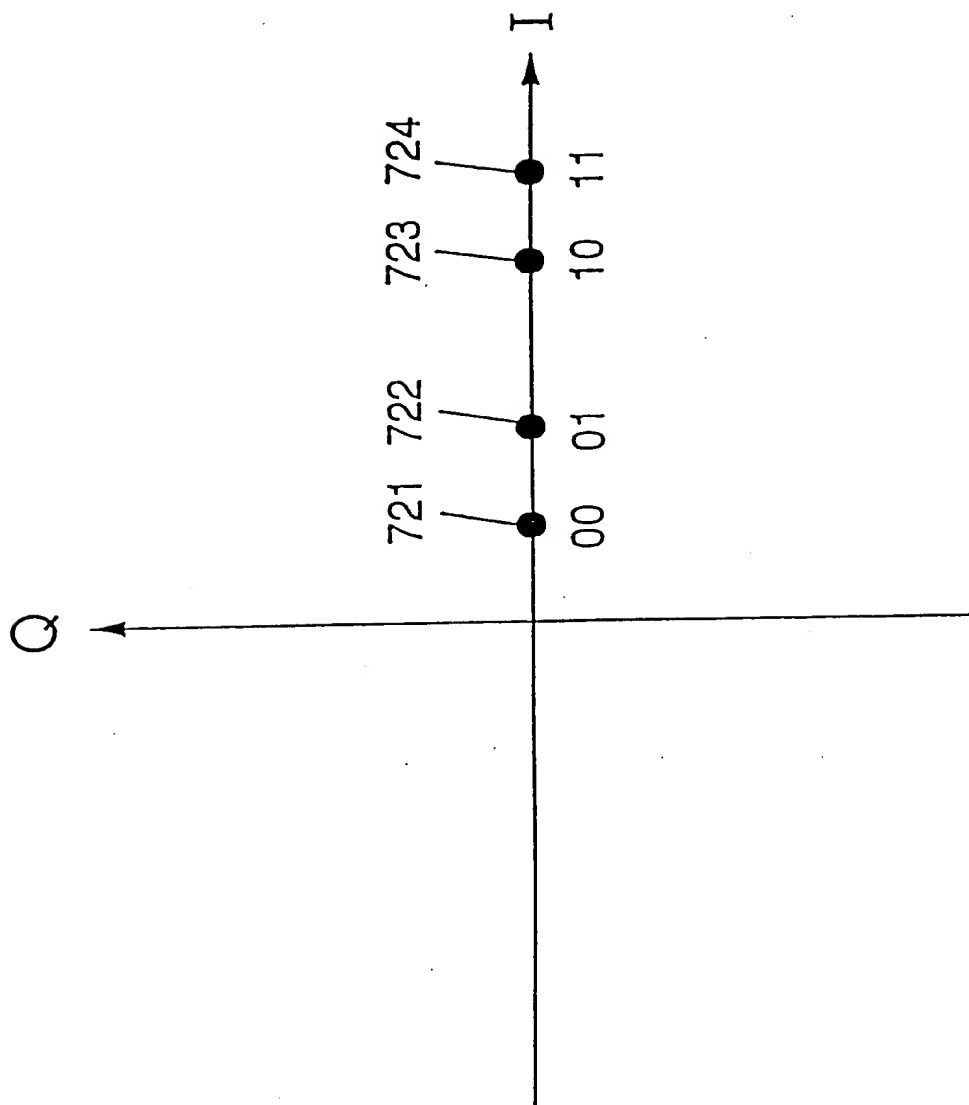


FIG. 58

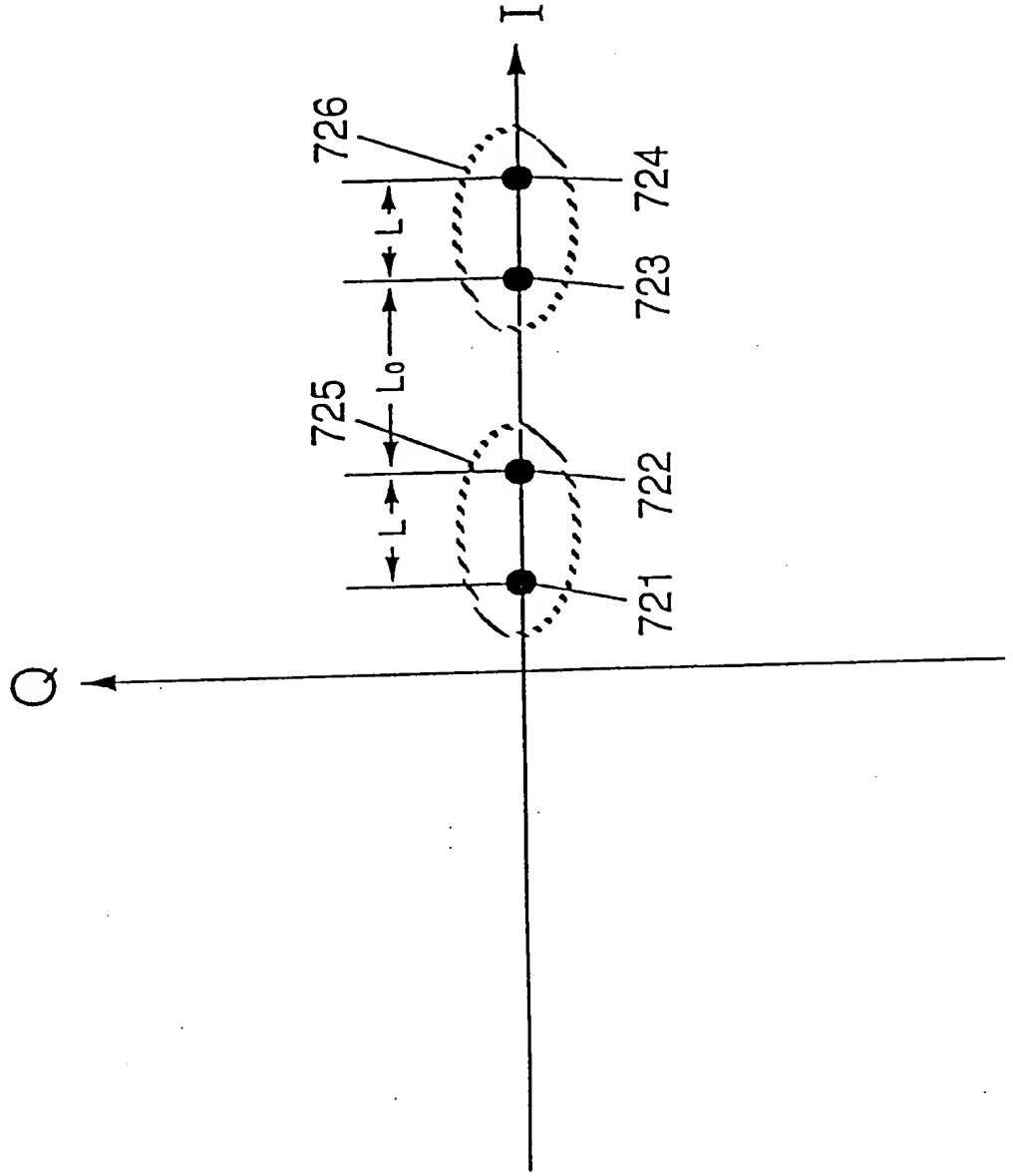


FIG. 59(a)

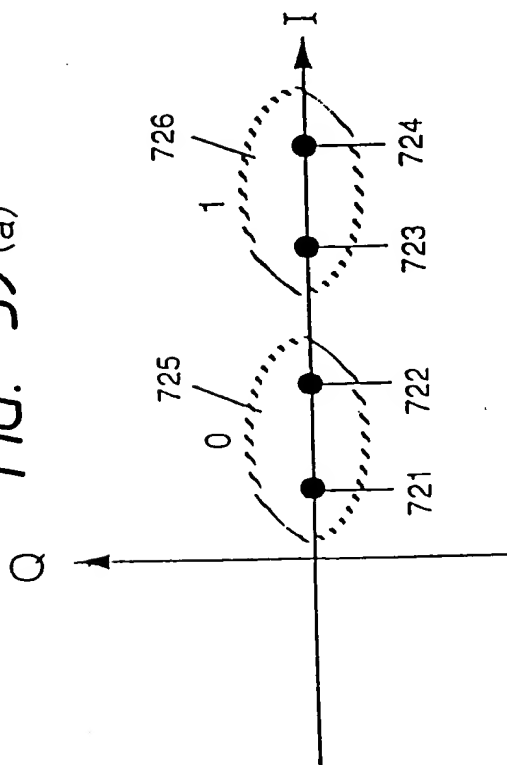


FIG. 59(c)

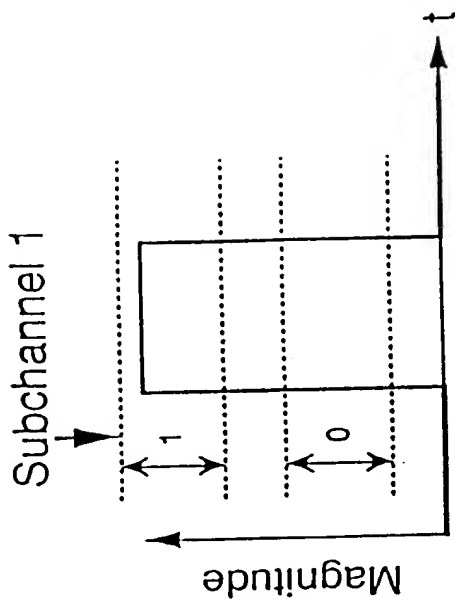


FIG. 59(b)

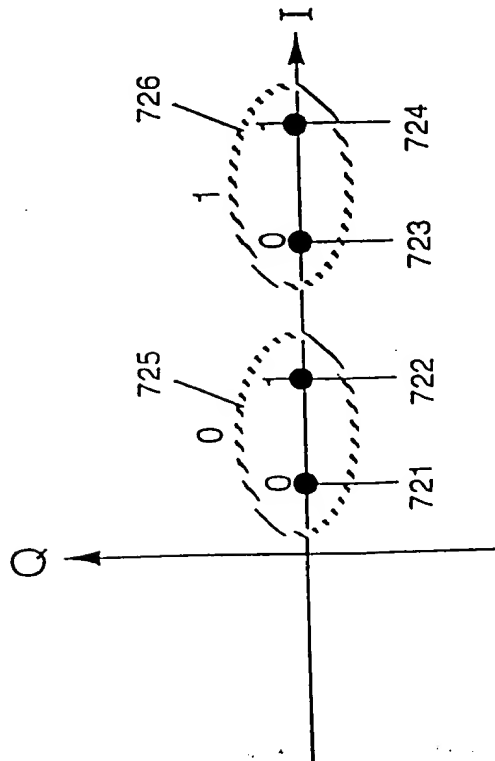


FIG. 59(d)

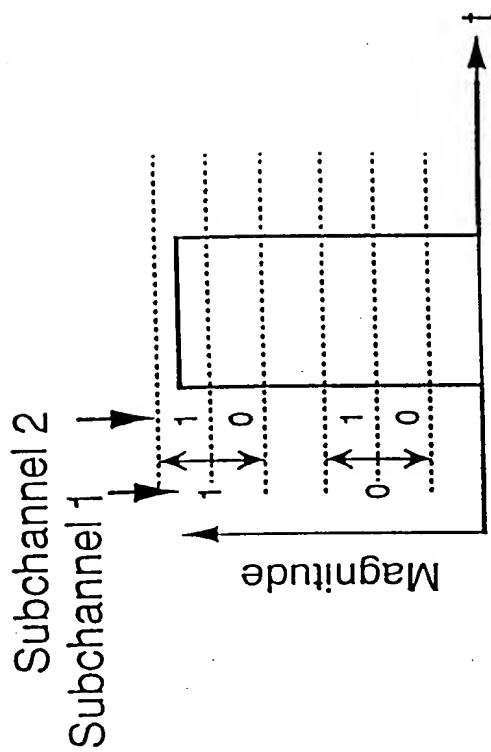


FIG. 60

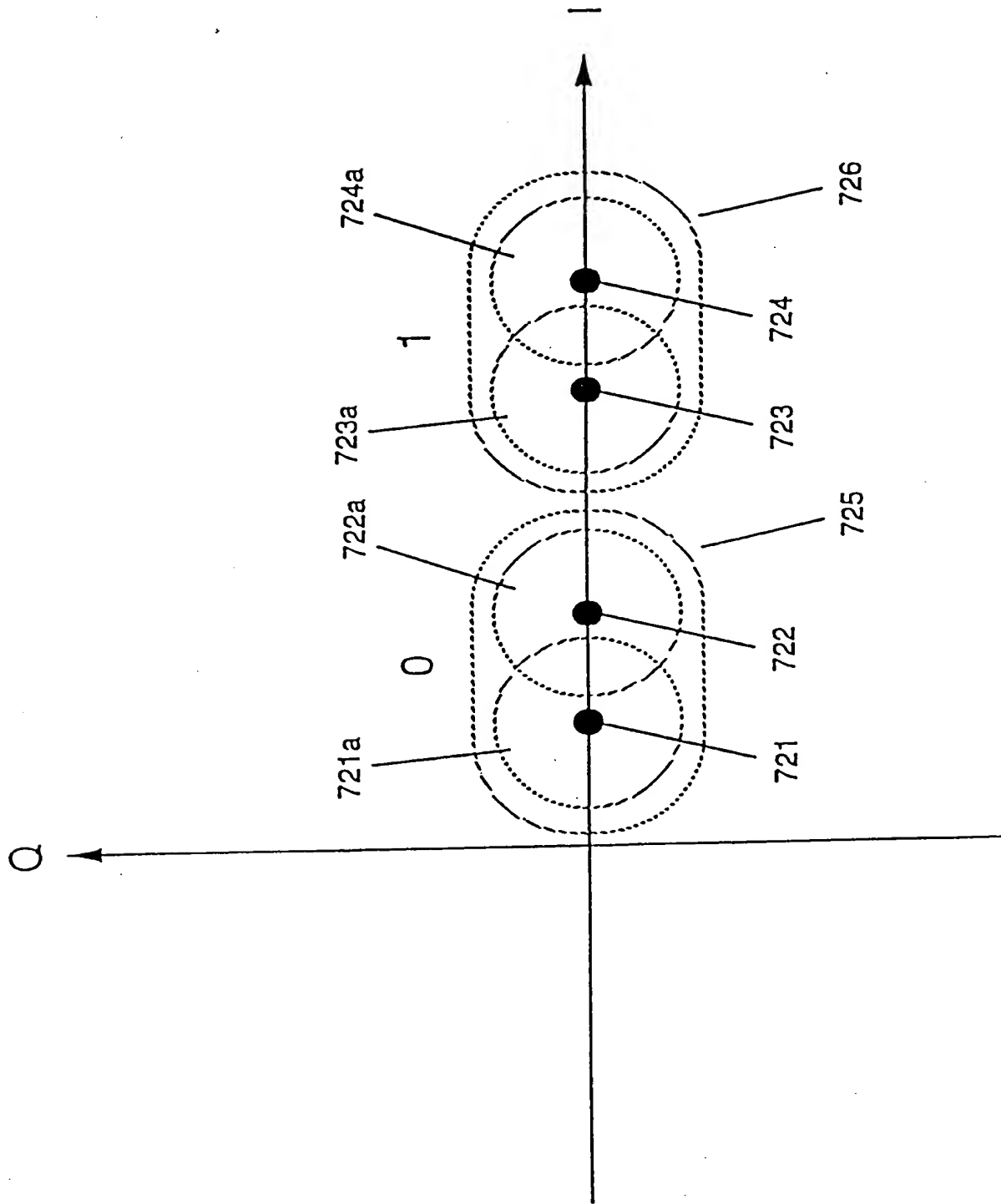


FIG. 61

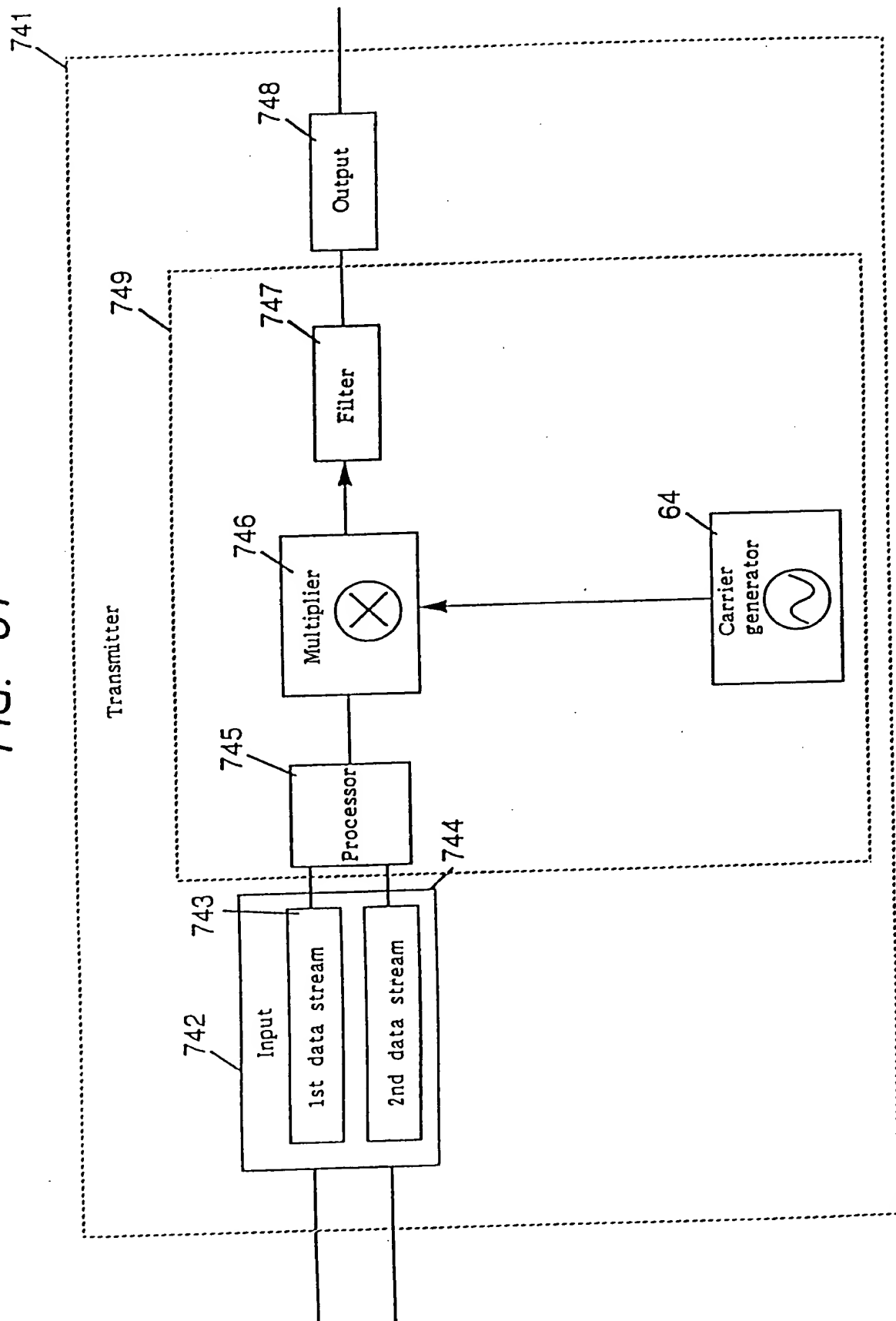


FIG. 62

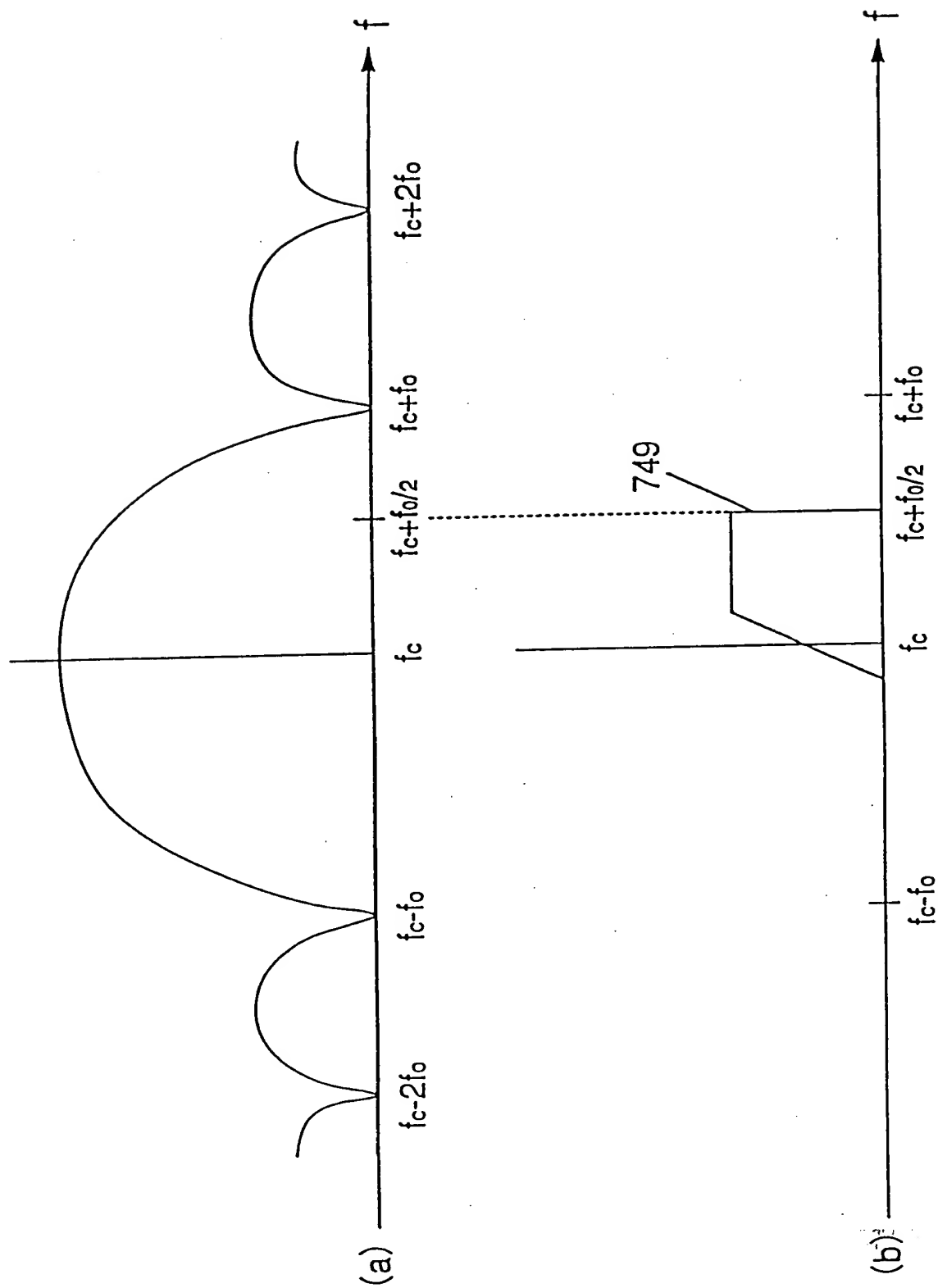


FIG. 63

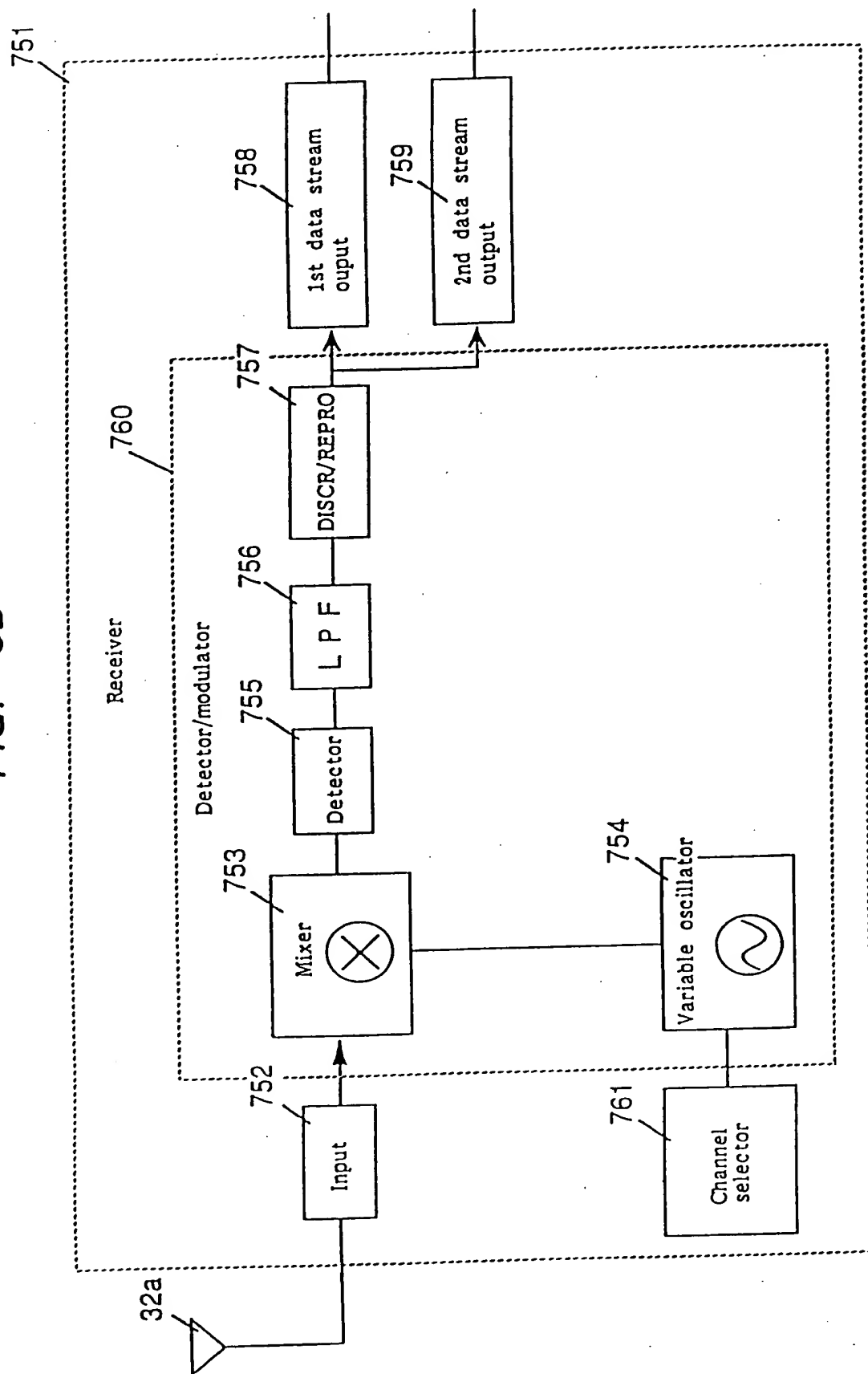


FIG. 64

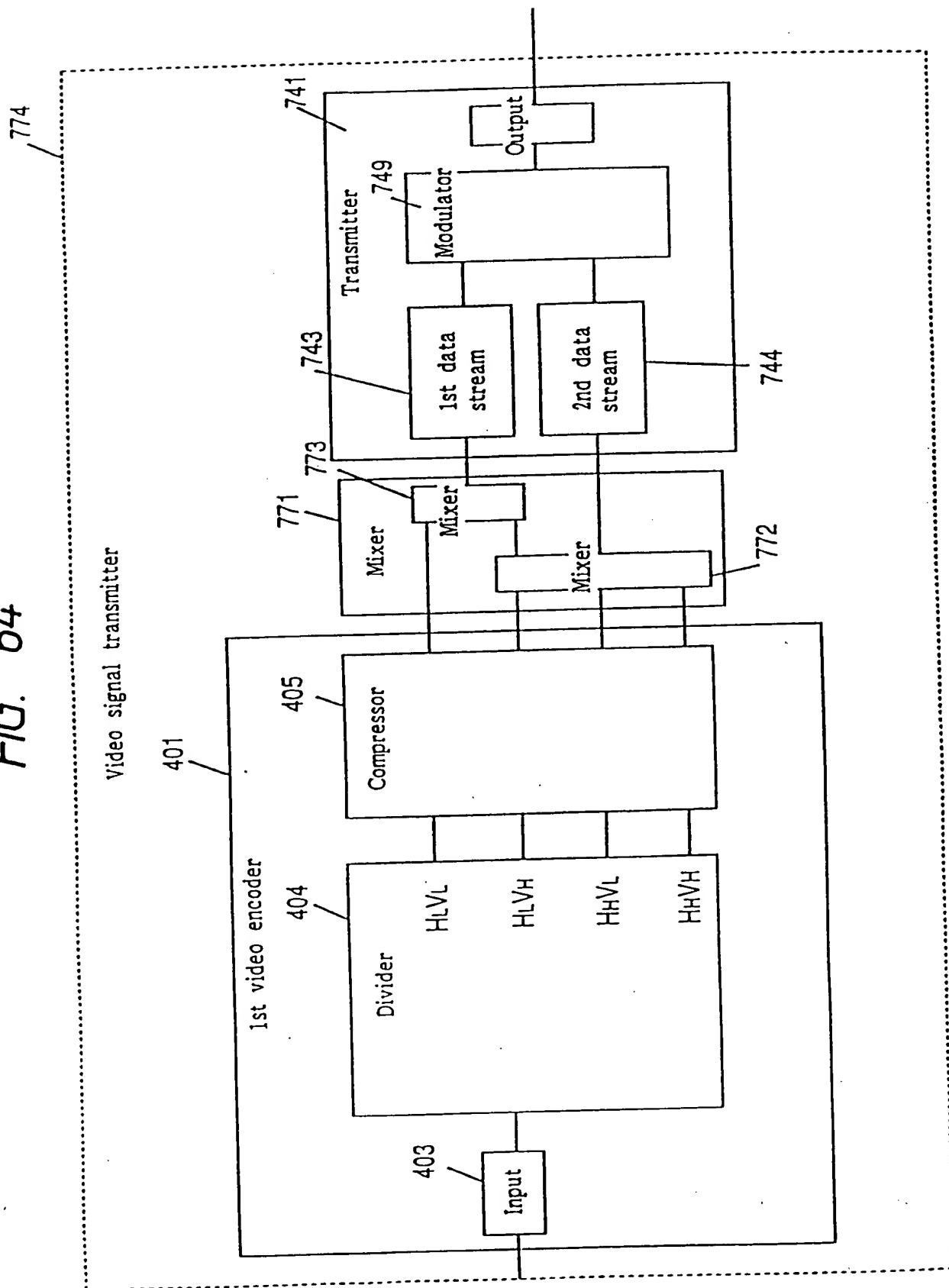


FIG. 66

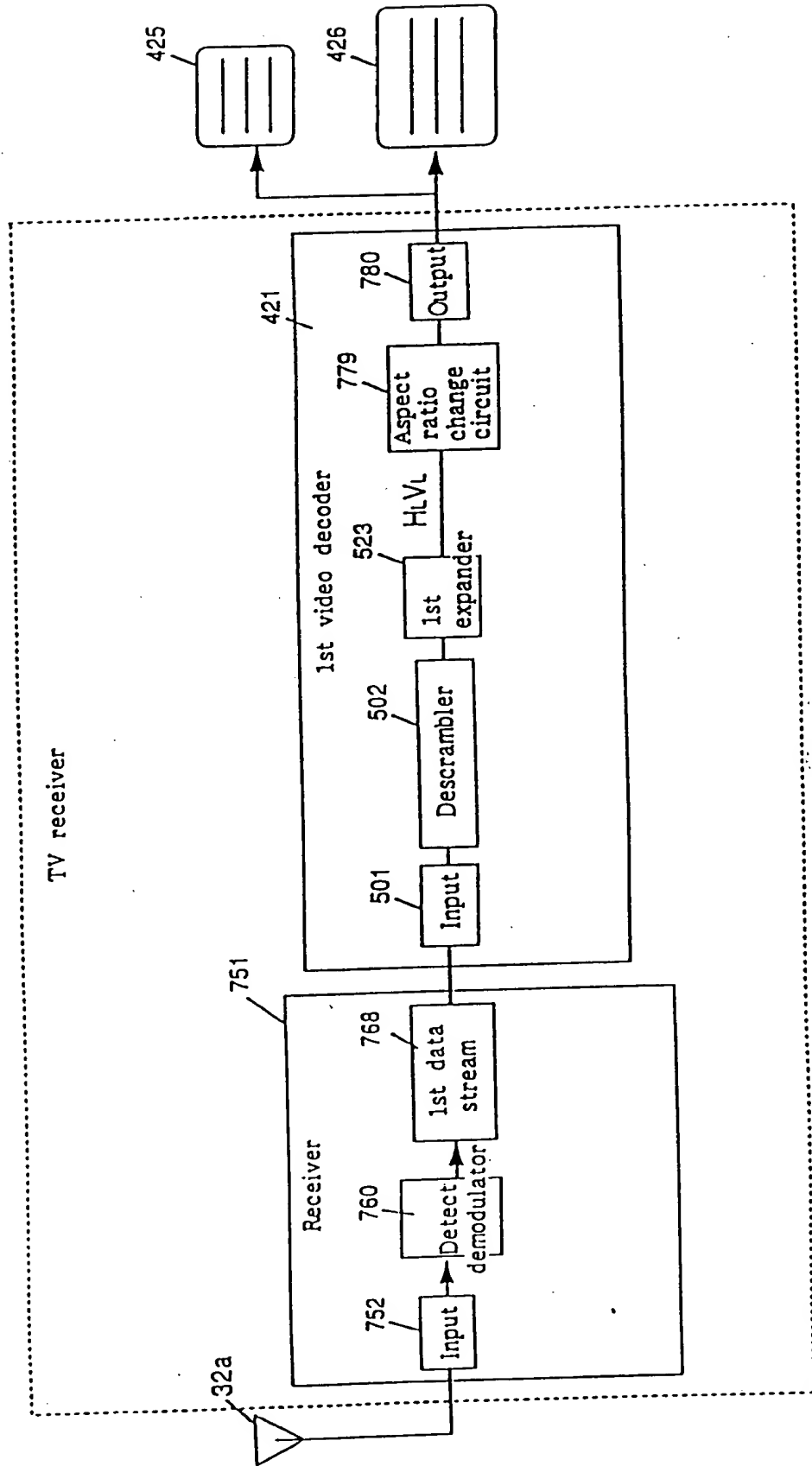


FIG. 67

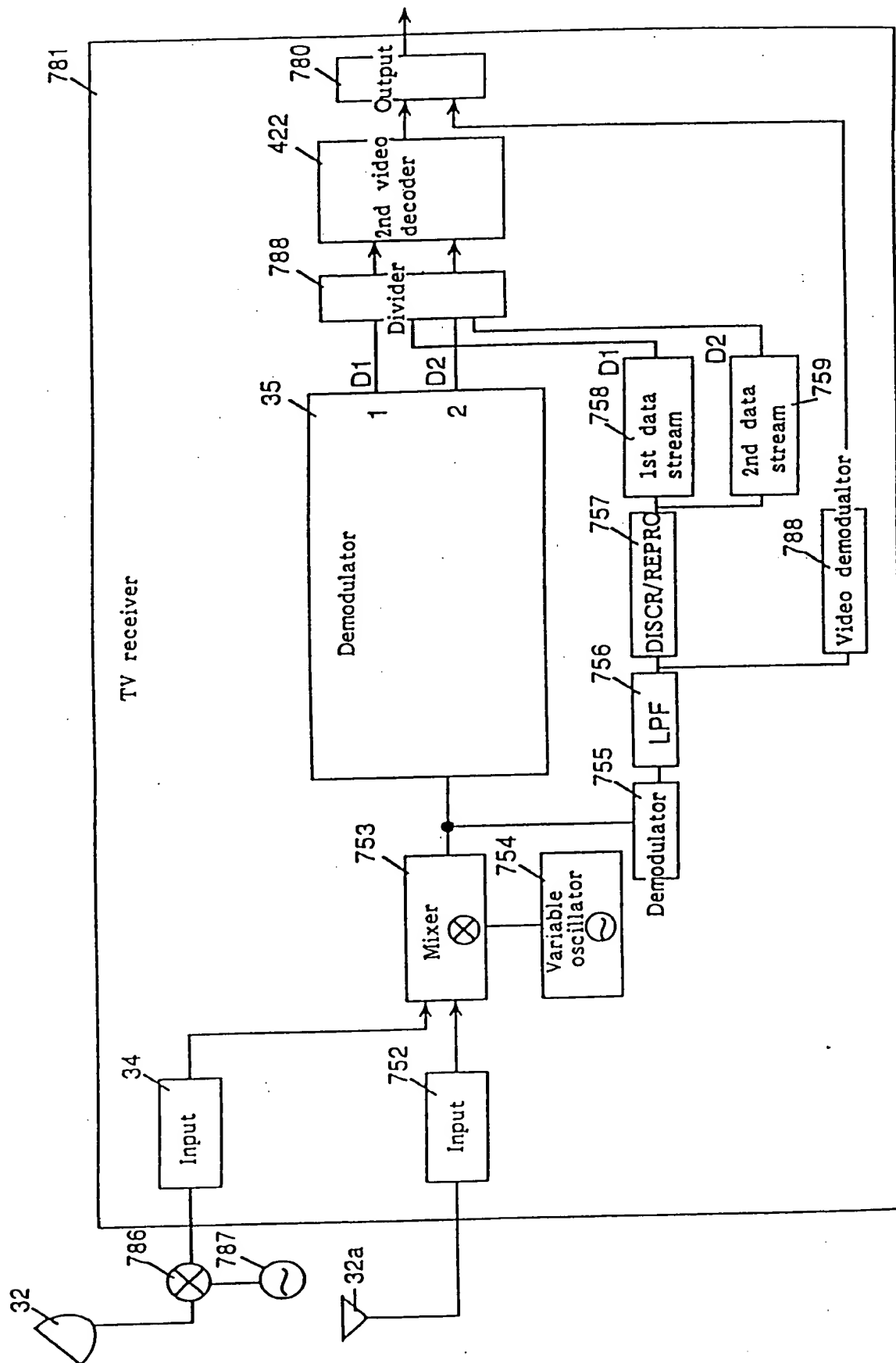


FIG. 68

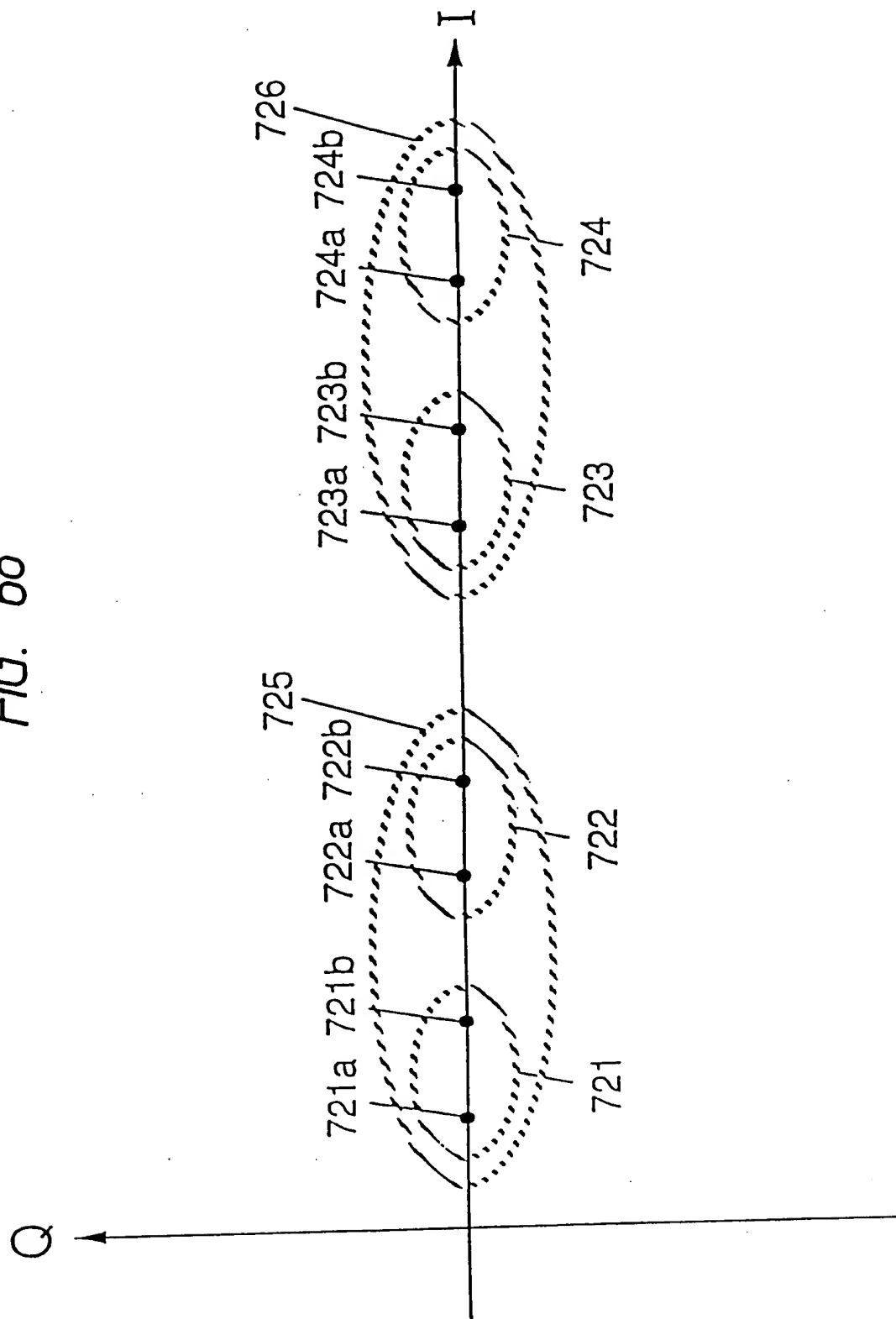


FIG. 69

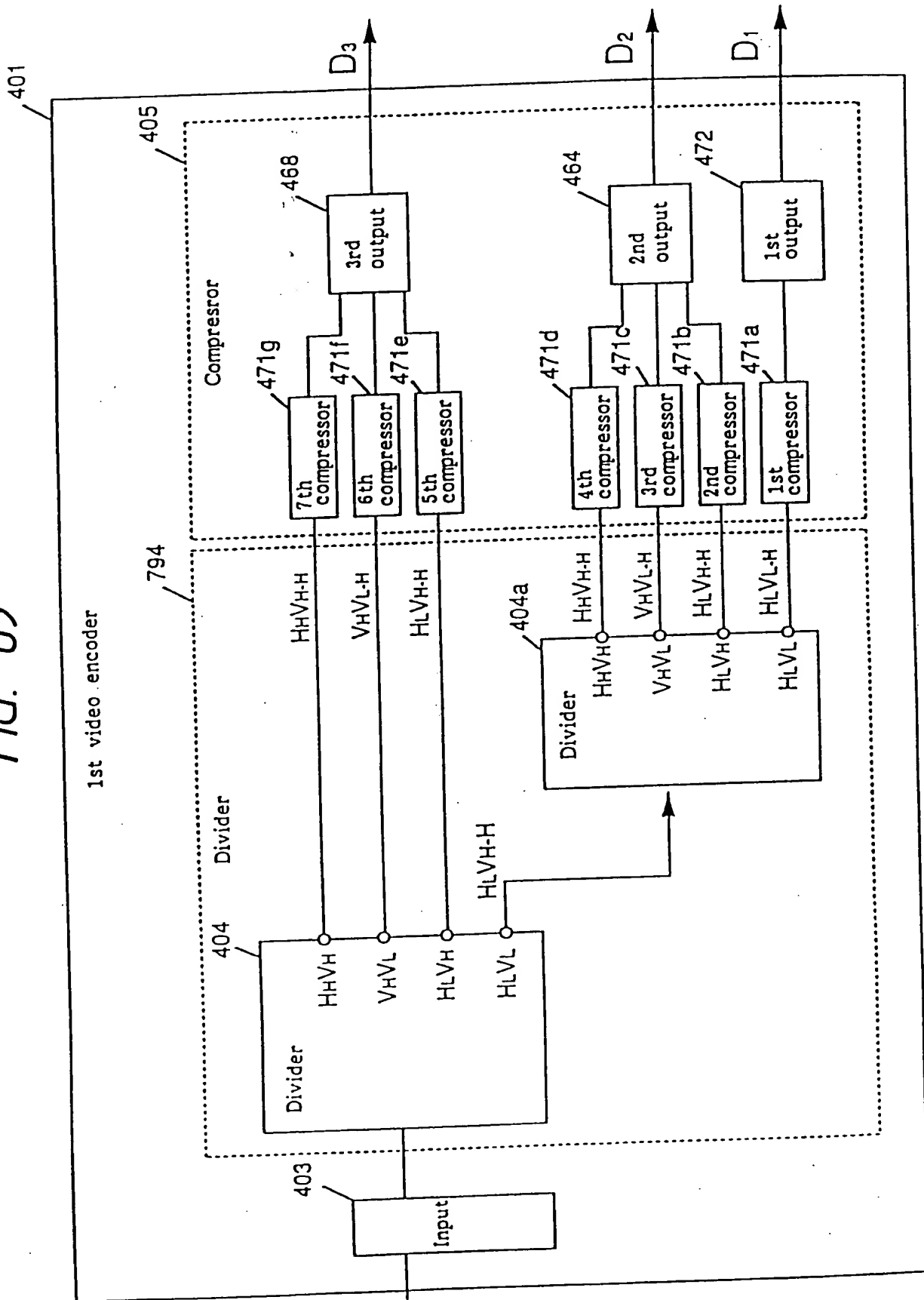


FIG. 70

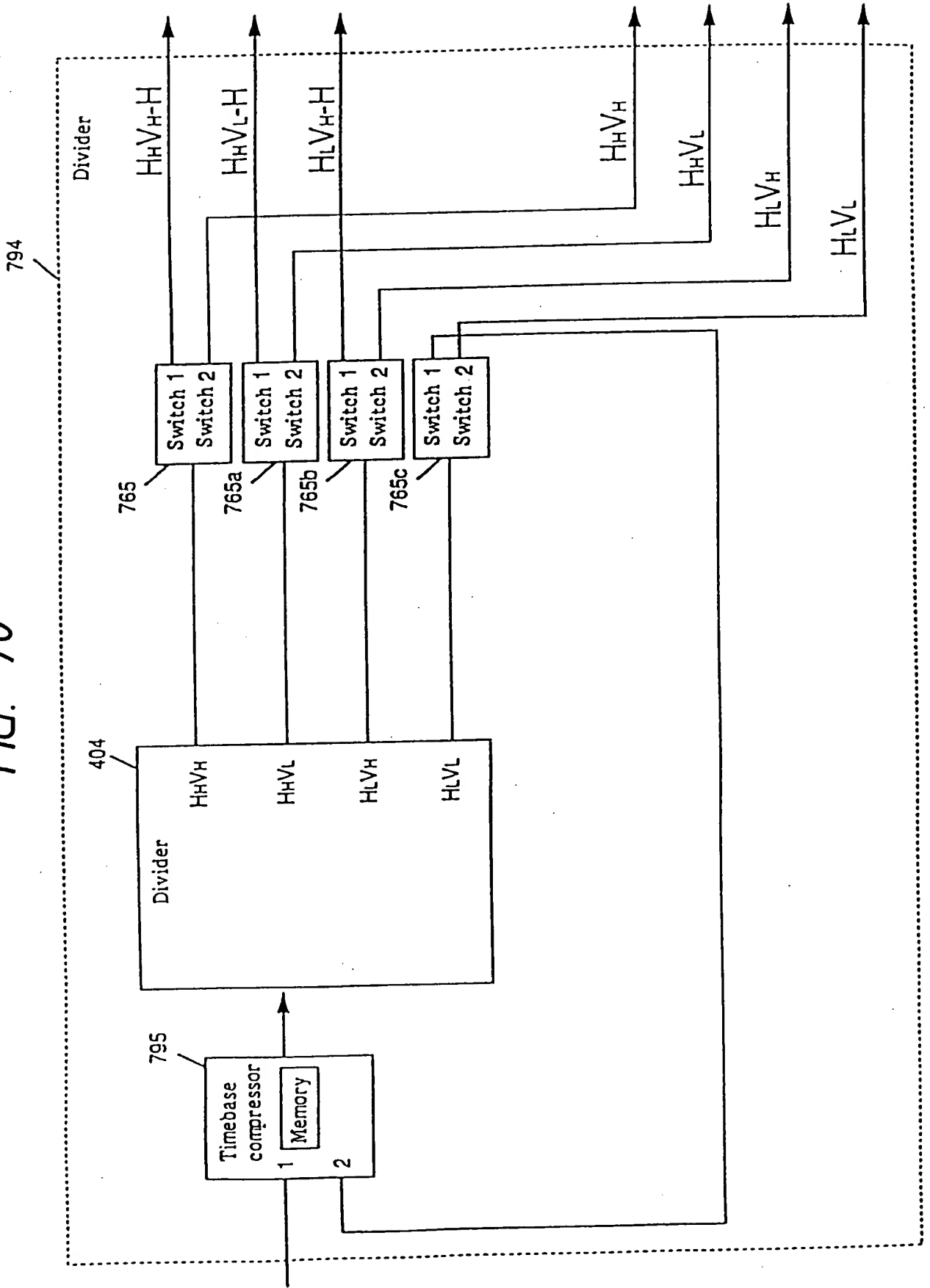


FIG. 71

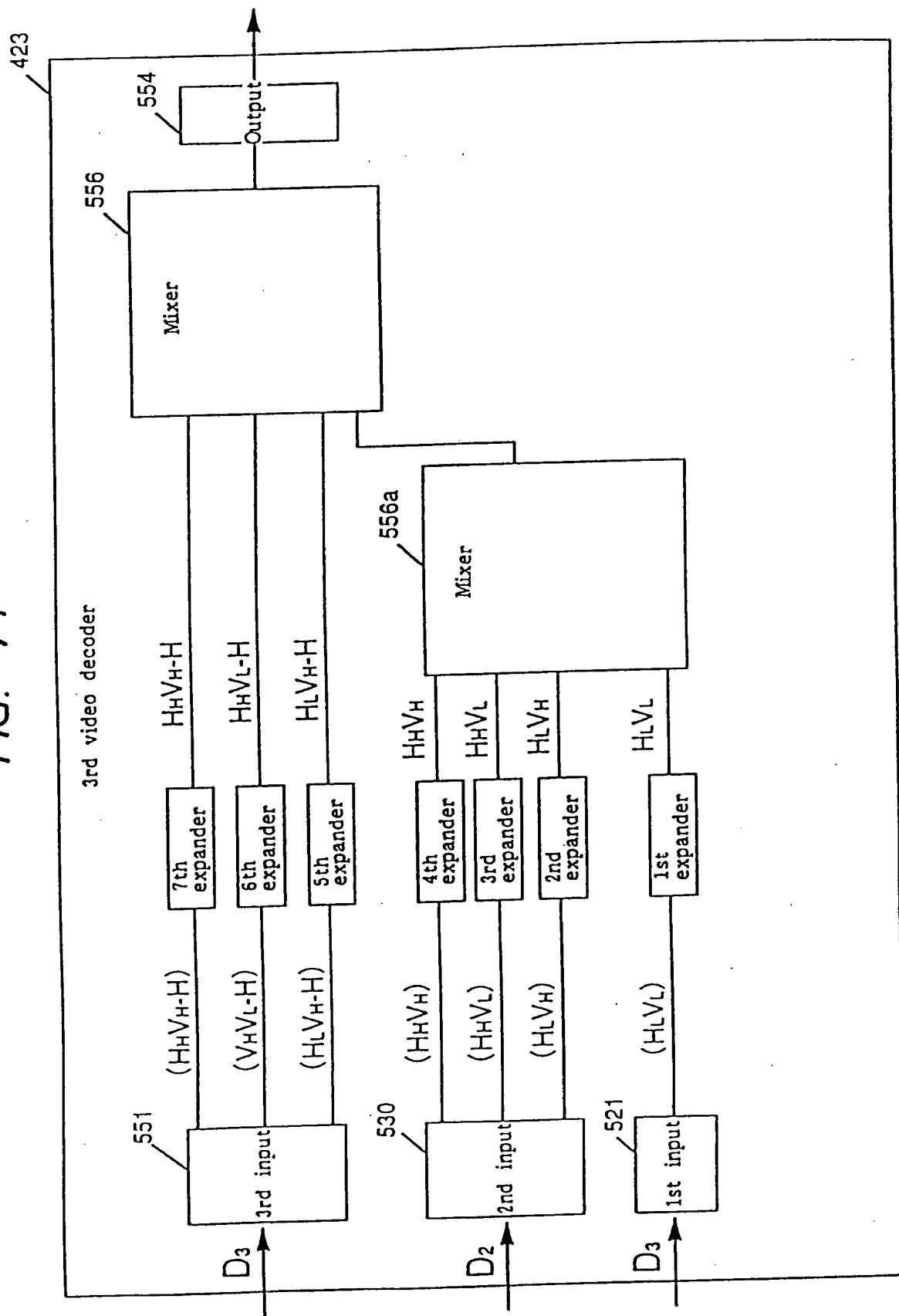


FIG. 72

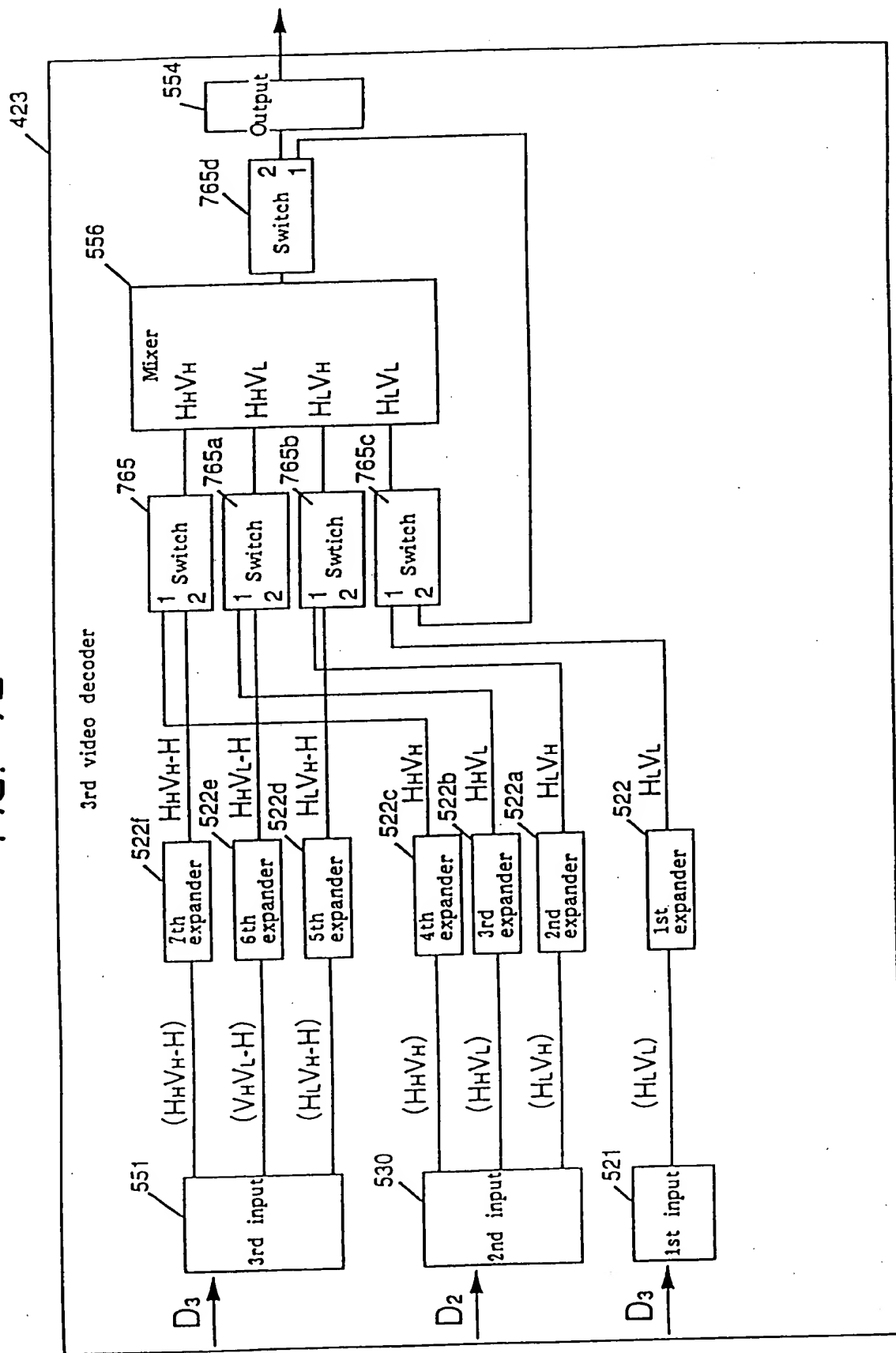


FIG. 73

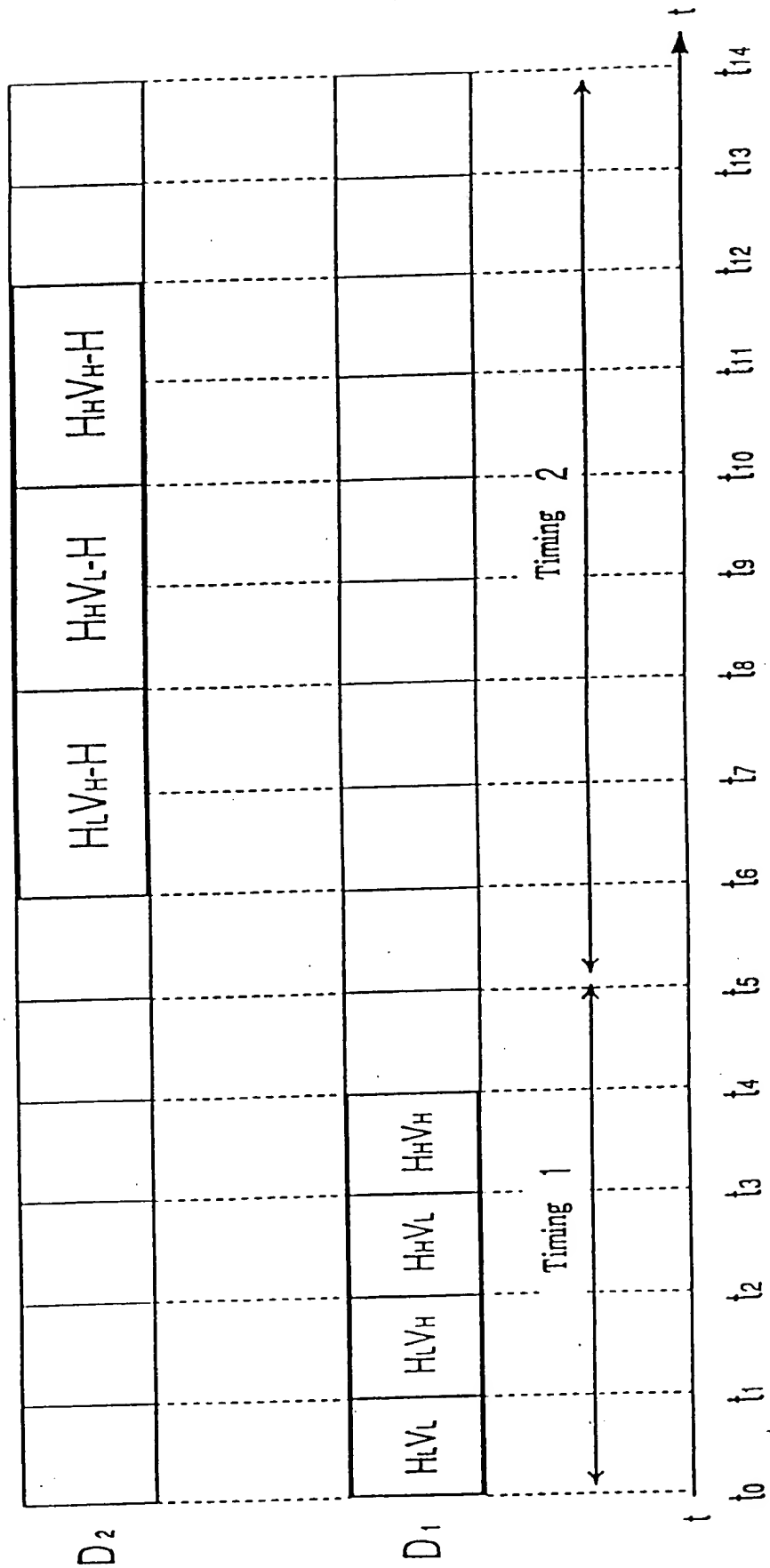


FIG. 74

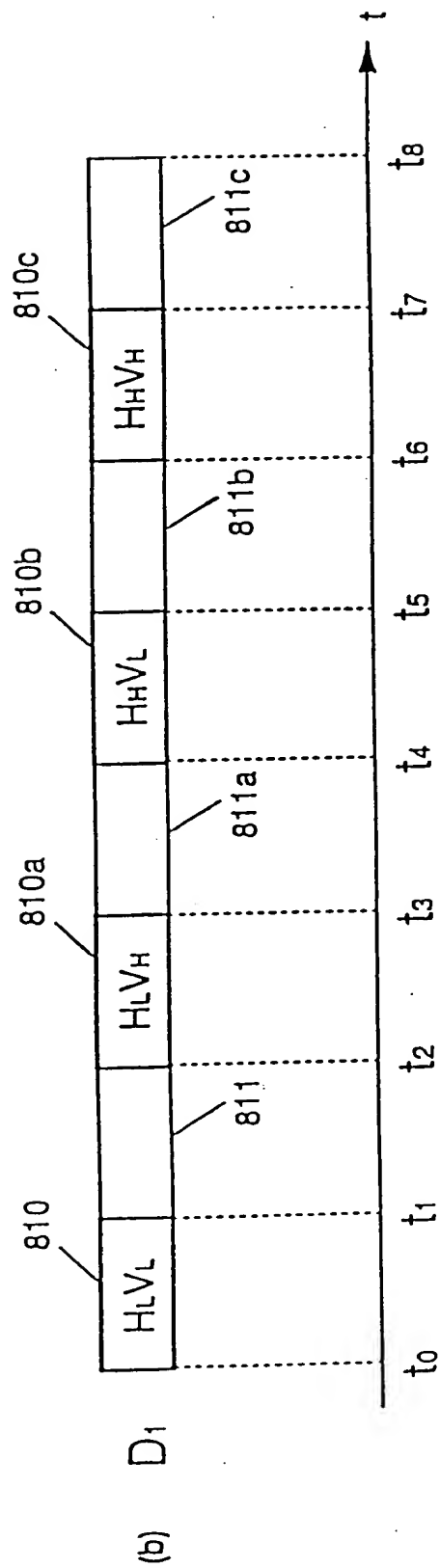
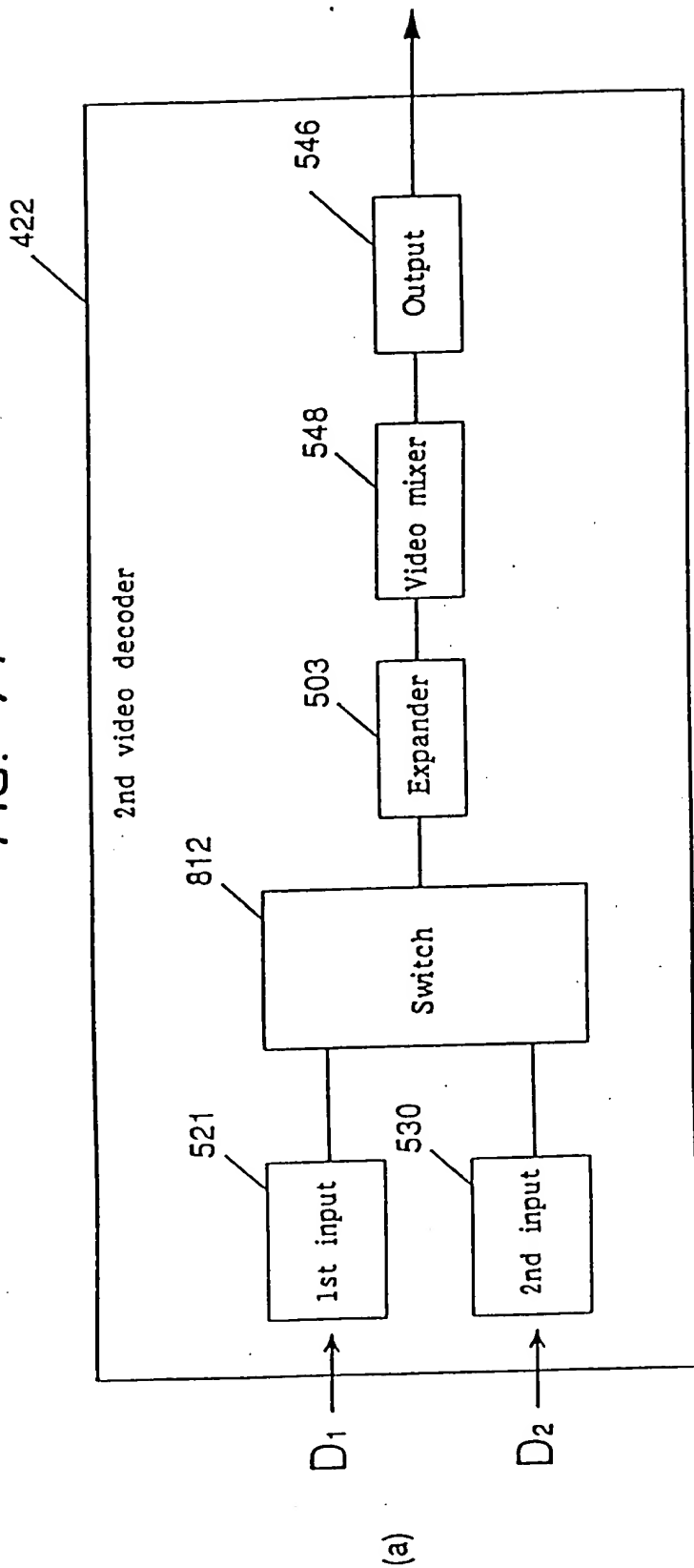


FIG. 76

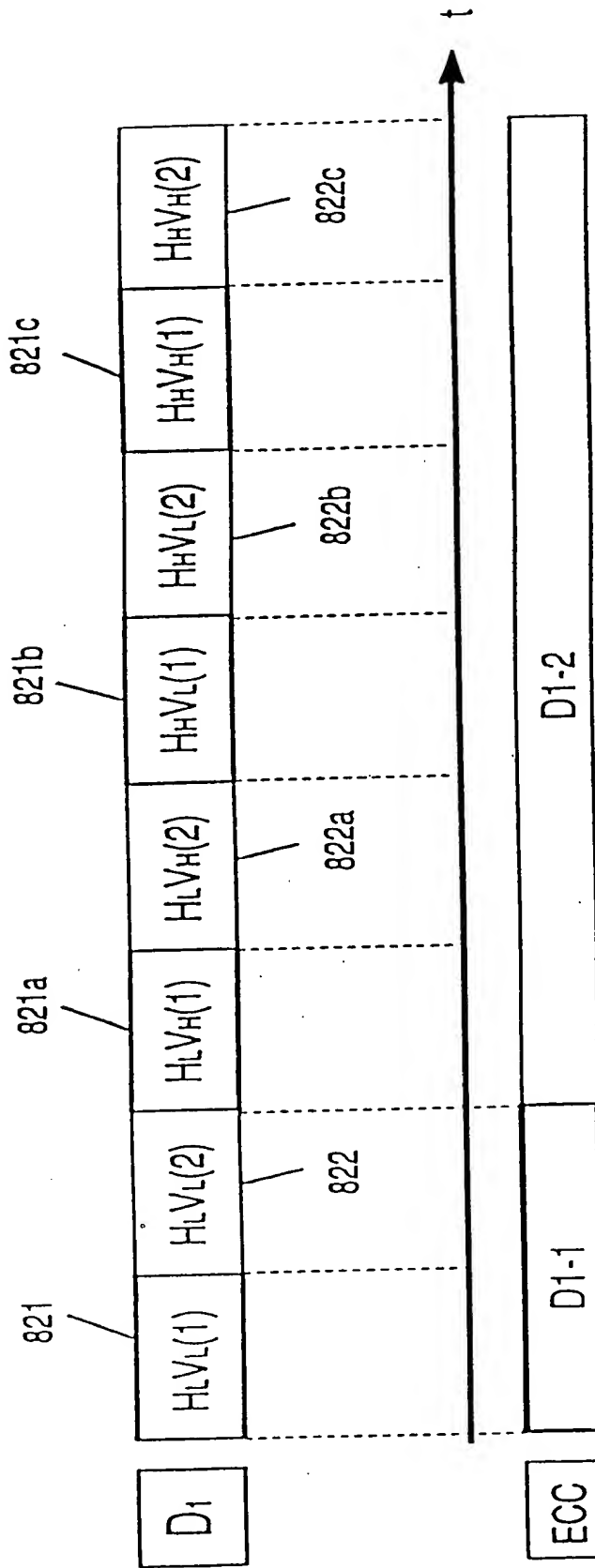


FIG. 77

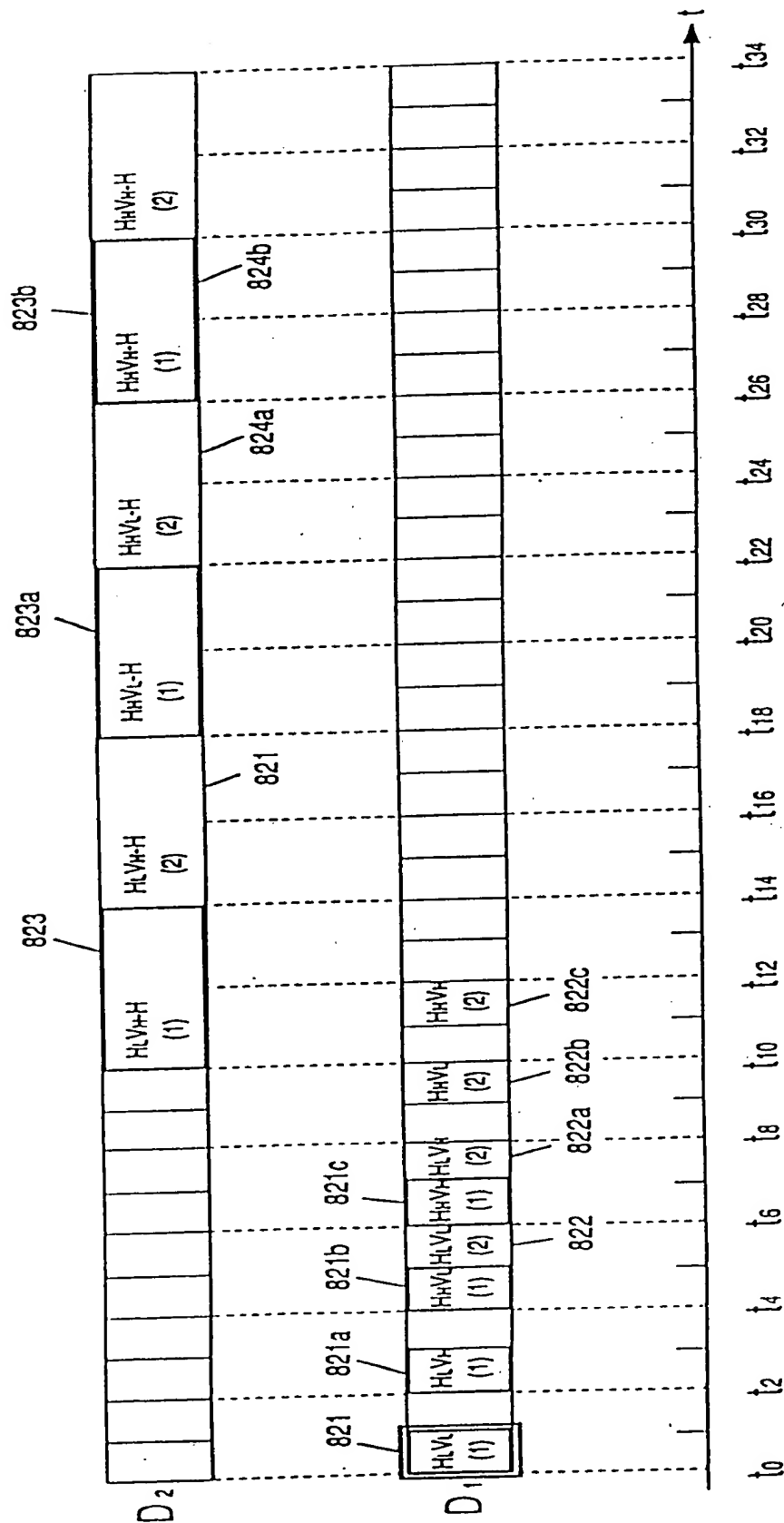


FIG. 78

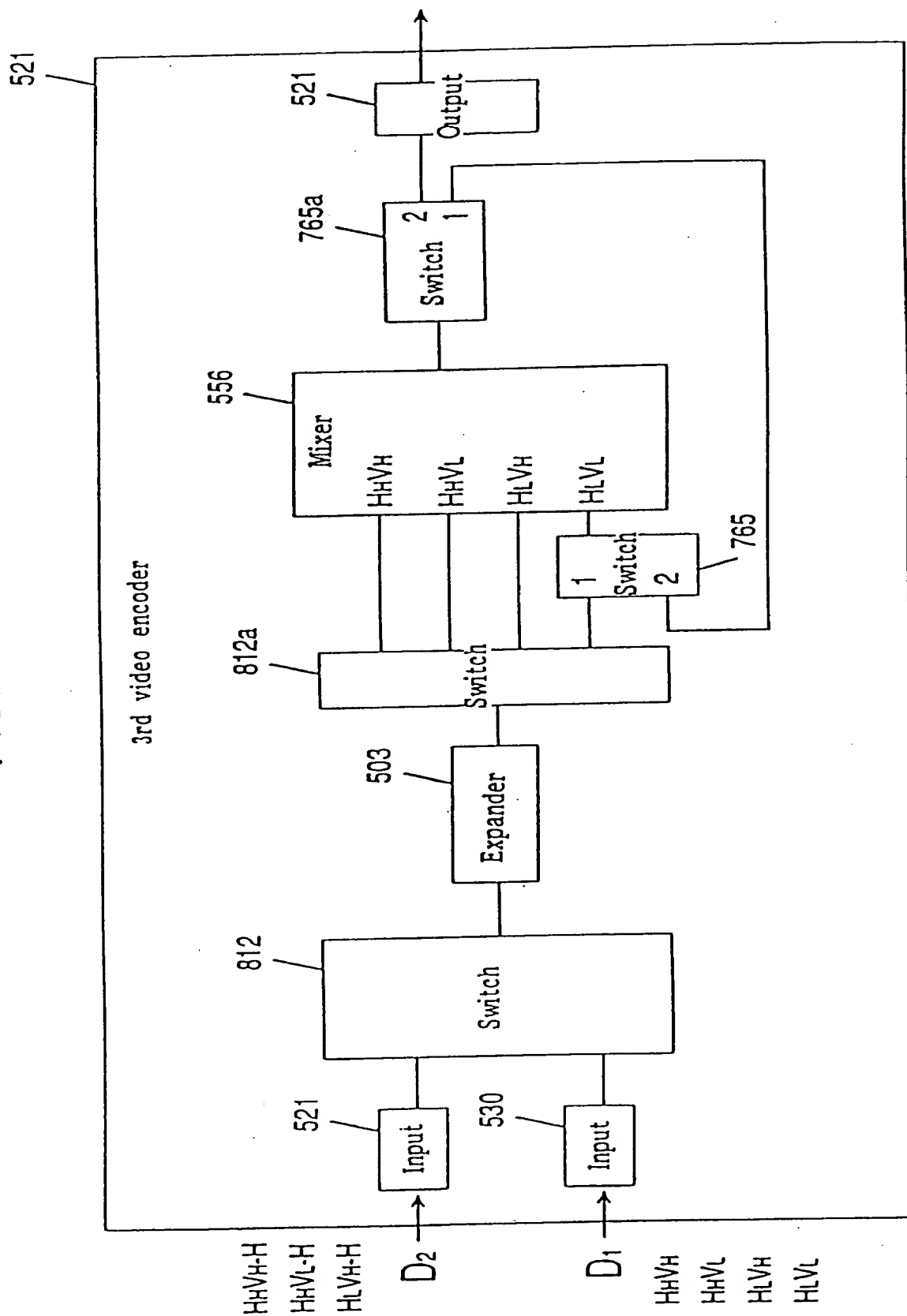


FIG. 79

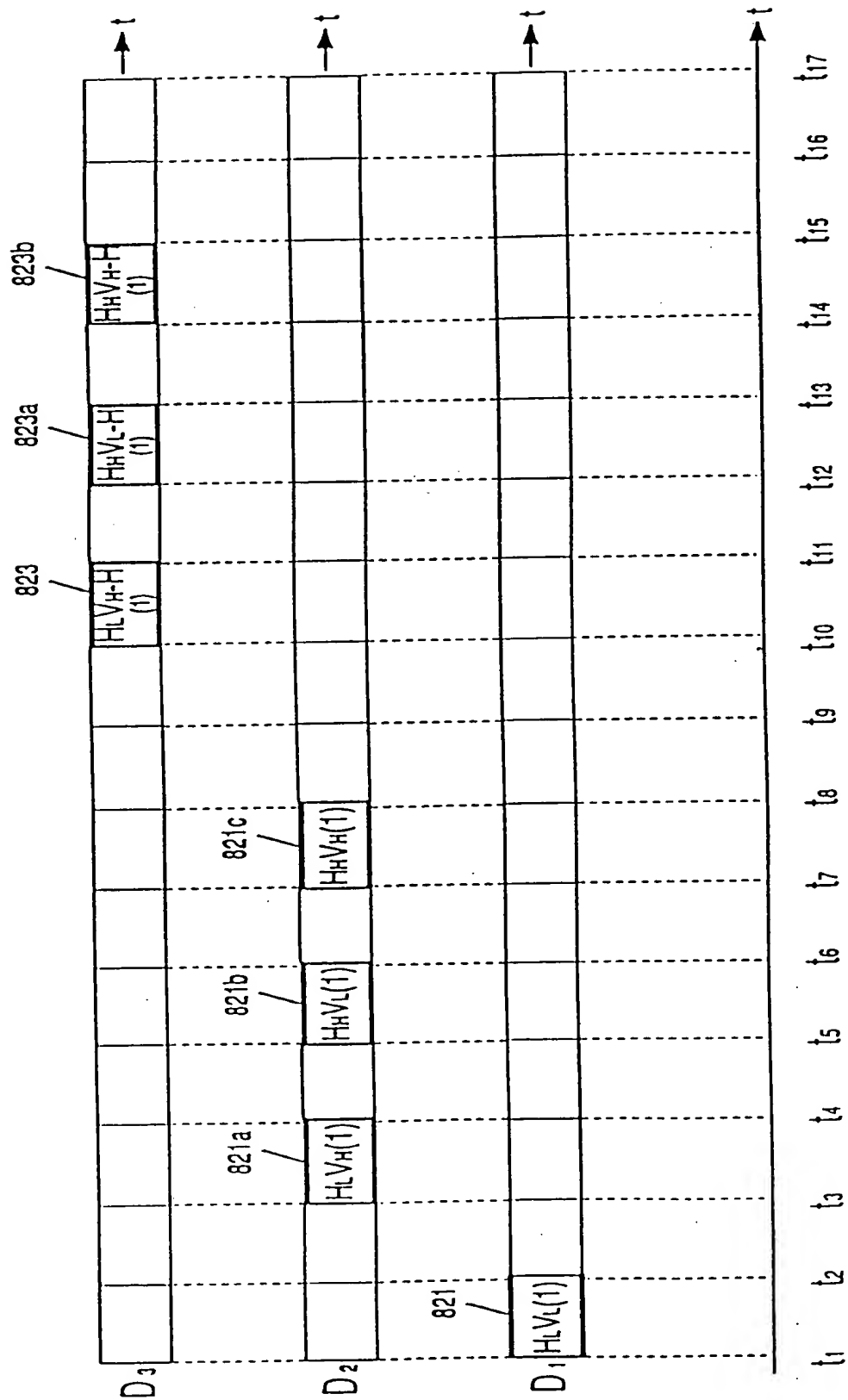


FIG. 80

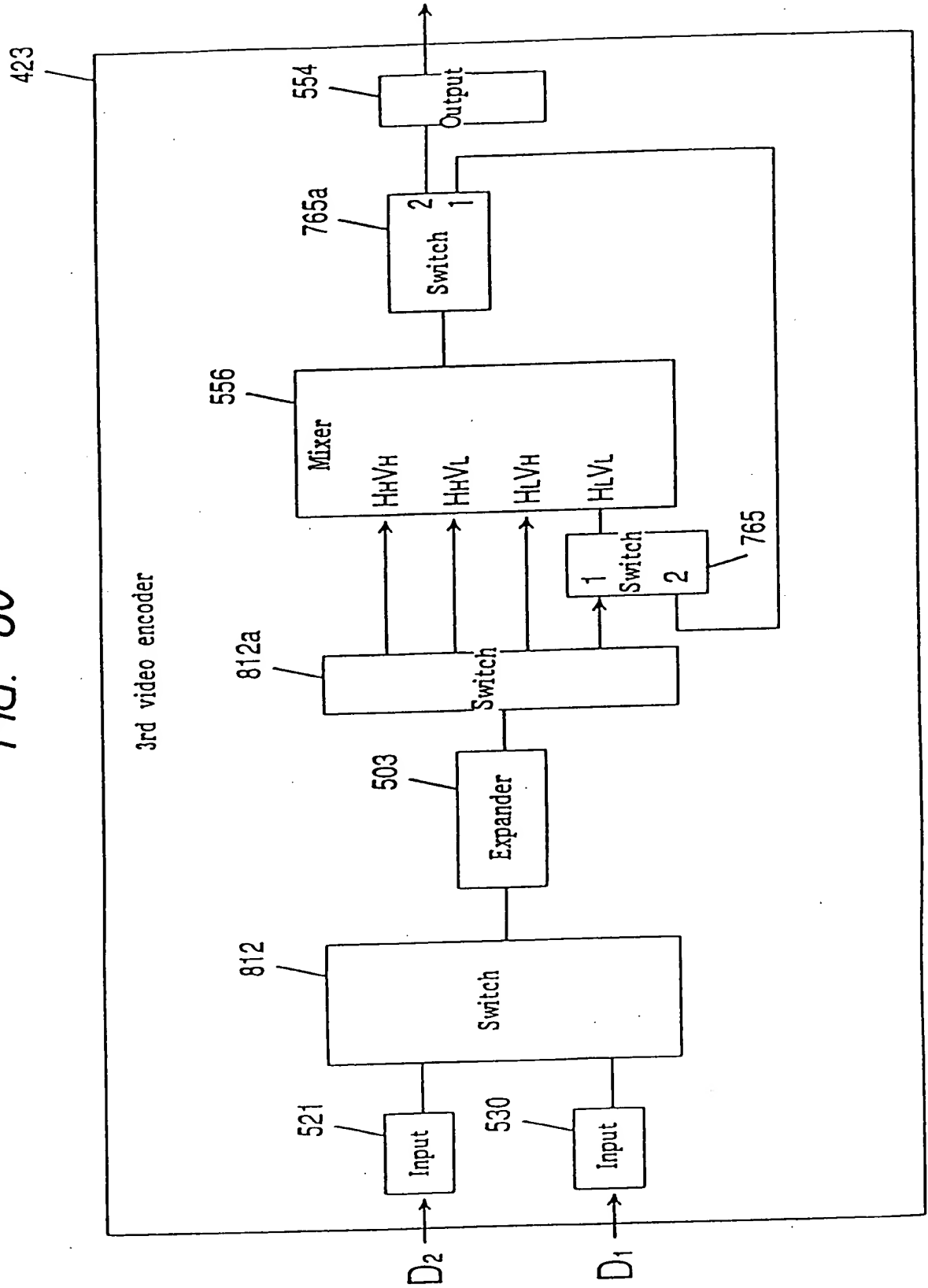


FIG. 82

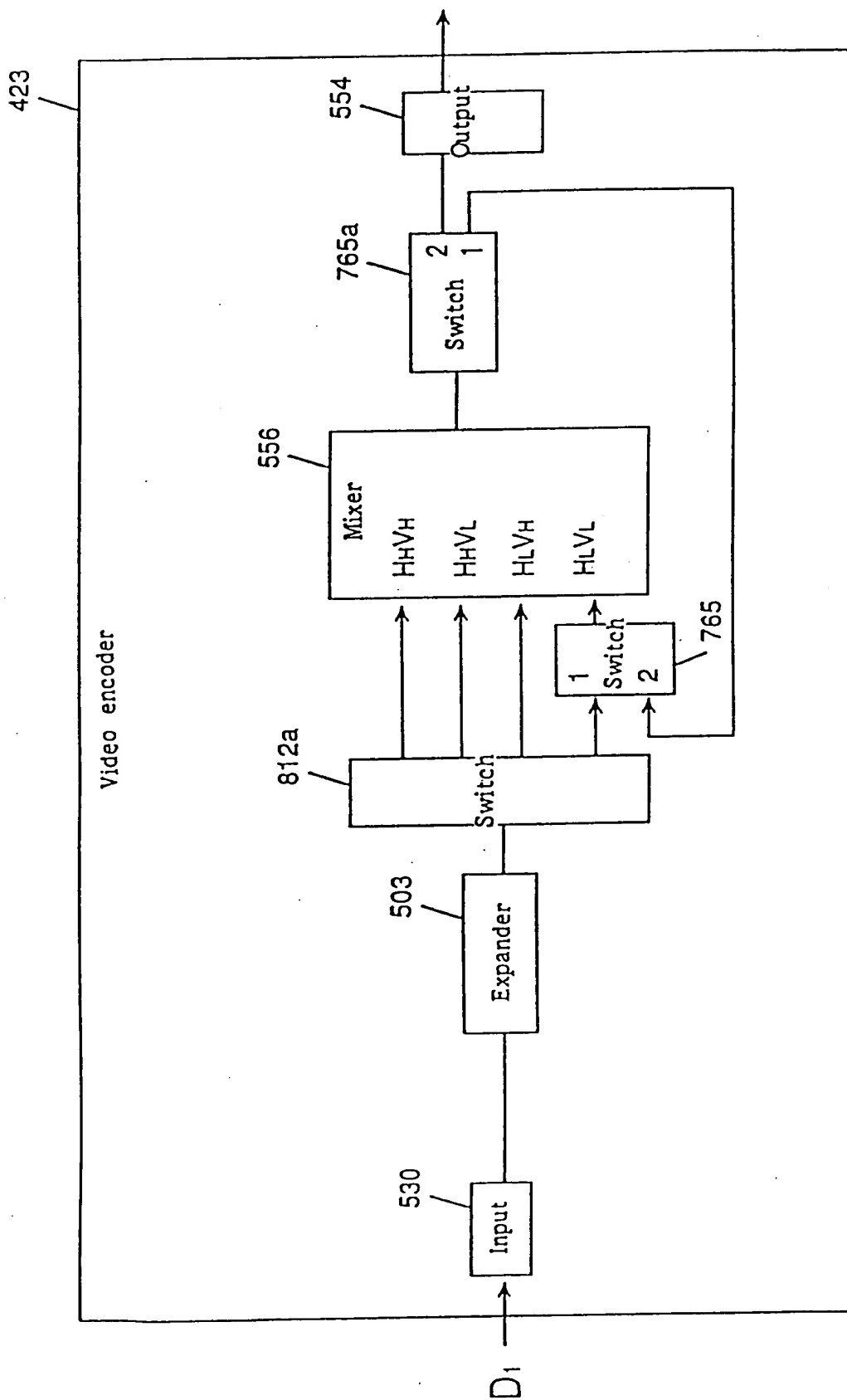


FIG. 83

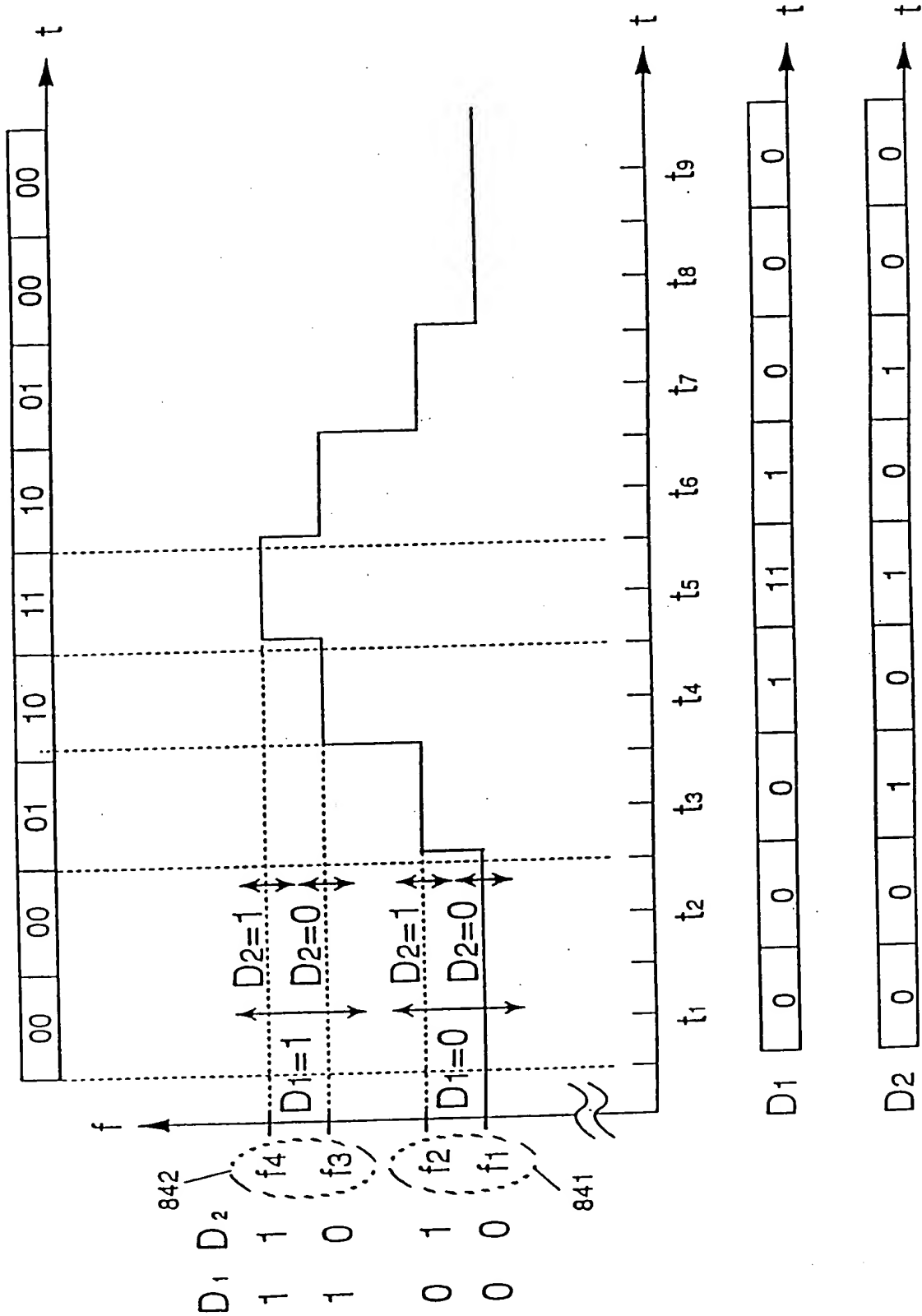


FIG. 84

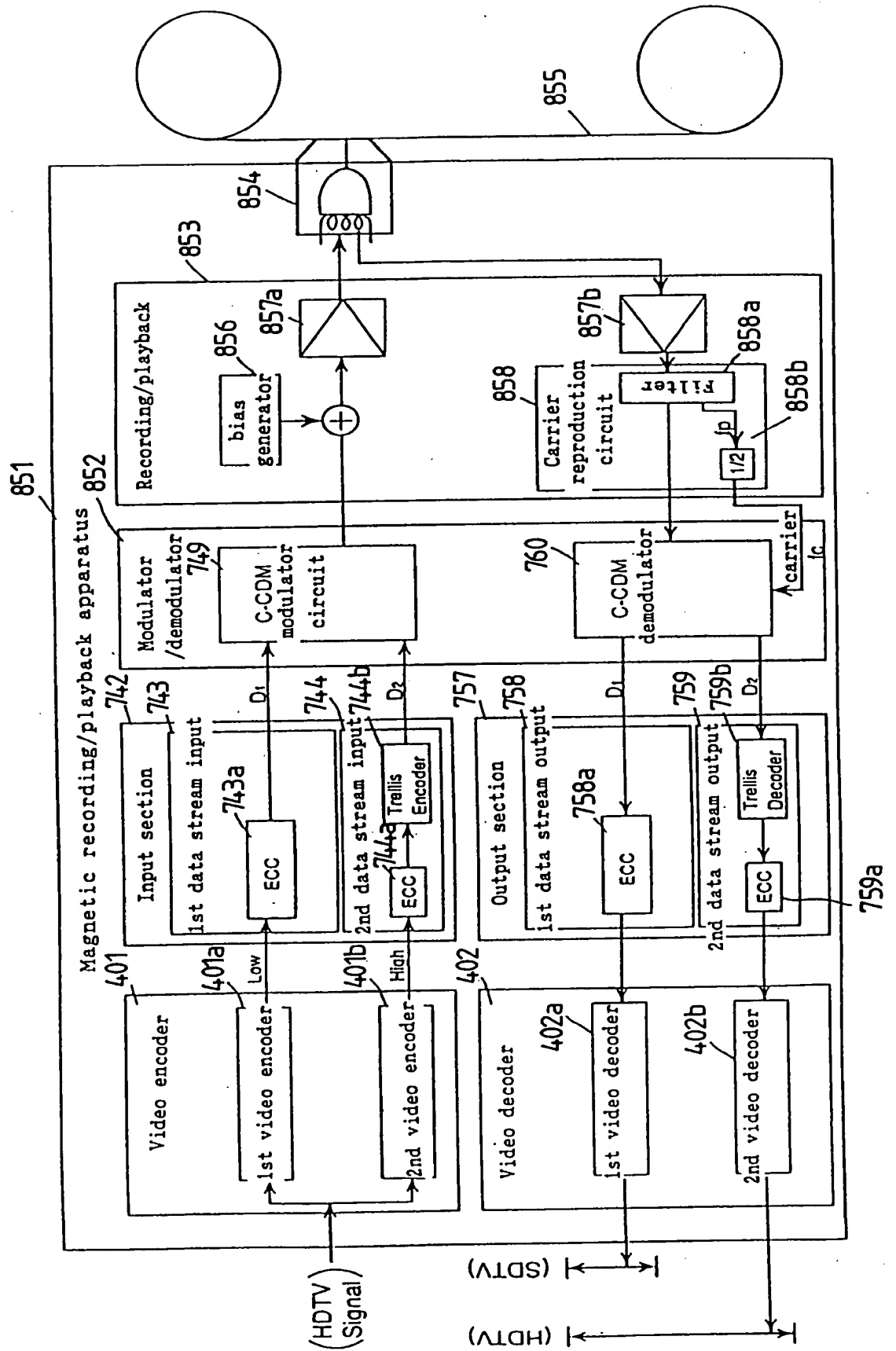


FIG. 85

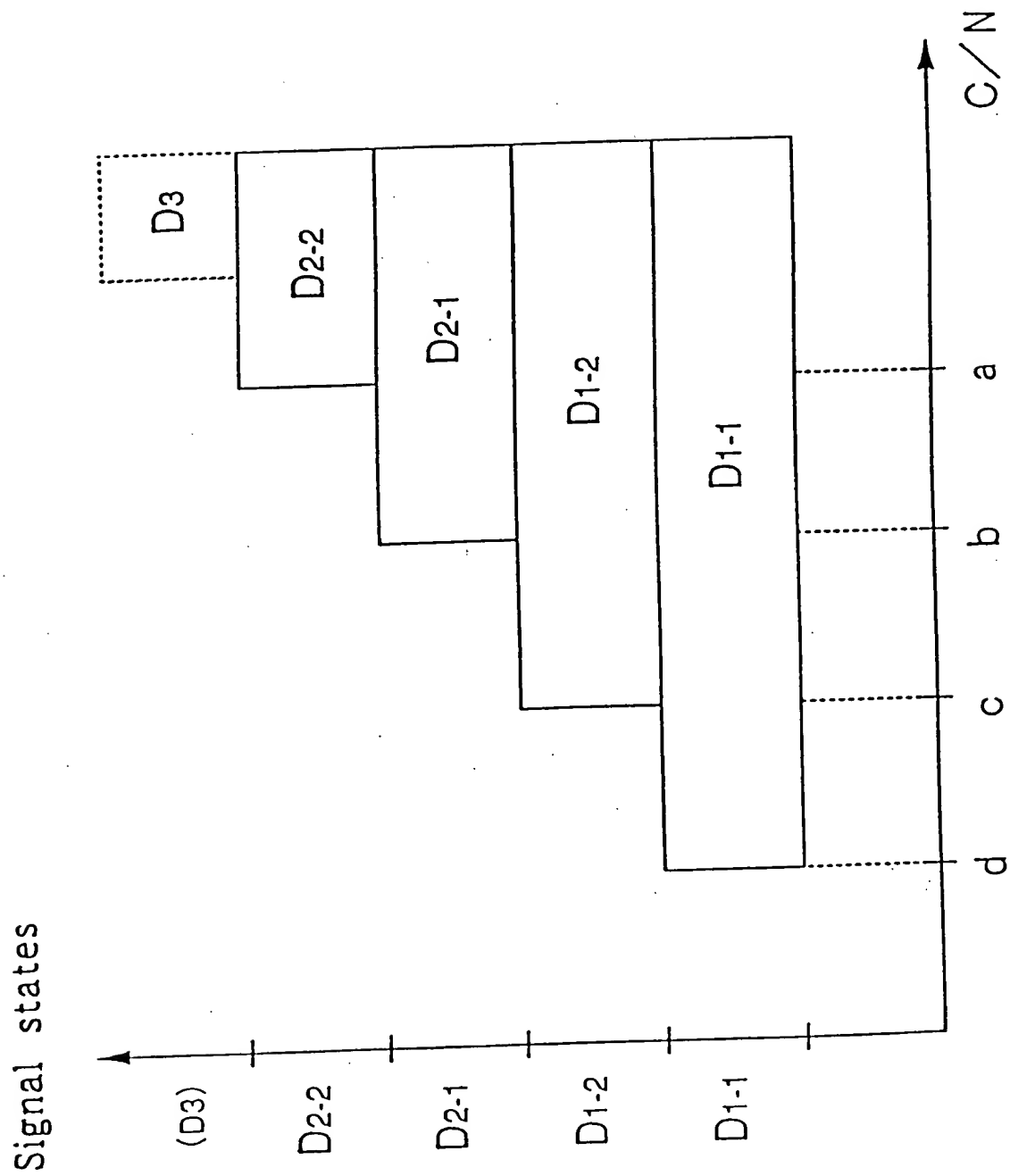


FIG. 86

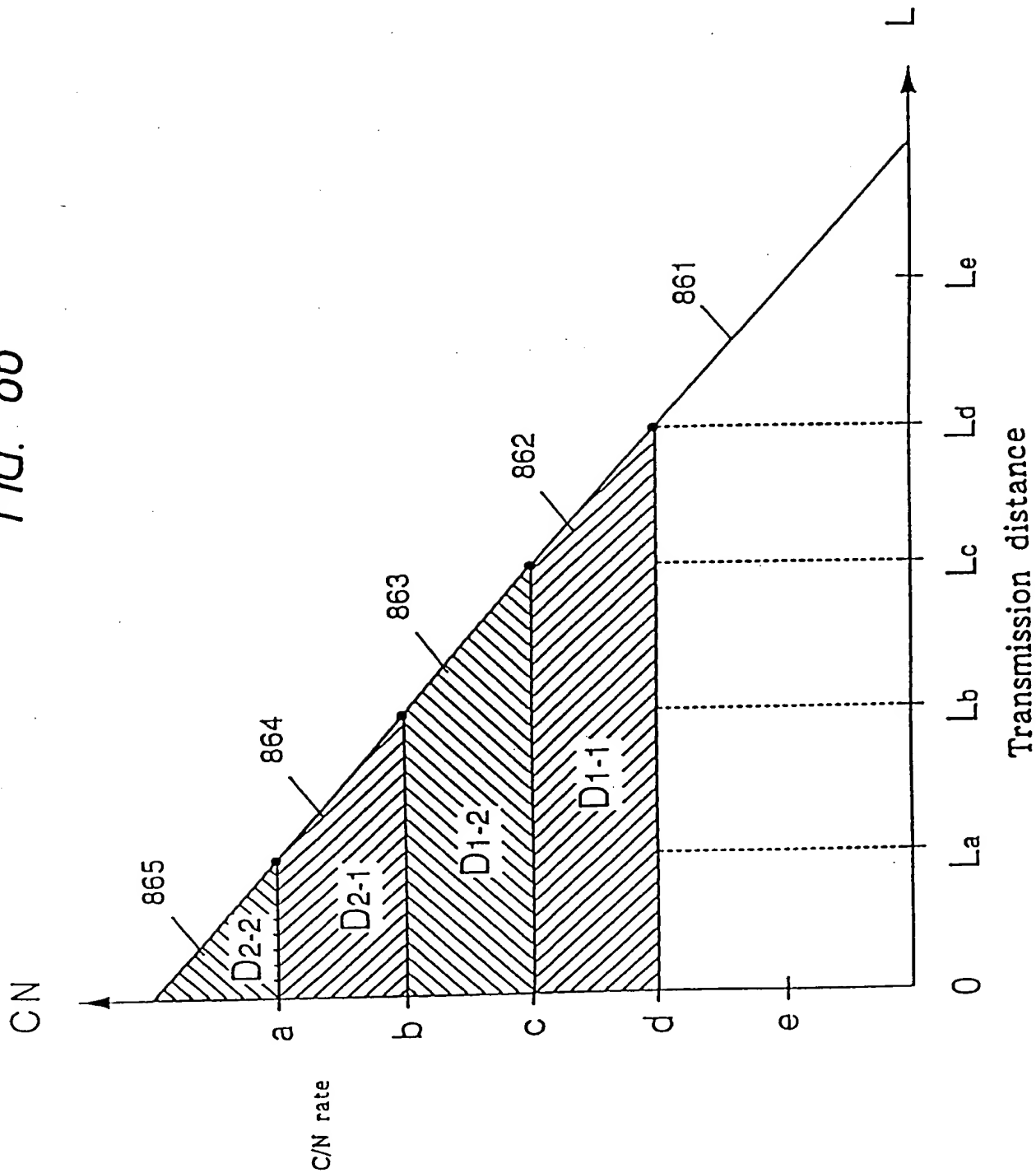


FIG. 87

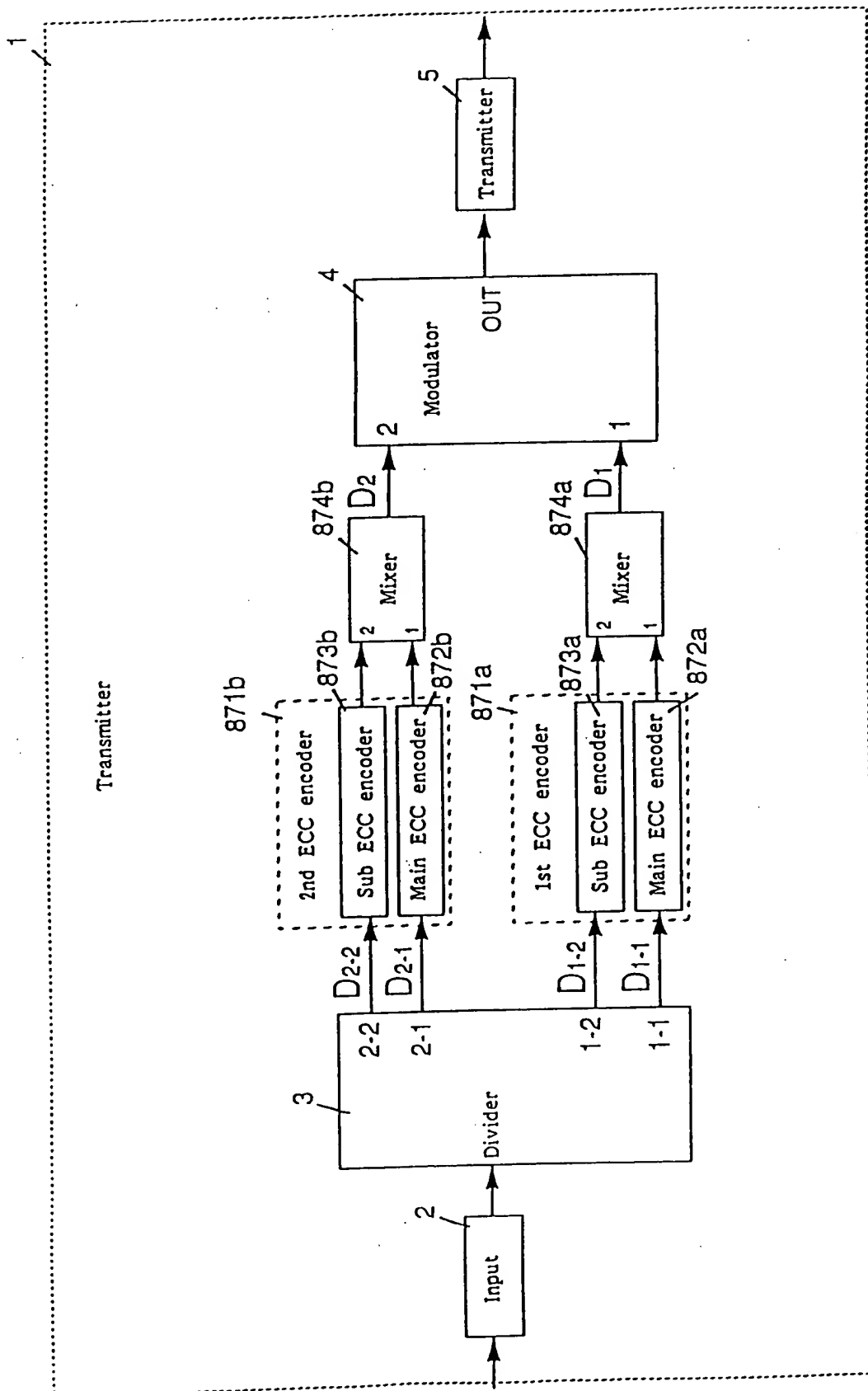


FIG. 88

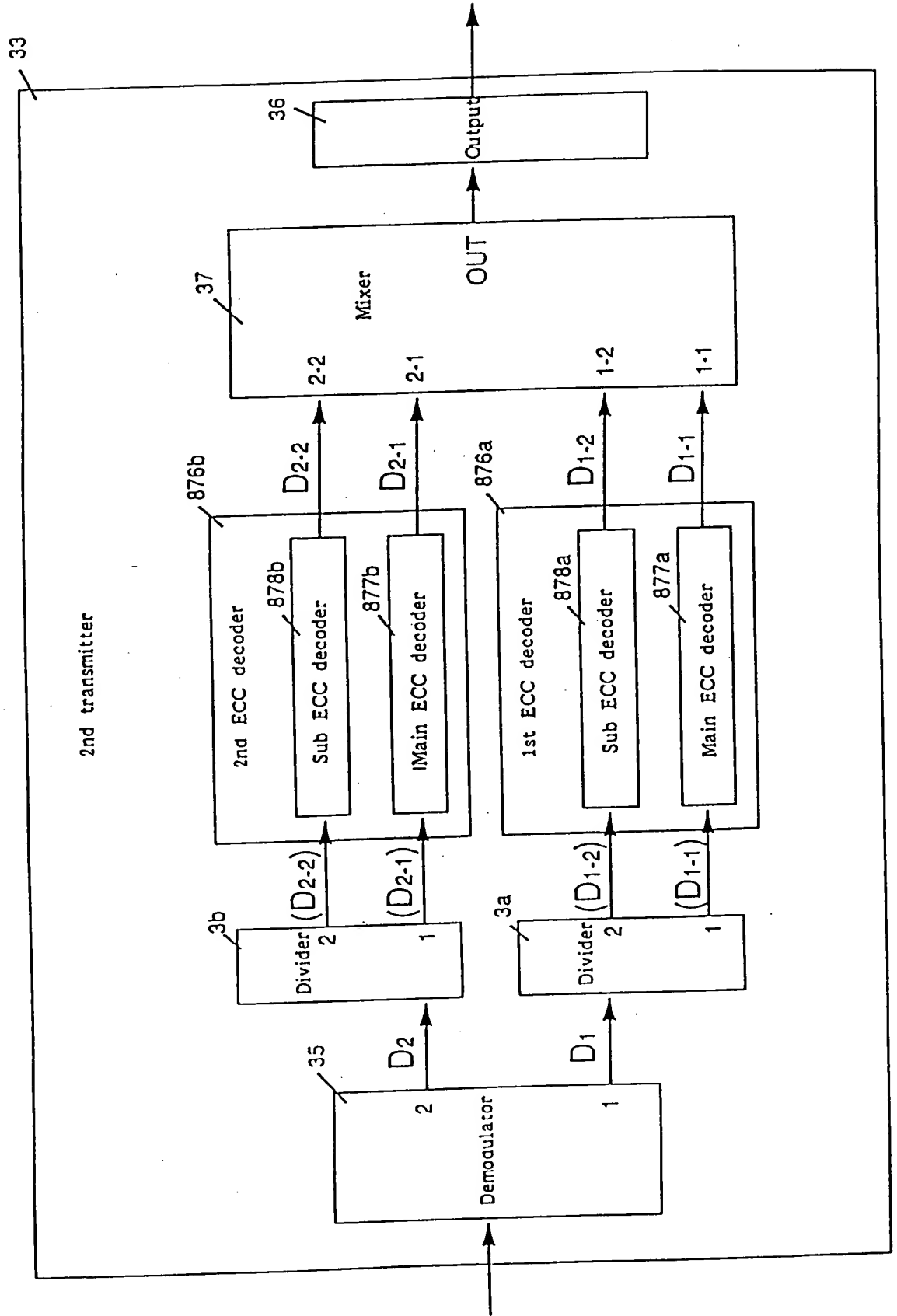


FIG. 89

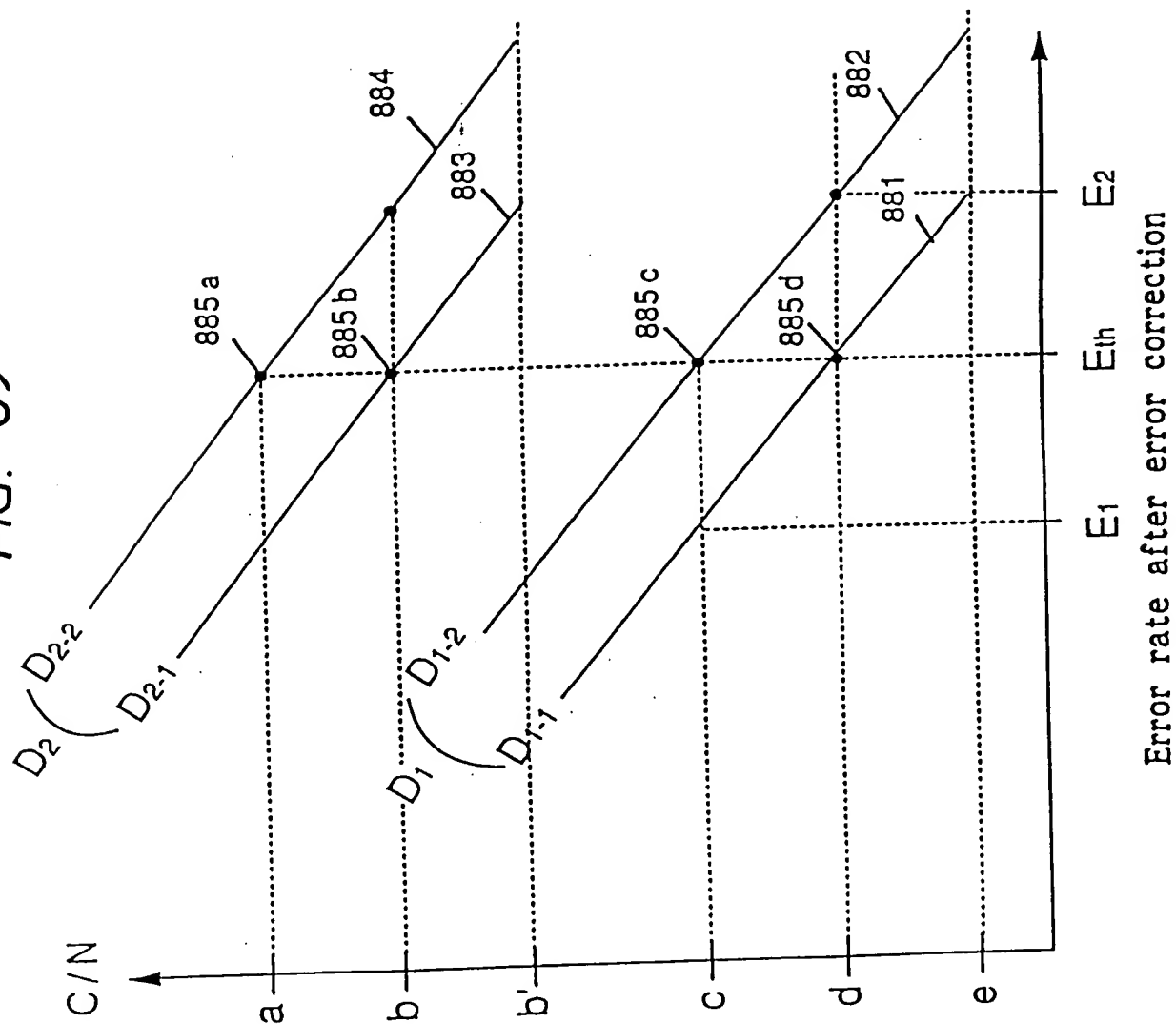


FIG. 90

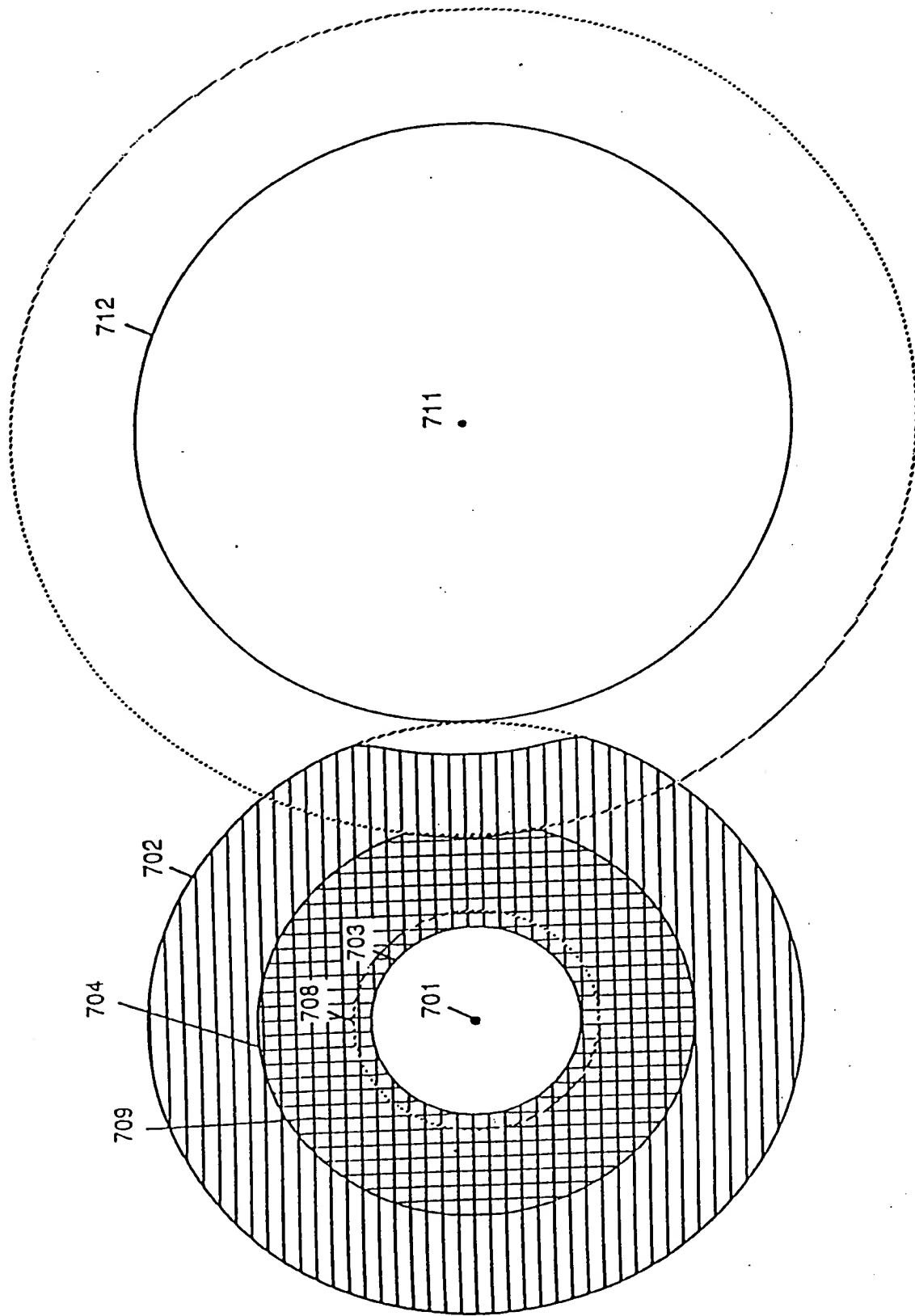


FIG. 91

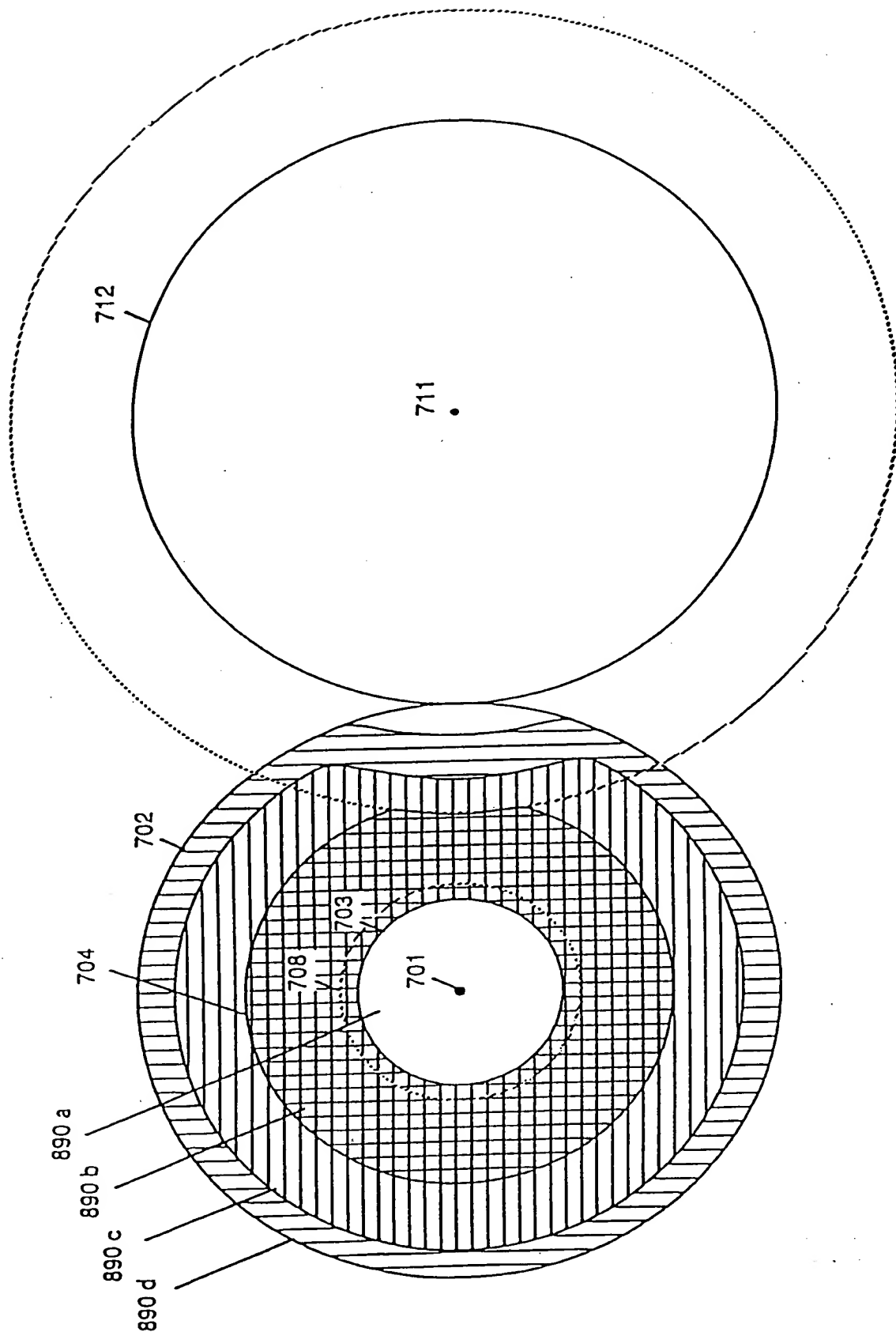


FIG. 92

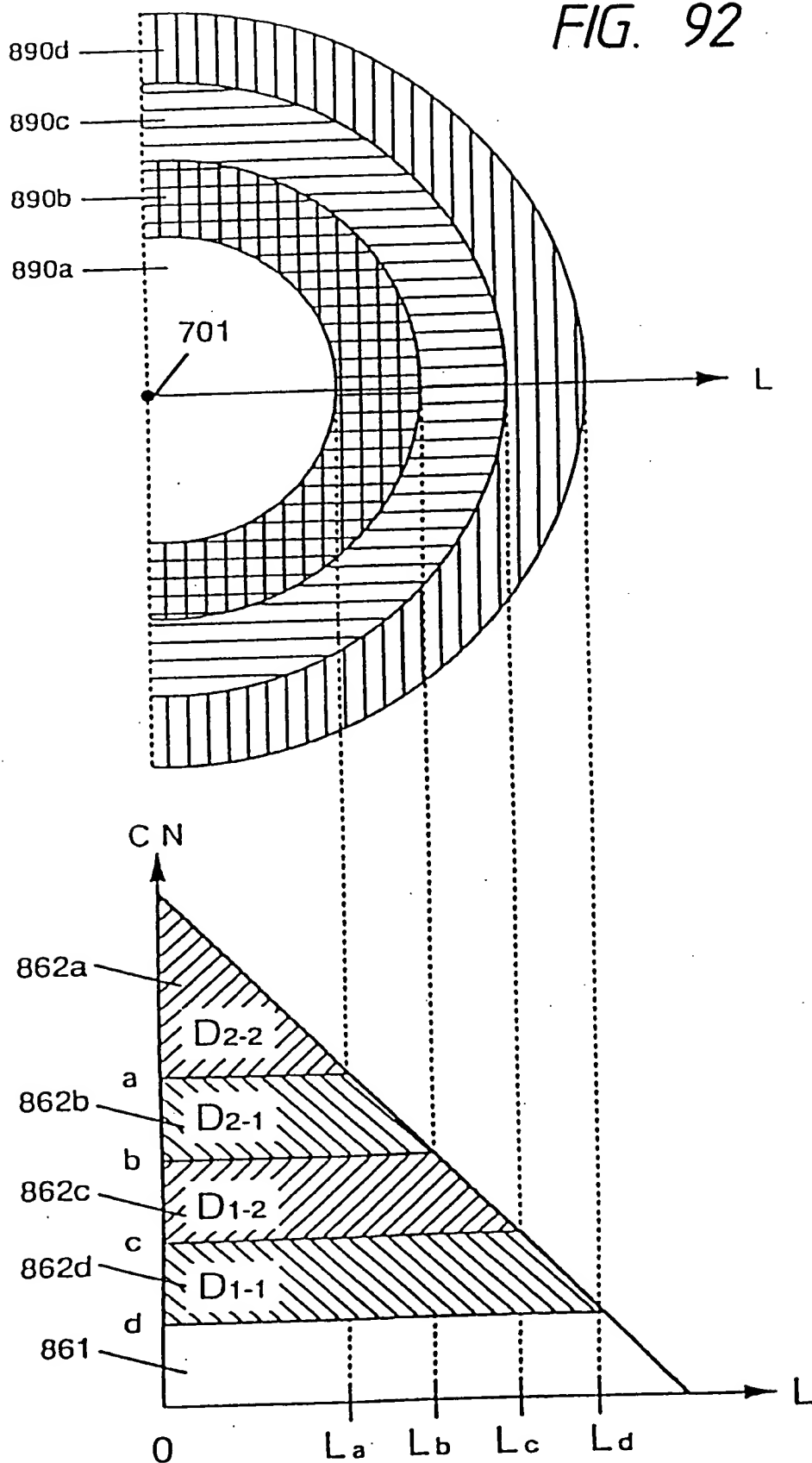


FIG. 93

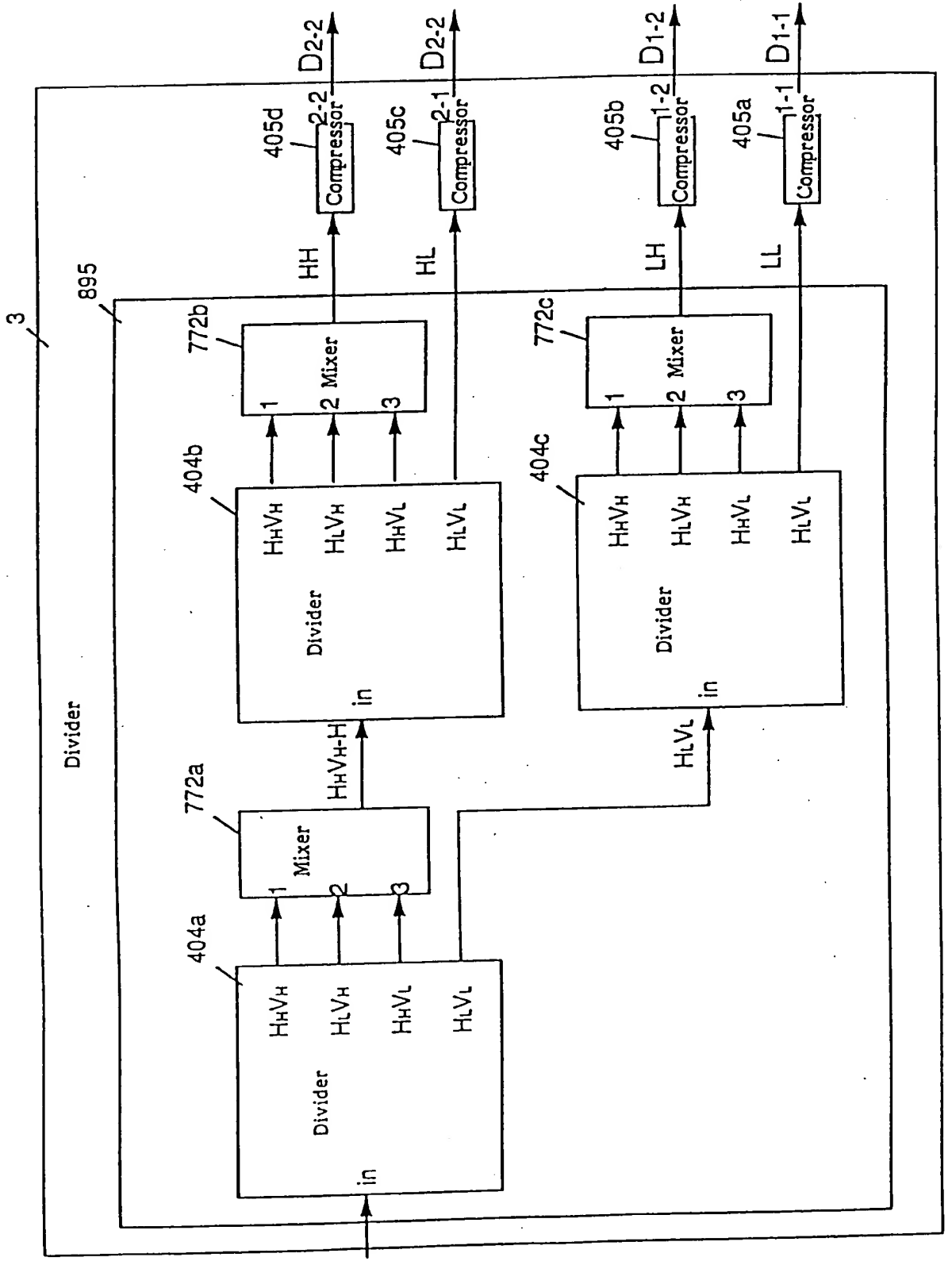


FIG. 94

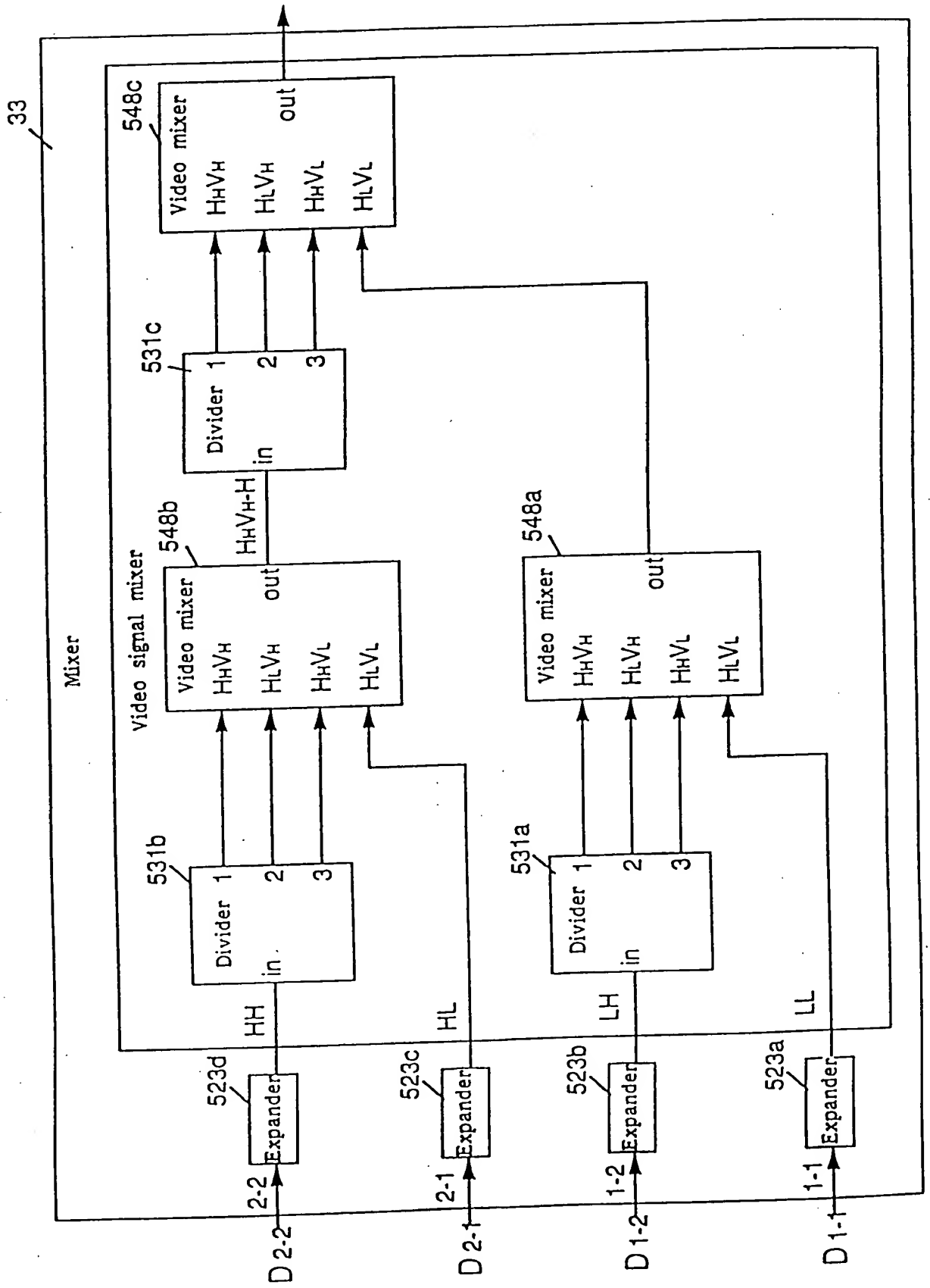


FIG. 95

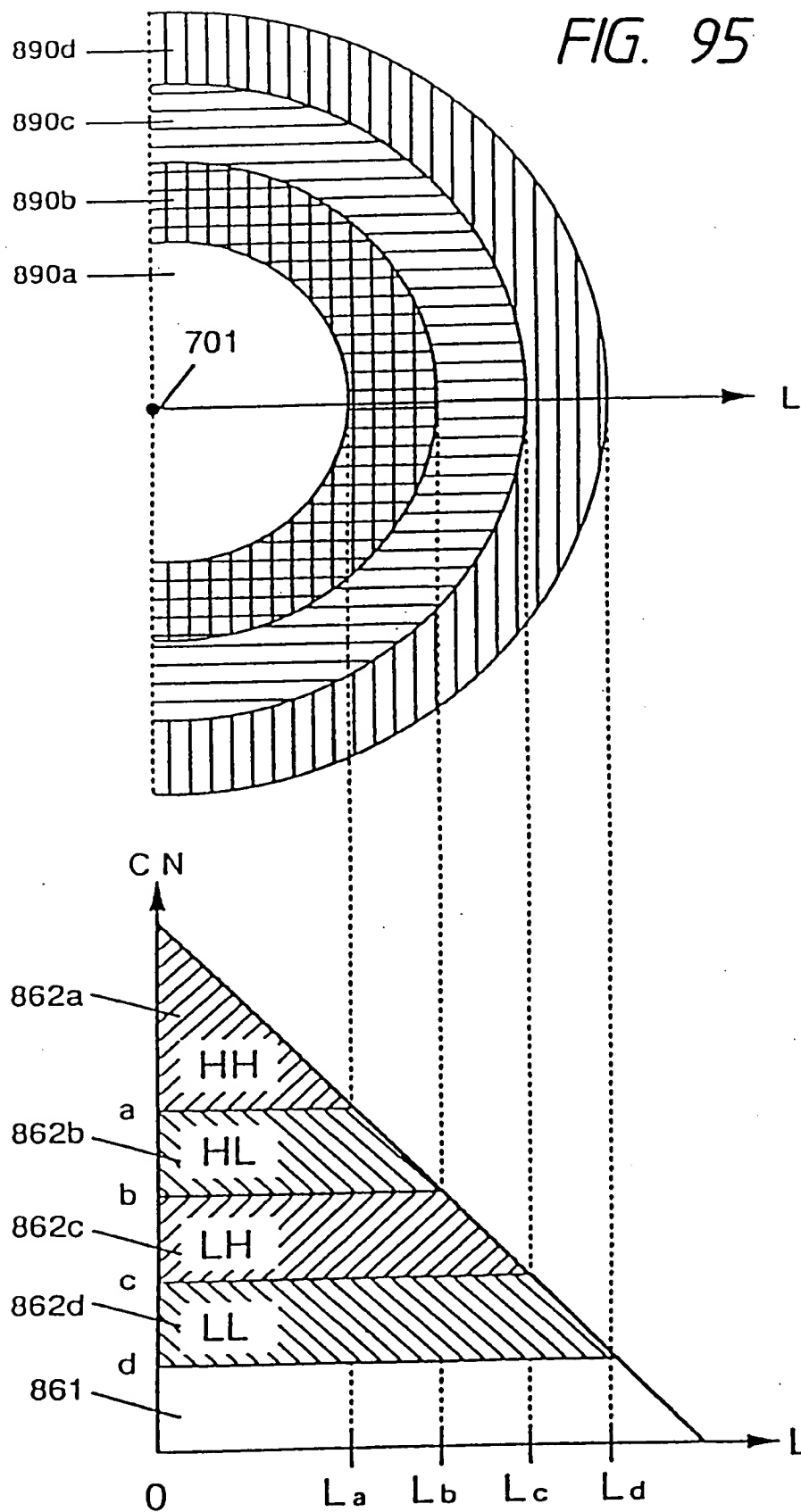


FIG. 96

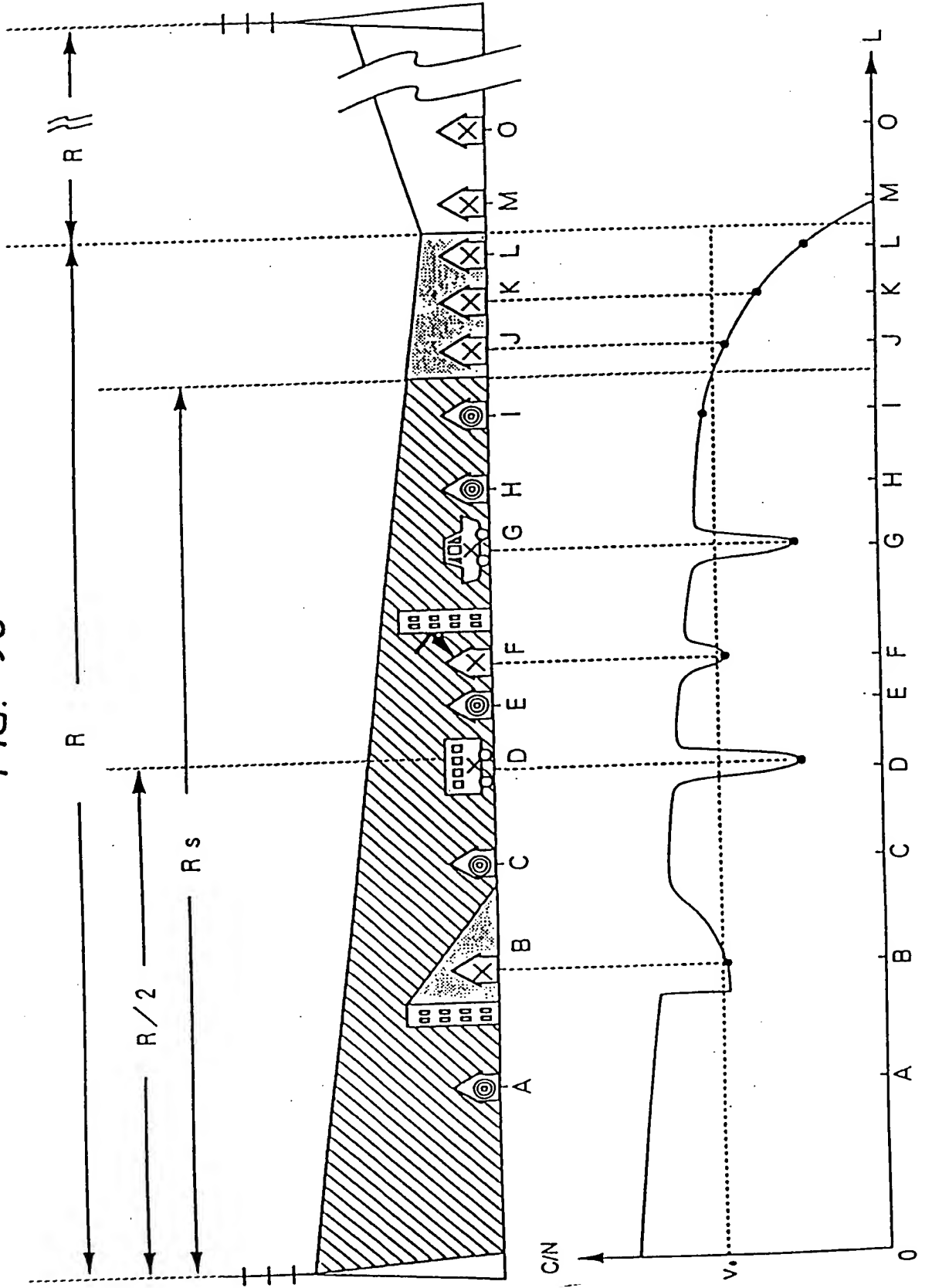


FIG. 97

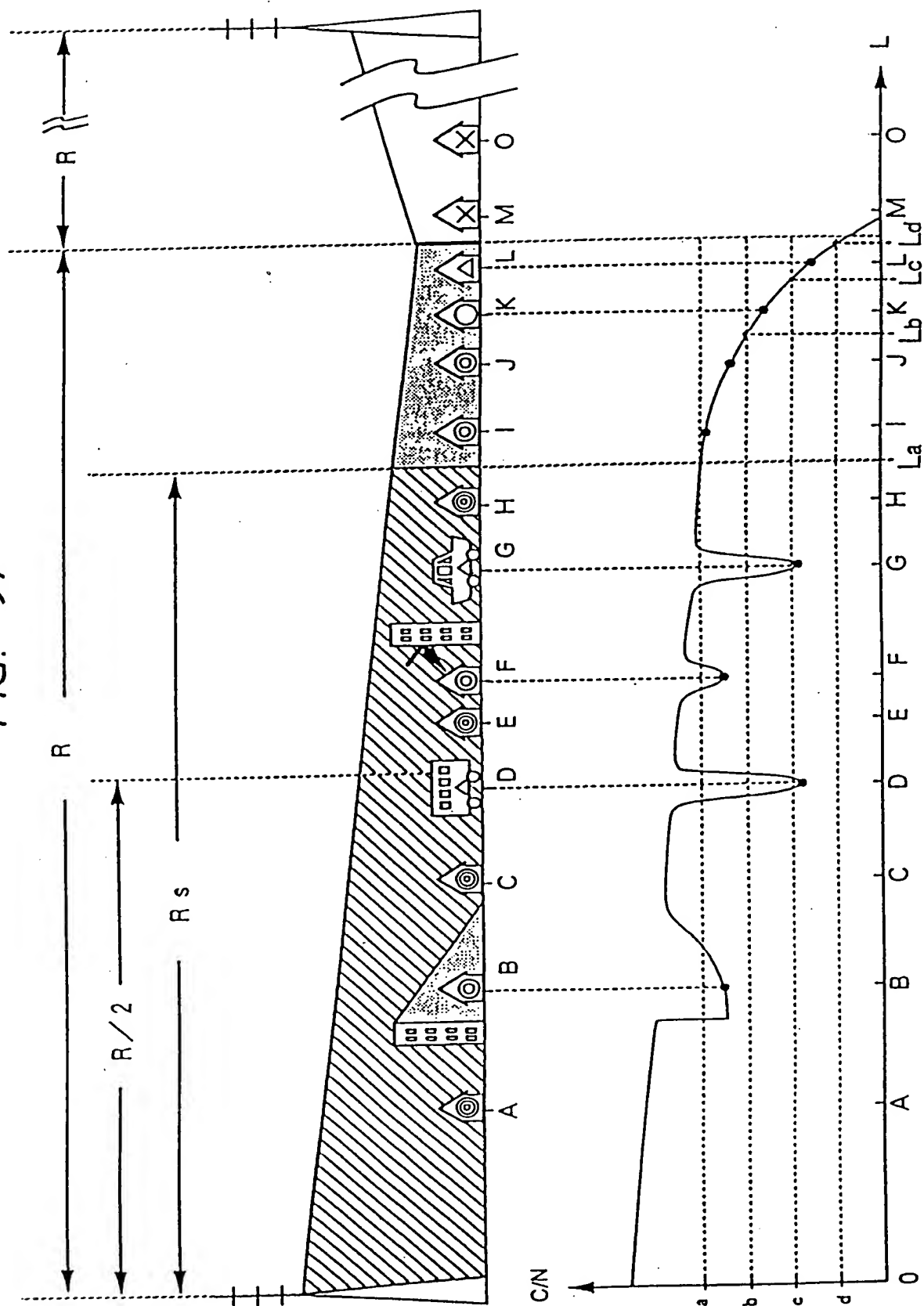


FIG. 98

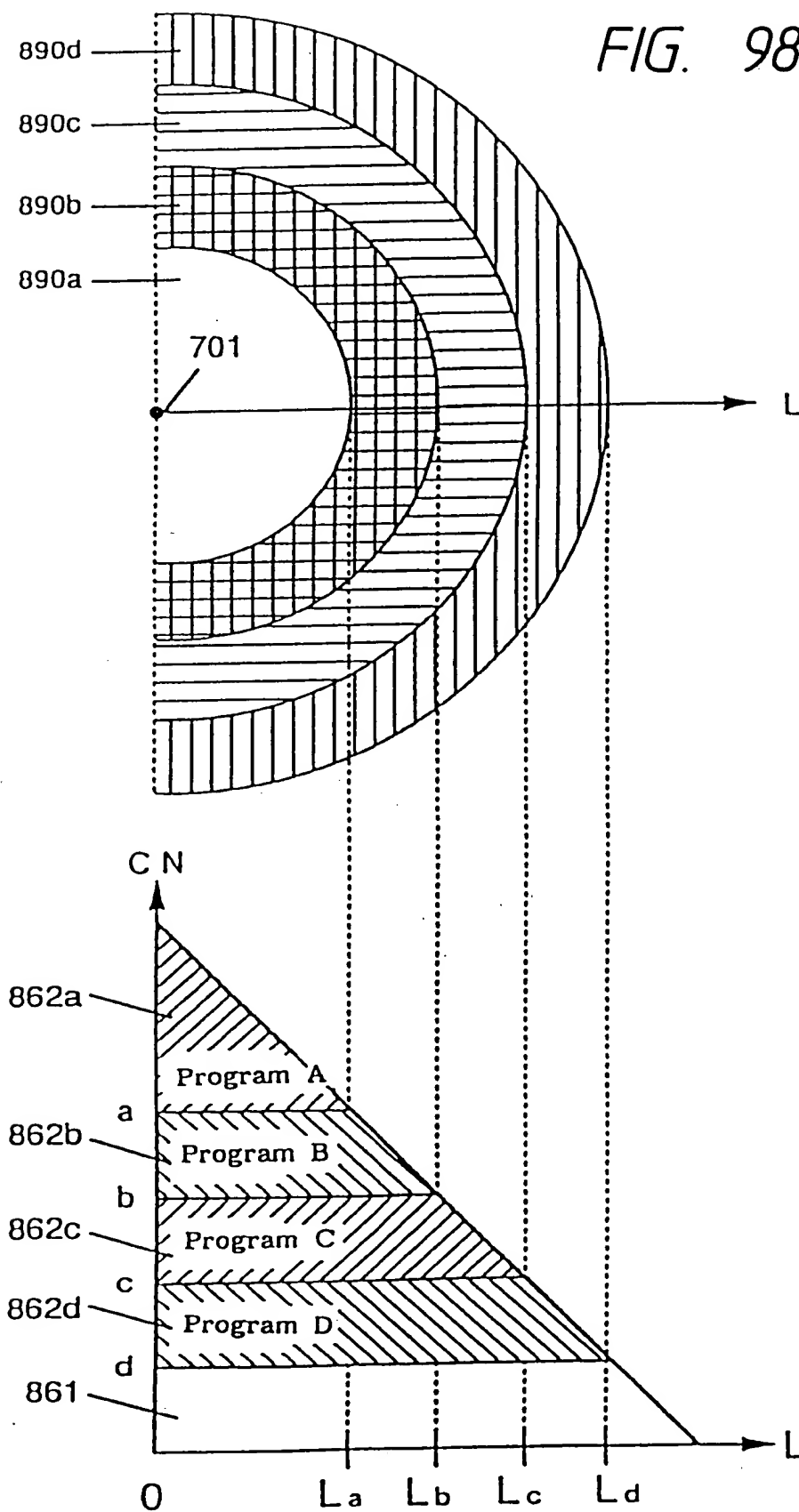


FIG. 99

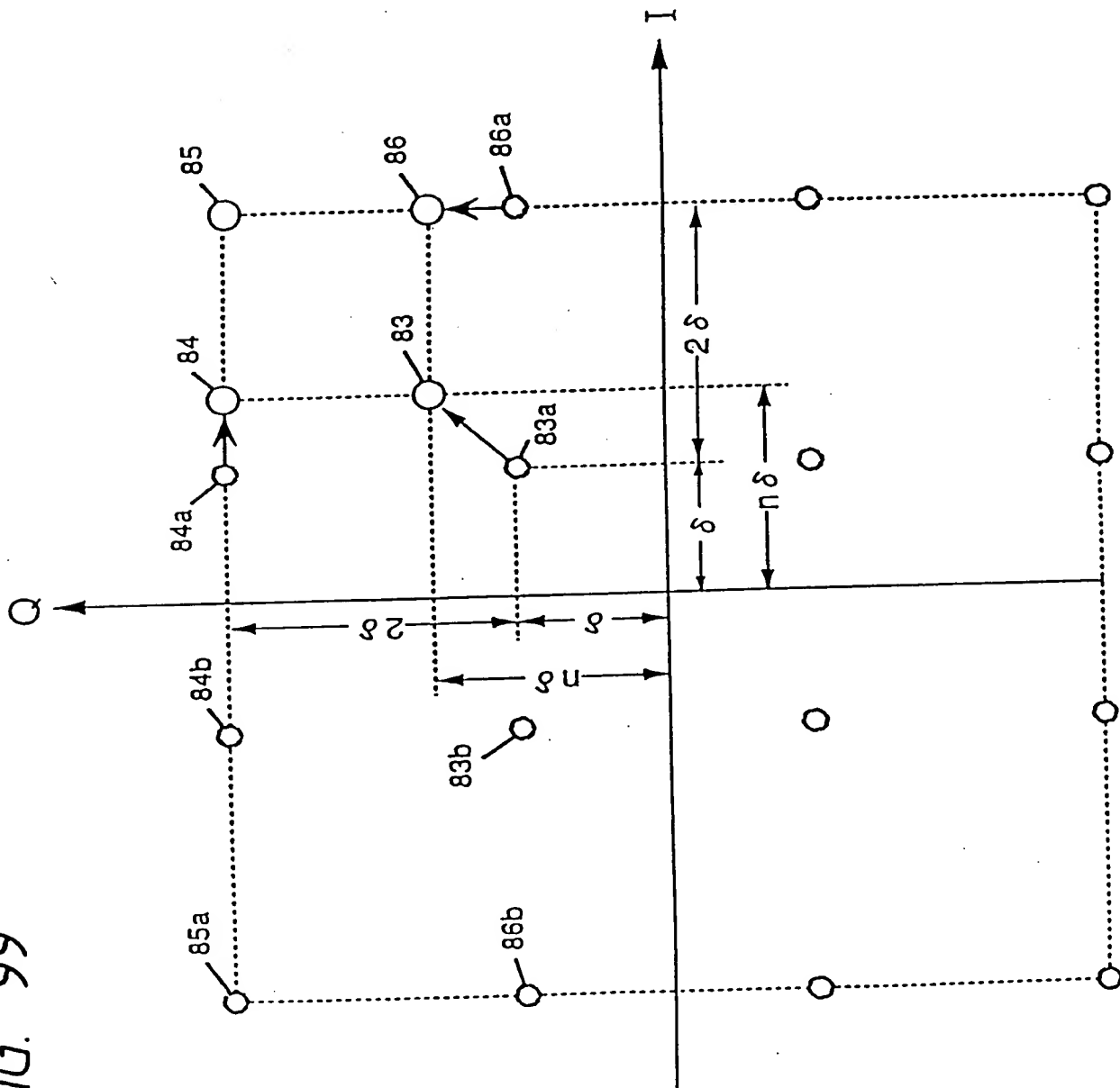
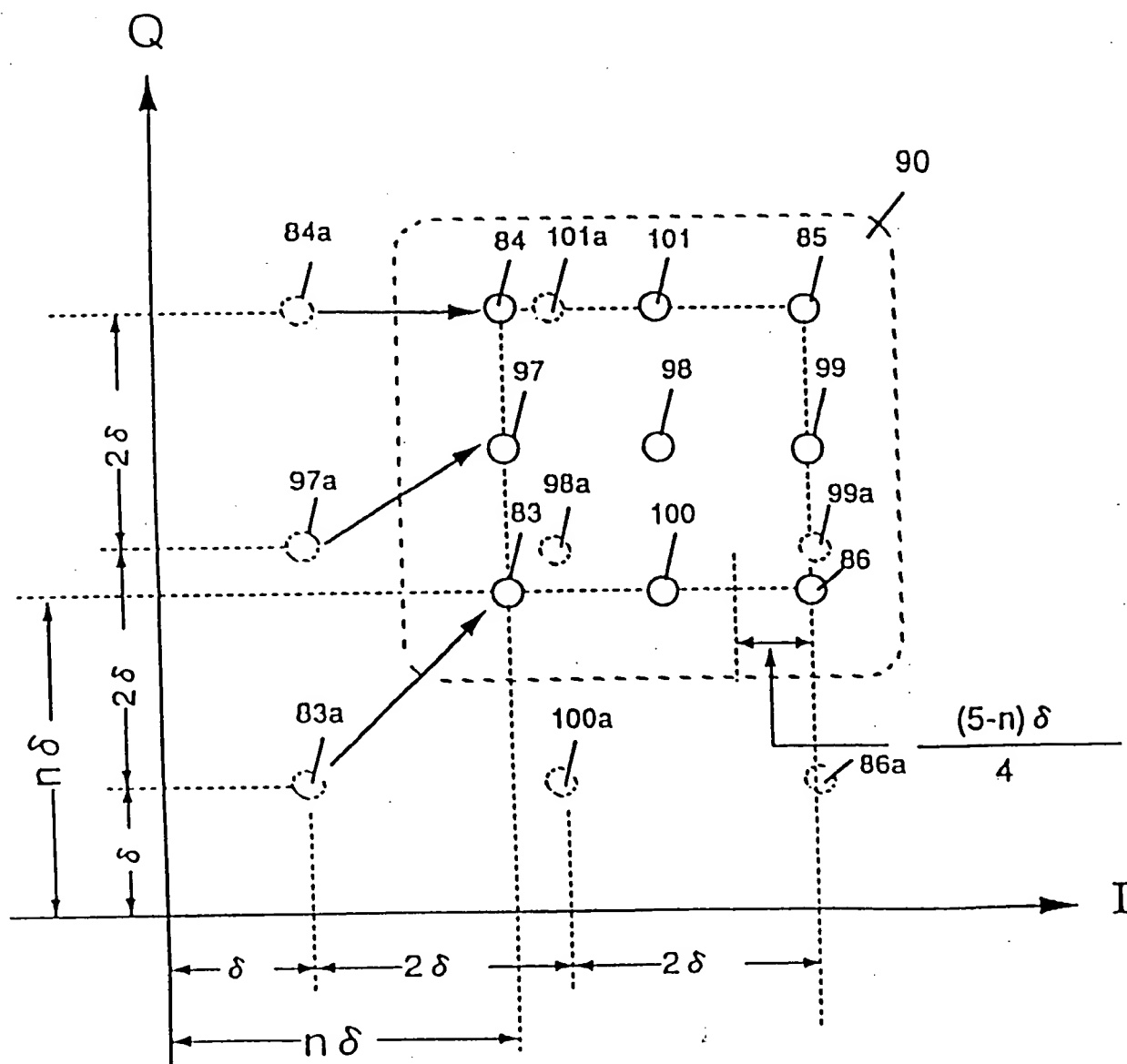


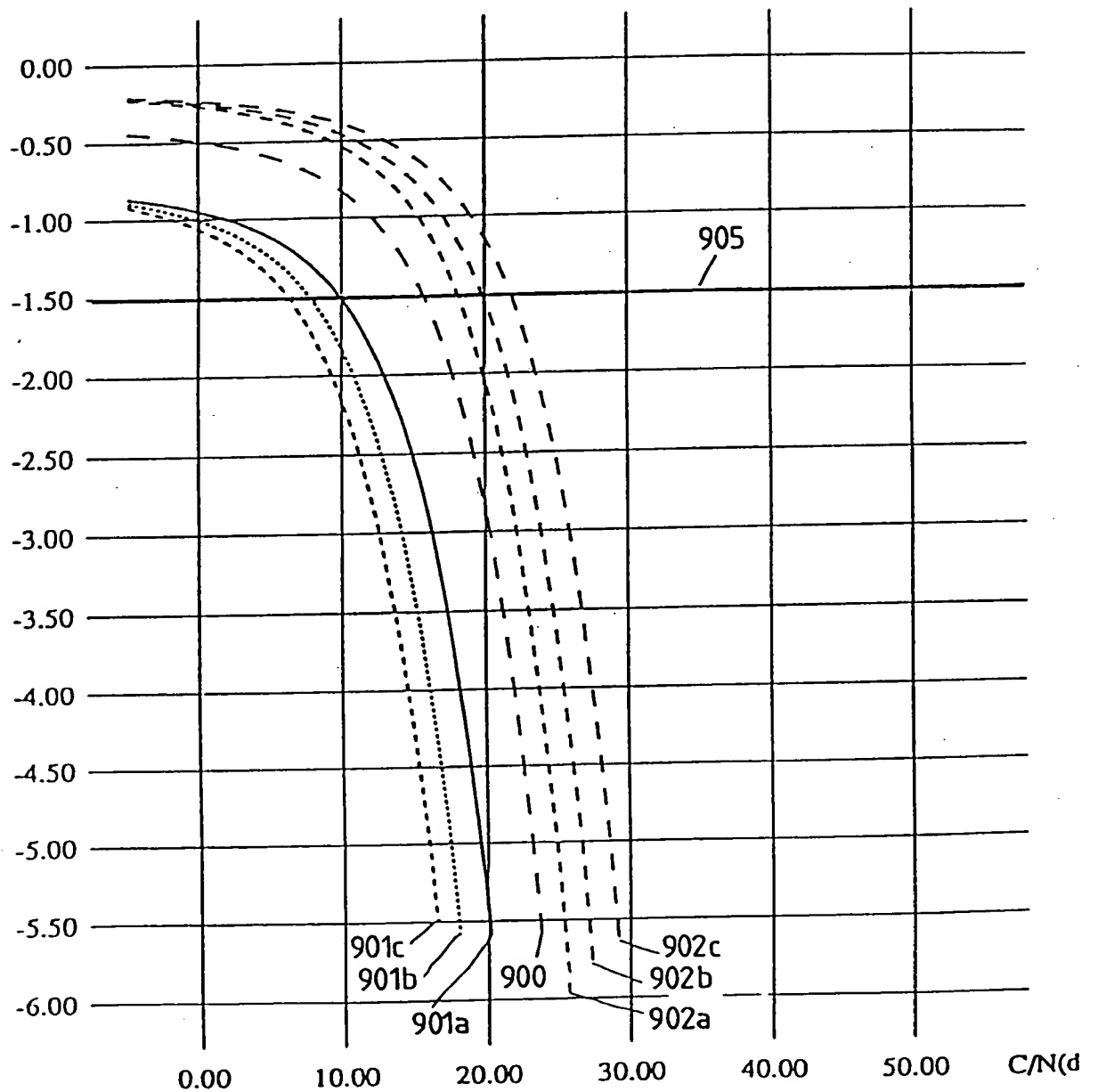
FIG. 100



009011" 92250260

FIG. 101

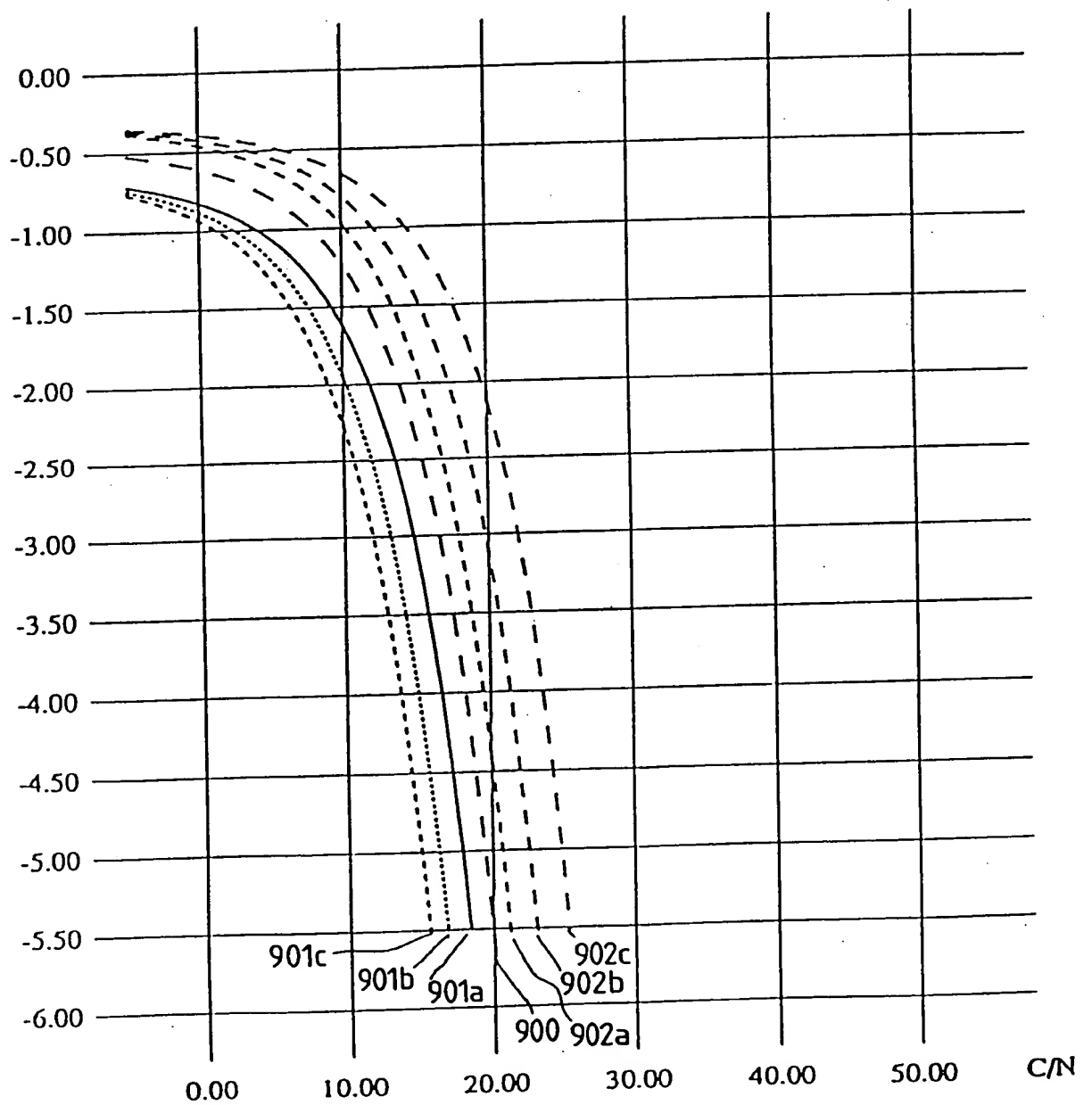
Pe



09705776-110600

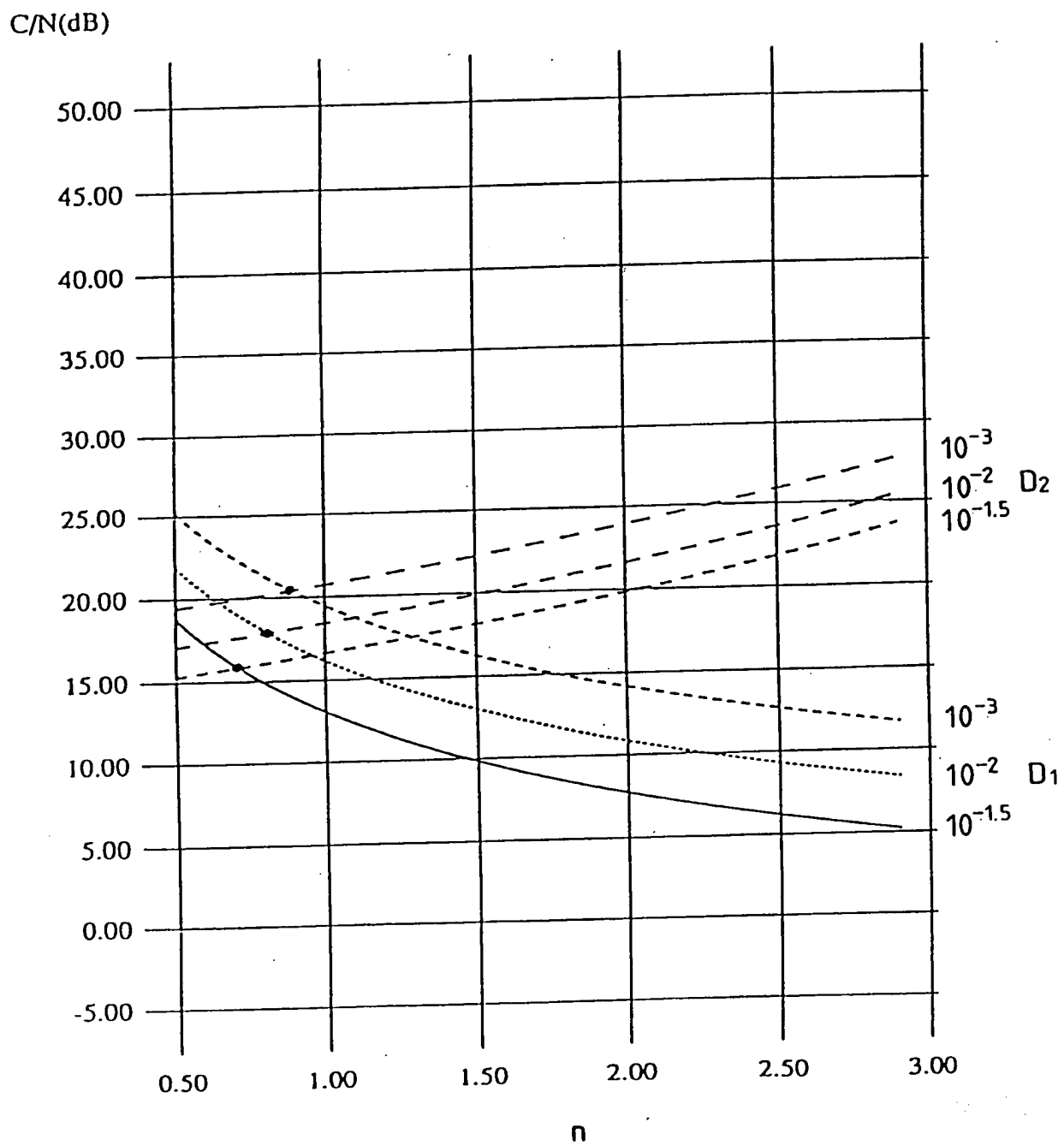
FIG. 102

Pe



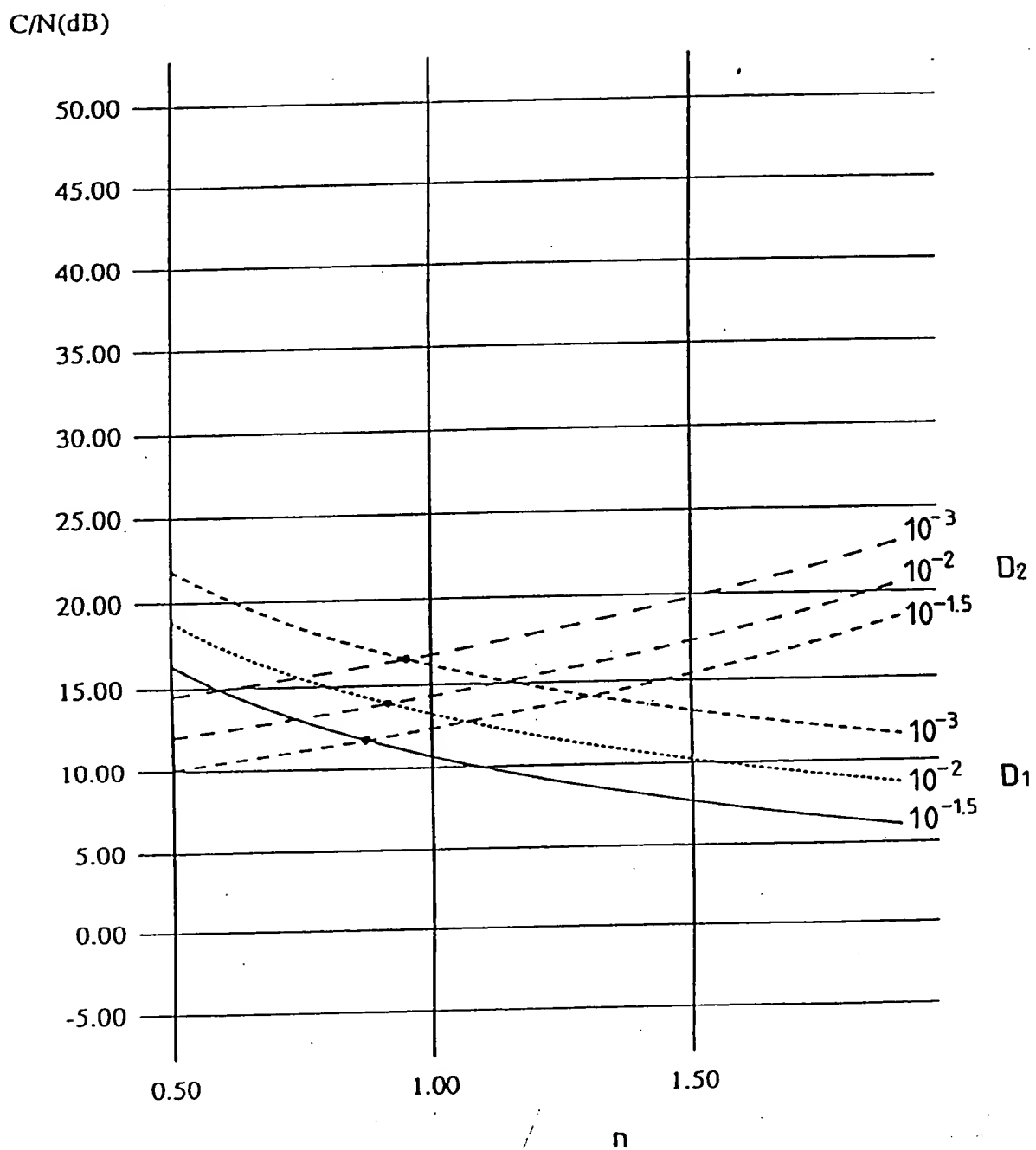
09705776-110600

FIG. 103



00907F" 92250260

FIG. 104



09705776-110600

FIG. 105

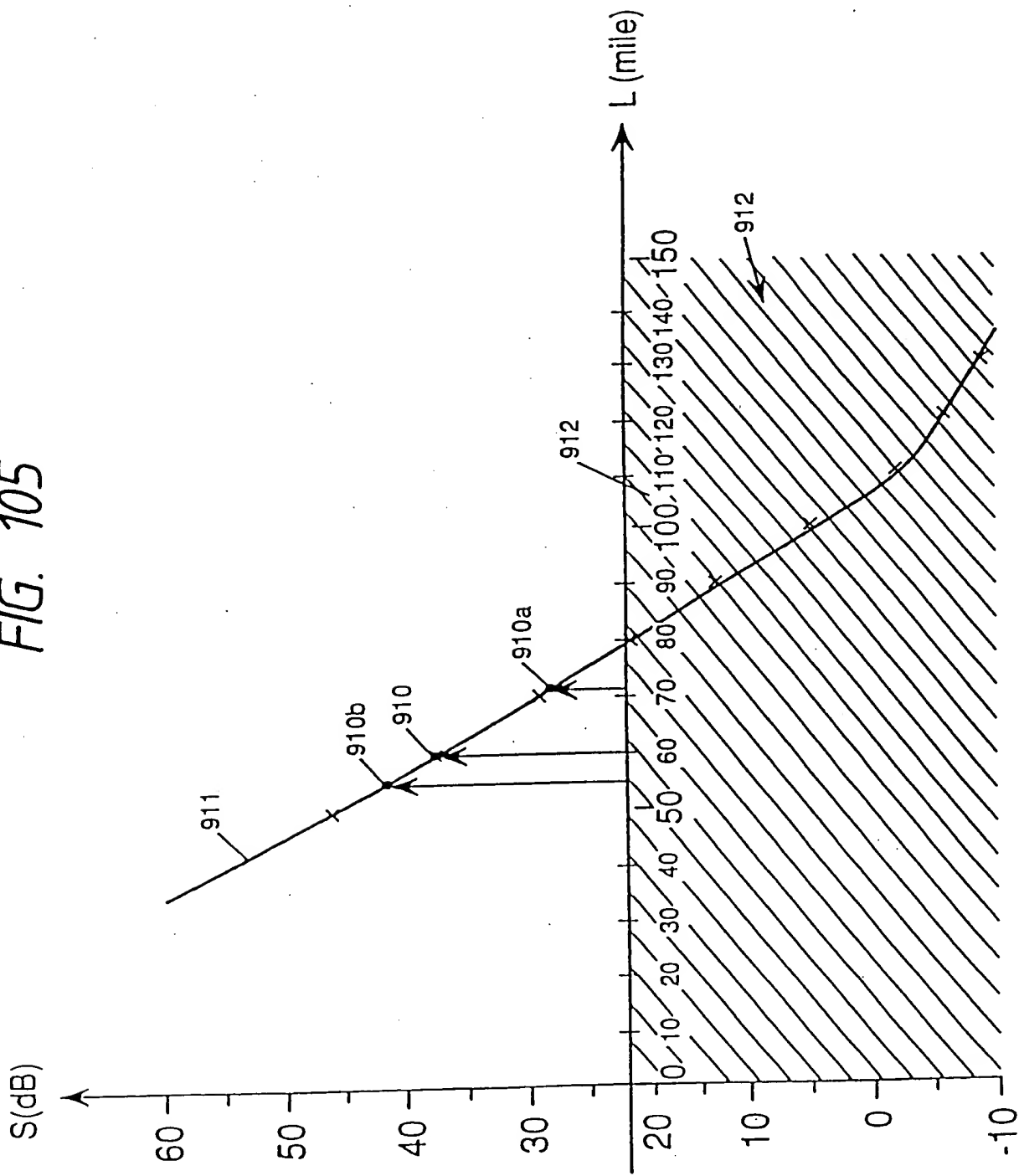


FIG. 106

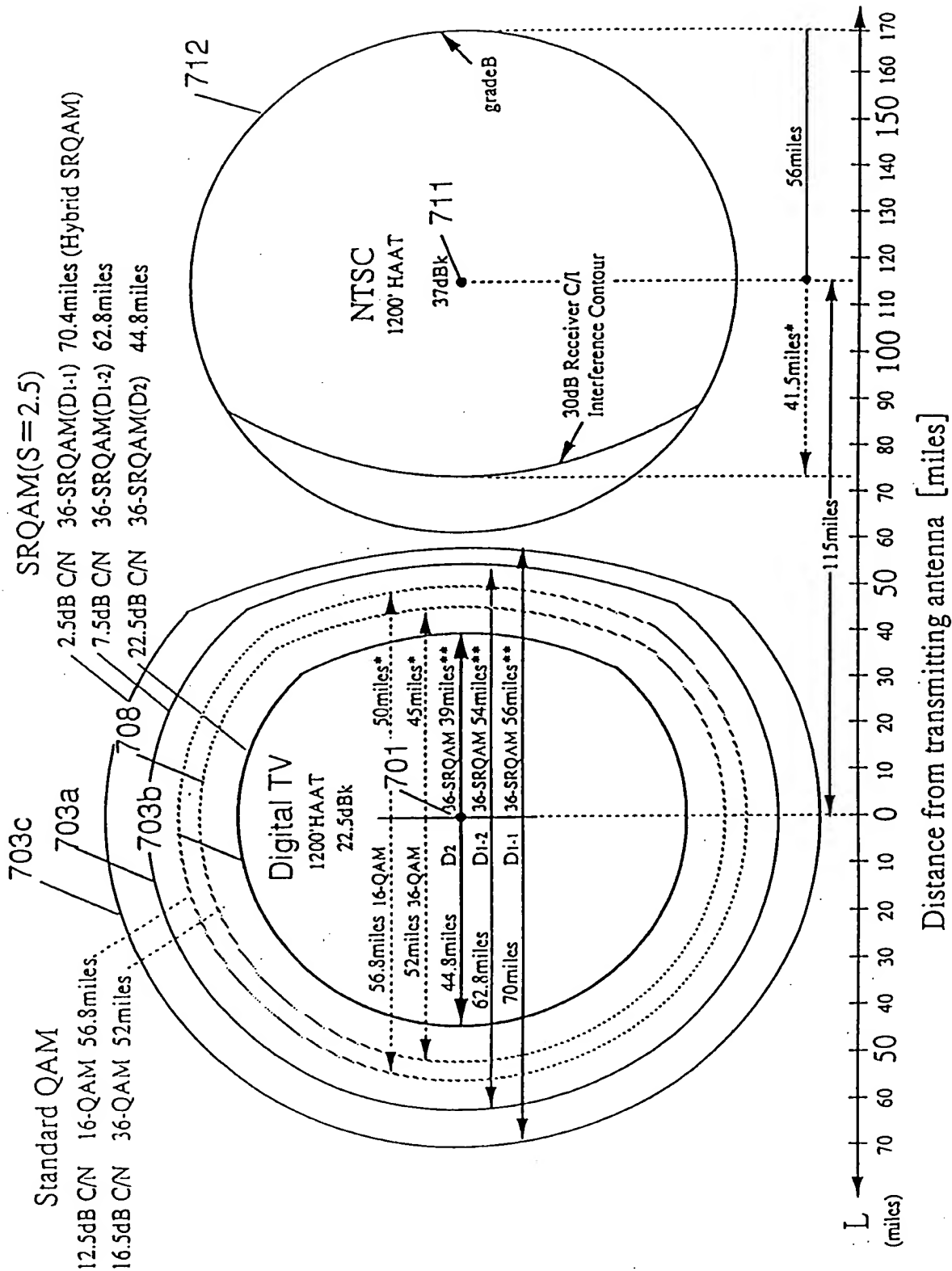
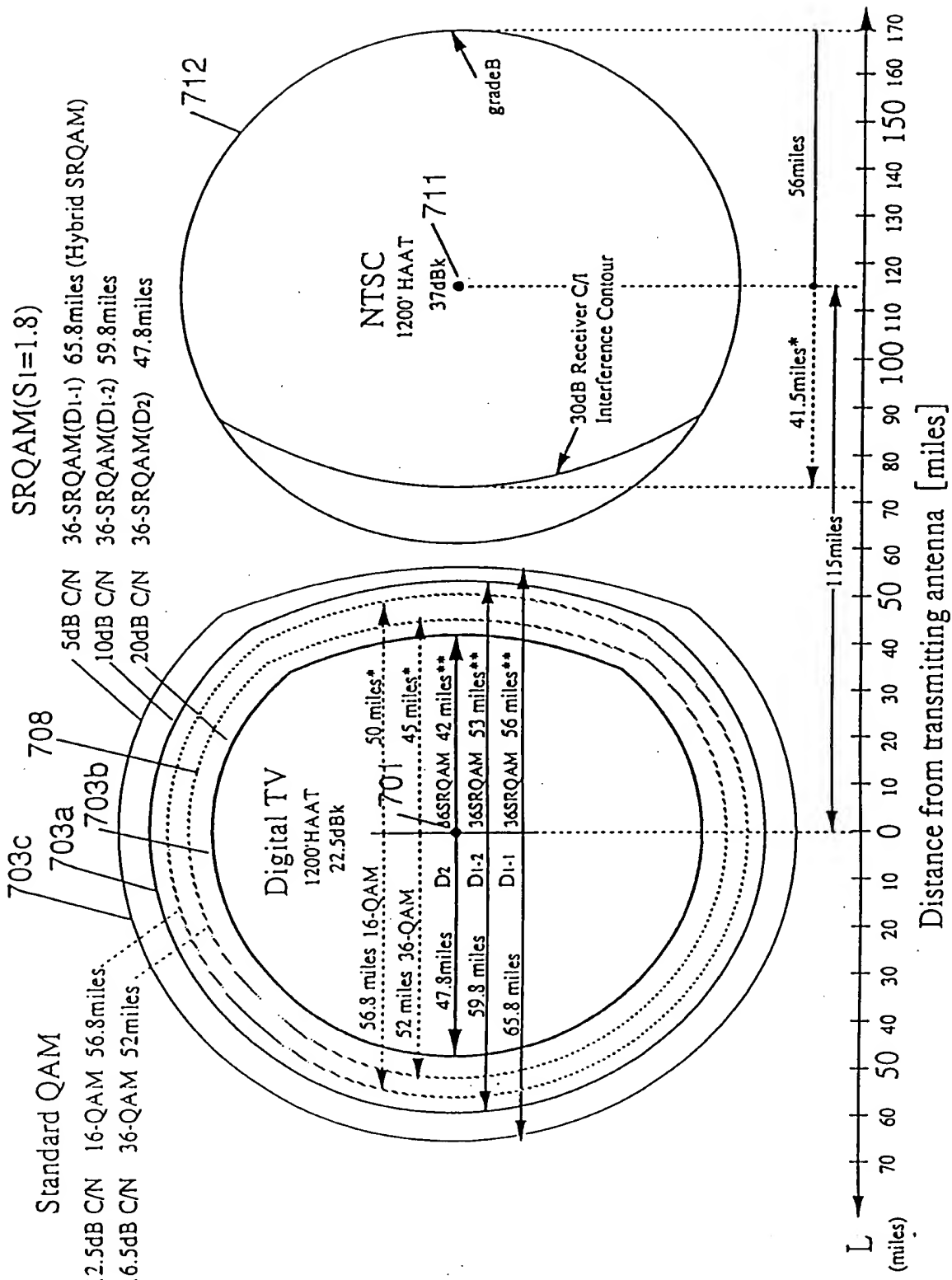


FIG. 107



* : approximately calculated

FIG. 108

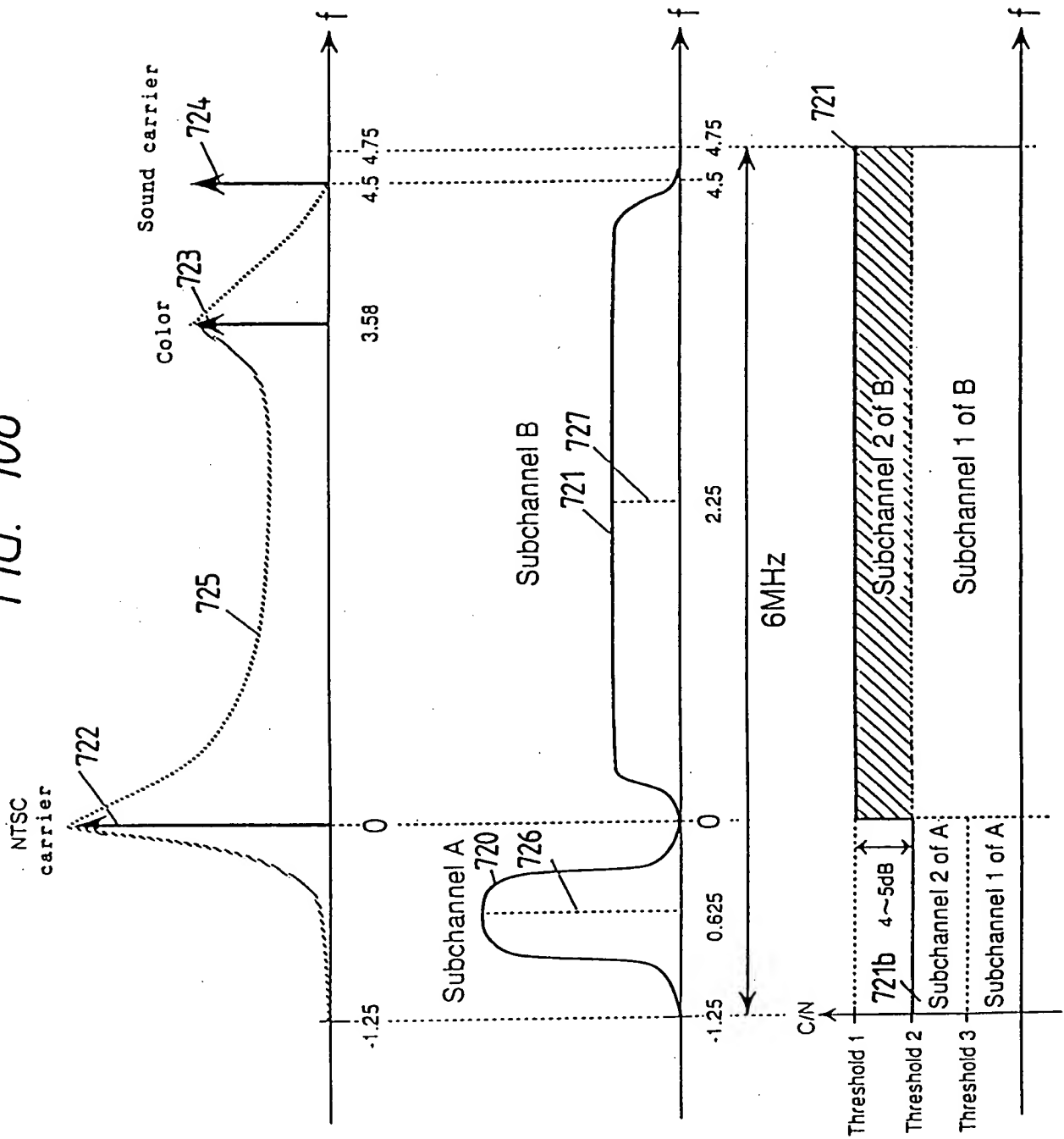


FIG. 109

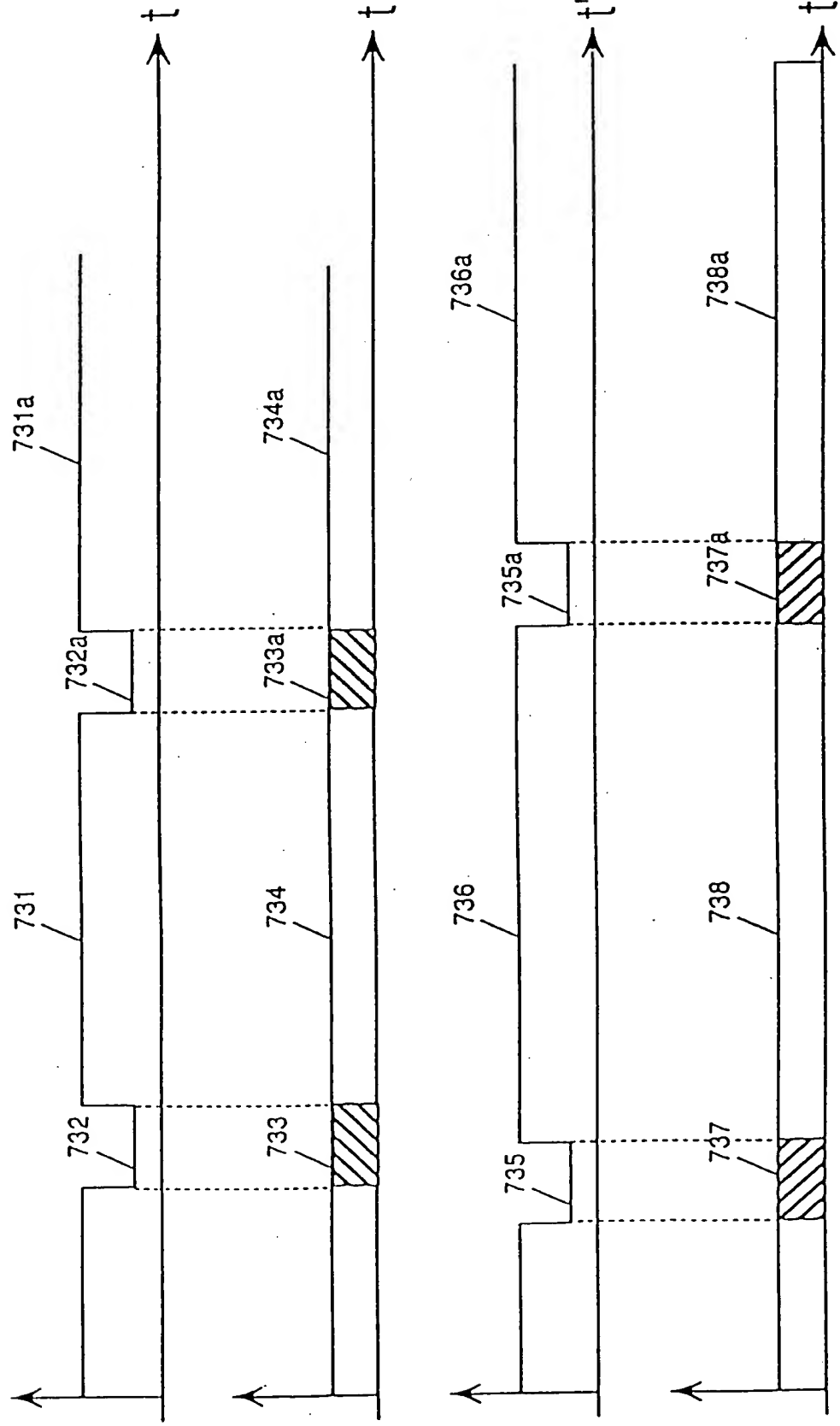


FIG. 110

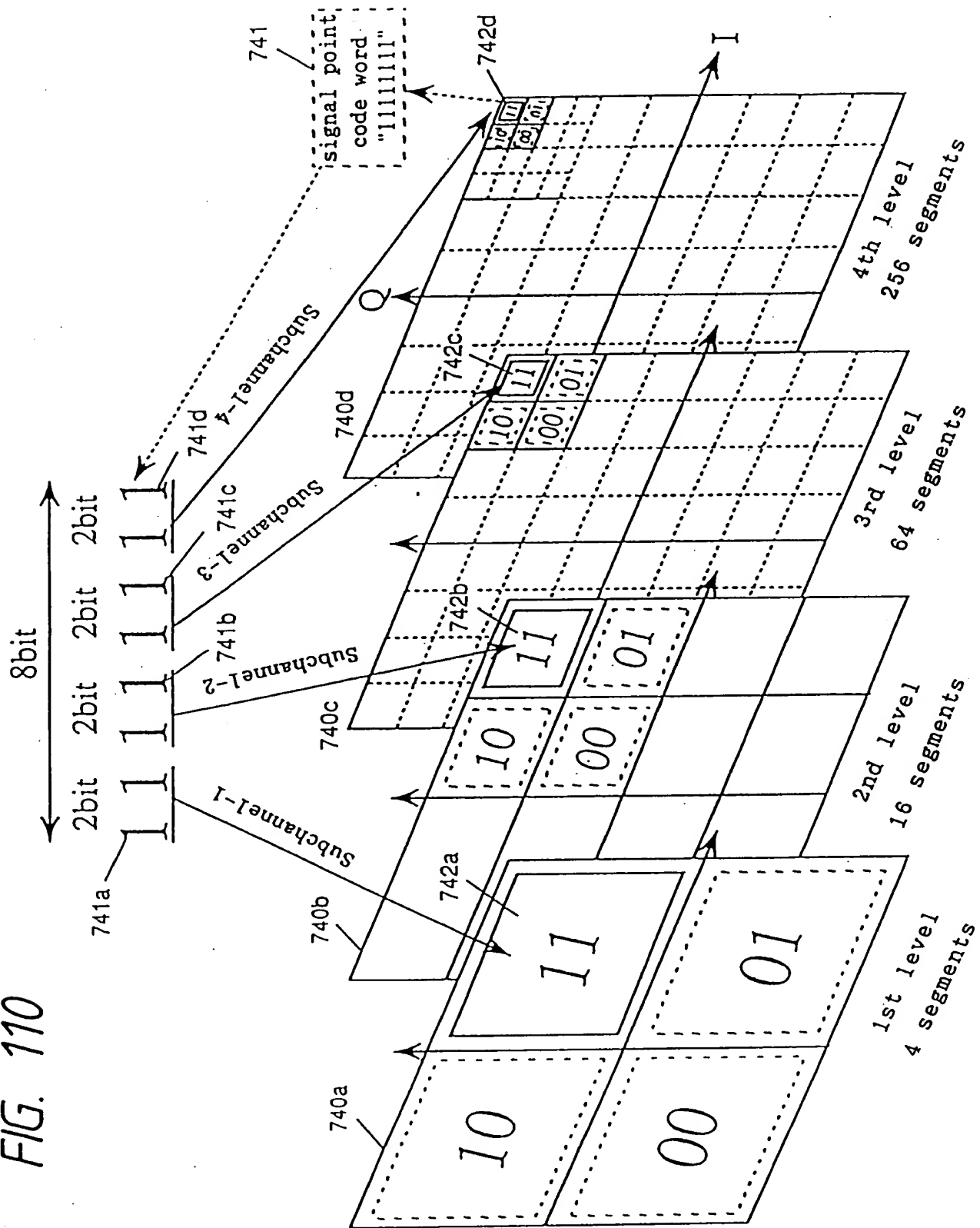
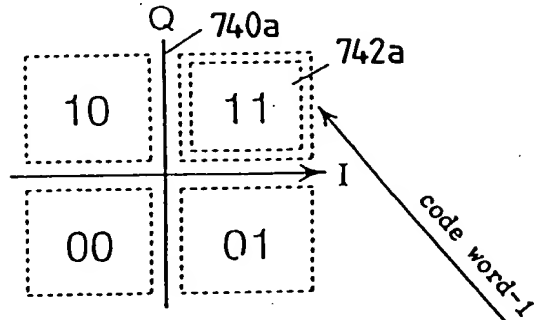
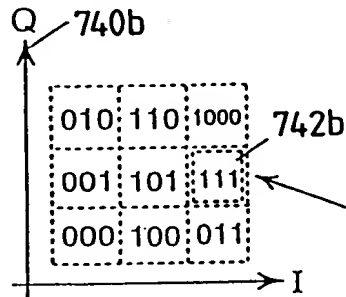


FIG. 111

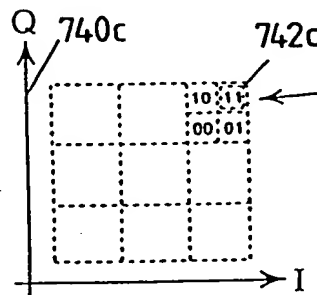
Subchannel-1 (SRQAM:D₁=2bit)



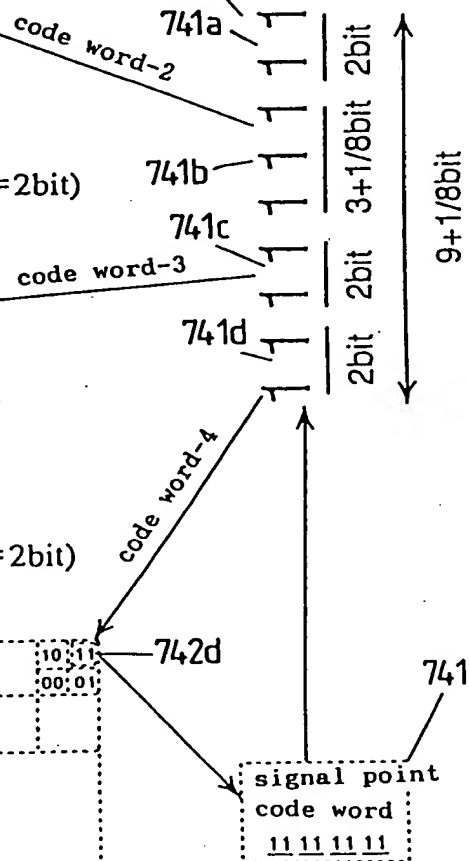
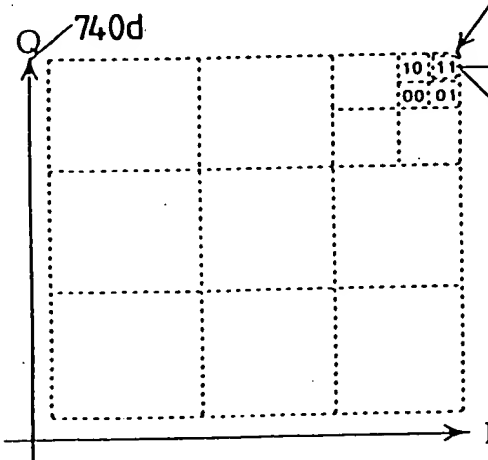
Subchannel-2 (36-SRQAM:D₂=3bit + 1/8bit)



Subchannel-3 (144-SRQAM:D₃=2bit)



Subchannel-4 (576-SRQAM:D₄=2bit)



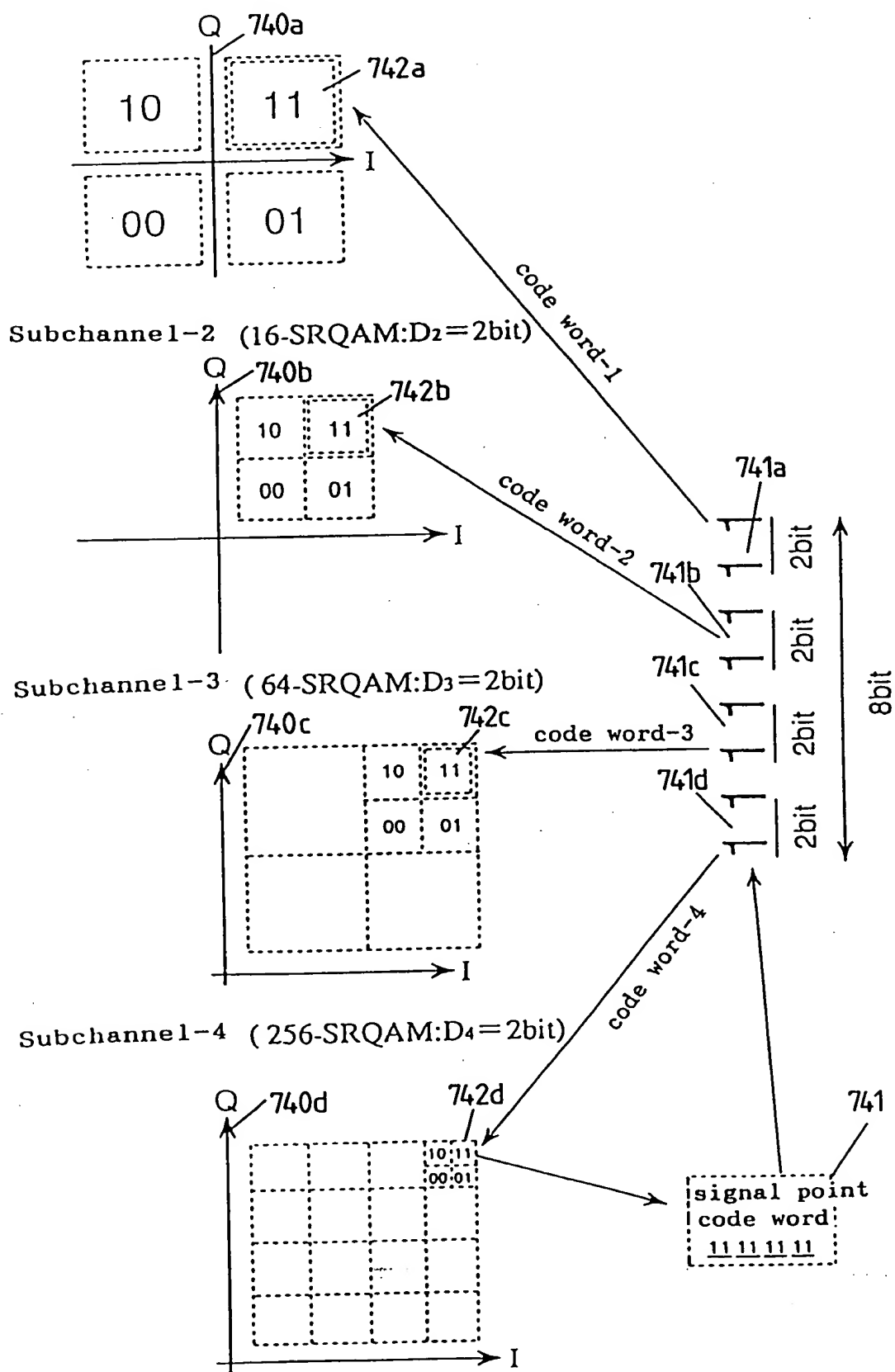


FIG. 113

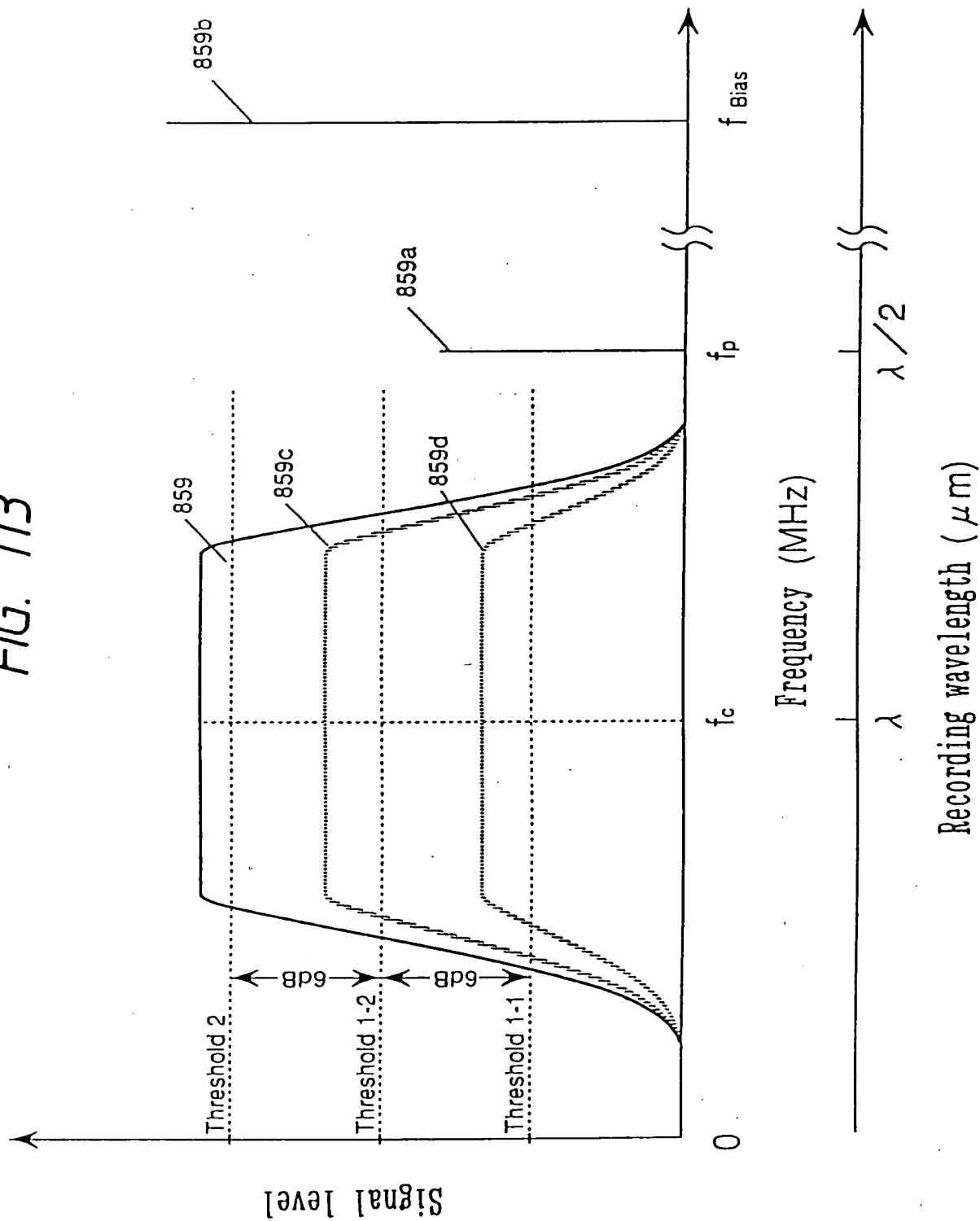


FIG. 114

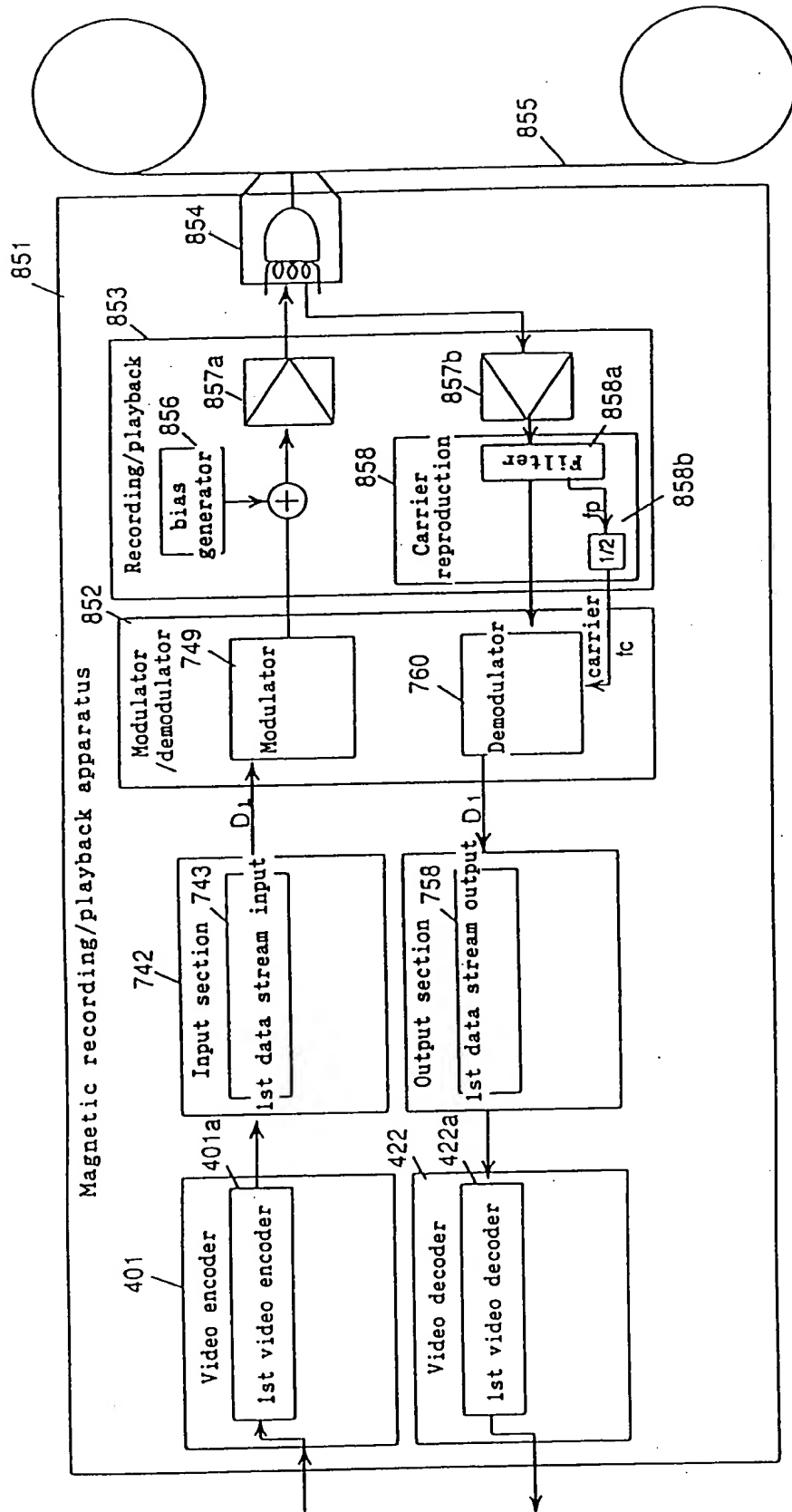


FIG. 115

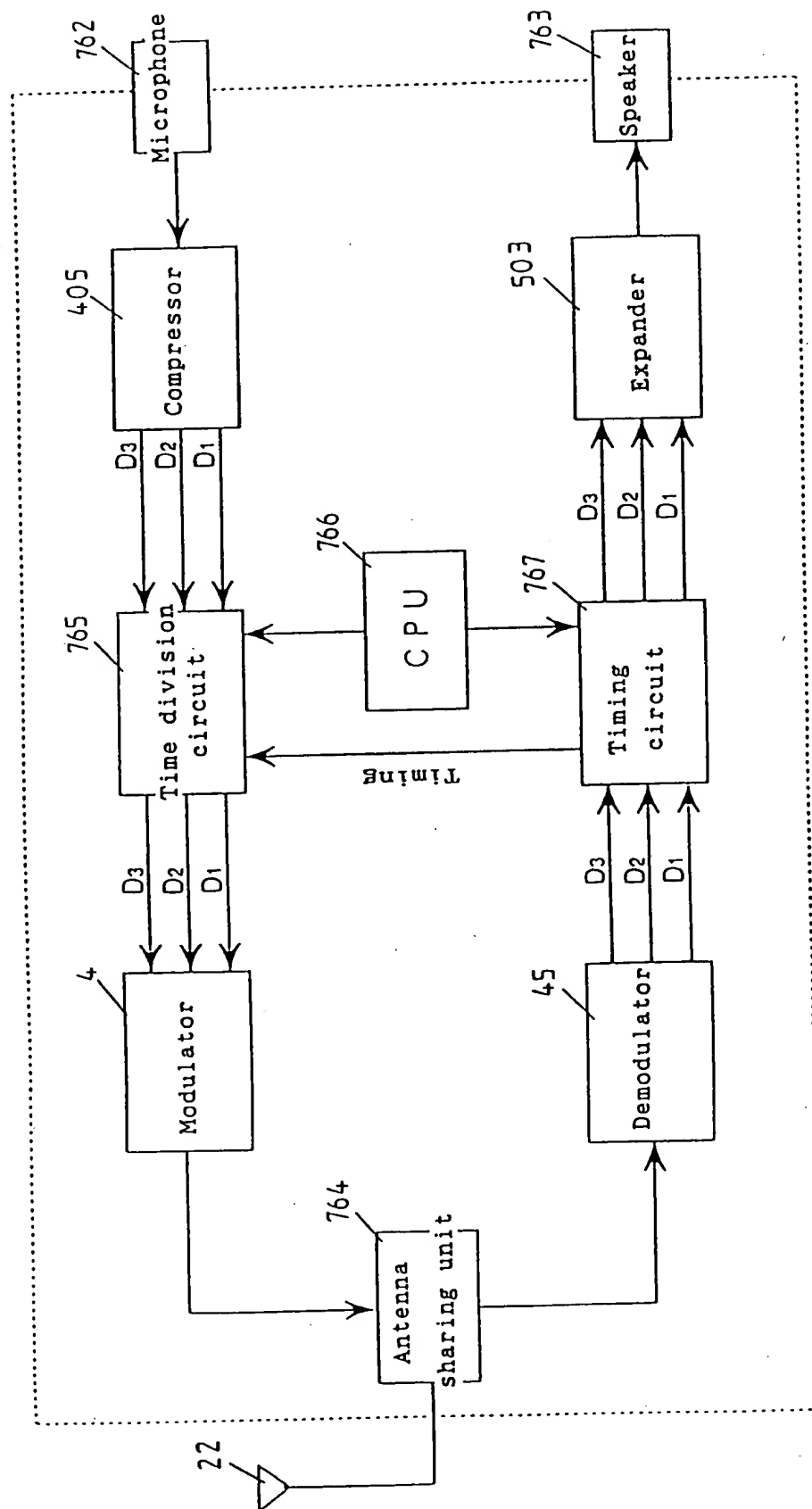


FIG. 116

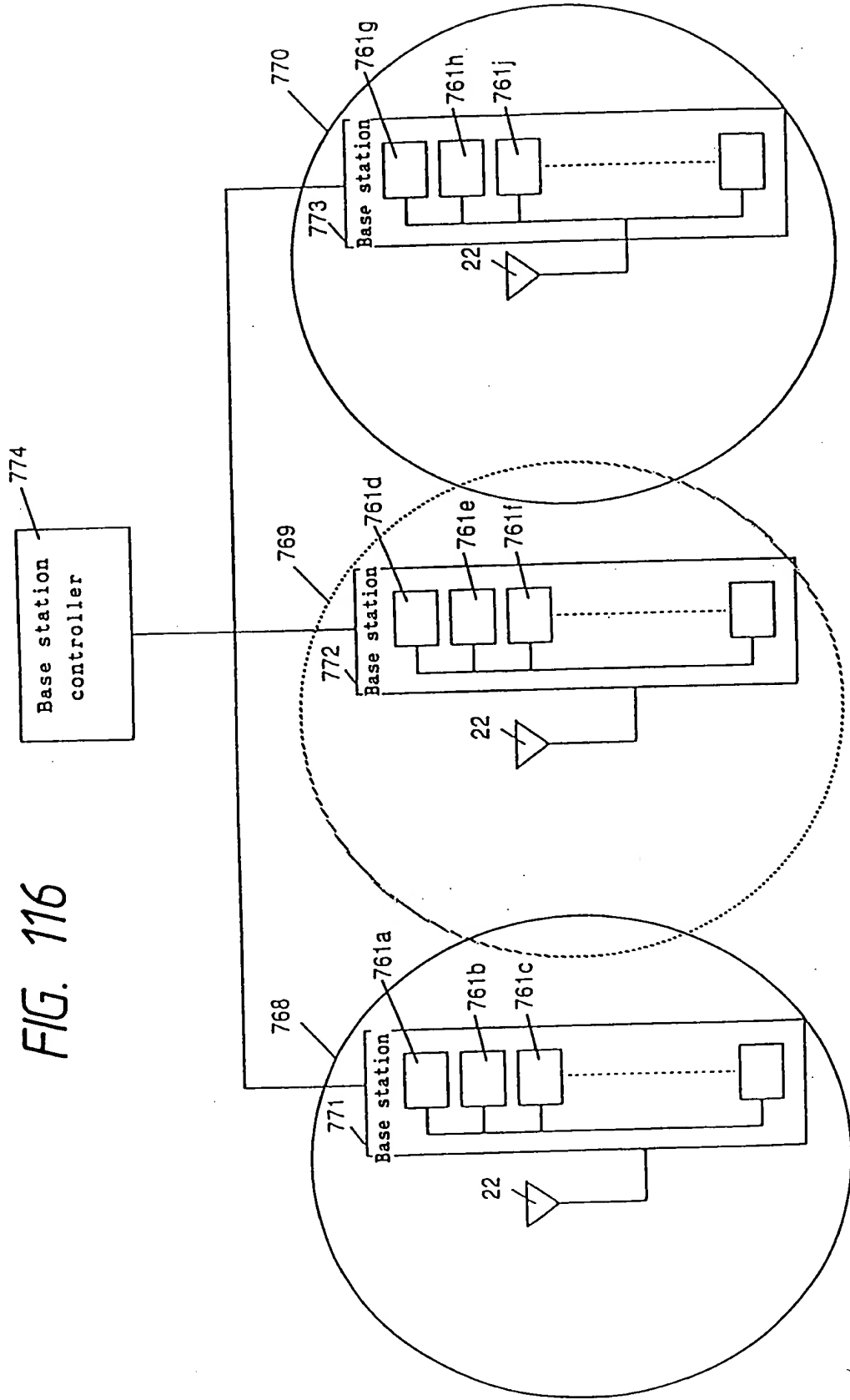


FIG. 117

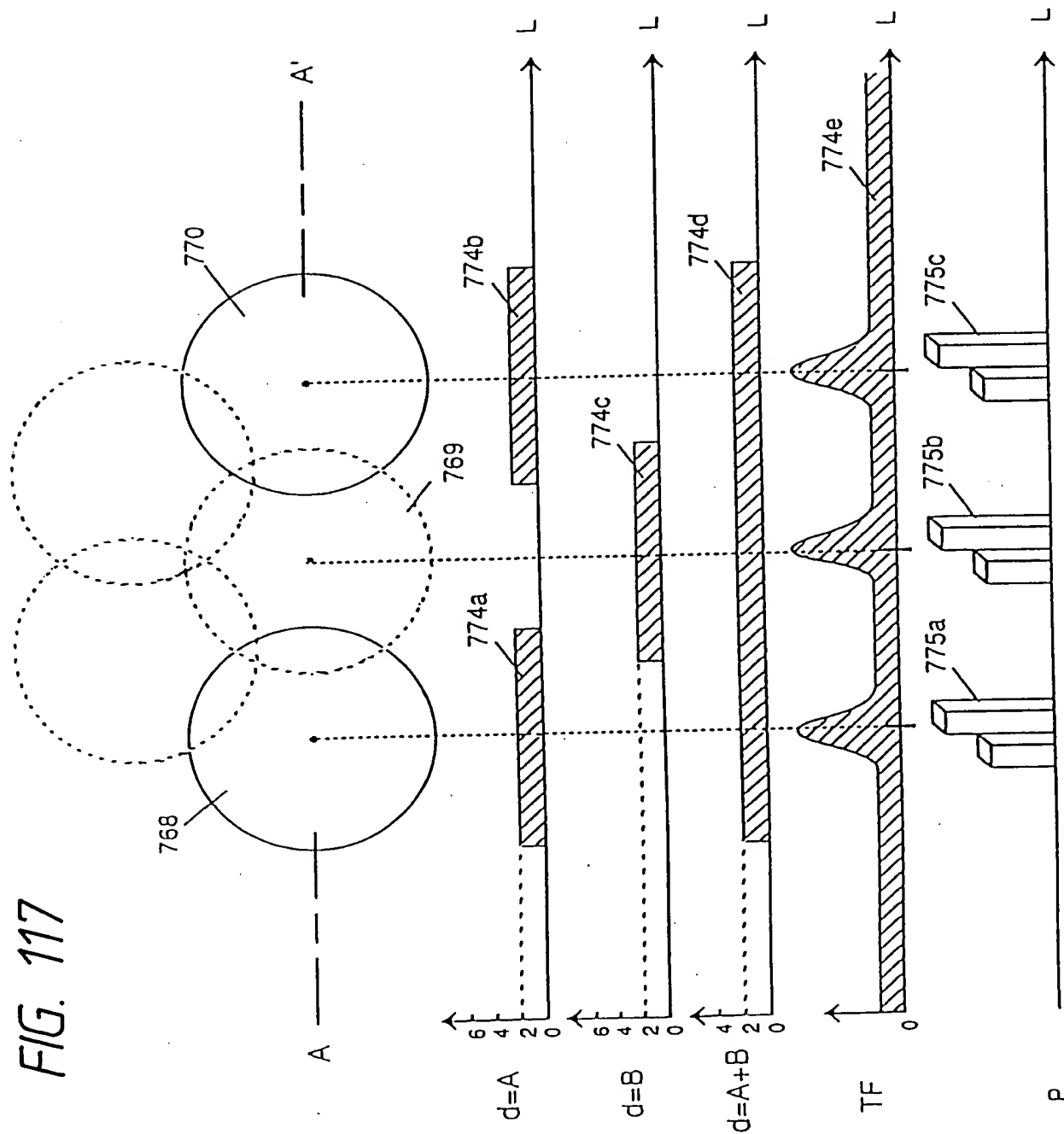


FIG. 118

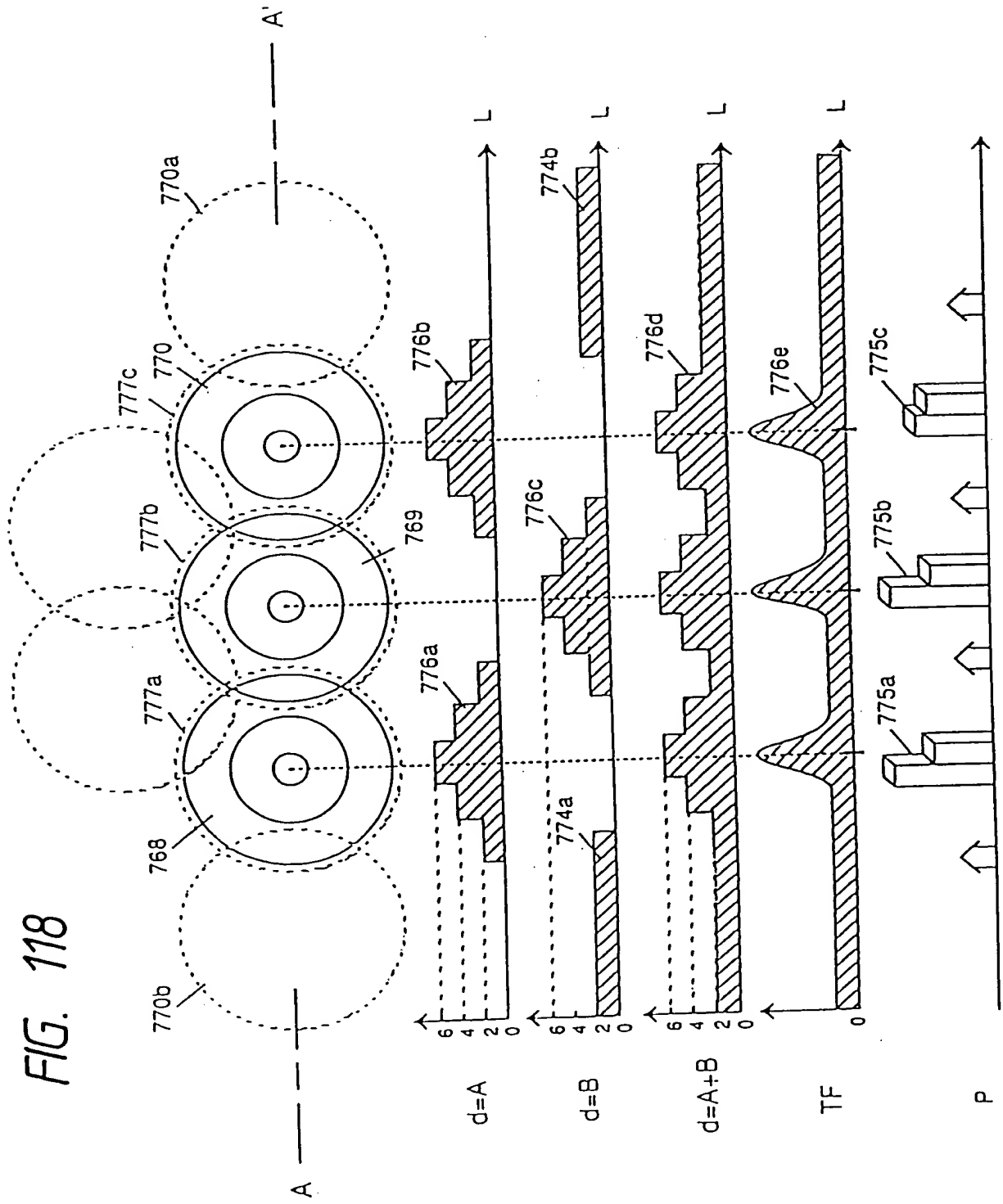


FIG. 119

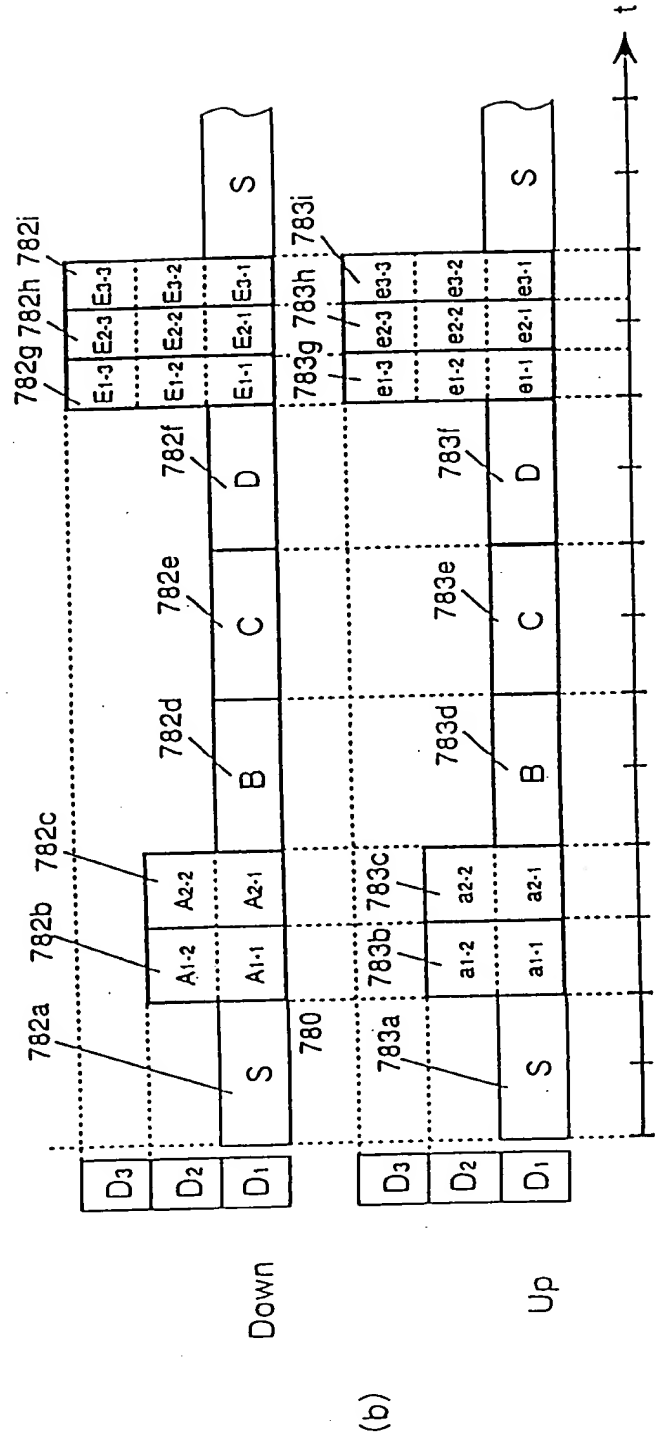
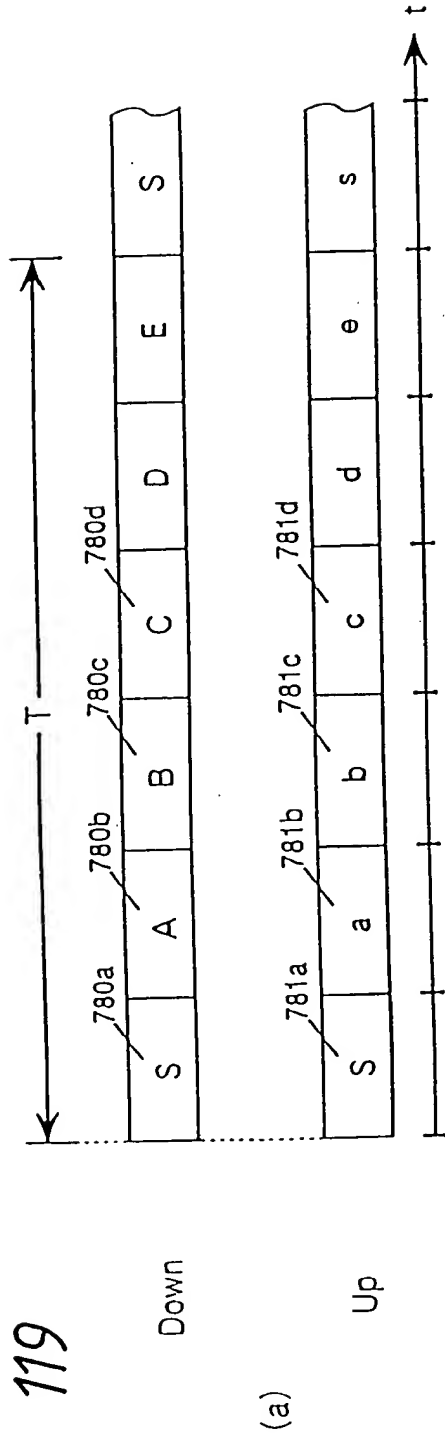


FIG. 120

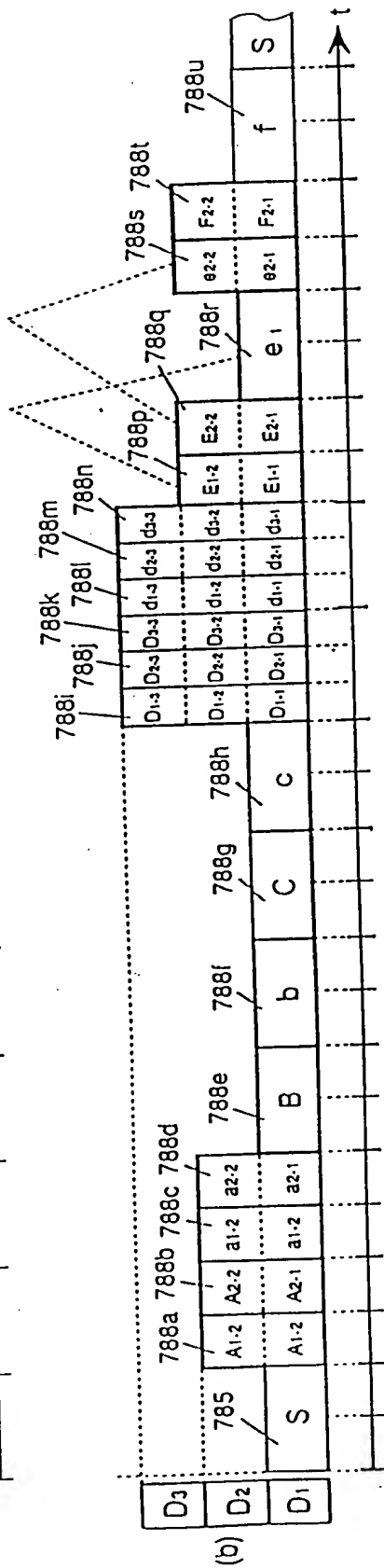
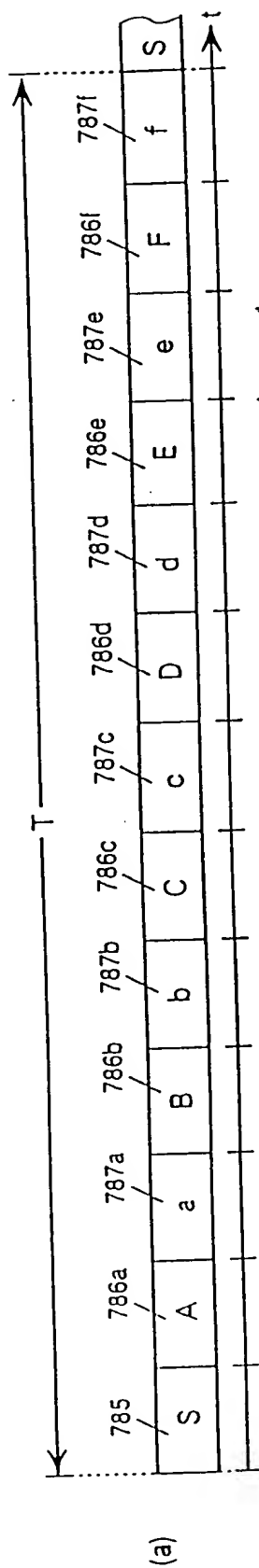


FIG. 121

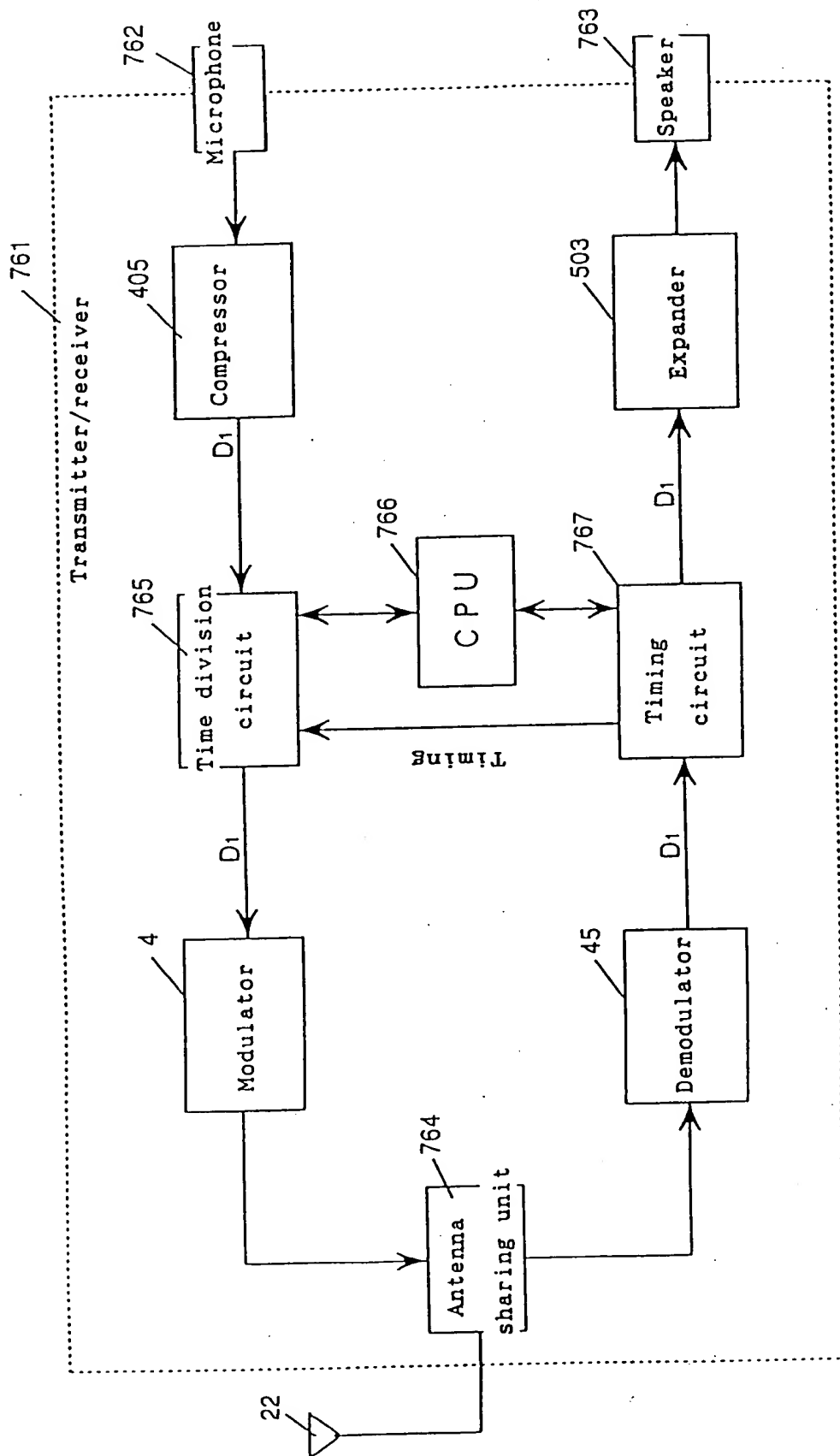


FIG. 122

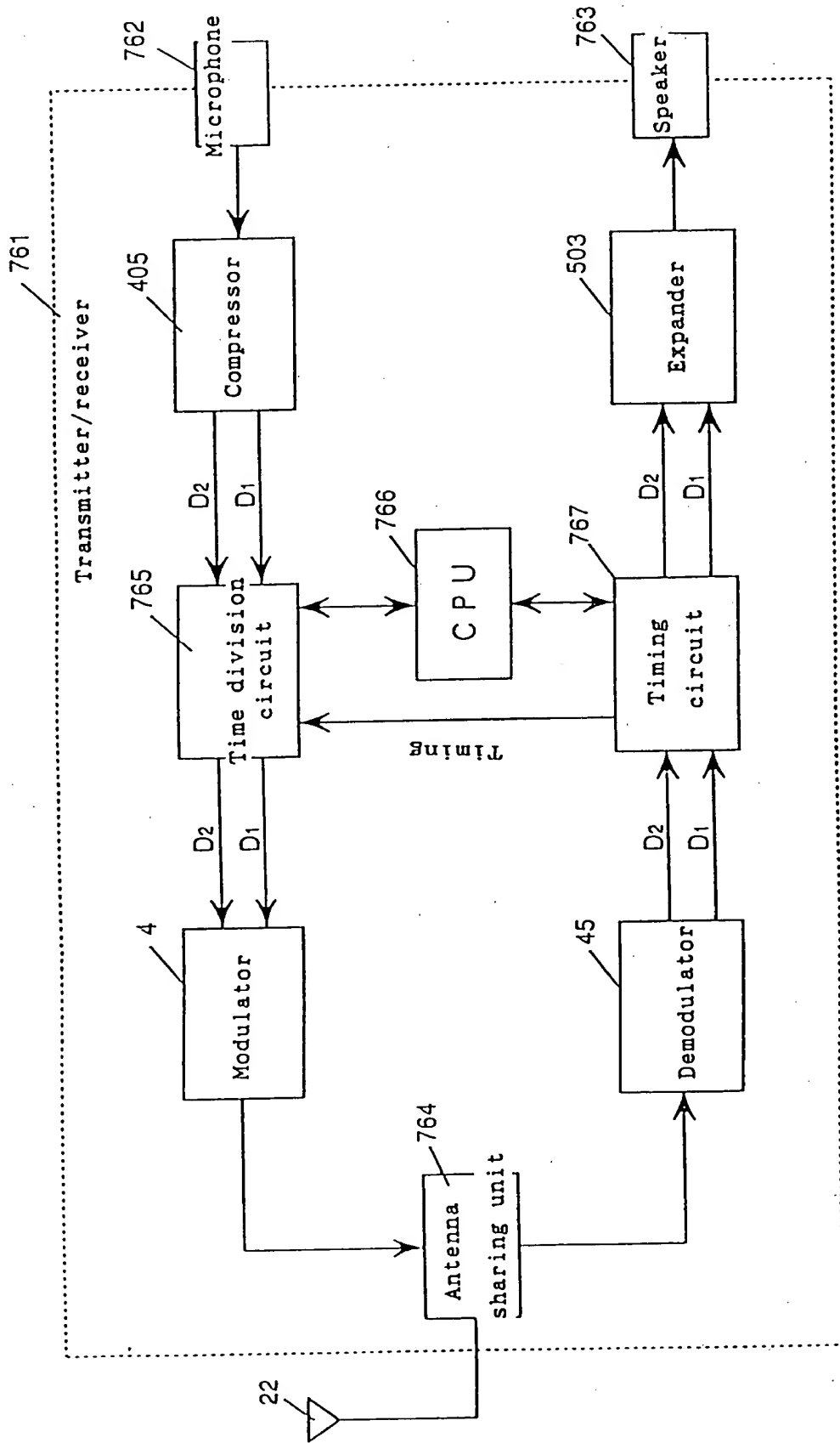


FIG. 123

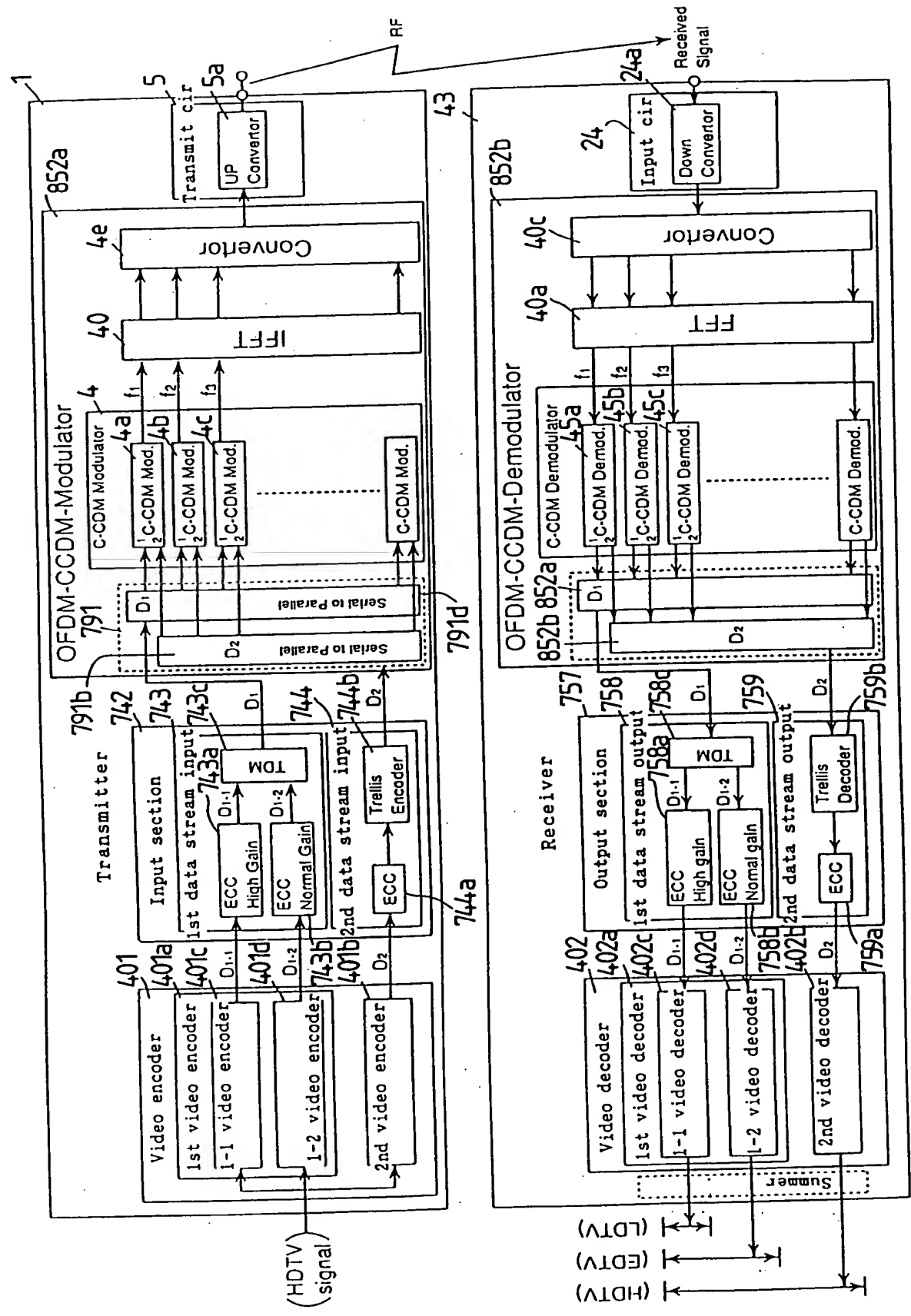


FIG. 124

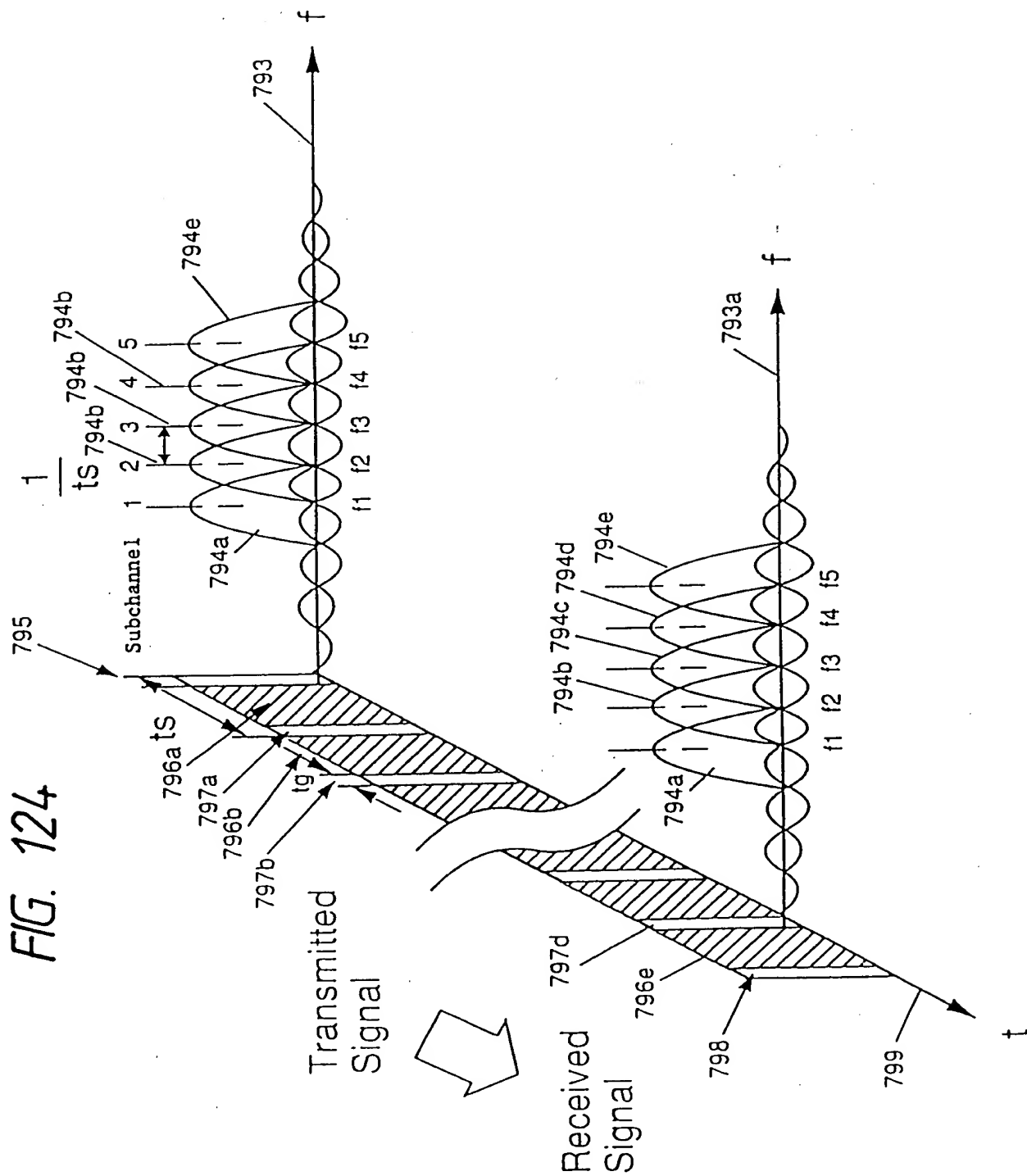


FIG. 125

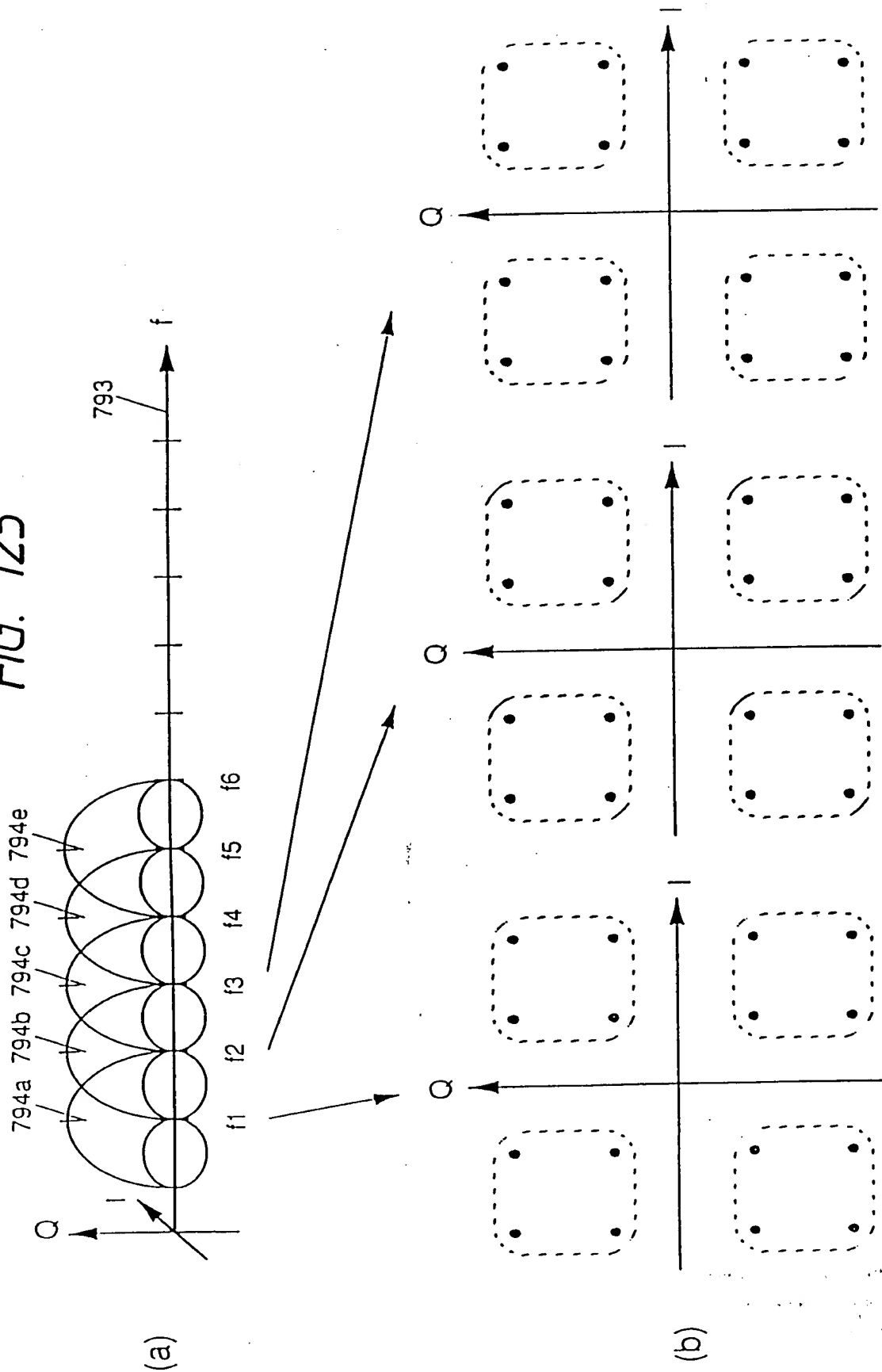


FIG. 126

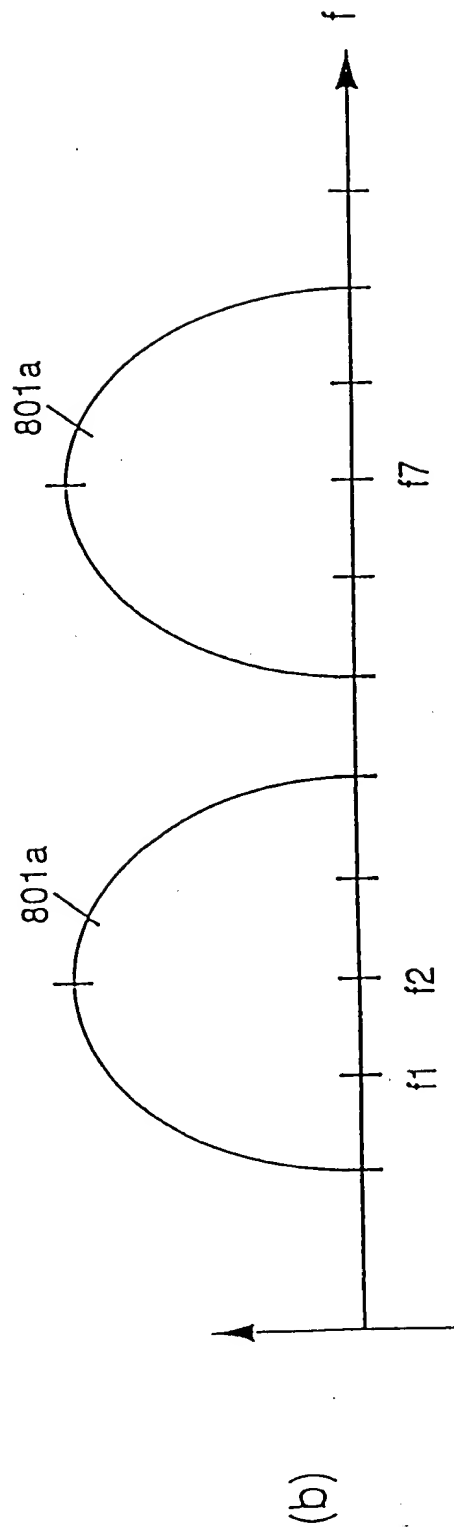
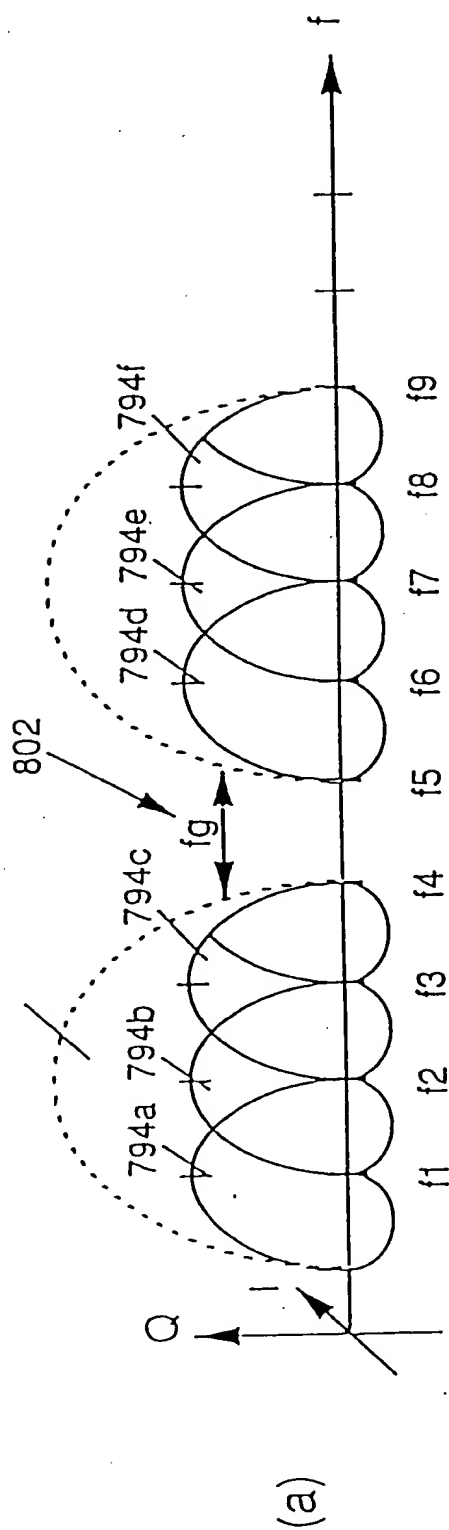


FIG. 127

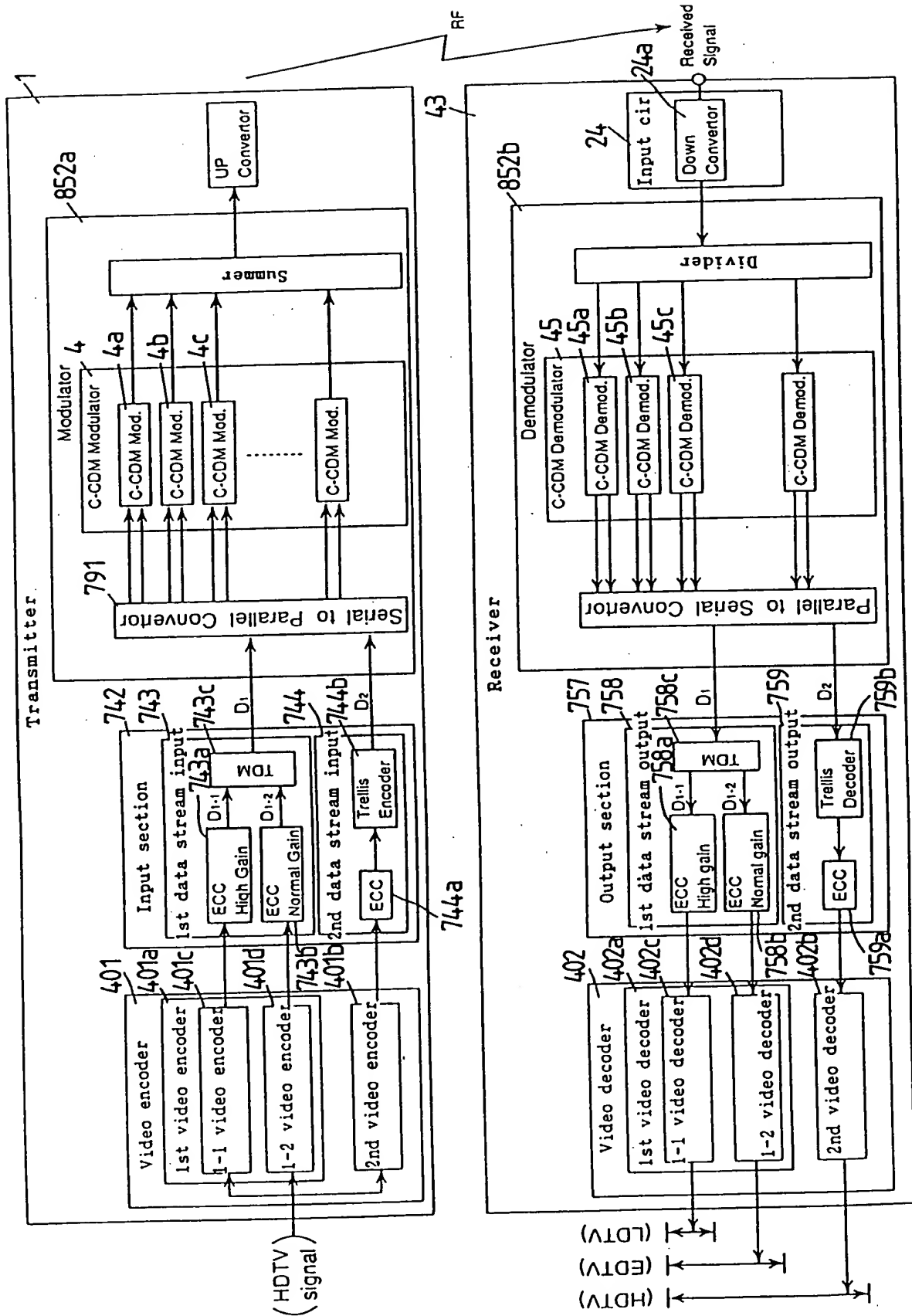


FIG. 128

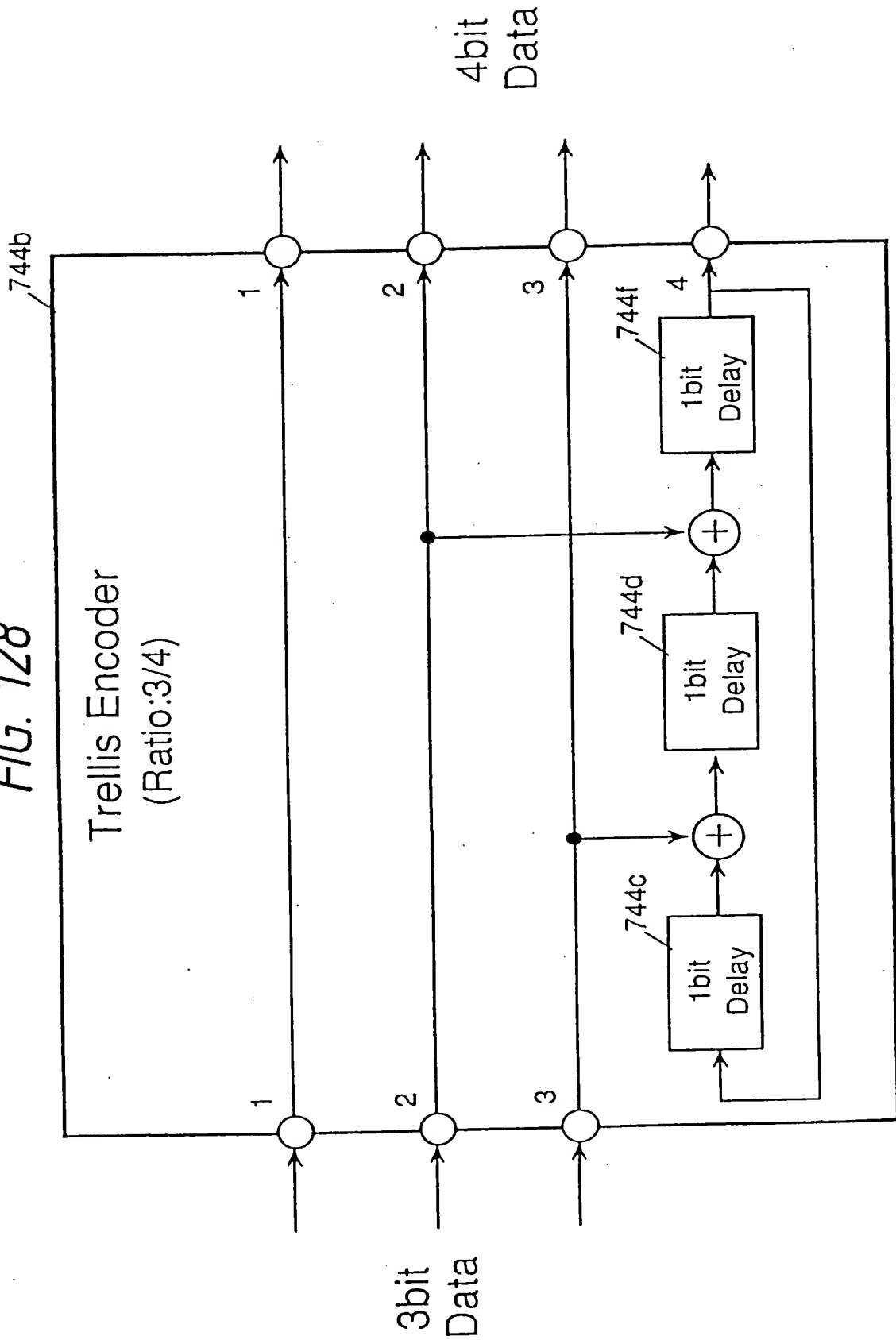


FIG. 129

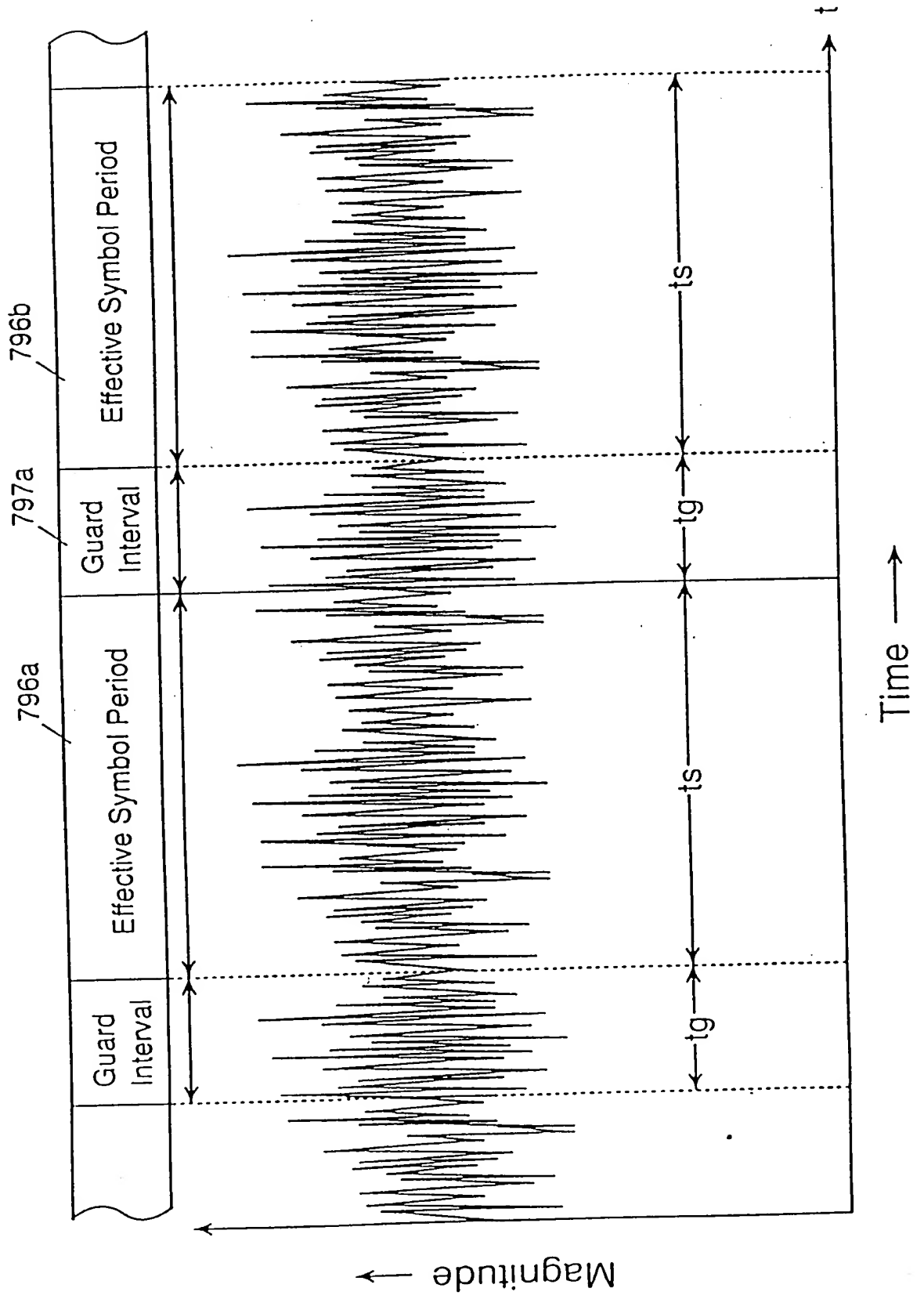


FIG. 130

GHOST DELAY-2us. D/U-8dB
Figure 8 Bit Error Rate Performance Under Single Ghost
and Gaussian Noise (1)

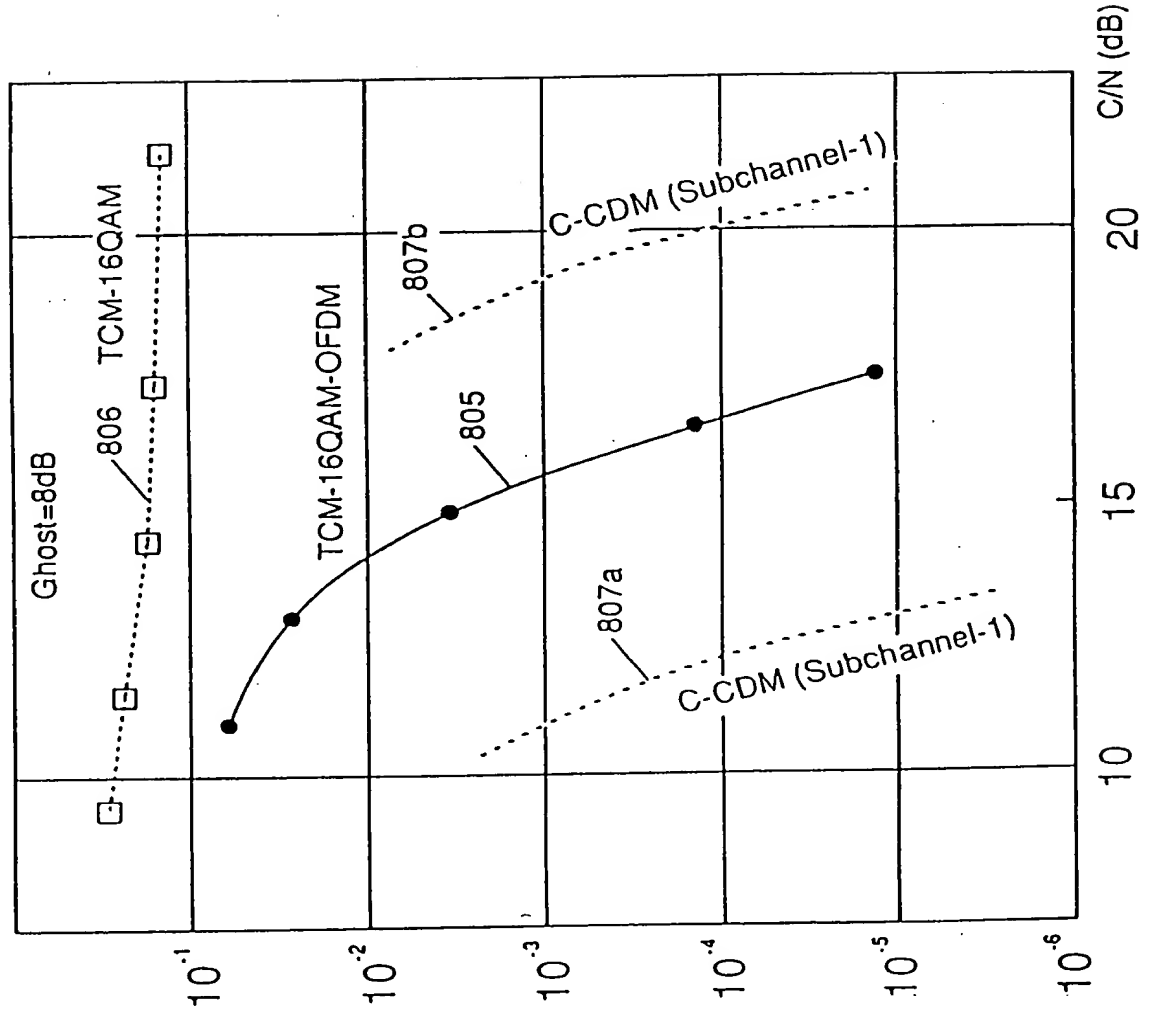


FIG. 132

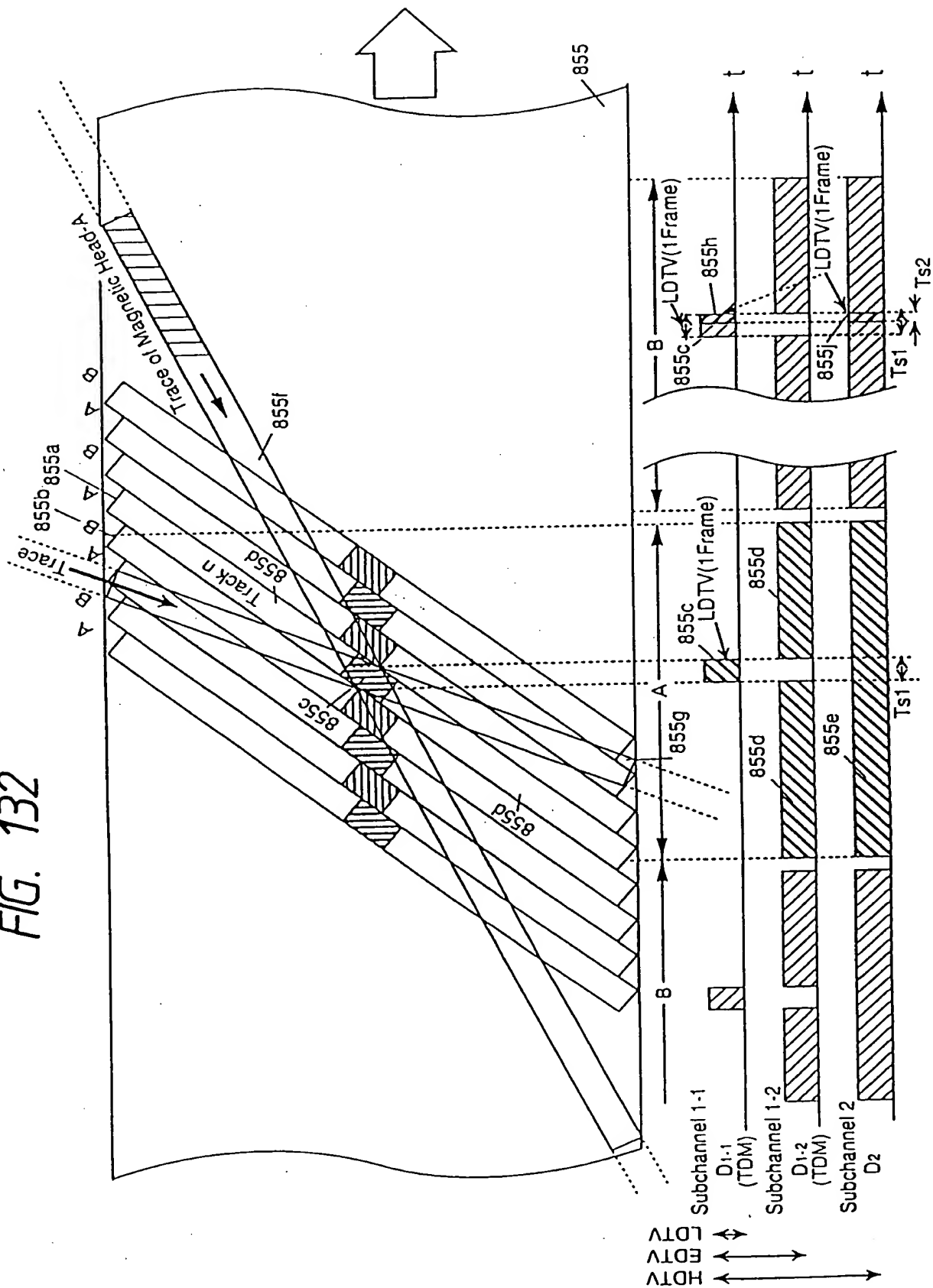


FIG. 133

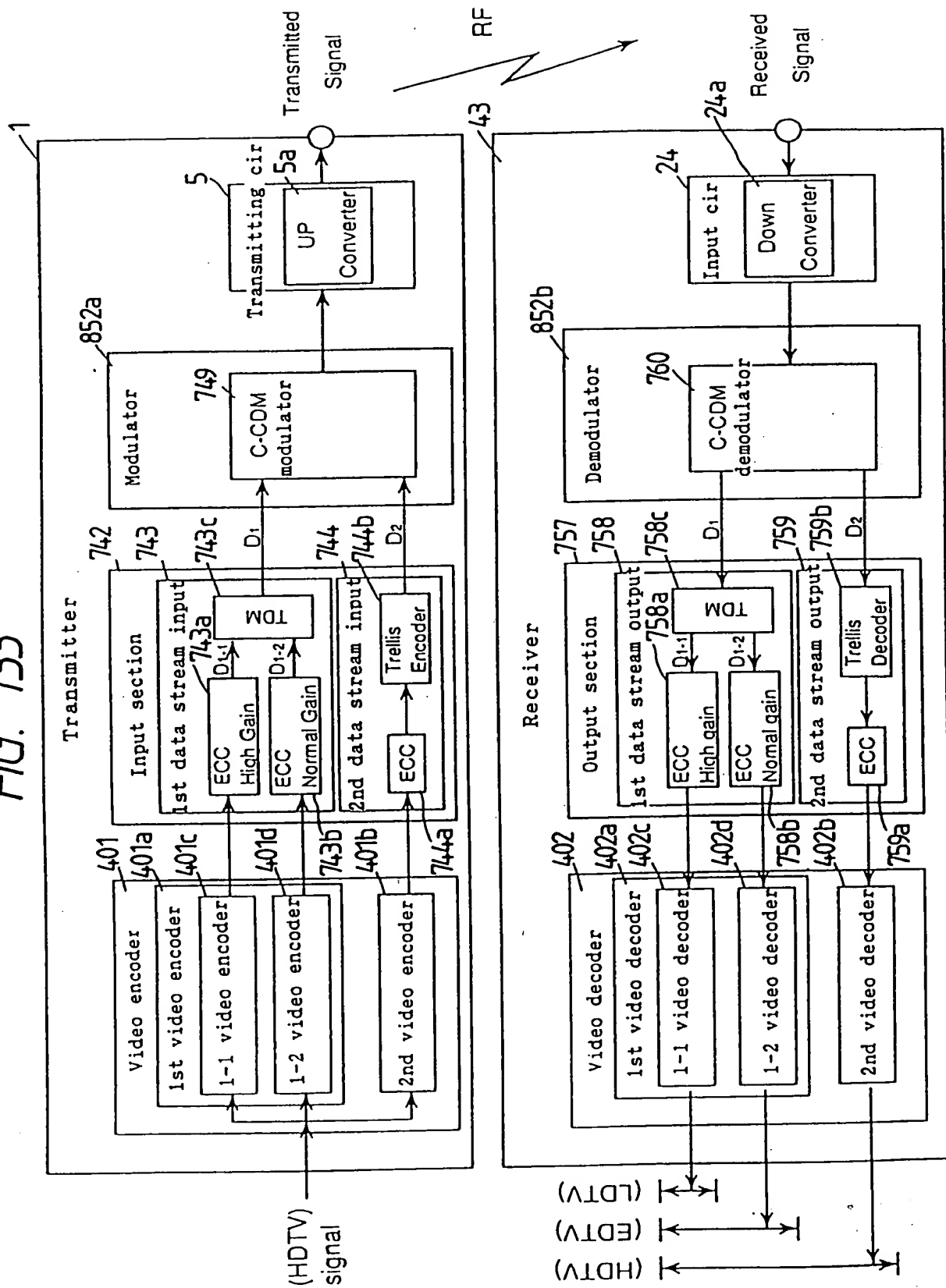


FIG. 134

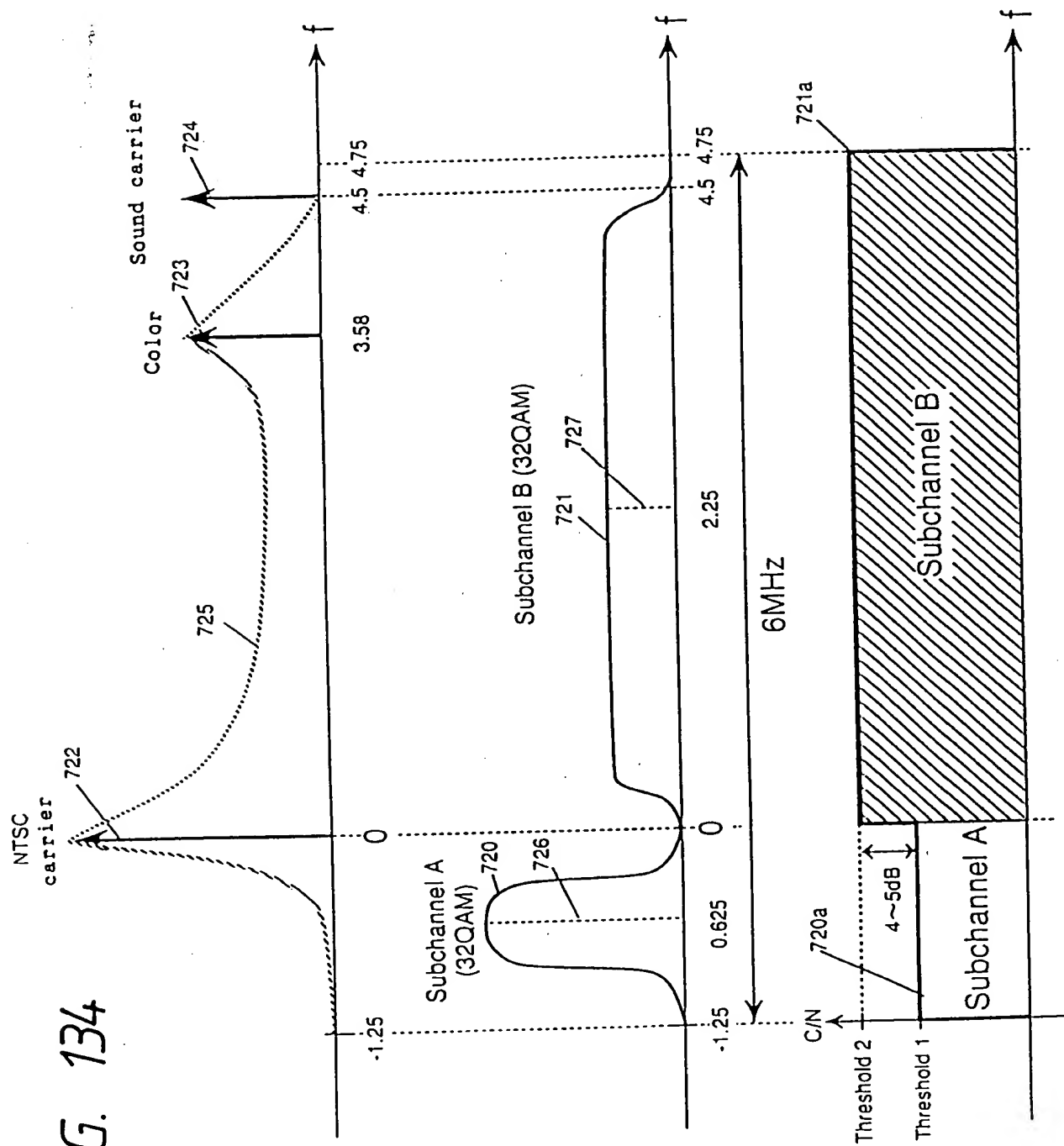


FIG. 135

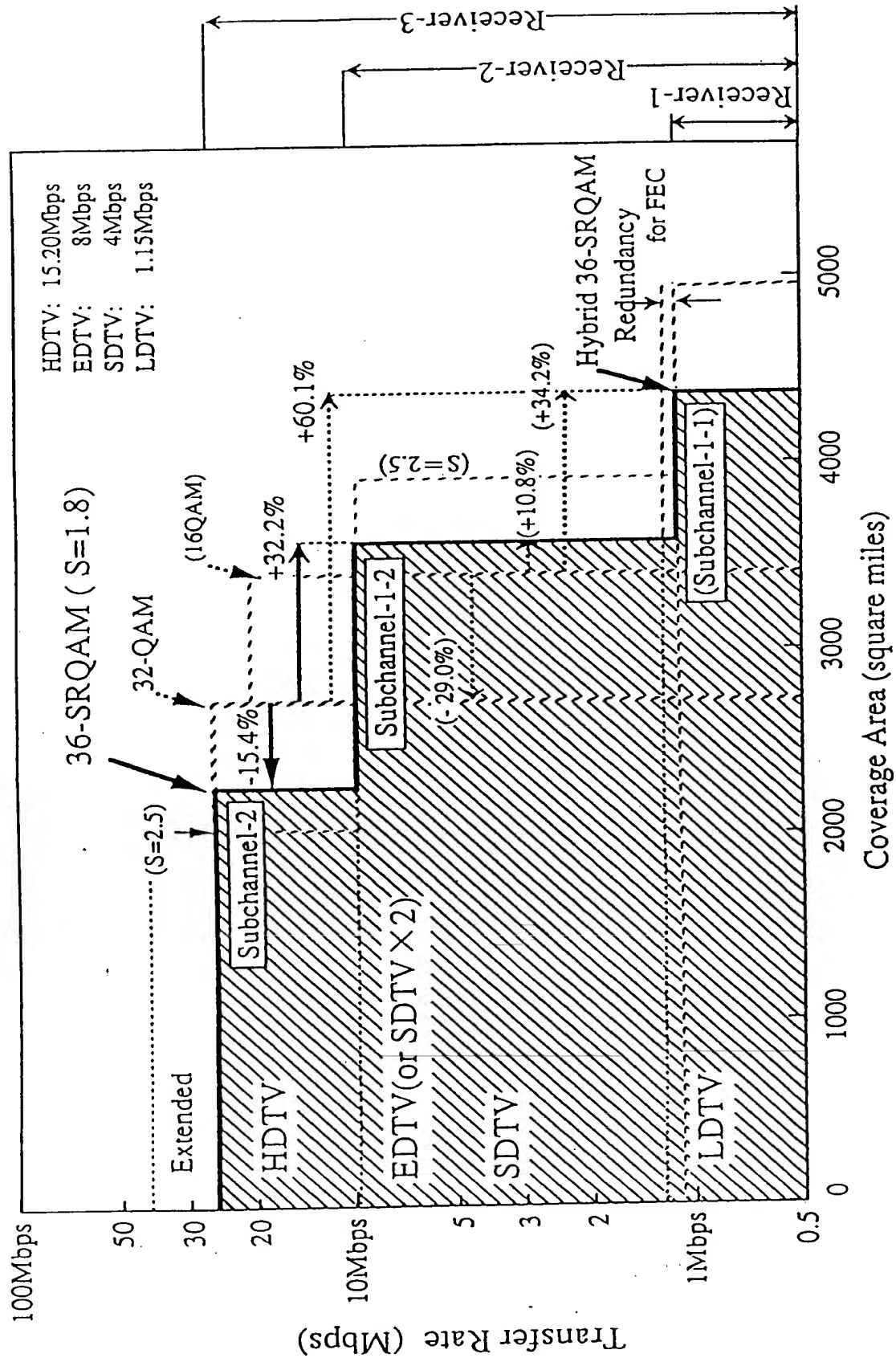


FIG. 136

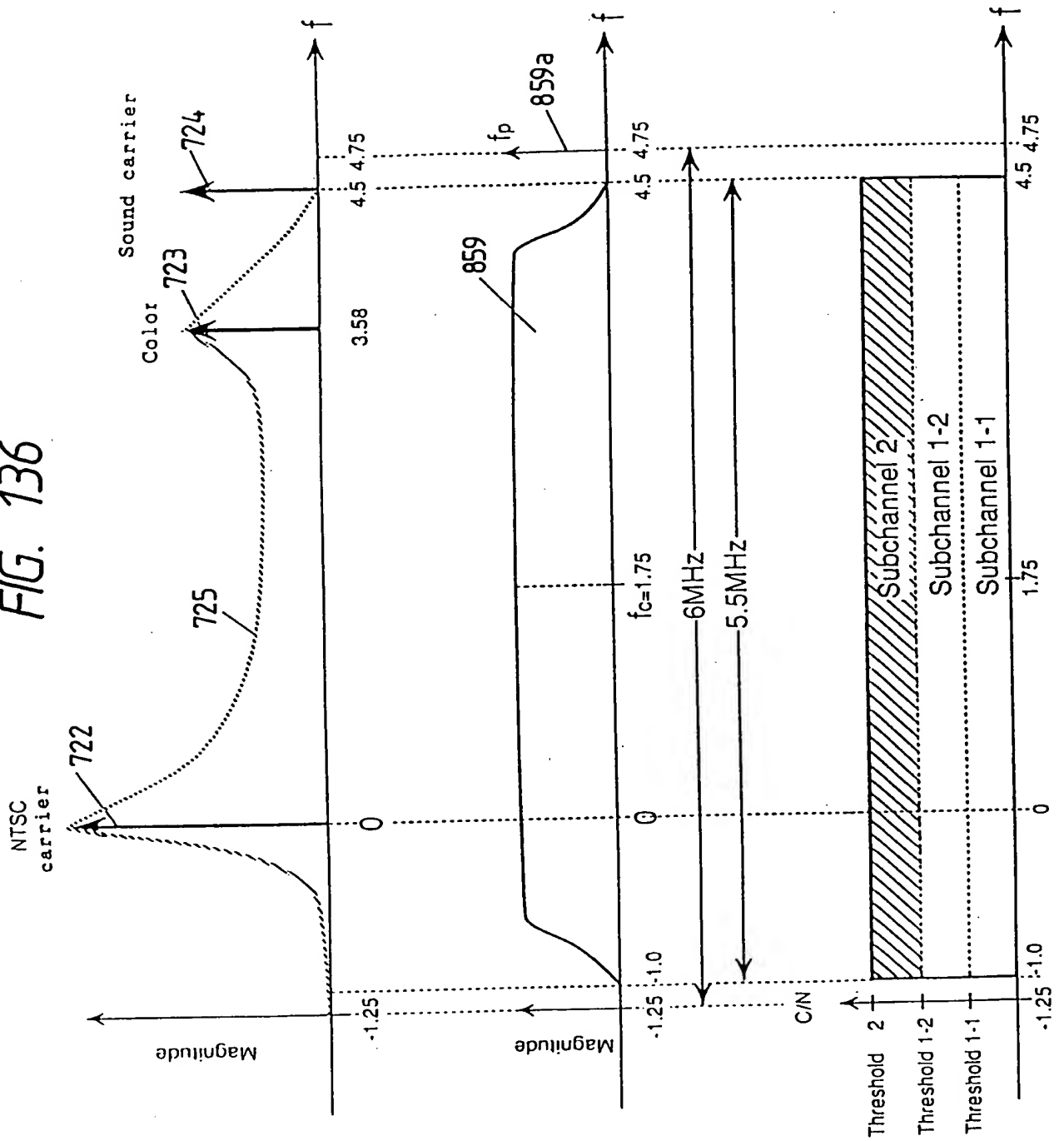


FIG. 138

